# Einfluss der Stickstoffverfügbarkeit auf das Holzabbauverhalten des Eschenbaumschwamms an Esche, Eiche und Robinie

#### Masterarbeit

von

Gregor Hamberger, Bakk. techn.

Zur Erlangung des akademischen Grades eines Diplom-Ingenieurs



#### Betreuer:

Ao. Univ. Prof. Dipl.-Ing. Dr.nat.techn. Erhard Halmschlager

Universität für Bodenkultur Wien

Department für Wald- und Bodenwissenschaften

Institut für Forstentomologie, Forstpathologie und Forstschutz

Wien, im November 2016

#### Gewidmet meiner Oma Maria Balcarek.

Sie ist – für mich auf eine gewisse Art und Weise unvorstellbare – 99½ Jahre alt und kann daher meinen verzögerten Universitätsabschluss noch miterleben.



# Danksagung

Die vorliegende Arbeit entstand am Institut für Forstentomologie, Forstpathologie und Forstschutz (IFFF) der Universität für Bodenkultur, Wien. Für die tatkräftige Unterstützung bei der Masterarbeit und in meinem Studium möchte ich mich bei folgenden Personen und Institutionen besonders bedanken:

Meinem Betreuer, Herrn Ao. Univ. Prof. Dipl.-Ing. Dr. Erhard Halmschlager, für die zahlreichen Anregungen, die vielen wertvollen, fachlichen Ratschläge und die viele Geduld.

Herrn Prof. Dr. Rolf Kehr für die Anregung, meine Masterarbeit zum vorliegenden Thema zu verfassen, fachlichen Rat, sowie die Bereitstellung eines Isolates von *P. fraxinea*.

Frau Priv.Doz. Dr. Christa Schafellner für wesentliche Hilfestellungen bei der Berechnung von Stickstoffgehalten und bei der Ermittlung der Stickstoffgehalte von Prüfkörpern.

Herrn Priv.Doz. Dipl.-Ing. Dr. Thomas Kirisits für wichtige fachliche Anregungen, oftmalige, aber immer gut gemeinte Aufforderungen die Masterarbeit zu vollenden und interessante Gespräche abseits des Themas der vorliegenden Arbeit.

Frau Mag. Katharina Schwanda für wesentliche Unterstützung während meiner Masterarbeit und viele gemeinsame Stunden im Büro.

Herrn Dipl.-Ing. Oliver Maschek für wesentliche Unterstützung während meiner Masterarbeit und die gelegentlichen "Seitenhiebe", ob meines Arbeitstempos.

Frau Mag. Susanne Mottinger-Kroupa, Frau Ing. Gabriele Motlik, Frau MTA Susanne Krumböck und Herrn Thomas Weinkopf für technische Unterstützung im Labor und der Werkstatt.

Herrn Günter Berger (MA 42) für die Hilfe bei der Suche nach Prüfkörpern von *P. fraxinea* im Raum Wien und Auskünfte zum Vorkommen von *P. fraxinea* in Wien und dem Wiener Straßenbaumbestand.

Herrn Johannes Wallisch (Institut für Holztechnologie und Nachwachsende Rohstoffe) für den Zuschnitt der Prüfkörper.

Herrn Dipl.-Ing. Peter Kritsch für die technische Betreuung der Phytotrone und die technische Einweisung, diese Geräte betreffend.

Herrn Reinhard Schuller und Herrn Dipl.-Ing. Martin Meischel (Institut für Physik und Materialwissenschaften) für wertvolle Beratung bei der Volums-Berechnung von Prüfkörpern.

Herrn Univ. Prof. Dipl.-Ing. Dr. Friedrich Leisch, Herrn Ao. Univ. Prof. Dipl.-Ing. Dr. Karl Moder, (Institut für Angewandte Statistik und EDV), Herrn Dipl.-Ing. Christoph Huber und Frau Martina Neugschwentner für fachliche Unterstützung im Fachbereich Statistik.

Herrn Amtsdir. Ing. Ewald Brauner für die Stickstoffanalyse der Bohrmehlproben.

Dem Magistrat der Stadt Wien MA 49 für die Bereitstellung des Holzes für die Prüfkörper.

Der Firma Mediscan für die Möglichkeit meine Prüfkörper und die Abstandhalter zu sterilisieren.

Herrn David Brenner für die technische Unterstützung bei der Arbeit mit dem Auflicht-Forschungsmikroskop Nikon SMZ25.

Den Mittarbeitern der Hauptbibliothek und Fachbibliotheken der Universität für Bodenkultur für die über all die Jahre reibungslose Betreuung und Unterstützung bei der Literaturrecherche.

Frau Uta Scheidemann und Herrn Frank Jacoby für die Bereitstellung von Isolaten von *P. fraxinea*.

Herrn Univ.-Prof. Dr. Roland Albert (Institut für Chemische Ökologie und Ökosystemforschung, Univ. Wien) für hilfreiche Daten zu Stickstoff im Boden im Wiener Raum (Speziell Straßenstandorte von Alleebäumen).

Herrn Karl Hornung (AGES) für die Bereitstellung von wichtiger Literatur, die normalerweise nur Mitarbeitern der AGES zur Verfügung steht.

Herrn Dipl.-Ing. Stefan Constantin für die gemeinsame Zeit und Unterstützung im Studium und die daraus entstandene Freundschaft.

Herrn Ulrich Pliwa für die Hilfe bei Arbeiten im Labor.

Frau Mag. Irene Starnberger und meinem Onkel Dr. Helmut Friedrichsmeier für das Korrekturlesen meiner Masterarbeit.

Herrn Herbert Wogowitsch und meinem Onkel Sepp Hamberger für den Transport der Baumstämme und Prüfkörper.

Meinem Cousin Michael Balcarek (Hauptbibliothek Uni. Wien) für das Bereitstellen von wichtiger Literatur.

Meiner Schwester BA MA Iris Hamberger für die Unterstützung bei graphischen Fragen.

Meinem Opa Josef Hamberger (†) für das in mir schon in jungen Jahren geweckte Interesse an den Bäumen und der Natur.

Abschließend möchte ich mich ganz besonders bei meiner Familie, für die Ermöglichung meines Studiums, die finanzielle Unterstützung und die aufmunternden oder tröstenden Worte während meiner Ausbildungsjahre bedanken. Trotz aller Schwierigkeiten sind meine Eltern und meine beiden Schwestern immer hinter mir gestanden.

#### **Abstract**

Rather unexpected attacks by *Perenniporia fraxinea* have been observed in the 1990s on black locust trees – a tree which has been widely planted in European cities in the 1970s. *P. fraxinea* is a wood destroying fungus which causes an intense white rot in the tree base and the roots. Thus, the decay leads to mechanical failure of trees. In the Viennese area *P. fraxinea* can also occur on ash trees, as well as – but not as frequently – on oak trees.

A possible reason for the higher incidence of *P. fraxinea* could be an increased nitrogen supply in the soil surrounding the tree and higher nitrogen levels in the timber. Both might be due to the ability of black locusts, to fix nitrogen from the ambient air. Another reason could be the substantial amounts of dog urea being deposited at the base of trees. In order to test this hypothesis the influence of nitrogen availability on wood deterioration (caused by *P. fraxinea*) were analysed in the present work.

Since utilisation of nitrogen by fungi varies from species to species an *in vitro* growth test was performed initially in order to identify a proper nitrogen source for *P. fraxinea*. Results of this test revealed that the highest growth rates had been achieved by adding asparagine. In a next step (following ÖNORM EN 113) it was tested whether or not a higher rate of nitrogen content would also lead to an increased decay rate caused by *P. fraxinea*. For that purpose sample blocks of black locust, ash and oak trees were exposed to the attack of *P. fraxinea*, by adding nitrogen to the nutrient base in form of asparagine with the concentration of 0,1 and 0,351 g N/1.

Results indicated that a higher supply of nitrogen led to an increased decay rate in the sample blocks of all tested tree species. However, they also indicated that the existence of substances preventing fungal growth could also considerably limit the accelerating function of nitrogen concerning fungal growth and wood decay.

**Keywords:** *Perenniporia fraxinea*, *Fraxinus*, *Quercus*, *Robinia*, Black Locust, Ash Tree, Oak Tree, nitrogen, nitrogen concentration, nitrogen source, radial growth, wood decay, EN 113, EN 350-1

# Kurzfassung

An der in den 1970er Jahren in europäischen Städten häufig gepflanzten Robinie wurde seit den 1990er Jahren ein Befall durch *Perenniporia fraxinea* beobachtet. Der Eschenbaumschwamm ist ein wurzelbürtiger Fäuleereger, der eine intensive Weißfäule in Wurzeln und im Stammfuß verursacht und dadurch bei befallenen Bäumen zu einer erheblichen Beeinträchtigung der Stand- und Bruchsicherheit führen kann. Neben der Robinie werden im Wiener Raum häufig auch die Esche und des Öfteren auch die Eiche von *P. fraxinea* befallen.

Das vermehrte Auftreten von *P. fraxinea* könnte auf eine höhere Stickstoffverfügbarkeit im Bodensubstrat bzw. im Holz zurückzuführen sein, zumal die Robinie in ihren Wurzeln Luftstickstoff binden kann. Andererseits kommt auf urbanen Baumstandorten der Stickstoffanreicherung durch den Eintrag von Hundeurin erhebliche Bedeutung zu. Um die o. g. Hypothese zu prüfen, wurde in der vorliegenden Arbeit der Einfluss der Stickstoffverfügbarkeit auf das Holzabbauverhalten von *P. fraxinea* untersucht.

Da die Stickstoffnutzung bei Pilzen je nach Pilzart unterschiedlich ist, wurde zunächst ein Wachstumsversuch *in vitro* durchgeführt, um eine für *P. fraxinea* geeignete N-Quelle zu finden. Dabei zeigte sich, dass die höchsten Radialzuwächse durch die Zugabe von Asparagin erzielt wurden. Darauf aufbauend wurde anhand eines Abbauversuches geprüft, ob eine erhöhte Stickstoffverfügbarkeit auch zu einer Steigerung des Holzabbaus durch *P. fraxinea* führt. Hierzu wurden Prüfkörper aus Esche, Eiche und Robinie dem Angriff von *P. fraxinea* in Reinkultur ausgesetzt und dem Nährmedium Stickstoff in Form von Asparagin in den Konzentrationen 0,1 g N/l und 0,351 g N/l beigefügt.

Die Arbeit kommt zu dem Ergebnis, dass ein höheres N-Angebot bei allen drei Holzarten zu mehr Holzabbau durch *P. fraxinea* führt. Zugleich zeigte sich, dass das Vorhandensein von Pilzhemmenden Substanzen die fördernde Wirkung des Stickstoffes in Hinblick auf Pilzwachstum und Holzabbau erheblich einschränken können.

Schlüsselwörter: Perenniporia fraxinea, Eschenbaumschwamm, Fraxinus, Quercus, Robinia, Esche, Eiche, Robinie, Stickstoff, Stickstoffkonzentration, Stickstoffquelle, Radialzuwachs, Holzabbau, EN 113, EN 350-1

# Inhaltsverzeichnis

D	ank	sagun	g	I
A	bstra	act		IV
K	urzf	assun	g	V
Ir	halt	sverz	eichnis	VI
1		Einle	itung	1
	1.1	Kι	umulatives Auftreten von <i>Perenniporia fraxinea</i> an Stadtbäumen	1
	1.2	Cł	narakteristik städtischer Böden	4
	1.3	De	er Stickstoffkreislauf im Boden	6
	1	.3.1	N-Eintrag durch Hundeurin	
	1.4	Sti	ickstoff im Baum	10
	1.5	5 Stickstoffnutzung durch Pilze		12
	1.6	1.6 Praxisrelevanz der vorliegenden Studie		14
	1.7	Zi	elsetzung der vorliegenden Arbeit	16
2		Matei	rial und Methoden	17
	2.1	Pr	üfpilz	17
	2	2.1.1	Perenniporia fraxinea	17
	2.2	Pr	üfkörper	23
	2	2.2.1	Robinia pseudoacacia	23
	2.2.2 Fraxinus exce		Fraxinus excelsior	26
	2	2.2.3	Quercus robur	28
	2	2.2.4	Herstellung der Prüfkörper	29
	2.3	Ve	erwendete Labor-Geräte	31
	2.4	Nä	ährmedium	32
	2.5	Al	olauf des Wachstumsversuchs	34
	2.6	Ał	blauf des Abbauversuchs	36
	2.7	Sti	ickstoffgehalte der Prüfkörper und des Nährmediums	41

# Inhaltsverzeichnis

	2.8	Stat	istische Auswertungen der Daten	41
3	Eı	rgebr	nisse	43
	3.1	Erg	ebnisse des Wachstumsversuchs	43
	3.2	Erg	ebnisse des Abbauversuchs	47
	3.2.		Masseverlust durch Pilzangriff	
	3.2.	.2	Holzfeuchte	
	3.2.	.3	Myzelbewuchs der Prüfkörper	61
	3.2.	.4	Myzelbewuchs der Duranflaschen	65
	3.2.	.5	Initiale Fruchtkörperstadien	69
	3.2.	.6	Kontamination durch Fremdpilze	73
	3.3	Stic	kstoffgehalte der Prüfkörper und des Nährbodens	74
	3.3.	.1	Prüfkörper	74
	3.3.	.2	Nährboden	79
4	D	iskus	ssion	80
	4.1	Dis	kussion der Ergebnisse des Wachstumsversuchs	81
	4.2	Dis	kussion der Ergebnisse des Abbauversuchs	84
	4.2.		Unterschiede zwischen den Baum-/Holzarten und deren Abbauraten	
	4.2.	.2	Einfluss von Stickstoff auf den durch P. fraxinea hervorgerufenen Masseverlust bei	
	Rol	binie	89	
	4.2.	.3	Holzfeuchte	94
	4.2.	.4	Myzelbewuchs der Prüfkörper und Duranflaschen	95
	4.2.	.5	Initiale Fruchtkörperstadien	96
	4.2.	.6	Stickstoffgehalte der Prüfkörper	98
5	Zι	usam	menfassung	100
Sc	hrifttu	ım		102
A.	bbildu	ıngsv	rerzeichnis	115
$\mathbf{T}_{i}$	abelle	nverz	zeichnis	119
			der Abkürzungen und Zeichen	
4 <b>X</b> .			nung der N-Gehalte der in der Arbeit verwendeten N-Quellen	
	,			124
	Asp	aragii	11/24	

# Inhaltsverzeichnis

Ammoniumsulfat	125
Ammoniumtatrat	126
B) Berechnungen des Stickstoffgehaltes von Harnstoff	. 127
C) Ergebnisse der Auswertungen zu Masseverlust und Holzfeuchte unter Berücksichtig aller Prüfkörper der Eiche	
Masseverlust	
Holzfeuchte	132
D) Analysen zu Kontamination durch Fremdpilze an der Prüfkörperoberfläche	. 134
E) Stickstoffkonzentrationen in Boden und Holz	. 135

# 1 Einleitung

# 1.1 Kumulatives Auftreten von *Perenniporia fraxinea* an Stadtbäumen

In den 90er-Jahren des 20. Jahrhunderts wurde in deutschen Städten vermehrt das Auftreten von *P. fraxinea* an Stadtbäumen beobachtet. Ferner wurde in der Literatur und in Pressemeldungen vermehrt darauf hingewiesen, dass in Deutschland eine Fäule im Bereich des Stammfußes und der Wurzeln besonders bei der Robinie beobachtet wird. Meist war dafür die Weißfäule von *P. fraxinea* verantwortlich (Abb. 1). *P. fraxinea* befällt aber nicht nur die Robinie, sondern auch zahlreiche andere Baumarten, wie beispielsweise Esche, Buche, Ulme. Im Wiener Raum wird auch immer wieder die Eiche befallen (Abb. 1) (Berger 2011, Montgomery 1936).





Abb. 1: Fruchtkörper von *P. fraxinea* am Stammfuss von *R. pseudoacacia*. Quelle: linke Abb.: Kehr et al. 2000a, rechte Abb.: Klug & Lewald-Brudi 2016.

Die als "stadtklimafest" geltende Robinie wurde in der zweiten Hälfte des 20. Jahrhunderts in vielen deutschen Städten gepflanzt, zumal diese auch als sehr widerstandsfähig gegenüber Schädlingen und Krankheiten gilt. (Kehr et al. 2000a, Rehnert & Böcker 2008, Wawrik 1997). Sie wurde aber nicht nur im deutschsprachigen Raum eingesetzt, sondern zum Beispiel auch in Großstädten wie Paris (Olbrich 1908).

Auch für Österreich gibt es Belege, dass zur selben Zeit vermehrt Robinien in Städten und an Straßenstandorten gepflanzt wurden: Es wird erwähnt, dass die Robinie ein wesentlicher Bestandteil Ostösterreichs ist und dort schöne Alleen und Baumreihen bildet. Ferner ist sie gut als Straßenbaum zu verwenden und sollte noch öfter eingesetzt werden. Beispielhaft wird angegeben, dass die Sorte *R. pseudoacacia* "Umbraculifera" ein beliebter Straßenbaum im Burgenland ist (Lock 1970, Machura 1970, Türk 1974). Es gibt ebenso für Wien Belege, dass die Robinie vor allem in den 70er Jahren des 20. Jahrhunderts gerne gepflanzt wurde bzw. für Straßenstandorte empfohlen wird (Auböck & Ruland 1994, Starkl 1983, ARGE Grün 1985). Für Wien gibt es noch weit ältere Empfehlungen, die Robinie auf Straßenstandorten zu pflanzen: Im Zuge der Errichtung der Wiener Ringstraße (ab 1860) wurde die Ringstraßenallee gepflanzt. Da bei den ursprünglich gepflanzten Baumarten (Götterbaum und Platane) die Ausfallsquote sehr hoch war, wurde bereits 1871 in einer Gemeinderatssitzung vorgeschlagen, zukünftig bewährte Baumarten wie Robinie, Rosskastanie und Ahorn zu wählen (Masanz & Nagl 1996).

Seit 2011 stellt die Stadt Wien im Internet für die rund 100.000 Alleebäume, die in Wien auf öffentlichem Grund wachsen, ein neues Informationssystem zur Verfügung. Mithilfe des online zur Verfügung gestellten Baumkatasters können zu nahezu jedem öffentlichen Stadtbaum Daten wie Baumnummer, Standort, Baumart, Pflanzjahr, Stammumfang, Kronendurchmesser und Baumhöhe abgerufen werden (Anonym 2011). Anhand dieser Daten wurde bei den in Wien öffentlich wachsenden Robinien¹, die Altersverteilung (Pflanzjahr) untersucht. In Abbildung 2 ist zu sehen, dass in Wien heute tendenziell die meisten Robinien (31,4 %) aus den Jahren zwischen 1970 und 1990 stehen. Die größte Anzahl findet sich heute aus dem Jahr 1987 mit 109 Robinien, gefolgt von 107 Robinien aus dem Jahr 1980. Man muss aber davon ausgehen, dass einige der damals gepflanzten Robinien nicht mehr stehen, da die Lebenserwartung von Bäumen in Städten um einiges geringer ist als an natürlichen Standorten. In Berlin liegt die durchschnittliche Lebenserwartung eines Straßenbaumes bei ca. 60 Jahren (Balder et al. 1997). Die derzeit in Wien wachsenden Robinien haben ein durchschnittliches Alter von 34 Jahren (MA 42 2016).

-

<sup>1</sup> Jene Robinien, die in Parkanlagen wachsen wurden nicht berücksichtigt

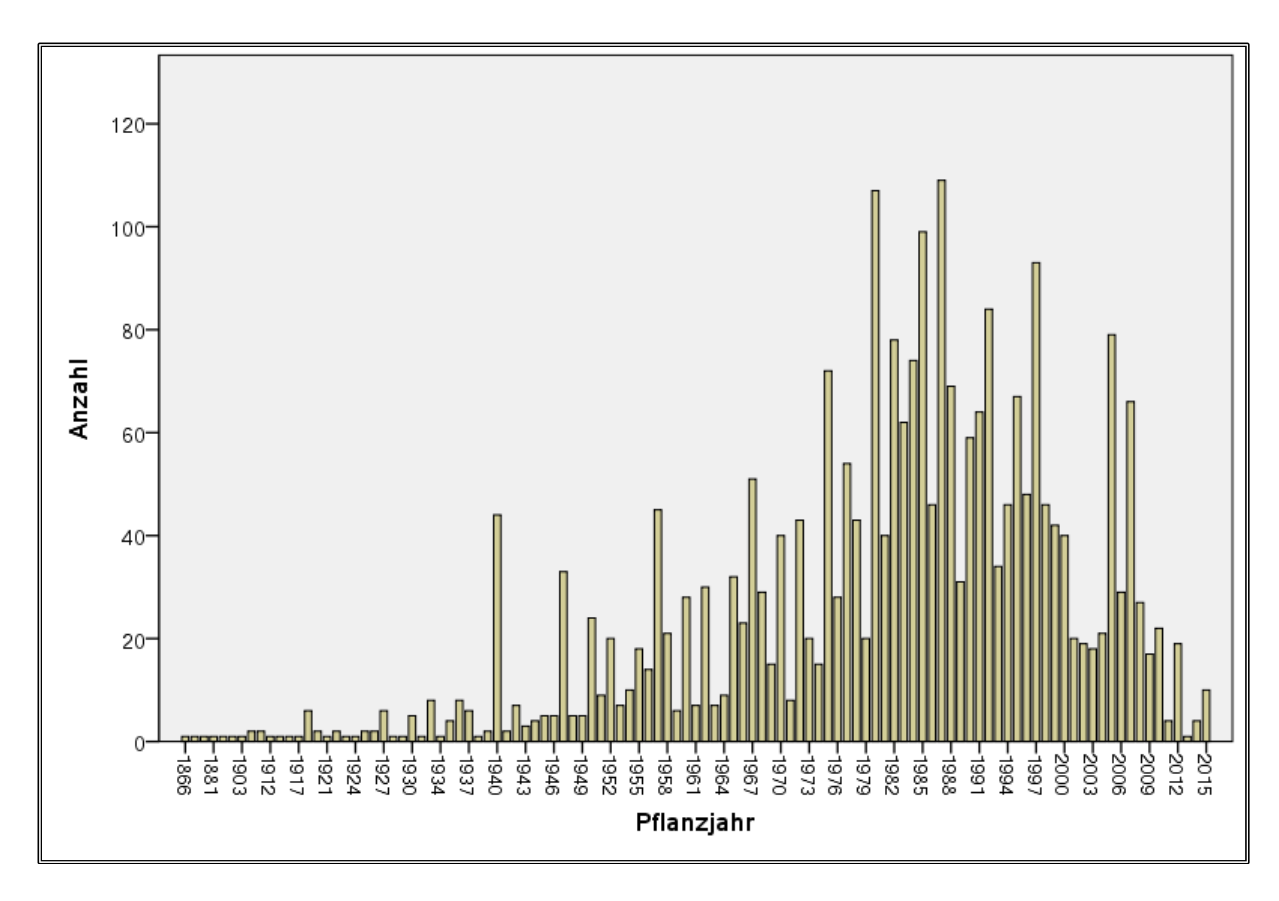


Abb. 2: Anzahl der in Wien öffentlich wachsenden Robinien in Abhängigkeit vom geschätzten bzw. tatsächlichen Pflanzjahr. Die in Wiener Parkanlagen gepflanzten Robinien wurden nicht berücksichtigt. (Anm.: Das Alter der einzelnen Bäume wurde aufgrund des Stammumfanges geschätzt. Erst seit 2006 ist das genaue Pflanzjahr bekannt).

Quelle: Grafik erstellt nach Daten von MA 42 2016.

Auch eine Untersuchung von Rehnert & Böcker (2008), bei der das Spektrum der lignicolen Pilze an Robinien im urbanen Bereich mit jenem von Robinien in ruralen Gebieten (Naturstandorte) verglichen wurde, zeigte, dass bei im städtischen Umfeld gepflanzten Robinien der Befall mit parasitischen Pilzen stark zunimmt. Besonders häufig gefundene Pilzarten (Leitarten) an Robinie im städtischen Bereich waren die Fäuleereger Kretzschmaria deusta, Perenniporia fraxinea, Laetiporus sulphureus und Pholiota squarrosa.

In Fachkreisen werden verschiedene Gründe aufgezählt, die zum häufigeren Auftreten des Eschenbaumschwammes an Robinie führen könnten: Ein noch nicht hinreichend untersuchter Faktor könnte eine höhere N-Verfügbarkeit im Bodensubstrat bzw. im Holz sein. Wie in Kap. 2.2.1 beschrieben, ist es der Robinie einerseits möglich, über sogenannte Wurzelknöllchen in ihren Wurzeln aktiv Luftstickstoff zu binden. Andererseits sind Baumstandorte in der Stadt zudem häufig durch den Eintrag von Hundeurin mit Stickstoff angereichert (siehe Kap. 1.3.1) (Kehr et al. 2000a). Andere Gründe für die Ausbreitung des Pilzes können die

Klimaerwärmung (siehe Kap. 2.1.1.1) und ungünstige Straßenstandorte (siehe Kap. 1.6) sein. Bezogen auf eine höhere N-Verfügbarkeit gibt es bereits mehrere Arbeiten, die den Einfluss von Stickstoff auf den durch holzzerstörende Pilze verursachten Holzabbau untersuchen: Cowling & Merrill (1966) halten in ihrer Arbeit zu Stickstoff und Holzabbau fest, dass bereits geringfüge Zugaben von Stickstoff bei Pilzen sowohl das Wachstum, als auch deren Holzabbauleistung fördert. Erwähnt werden beispielsweise Versuche von Findlay (1934) oder Hopffgarten (1933), bei denen Holzklötze mit einer wässrigen N-Lösung getränkt wurden. Von ähnlichen Ergebnissen berichtet auch Kehr et al. (2000b), wobei in diesem Fall der Stickstoff dem Nährmedium zugeführt wurde. Findlay (1934) gibt zusätzlich an, dass auf nährstoffreicheren Standorten ein Holzabbau durch Pilze öfters auftritt als auf nährstoffarmen

Standorten. Er begründet das damit, dass das reichere N-Angebot den Befall durch holzzerstörende Pilze offenbar fördert. Dennoch gibt Kehr et al. (2000a) an, dass in Hinblick

auf das vermehrte Auftreten des Eschenbaumschwamms noch nicht eindeutig geklärt ist, ob ein

höherer N-Gehalt des Substrates den Befall und Abbau des Holzes durch P. fraxinea fördert.

#### 1.2 Charakteristik städtischer Böden

Der Boden bildet neben den umgebenden klimatischen Bedingungen einen wichtigen Teil des Pflanzenstandortes. Den Wurzeln dient er zur Verankerung, schützt vor Wärme und Licht und versorgt die Pflanze mit Wasser, Sauerstoff und Nährstoffen. Da es sehr viele verschiedene Bodentypen mit unterschiedlichen ökologischen Eigenschaften gibt, wird im Folgenden auf den Boden und den Standort in der Stadt näher eingegangen (Blume 1997).

Von der Europäischen Union wurde 2004 folgende Definition von Stadtböden herausgegeben: "Stadtböden beinhalten natürliche, anthropogen modifizierte und hinsichtlich ihrer Substrate komplett vom Menschen aufgebaute Böden, die beeinflusst sind durch Industrie, Bergbau, Siedlung, Infrastruktur, Verkehr und Militär" (European Union Report 2004).

Bäume auf städtischen Standorten sind im Gegensatz zu Bäumen auf natürlichen Standorten völlig anderen Lebensbedingungen ausgesetzt. Da durch menschliche Eingriffe die natürliche Horizontfolge meist gestört ist, gibt es in Städten größtenteils Standorte mit künstlichen Substraten. Dies führt zu räumlich stark wechselnden Bodenverhältnissen, die gekennzeichnet sind durch Oberflächenversiegelung und -verdichtung, Fehlen der organischen Streuauflage,

Schadstoff-Belastungen, Fremdstoff-Beimischungen, Kapillaritätsunterbrechungen, Stau- und Verdichtungshorizonten und überdeckten humosen Zonen im Untergrund. Der durch Bodenversiegelung und -verdichtung, oder defekte Gasleitungen verursachte Sauerstoffmangel beeinflusst nicht nur die Sauerstoffversorgung der Wurzeln, sondern fördert auch den N-Verlust durch Denitrifikation (Balder et al. 1997, Blume 1996, Schubert 2006, Trolldenier 1971).

Die Böden der städtischen Baumscheiben sind meist von dem vorangegangenen Bau einer Straße beeinflusst. Das Substrat ist steinreich, alkalisiert und mit Schadstoffen kontaminiert (Blume 1996).

Die N-Gehalte in urbanen Böden variieren im Gegensatz zu natürlich gewachsenen Böden oft sehr stark. Es gibt sogar Fälle, bei denen in tieferen Bodenschichten ungewöhnlich hohe N-Gehalte nachgewiesen wurden, obwohl dies unter natürlichen Bedingungen sonst nicht der Fall ist. Ein Grund für solche N-Verlagerungen sind u. a. Bauarbeiten, bei denen tiefhumose Böden in tiefe Schichten verlagert werden. Besonders hoch sind die Gesamtstickstoffgehalte bei Park-, Grünflächen, Kleingärten und Einzelhäusern (1,25 - 2,5 mg/g), etwas geringer bei Blockbebauung, in Innenstadtbezirken oder in innerstädtischen Waldstandorten (0,62-1,25 mg/g) (vgl. Tabelle im Anhang Teil E) (Stahr 2003). Ein weiterer Faktor, der den Gesamtstickstoffgehalt urbaner Böden beeinflussen kann, sind Düngergaben bei der Neupflanzung von Bäumen. Erst Anfang der 1990er Jahre wurde die gängige Praxis, das Pflanzsubstrat mit Nährstoffen anzureichern, kritisch hinterfragt (Krieter 1993).

Untersuchungen von Baumstandorten in Wien durch Braun (1990) bestätigen die oben ausgeführten allgemeinen Angaben zu urbanen Böden. Besonders für den Wiener Raum ist, dass aus geologischen Gründen bereits die natürlich gewachsenen Böden sehr stark divergieren. Der Untergrund in Wien setzt sich unter anderem aus Lößlehmen, Sandstein, Dolomit, kalk- und silikathaltigem Schotter zusammen. Die untersuchten Baumscheiben hatten in Wien meist keine natürliche Schichtung, waren oberflächlich verdichtet und bestanden in unteren Schichten aus schottrig-ziegeligem Material. Bei Neupflanzungen ist es häufig der Fall, dass ortsfremde Erde eingebracht wird (Glatzel & Krapfenbauer 1975).

5

٠

<sup>&</sup>lt;sup>2</sup> So wurden bei Böden im Bereich einer Militärkaserne im Unterboden (30-100 cm Tiefe) 3,5 mg N/g gemessen und in Oberboden (0-30 cm Tiefe) nur 1 mg N/g. Bei allen anderen Standorten dieser Untersuchung waren die Werte für die Unterböden um etwa die Hälfte geringer als in den Oberböden (Stahr 2003).

#### 1.3 Der Stickstoffkreislauf im Boden

Stickstoff wird zu den Hauptnährelementen gezählt und kann aufgrund seiner verschiedenen Oxidationsstufen von -3 bis +5 eine Vielzahl an Verbindungen eingehen. In Pflanzensubstanzen ist Stickstoff mengenmäßig meist das dominierende Hauptnährelement, während er in den Ausgangsgesteinen der Bodenbildung und in der mineralischen Bodensubstanz nur in sehr geringen Mengen vorkommt (Scheffer et al. 2010).

In der Natur ist das größte N-Reservoir die Atmosphäre (95 % des globalen N-Vorrats ist in der Atmosphäre gebunden), deren N<sub>2</sub>-Gehalt für Pflanzen jedoch nicht verfügbar ist und unter anderem erst durch biologische N<sub>2</sub>-Bindung in den Boden gelangen muss. Der durch die biologische N<sub>2</sub>-Bindung in den Boden gelangte Stickstoff wird durch verschiedene Prozesse in organische und anorganische Verbindungen umgewandelt. Der N-Kreislauf (Abb. 3) schließt sich, wenn der Stickstoff in Form von Gasen (z. B. N<sub>2</sub>, N<sub>2</sub>O, NO oder NH<sub>3</sub>) wieder in die Atmosphäre gelangt (Frede & Bach 1996, Scheffer et al. 2010).

Neben der N<sub>2</sub>-Bindung kann auch N-Deposition aus der Atmosphäre zum N-Eintrag beitragen. In Mitteleuropa tragen vor allem N-Emissionen aus Industrie, Kraftverkehr und Landwirtschaft zu beachtlichen N-Immissionen bei (Abb. 3). Durch Verminderung der Emissionen sind die Einträge in den letzten Jahren Rückläufig.<sup>3</sup> N-Deposition, verursacht durch elektrische Entladungen bei Gewittern oder durch Einwaschen von Nitrat oder Nitrit in Form von Salpetersäure oder salpetrige Säure, ist in den gemäßigten Breiten gering (Schubert 2006).

Weitaus wichtiger ist die biologische  $N_2$ -Fixierung durch bestimmte Prokaryoten (Bakterien). Sie besitzen das Enzym Nitrogenase und können somit  $N_2$  zu Ammoniak reduzieren und den gewonnenen Ammoniak zur Synthese von Aminosäuren, Proteinen usw. verwenden. Je nach Vorkommen und Lebensweise werden drei  $N_2$ -fixierende Systeme unterschieden:

Die bedeutendste Gruppe bilden die in Symbiose mit Pflanzenwurzeln lebenden und knöllchenbildenden Mikroorganismen (siehe Kap. 2.2.1). Die zweite Gruppe bilden Mikroorganismen-Assoziationen, die keine Knöllchen bilden, sondern auf der Wurzel oder in Interzellularen leben. Die dritte Gruppe ergibt sich aus frei im Boden lebenden Mikroorgansimen (Amberger 1996).

Bei der Mineralisation (Abb. 3) entsteht zunächst Ammonium und in weiterer Folge Nitrit und Nitrat. Die Mineralisation beschreibt den Abbau des in organischer Substanz (=pflanzliche und

<sup>&</sup>lt;sup>3</sup> In Gießen wird seit mehreren Jahren auf der Versuchsstation des Instituts für Pflanzenernährung die nasse N-Deposition gemessen. Seit 1998 wurde dabei ein kontinuierlicher Rückgang festgestellt; 2004 lag der Wert bei rund 10 kg N/ha.
Wawrik (1997) schreibt hingegen, dass der aus der Luft, mit den Niederschlägen, eingebrachte Stickstoff zunimmt.

tierische Abfälle) gebundenen Stickstoffs durch Bakterien (Schubert 2006). Der durch tierische Ausscheidungen verursachte organische Stickstoff, wird zu einem Großteil von Regenwürmern – wegen ihrer großen Biomasse ein wichtiger Faktor – ausgeschieden. Die Regenwürmer scheiden ihn einerseits als Mucoprotein über Drüsenzellen der Haut und andererseits über den Urin als Ammoniak und Harnstoff aus (siehe Kap. 1.3.1) (Trolldenier 1971).

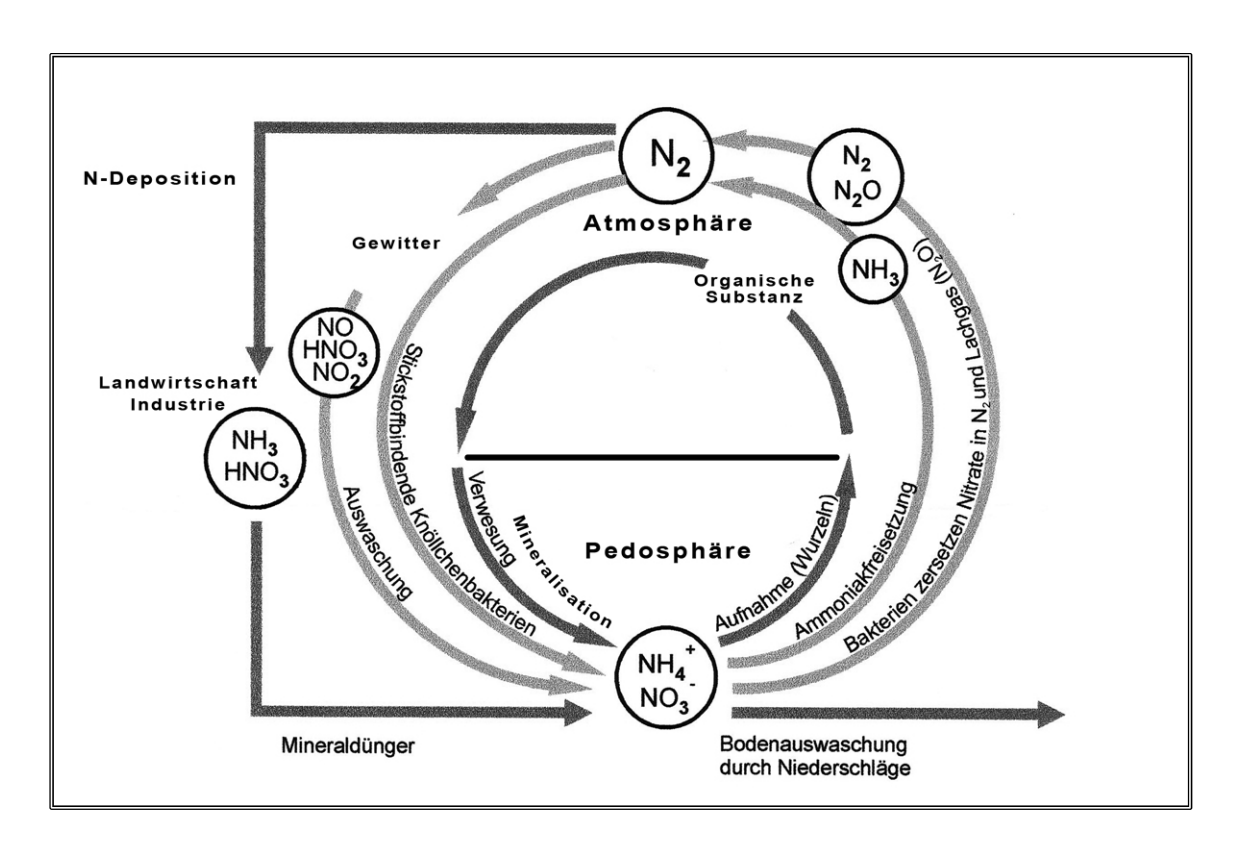


Abb. 3: Stickstoffkreislauf.

Quelle: Modifiziert nach Bildungsserver Sachsen-Anhalt 2016.

Ein weiterer Faktor im N-Kreislauf sind N-Verluste (Abb. 3). Dabei werden drei verschiedene Prozesse unterschieden: volatile NH<sub>3</sub>-Verluste, Nitratauswaschung und Denitrifikation. Volatile NH<sub>3</sub>-Verluste treten auf, wenn im Boden Ammonium vorhanden ist und gleichzeitig der pH-Wert hoch ist. Zur Auswaschung von Nitrat kommt es aufgrund seiner geringen Bindung im Boden. Bei der Denitrifikation wandeln Bakterien Nitrat in Lachgas (N<sub>2</sub>O) oder N<sub>2</sub> um (Schubert 2006). Der durch Denitrifikation entweichende Stickstoff beträgt in sandigen Böden 11-25 %, in Tonböden 16-31 % und in Moorböden 19-40 % (Trolldenier 1971). Denitrifikation und Auswaschung bilden die Haupt-Verlustquellen des Stickstoffs im Boden (Solansky 1982).

Stickstoff kann in mehreren Formen<sup>4</sup> im Boden vorliegen, ist jedoch im Normalfall fast ausschließlich in organischer Bindung vorhanden (Alcubilla & Rodenkirchen 1985, Heinze & Fiedler 1992). Amberger (1996) gibt an, dass lediglich rund 5 % des Stickstoffs in anorganischer Form vorhanden sind. Der organisch gebundene Stickstoff stammt aus der Atmosphäre, aus Rückständen der Vegetation und Bodenorganismen, aus deren Stoffwechselprodukten und aus Huminstoffen (siehe Kap. 1.3.1). Eine Ausnahme bilden gedüngte, lehmige bis tonige Böden: durch eine NH<sub>4</sub><sup>+</sup>-Fixierung, kann der Anteil an anorganischem Stickstoff hier bis zu 20 % betragen.

Der organische Stickstoff liegt zumeist in Amid- und Peptidstrukturen vor, des Weiteren in Proteinen, Aminosäuren und Aminozuckern. Amide und Peptide bilden einen sehr stabilen N-Pool, während pflanzliche Aminosäuren und Proteine einen labilen N-Pool bilden. In welchen Mengen die einzelnen organischen N-Verbindungen vorhanden sind, variiert stark je nach den unterschiedlichen Bodentypen, der Bodennutzung und den klimatischen Bedingungen. In Mineralböden des gemäßigten-humiden Klimas beträgt der Gesamt-N-Gehalt (N<sub>1</sub>) 0,7-2 g/kg<sup>-1</sup> (siehe Anhang Teil E) (Scheffer et al. 2010).

Für die Ernährung können Pflanzen vor allem die leichtlöslichen N-Verbindungen Nitrat und Ammonium nutzen. Während Nitrat leicht auswaschbar ist, ist das in absorbierter Form gebundene Ammonium vor Auswaschung weitgehend geschützt. Jedoch ist der Ammonium-Anteil am Gesamt-Stickstoff meist weniger als 1 % (Scheffer et al. 2010).

#### 1.3.1 N-Eintrag durch Hundeurin

Im urbanen Bereich kommt zu den in Kap. 1.3 genannten N-Quellen noch der N-Eintrag durch Hundeurin. Diese zusätzliche Belastung ist bei städtischen Baumstandorten aus folgenden Gründen relevant:

- Das baumumgebende Substrat wird durch Hundeurin mit Harnstoff belastet und somit mit Stickstoff angereichert (Kehr et al. 2000a).
- Die möglichen ökologischen Folgen durch eine N-Anreicherung von Baumstandorten beschreiben Krieter & Malkus (2000): Ist mehr nutzbarer Stickstoff vorhanden,

<sup>&</sup>lt;sup>4</sup> N kann im Boden vorliegen: als Bestandteil von Mineralien, oder Humusstoffen; als austauschbare Kationen oder Anionen an der Oberfläche von Huminstoffen, Tonmineralen, oder Fe-, Mn- oder Al-Oxiden/Hydroxiden; als freie Ionen in der Bodenlösung.

reagieren Bäume mit mehr Blattwachstum, längeren Seiten- und Haupttrieben, einer größeren Anzahl an Knospen und insgesamt einer größeren Krone. Der Baum wirkt dadurch sehr vital, auch wenn er von Fäulepilzen bereits geschädigt ist.

Die Urinbelastung verursacht Bast- und Kambium-Schäden im Bereich des Stammfußes und des Wurzelanlaufes. Diese Schadsymptome können einerseits durch den Befall mit *P. fraxinea* verursacht sein, oder andererseits Eintrittspforten für holzzerstörende Pilze sein (Kehr et al. 2000a). Untersuchungen von Rehnert & Böcker (2008) ergaben, dass Robinien mit Verletzungen des Kambiums signifikant häufiger von parasitischen Pilzen befallen werden als nicht verletzte.

Je nach Größe des Hundes werden pro Hund ca. 0,04-21 Harn abgegeben (Witzigmann 1940). Messungen in Berlin haben ergeben, dass in einer durchschnittlichen innerstädtischen Straße täglich 30 ml Harn pro Baum abgegeben werden. Rein rechnerisch gelangen pro Jahr somit 10 l Harn an einen Baum. Die Schadsymptome an betroffenen Pflanzenteilen sind vielfältig. Unverholzte Triebe, Blätter und Feinwurzeln werden bereits durch eine einmalige Kontamination mit Hundeurin geschädigt. Dabei können die Schäden auch zum Absterben der betroffenen Pflanzenteile führen. Bei jungen, dünnrindigen oder empfindlichen Gehölzen treten bei erhöhter Konzentration Bast- und Kambium-Nekrosen auf, wobei die Robinie zu den besonders empfindlichen Baumarten zählt (Balder 1994).

Im Harn wird Stickstoff meist in Form von Harnstoff, aber auch als Ammoniak ausgeschieden. Der Harn des Hundes beinhaltet zwischen 1,5-6,0 % Harnstoff (Witzigmann 1940). Untersuchungen des Harns der Hunderasse Beagle ergaben durchschnittlich 27,9 mg Harnstoff pro dl Harn<sup>5</sup> (Badura 1990). 27,9 mg Harnstoff enthält 13,02 mg Stickstoff. Bei einer täglichen Belastung von 30 ml Harn gelangen somit 3,906 mg Stickstoff in den Boden; das ergibt bei 10 l Harn pro Jahr bereits 1,302 g N (siehe Anhang Teil B).

Harnstoff wird von verschiedenen Mikroorganismen unter Zuhilfenahme des Enzyms Urease in Kohlendioxid und Ammoniak aufgespalten. Da im Boden meistens ein gewisser Ureasespiegel vorhanden ist, kann diese Reaktion auch ohne Mikroorganismen ablaufen (Trolldenier 1971).

9

<sup>&</sup>lt;sup>5</sup> Der Durchschnittswert ergab sich aus Angaben zu 20 Hunden. Pro Hund wurden nach 0, 1, 7 und 14 Tagen Proben genommen.

#### 1.4 Stickstoff im Baum

Im Allgemeinen können sich Pflanzen sowohl von organischem, als auch von mineralischem Stickstoff ernähren. Da Rhizosphärenbakterien organischen Stickstoff in Form von freien Aminosäuren sehr gut nutzen können, ist Stickstoff in organischer Form häufig nicht pflanzenverfügbar. Aus diesem Grund decken Pflanzen ihren N-Bedarf fast ausschließlich aus mineralischen Verbindungen (Schubert 2006).

Mineralischer Stickstoff wird von den Wurzeln hauptsächlich als Nitrat und Ammonium aufgenommen (Scheffer et al. 2010). Die Aufnahme erfolgt dabei in zwei Stufen: Zuerst erfolgt die Reduktion von Nitrat über Nitrit (NO<sub>2</sub>) zu Ammonium, anschließend wird das Ammonium in Aminosäuren eingebaut (Schubert 2006, Engels & Marschner 1995). Dieser Prozess benötigt viel Energie und Kohlenstoff; das Verhältnis gespendeter Kohlenstoff zu gewonnener Stickstoff ist 5:1. Bei einer schlechten Sauerstoffversorgung der Wurzelzone (verdichtete Baumscheiben bei Straßenbäumen) benötigt ein Baum bis zu 20-mal mehr Kohlenstoff um dieselbe Menge Stickstoff aufzunehmen (Coder 1997, Engels & Marschner 1995).

Generell ist in Angiospermen mehr Stickstoff gespeichert als in Gymnospermen, in der Baumkrone mehr als im Stamm- und Wurzelholz und im Splintholz mehr als im Kernholz (Cowling & Merrill 1966). Innerhalb eines Baumes wird in den Blättern und Knospen der meiste Stickstoff gespeichert (50 % des gesamten Stickstoffs im Baum), gefolgt von Ästen und Stamm, Wurzeln und Zweigen. Der Gehalt ist auch in physiologisch aktiven Zellen und meristematischen Geweben (z. B. Kambium) am höchsten. Wenn man nur den Stamm betrachtet, so ist der N-Gehalt im Phloem (Rinde) viel höher als im Holz. Daher wird für Wachstumsprozesse der N-Vorrat im Phloem genutzt. Da bei älteren Bäumen der Anteil der Rinde am Stamm jedoch vergleichsweise gering ist, wird – von der Trockensubstanzverteilung her – mehr Stickstoff aus dem Holz mobilisiert (Coder 1997, Marutzky & Roffael 1977, Schestag 1988).

Da die Verfügbarkeit von Stickstoff variiert, haben Pflanzen Mechanismen entwickelt, um einerseits Stickstoff zu speichern und andererseits aber auch Stickstoff, der sich im Zytoplasma von Kambium-Zellen befindet, zu recyceln. Somit ist die Stickstoffversorgung weitgehend unabhängig von der Verfügbarkeit im Boden (Engels & Marschner 1995, Merrill & Cowling 1966). Während eines Jahres unterliegt der N-Vorrat im Baum starken Schwankungen. Im Herbst und Winter steigt der N-Gehalt in den verholzten Geweben an. Wenn im Frühjahr die Wachstumsphase beginnt, wird dieser N-Vorrat benötigt und die N-Konzentration nimmt ab. Erst wenn der in den Blättern enthaltene Stickstoff im Herbst in die

überwinternden Organe verlagert wird, steigt die Konzentration wieder an (Schestag 1988). Im Gegensatz dazu gibt Marmann (1998) an, dass die N-Konzentration im Holz während des Blattaustriebs und der Zuwachsphase im Sommer keinen signifikanten Veränderungen unterliegt.

Der N-Gehalt schwankt aber nicht nur im Jahreszeitenverlauf, sondern nimmt auch mit zunehmendem Alter des Baumes ab. Beispielsweise hat das jüngste Holz der Esche einen N-Gehalt von 5 %. Im Gegensatz dazu enthält älteres Splintholz nur mehr 1,3-1,7 % Stickstoff (Schestag 1988). Dies wird von Marmann (1998) bestätigt. Laut seinen Untersuchungen ist die N-Konzentration in den jüngeren Stammabschnitten deutlich höher als an der Stammbasis.

Allgemein wird die Zusammensetzung des Xylemsaftes durch das N-Angebot des Bodens, die Wasserversorgung vor Ort und Be- und Entladungsvorgänge innerhalb des Baumes (Remobilisierung von gespeichertem Stickstoff, N-Aufnahme aus der Bodenlösung, N-Entzug durch Speicherung oder Wachstum) beeinflusst (Marmann 1998).

Bollard (1958) hat bei Analysen des Xylemsaftes verschiedener Baumarten herausgefunden, generell Asparagin und Glutamin die häufigsten N-Verbindungen Seegmüller (1999) hat verschiedene Einflüsse auf die N-Ernährung der Stieleiche untersucht. Im Zuge dieser Untersuchungen wurden die Xylemsäfte im Spross und in der Pfahlwurzel von zwölf Bäumen auf enthaltene stickstoffhaltige Verbindungen untersucht. In gleicher Weise wurden auch die Phloem-Exsudate der Spross- und Wurzelrinde untersucht. Der Wurzelxylemsaft wies gut die vierfache Menge an nicht proteinogenem Stickstoff auf wie der Sprossxylemsaft. Der Grund dafür ist, dass der Stickstoff sich entweder ins Phloem verlagerte oder für Wachstum und Speicherung benötigt wurde. Über 90 % der gefundenen N-Verbindungen im Xylemsaft wurden als Aminosäuren oder Ammonium transportiert, wobei das Ammonium einen sehr geringen Anteil ausmachte. Demzufolge wurde das aufgenommene Ammonium in den Wurzeln weitgehend in Aminoverbindungen assimiliert und in dieser Form in das Xylem geladen (oder eingebaut). Nur etwa 10 % wurden in der Form des Nitrats transportiert. Die häufigste Aminoverbindung im Xylemsaft war Asparagin, wobei jedoch auch nur • des Asparagin-Stickstoffs des Wurzelxylemsaftes in den Spross gelangte (Seegmüller 1999).

Auch im Phloem wurde mehrheitlich Asparagin gefunden. Wieder war der Gehalt in der Wurzel doppelt so hoch wie im Spross. Im Gegensatz zum Xylem wurde im Phloem kein Nitrat nachgewiesen (Seegmüller 1999).

Im Allgemeinen liegt der Gesamtstickstoffgehalt im Holz<sup>6</sup> zwischen 0,05-0,2 %; dieser Wert ist abhängig von Holzart, Kern- oder Splintholz, dem jeweiligen Jahrring und anderen Parametern (Sheppard 2012).

# 1.5 Stickstoffnutzung durch Pilze

Für Wachstum und Entwicklung der Pilze stellt Stickstoff einen essentiellen Nährstoff dar. Besonders Holzzerstörende Pilze benötigen viel Stickstoff für die Entwicklung von Sporophoren. Da der im Holz verfügbare Stickstoff generell gering ist (siehe Kap. 1.4), haben besonders Holz- und Baumpilze Mechanismen entwickelt, um mit wenig Stickstoff zu überleben. Sie können beispielsweise in ihrem eigenen Myzel gespeicherten Stickstoff, durch einen Prozess aus Autolyse und Wiederverwendung, nutzen (Cowling & Merrill 1966, Kehr et al. 2000b, Levi et al. 1968). Schmidt (1994) betont, dass Stickstoff insofern einen limitierenden Faktor darstellt.

Pilze können im Allgemeinen die verschiedensten N-Verbindungen nutzen. Abbildung 4 gibt einen Überblick über die für Pilze verfügbaren N-Verbindungen. Je nach Pilzart werden jedoch meist bestimmte N-Verbindungen bevorzugt. Wenn die bevorzugten N-Verbindungen nicht vorhanden oder zugänglich sind, können Pilze auch nicht präferierte N-Verbindungen nutzen (Jennings & Lysek 1999). Im Gegensatz zu verschiedenen Bakterien und Algen können Pilze keinen Luftstickstoff fixieren (Griffin 1994, Lilly & Barnett 1951, Schmidt 1994, Steinberg 1939).

\_

<sup>&</sup>lt;sup>6</sup> Siehe dazu auch Anhang Teil E.

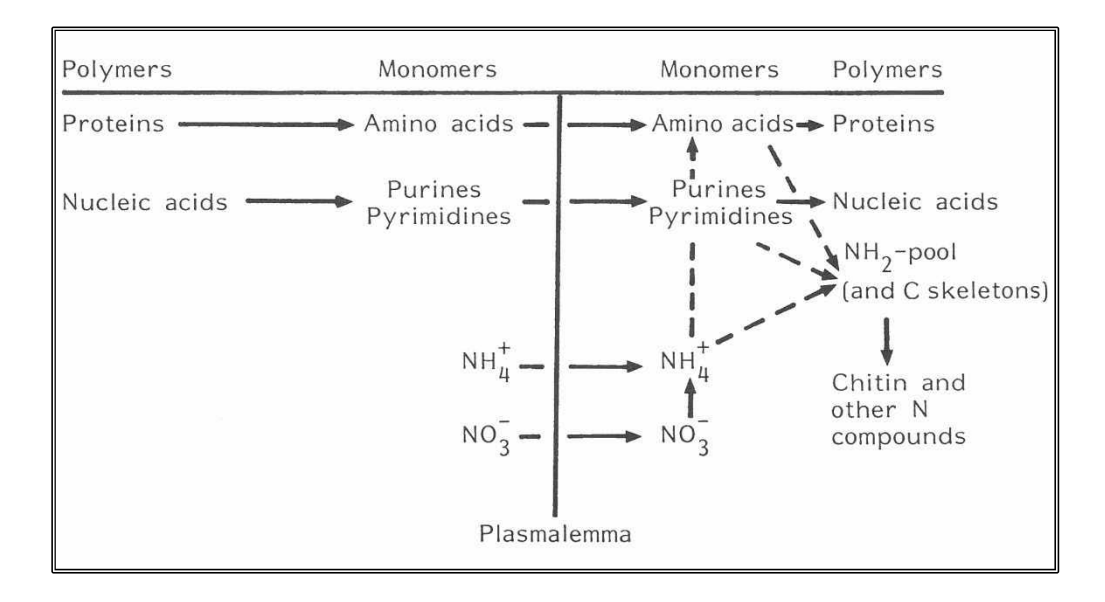


Abb. 4: Die Hauptstickstoffverbindungen, die den Pilzen unter natürlichen Bedingungen zur Verfügung stehen (mit Ausnahme von Chitin) und die Darstellung der N-Umwandlung im Inneren des Pilzes. Die gestrichelten Linien stellen einzelne Prozesse des Stoffwechsels vereinfacht dar.

Quelle: Jennings & Lysek 1999.

In der Literatur gibt es gemeinhin und speziell für einzelne Pilzarten zahlreiche Angaben zur Nutzung von verschiedenen N-Verbindungen, u. a. Cowling & Merrill (1966), Griffin (1994), Hacskaylo et al. (1954), Jennings (1995), Käärik (1960), Lilly & Barnett (1951), Schmidt (1994).

Käärik (1960) hat Versuche mit Bläuepilzen und verschiedenen N-Quellen durchgeführt. Dabei kam er zu folgenden Ergebnissen:

- Die meisten getesteten Bläuepilze können Nitrat-Stickstoff nicht nutzen; insgesamt können nur wenige Pilzarten Nitrat-Stickstoff nutzen.
- Wenn Ammonium-Stickstoff und Nitrat-Stickstoff gleichzeitig angeboten werden, wird von den Pilzen zuerst der Ammonium-Stickstoff genutzt.
- Trotz des hohen Säuregehaltes von Ammonium-Stickstoff ist die Trockenmasseproduktion bei einem Nährmedium mit Ammonium-Stickstoff größer als bei Nitrat-Stickstoff.

■ Im Allgemeinen beziehen Bläuepilze den Stickstoff aus Parenchym-Zellen und Xylemsaft in organischer Form<sup>7</sup> als freie Aminoverbindungen und Aminosäuren. Die häufigsten N-Quellen sind Asparagin und Glutamin.

Cowling & Merrill (1966) schreiben, dass alle holzzersetzenden Basidiomyceten Ammonium-Stickstoff nutzen können. Manche Basidiomyceten können zwar auch Nitrat-Stickstoff nutzen, aber generell können holzzersetzende Basidiomyceten am besten Aminosäuren nutzen. Die Autoren geben weiters an, dass künstliche Nährmedien für das erfolgreiche Wachstum von Pilzen einen N-Gehalt zwischen 0,07-0,11 % aufweisen sollten. Hacskaylo et al. (1954) gibt zusätzlich an, dass Asparagin in Pflanzen weit verbreitet ist und von vielen Mikroorganismen leicht genutzt werden kann.

Von Lilly & Barnett (1951) gibt es eine Liste von Pilzen, die Ammonium-Stickstoff nutzen können. Der Eschenbaumschwamm wird darin nicht aufgelistet, allerdings die Gattung Lenzites, die wie der Eschenbaumschwamm zur Familie der Polyporaceae gehört. Diese Liste wird mit dem Verweis auf ihre Unvollständigkeit Jahre später von Jennings zitiert (Jennings 1995). Indes listen sowohl Hacskaylo et al. (1954), als auch Lohwag (1957) einige Pilze der Familie Polyporaceae auf, die auch andere N-Formen (beispielsweise Asparagin, oder Pepton) bevorzugen.

Aufgrund dieser Angaben aus der Literatur und der Verwendung von N-Quellen, die auch Käärik (1960) für seine Versuche verwendet hat, wurden für den im Zuge dieser Arbeit durchgeführten Wachstumsversuch (siehe Kap. 2.5) Ammoniumsulfat, Ammoniumtartrat (beide anorganische N-Quellen) sowie Asparagin (organische N-Quelle, Aminosäure) verwendet.

# 1.6 Praxisrelevanz der vorliegenden Studie

Die Robinie wurde im deutschsprachigen Raum in den 70er-Jahren gerne an schlechten Straßenstandorten gepflanzt, da sie sich auch an ungünstigen Standorten behaupten kann. Es hat sich allerdings gezeigt, dass auf solchen Stressstandorten auch die Robinie nach einigen Standjahren anfällig für Erkrankungen wird. So fanden sich vom Eschenbaumschwamm befallene Robinien häufig auf zu kleinen Baumscheiben mit verdichtetem Substrat, die überdies vermutlich durch Hundeurin und Streusalz belastet waren (Kehr et al. 2000a, Jaschinski 2012).

<sup>&</sup>lt;sup>7</sup> Garrett (2011) weist darauf hin, dass Stickstoff im Xylemsaft vor allem in organischer Form transportiert wird.

Es gibt mehrere Gründe, warum trotz des seltenen Auftretens<sup>8</sup> des Eschenbaumschwammes, diese Erkrankung von Park- und Straßenbäumen für die Praxis äußerst relevant ist:

- Der Eschenbaumschwamm verursacht durch eine intensive Weißfäule in Wurzeln und Stammfuß eine erhebliche Beeinträchtigung der Stand- und Bruchsicherheit von befallenen Bäumen (Abb. 9).
- Die Schadsymptome (abweichendes Rindenbild, sowie wulstartige Ausformungen), die einen Befall mit dem Eschenbaumschwamm andeuten, sind äußerst unscheinbar und nur sehr schwer zu erkennen. Daher kann der Befall leicht übersehen werden.
- Fruchtkörper, die das Erkennen der bestehenden Erkrankung entscheidend vereinfachen, werden erst im Spätstadium des Befalles gebildet. Erschwerend kommt hinzu, dass sie mitunter schwer zu erkennen sind (Abb. 5).
- Trotz erheblicher Beeinträchtigung der Standsicherheit können befallene Bäume optisch oft noch eine Vitalität zeigen gute (Jaschinski 2012), wodurch die vom Baum Gefährdung häufig ausgehende falsch eingeschätzt wird.
- Da der Pilz nur selten auftritt, ist die Gefahr einer Abb. 5: Fruchtkörper (siehe Pfeile) von Verwechslung, bzw. die Gefahr, dass der Befall generell übersehen wird, relativ groß.



P. fraxinea am Stammfuss von Populus im Wiener Prater.

Im Wiener Raum wird neben Esche und Robinie des Öfteren auch die Eiche von P. fraxinea befallen (Berger 2011). Da es in Wien mit Stand 2015 796 – auf öffentlichen Straßen wachsende - Eichen gibt, ist auch diese Baumart für die Praxis relevant<sup>9</sup> (MA 42 2016). Um die Ergebnisse der vorliegenden Arbeit – der durch P. fraxinea verursachte Holzabbau an Robinie und Eiche – besser vergleichen und interpretieren zu können, wird beim Holzabbauversuch (siehe Kap. 2.6) auch das Holz der Esche getestet.

Dies wurde auch von Herrn Berger (2011) von der MA 42 für den Wiener Raum bestätigt.

Mit Stand 2015 gibt es in Wien - bezogen auf Baumpflanzungen auf öffentlichen Straßen - 6955 Eschen und 2424 Robinien. Die Angaben zu den drei Baumarten beziehen sich auf die jeweiligen Gattungen, da die Daten der MA 42 keine Angaben zu Arten oder Sorten beinhalten.

### 1.7 Zielsetzung der vorliegenden Arbeit

Wie eingangs beschrieben, wird vermutet, dass erhöhte N-Verfügbarkeit zu einer Steigerung der Abbauleistung des Eschenbaumschwammes führt. Diese Annahme soll anhand eines Abbauversuches unter standardisierten Laborbedingungen an drei ausgewählten Baum-/Holzarten geprüft werden.

Die Ergebnisse des Abbauversuches sollen folgende Fragestellungen beantworten:

- Wird das Holz der drei getesteten Baum-/Holzarten (Esche, Eiche und Robinie) vom Eschenbaumschwamm im selben Zeitraum unterschiedlich stark abgebaut?
- Hat eine erhöhte N-Konzentration im Nährboden einen Einfluss auf die Abbauleistung des Eschenbaumschwammes?

Um eine geeignete N-Quelle zu finden wurde vor dem Abbauversuch zudem ein Wachstumsversuch durchgeführt.

Die Ergebnisse des Wachstumsversuchs sollten folgende Fragestellungen beantworten:

- Hat die N-Quelle einen Einfluss auf den Radialzuwachs von *in vitro*-Kulturen des Eschenbaumschwamms?
- Bei welcher N-Quelle zeigt der Eschenbaumschwamm den meisten Radialzuwachs in vitro?
- Hat die N-Konzentration einen Einfluss auf den Radialzuwachs des Eschenbaumschwamms in vitro?

#### 2 Material und Methoden

# 2.1 Prüfpilz

#### 2.1.1 Perenniporia fraxinea

#### 2.1.1.1 Ökologie, Herkunft und Verbreitung

Der Eschenbaumschwamm ist in Europa, Nordamerika und Asien vorwiegend in wärmeren Regionen beheimatet (Kehr et al. 2000a, Breitenbach & Kränzlin 1986). In Österreich ist *P. fraxinea* im pannonisch-illyrischen Klimabereich (thermophil) verbreitet und vor allem in Städten (Wien, Mattersburg, Graz, Klagenfurt, Villach) und deren Parkanlagen zu finden. In städtischen Lebensräumen wird der Eschenbaumschwamm durch die globale Erwärmung gefördert und breitet sich vermutlich aus. Sein natürliches Verbreitungsgebiet sind Weich- und Hartholzauenwälder entlang von großen Flüssen wie March, Donau, oder Drau (Dämon 2014). In Deutschland ist er seit den 1970er-Jahren gesichert nachgewiesen (Kehr et al. 2000a). Laut Online-Datenbank der Pilze Österreichs datiert der erste Fund für Österreich bereits aus den 1930er-Jahren (Österreichische Mykologische Gesellschaft 2016).

Obwohl die Häufigkeit seines Auftretens zunimmt, ist er in manchen Teilen Deutschlands, in Dänemark, oder in Schweden auf der Roten Liste der gefährdeten Arten zu finden (Szczepkowski 2004). Im Zuge der Suche nach Pilzfruchtkörpern in Wien, hat sich herausgestellt, dass der Eschenbaumschwamm auch in Wien (noch) sehr selten auftritt. Diese Beobachtung wurde von Herrn Berger (2014) bestätigt.

In der Roten Liste gefährdeter Großpilze Österreichs (Krisai-Greilhuber 1999), sowie in der Vorläufigen Roten Liste gefährdeter Großpilze der Steiermark (Aron et al. 2005) wird P. fraxinea als "gefährdet (3)" eingestuft<sup>10</sup>.

Zahlreiche Laubbaumarten werden vom Eschenbaumschwamm befallen, im Besonderen aber Esche, Eiche und Robinie (Kehr et al. 2000a, Szczepkowski 2004). Bemerkenswert ist, dass laut

Dämon (2014) gibt an, dass Pilze - deren natürliche Lebensräume hochgradig gefährdet sind und dort bereits sehr selten sind, aber andererseits anthropogene Biotope (wie Großstadtparks) als Sekundärlebensräume besiedeln können - hinsichtlich ihrer Gefährdung sehr schwierig einzuschätzen sind.

Krieglsteiner (2000) der Pilz in Baden-Württemberg zwar u. a. an Platanen, Pappeln, Eichen, Robinien und Schnurbäumen, aber nicht an Eschen gefunden wurde.

#### 2.1.1.2 Aussehen der Fruchtkörper

Der Eschenbaumschwamm gehört zur Pilzklasse der Basidiomyceten und zur Gruppe der Porlinge (Polyporaceae), das heißt, dass die Basidiosporen in den Poren auf der Unterseite der Fruchtkörper gebildet werden. Die Fruchtkörper des Eschenbaumschwammes sind mehrjährige Konsolen, die meist ab dem Spätsommer vorwiegend an der Stammbasis gebildet werden (Abb. 6). Sie können einzeln oder in kleinen Gruppen angeordnet auftreten (Abb. 6) (Kehr et al. 2000a).



Abb. 6: Fruchtkörper von *P. fraxinea*. linke Abb. oben: Fruchtkörper an *Robinia pseudoacacia* mit hellem Zuwachsrand. rechte Abb. oben: Fruchtkörper am Stammfuß von *Quercus robur* mit weißem Sporenpulver im Botanischen Garten Wien. Abb. unten: Fruchtkörper am Stammfuß von *Fraxinus excelsior* im Wiener Prater.

Quelle: linke Abb. oben: Klug & Lewald-Brudi 2016, rechte Abb. oben und Abb. unten: Thomas Kirisits 2011.



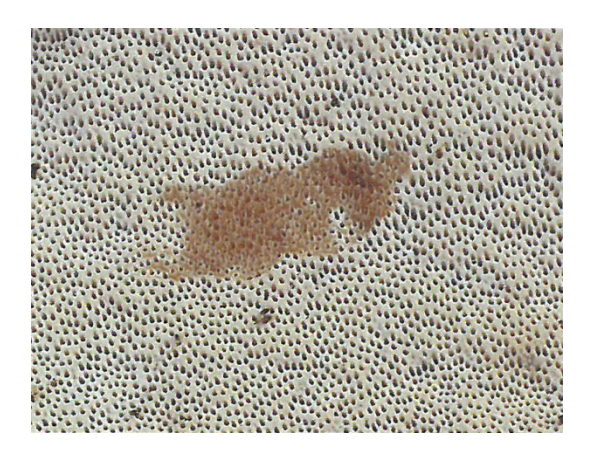


Abb. 7: Porenschicht von *P. fraxinea*.

Quelle: linke Abb.: Klug & Lewald-Brudi 2016, rechte Abb.: Breitenbach und Kränzlin 1986).

Die Fruchtkörper sind 100-200 mm breit und an der Anwachsstelle bis zu 100 mm dick. Die Oberseite ist wellig-höckerig und glatt; bei frischen Fruchtkörpern fein samtig und creme- bis hell-ockerfarben, ältere Konsolen werden bräunlich bis schwärzlich (Abb. 6).

Die Poren auf der Unterseite sind rundlich-eckig, cremefarben und verfärben sich auf Druck braun-lila (Abb. 7). Die Röhrenlänge beträgt 6 mm und die einzelnen Röhrenschichten sind durch eine dünne Lage Context getrennt (Breitenbach und Kränzlin 1986).

#### 2.1.1.3 Kultureigenschaften

Reinkulturen auf Malzextrakt-Agar bilden zunächst ein weißes Myzel, das häufig ein watteähnliches Aussehen hat (Abb. 8). Später werden die Kulturen cremeweiß bis ockerfarben und bilden teilweise Poren, in denen gelegentlich reife Basidiosporen gebildet werden (Abb. 8 rechts) (Kehr et al. 2000a). Ferner beobachtete Nobles (1965) bei sechs Wochen alten Kulturen das Auftreten von initialen Fruchtkörperstadien (Abb. 40). In der Mykologie werden diese frühen Fruchtkörperanlagen, die noch nicht ihre spätere Form angenommen haben als Primordien (Abb. 10) bezeichnet. Bei Pilz-Reinkulturen sind Primordien direkt mit dem Myzel verbunden aus dem sie sich entwickelt haben (Dörfelt & Ruske 2008, Dörfelt & Ruske 2014, Kirk et al. 2008).





Abb. 8: Reinkulturen von *P. fraxinea* auf Malzextrakt-Agar. Bei der linken Petrischale wurde die weitere Entwicklung des Pilzmyzels durch eine Lagerung bei +6°C gestoppt.

Bei ca. 26°C ist das Wachstum optimal; bei unter 10°C verlangsamt sich das Wachstum stark und bei 33°C dürfte das Temperaturmaximum liegen (Kehr et al. 2000a). Wachstumsversuche von Stalpers (1978) auf MEA<sup>11</sup> haben einen durchschnittlichen Radialzuwachs/Tag von 2,5-4,6 mm ergeben. Generell gehört *P. fraxinea* unter den holzabbauenden Pilzen zu den mittel bis schnell wachsenden Pilzarten (Baxter 1925, Campbell 1938, Nobles 1948).

#### 2.1.1.4 Holzabbau und Defektsymptome

Der Eschenbaumschwamm ist ein wurzelbürtiger Fäuleereger, der eine intensive Weißfäule im Kernholz des Stammfußes, des Wurzelstockes und in stärkeren Wurzeln verursacht (Abb. 9). Oft wird auch das Splintholz befallen. Bei Stadtbäumen erreicht die Kernfäule eine Stammhöhe von maximal 50 cm. Abbildung 11 zeigt den durch *P. fraxinea* hervorgerufenen Holzabbau an Prüfkörpern im Zuge des in der vorliegenden Arbeit durchgeführten Abbauversuchs.

Die durch den Eschenbaumschwamm verursachten Schadsymptome sind äußerst unscheinbar. So ist beispielsweise keine Kleinblättrigkeit zu erkennen. Manchmal ist/sind an und zwischen den Wurzelanläufen ein abweichendes Rindenbild sowie wulstartige Ausformungen am Stammfuß zu bemerken. Fruchtkörper werden meist erst im Spätstadium des Befalls gebildet (Kehr et al. 2000a, Klug & Lewald-Brudi 2012, Szczepkowski 2004).

<sup>11 200</sup> ml Malzextrakt mit 10 % Zucker, 15 g Agar und 800 ml Wasser, neutralisiert mit 2N KOH.

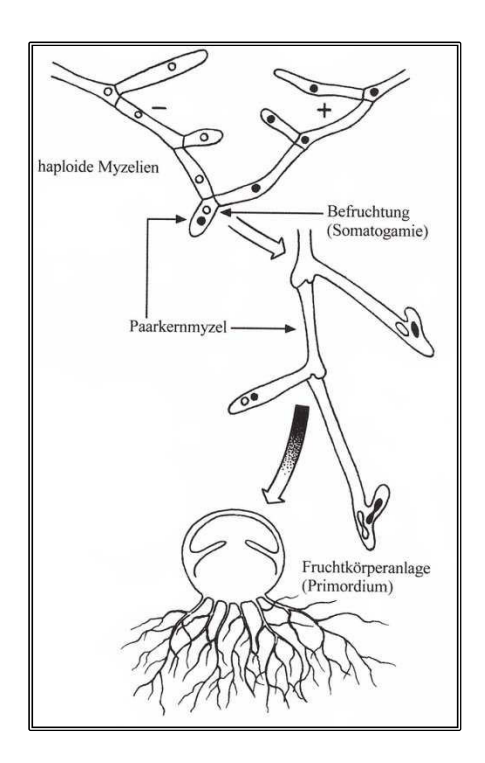


Abb. 10: Schematische Darstellung der Bildung von Primordien bei Basidiomyceten.

Quelle: Modifiziert nach Dörfelt &

Ruske 2008.



Abb. 9: Gespaltener Stamm einer Robinie mit auf den Wurzel- und Stammbereich begrenzter Fäule durch *P. fraxinea*.

Quelle: Kehr et al. 2000a.

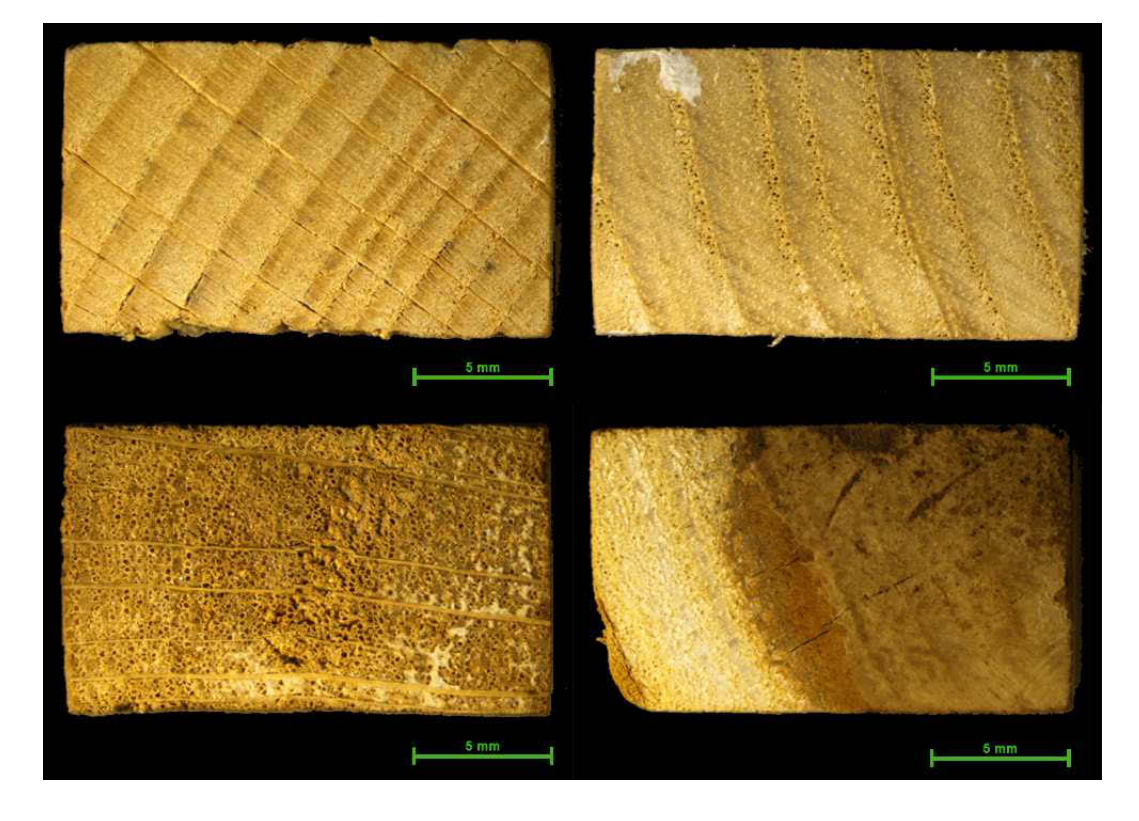


Abb. 11: Prüfkörper von *Fagus* (links oben), *Fraxinus* (rechts oben), *Quercus* (links unten) und *Robinia* (rechts unten) nach 18-wöchigem Holzabbau durch *P. fraxinea*.

Quelle: Fotografiert mit dem Auflicht-Forschungsmikroskop Nikon SMZ25; David Brenner 2014.

#### 2.1.1.5 Herkunft der Isolate

Die für die Arbeit herangezogenen Isolate stammten einerseits aus Stammsammlungen ("Kultursammlungen") anderer Institutionen, andererseits wurden auch Fruchtkörper des Eschenbaumschwammes gesammelt und daraus Isolate gewonnen. Von den insgesamt 13 zu Verfügung stehenden Isolaten stammten fünf aus der Stammsammlung des Julius Kühn-Institutes (JKI). Zwei weitere Kulturen stammten ebenfalls aus Deutschland (Göttingen, Neckargmünd). Die restlichen sechs Kulturen stammen aus Wien und wurden aus gesammelten Fruchtkörpern isoliert. In Tabelle 1 sind zu jedem Isolat Herkunft, Ursubstrat und Zeitpunkt der Isolierung aufgelistet.

Tab. 1: Überblick über die herangezogenen Isolate von P. fraxinea.

Isolat-Nummer	Herkunft	Ursubstrat	Zeitpunkt der Isolierung
P 488	Julius Kühn-Institut,  Bundesforschungsinstitut für  Kulturpflanzen (JKI),  Deutschland	Robinie	November 1998
P 489		Robinie	November 1998
P 490		Robinie	November 1998
P 491		Robinie	November 1998
P 493	2041001114114	Robinie	September 1999
Hal20110803/1	Neckargemünd, Deutschland	Robinie	August 2011
20110919/GöKe	Göttingen, Deutschland Botanischer Garten, Wien	Robinie	September 2011
BG/1		Eiche	September 2011
PR/1	Prater, Wien	Eiche	September 2011
GH20110914/1	J.M. Hauer Platz, Wien	Japanischer Schnurbaum	September 2011
GH20111117/C	Prater, Wien	Eiche	November 2011
GH20111117/D	Prater, Wien	Esche	November 2011
GH20111118/G	Prater, Wien	Pappel	November 2011

Alle Kulturen aus Wien und die Kultur aus Göttingen wurden im Februar 2012 mittels ITS-Sequenzierung und nachfolgendem Sequenzvergleich mit bekannten Sequenzen in Datenbanken (BLAST Search) genetisch identifiziert, um sicher zu stellen, dass es sich um *P. fraxinea* handelt. In weiterer Folge wurden alle 13 Kulturen öfters überimpft, um neue Reinkulturen zu erhalten.

Bei allen neuen Reinkulturen der 13 Isolate wurden das gebildete Myzel nicht nur nach äußerlichen (Aussehen) Gesichtspunkten beurteilt, sondern auch wie schnell und gleichmäßig es sich gebildet hat. Für den Wachstums- und Abbauversuch wurde ein und dasselbe Isolat verwendet. Da das gebildete Myzel der Reinkulturen keine Unterschiede (optisch und in Bezug

auf Wachstumsgeschwindigkeit) aufwies, wurde schließlich aus folgenden Gründen die Kultur aus Göttingen (20110919/GöKe) ausgewählt:

Es handelt sich um eine junge Reinkultur. Der Wirtsbaum ist eine Robinie und stammt von einem ungünstigen innerstädtischen Standort (siehe Kap. 1.6). Dieser Baum wurde im Zuge von Untersuchungen durch Jaschinski (2012) mit nahezu zerstörungsfreien Diagnoseverfahren überprüft. Dabei wurde eine deutlich vorangeschrittene Fäule im Wurzelbereich diagnostiziert, die am Stammfuß große Teile des Kambiums abgetötet hatte (siehe Kap. 1.6).

#### 2.2 Prüfkörper

Ursprünglich war geplant, den Abbauversuch nur mit Prüfkörpern der Baumarten Robinie und Esche durchzuführen. Da in Wien der Eschenbaumschwamm jedoch auch häufig Eichen befällt (Berger 2011), wurde diese Baumart für den Abbauversuch ebenfalls berücksichtigt. Im Folgenden werden diese drei genannten Baumarten sowie ihre Holzeigenschaften kurz vorgestellt:

#### 2.2.1 Robinia pseudoacacia

Die Robinie gehört zur Familie der *Fabaceae*; die Gattung *Robinia* umfasst etwa 20 Arten (Schütt 1994). Sie stammt ursprünglich aus dem Zentralraum des östlichen Nord-Amerika, wobei sich ihr Areal auf mehrere Teilgebiete mit unterschiedlicher Ausdehnung aufteilt. In ihren natürlichen Verbreitungsgebieten bevorzugt die Robine ein humides Klima mit heißen Sommern und relativ milden Wintern, da sie gegenüber Frost empfindlich ist. Daher sind starke Winterfröste und Frühfröste im Herbst bedeutende Störfaktoren, die auch zu Wundbildung in Form von Frostrissen führen können. An den Boden oder die Topographie stellt sie keine besonderen Ansprüche, bevorzugt jedoch tiefgründige, lockere Böden ohne Staunässe (Cierjacks et al. 2013, Keresztesi 1988, Moshki & Lamersdorf 2011, Schütt 1994, Tesche & Hanauska 1981).

Innerhalb Europas kommt die Robinie vorwiegend in submediterranen bis kontinentalen Klimabereichen von Zentral-, Süd-, Ost- und Süd-Osteuropa vor, wobei sie sich nach wie vor weiter ausbreitet (Cierjacks et al. 2013, Schütt 1994).

wurde die Robinie Ursprünglich 17. Jahrhundert durch den französischen Botaniker Jean Robin eingeführt und zunächst als Park- und Zierbaum eingesetzt. Im Park der Wiener Theresianischen Akademie steht eine der drei ältesten nach Europa gebrachten Robinien (Cierjacks et al. 2013, Kucera 1995). Da sie als Stammmutter der in Europa wild wachsenden Robinien gilt wird sie trotz sehr schlechten Zustandes bis heute gepflegt (Abb. 12) (Kucera 1995).



Abb. 12: Älteste Robinie Europas im Theresianischen Park in Wien.

Aufgrund ihrer Anspruchslosigkeit ist die Robinie besonders in Deutschland als Stadt- und Straßenbaum zu finden (siehe Kap. 1.1), wird aber auch im Forst eingesetzt, wo sie leicht verwildert und einheimische Arten verdrängt (Cierjacks et al. 2013, Miele 1941).

Im Wiener Raum zählt die Robinie zu den häufig verwilderten Baumarten und ist vollkommen eingebürgert (Abb. 13) (Adler & Mrkvicka 2003).

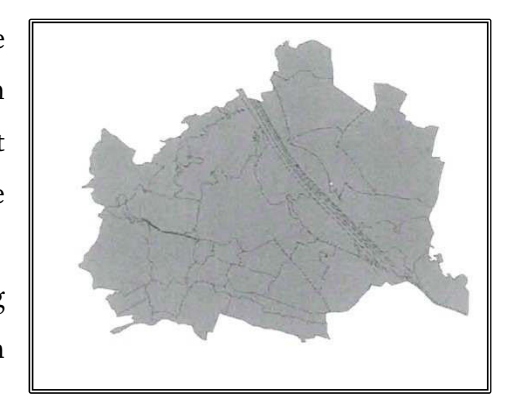


Abb. 13: Verbreitung von Robinia pseudoacacia in Wien. Quelle: Adler & Mrkvicka 2003.

Die Robinie zählt zu den Pioniergehölzen und Lichtbaumarten. Ihr Lebenszyklus ist durch ein rasches

Wachstum und eine geringe Lebenserwartung (100 Jahre, seltener 200 Jahre) gekennzeichnet (Cierjacks et al. 2013, Schütt 1994). Zum raschen Wachstum gibt Göhre (1952) an, dass die Robinie im 20. Standjahr bis zu 300 Festmeter Holz pro Hektar erzeugen kann. Damit liegt die Holzmasseleistung der Robinie über den in Europa heimischen Holzarten. Nach 30-40 Jahren stellt die Robinie ihr Höhenwachstum ein (Schütt 1994).

Die sommergrünen und bis zu 20 m großen Robinien bilden im Freistand meist krumme, zwieselnde Stämme mit einer unregelmäßigen Krone. Die wechselständig angeordneten Blätter

sind unpaarig gefiedert. Charakteristisch sind die zu braunen Dornen umgewandelten Nebenblätter, die über den Winter nicht abgeworfen werden und sich über die Jahre vergrößern können. Die Blüte ist auffallend weiß; mehrere Einzelblüten sind zu Trauben zusammengefasst. Nach der Befruchtung bilden sich flache Hülsen (Schütt 1994).

Die Robinie ist eine ringporige – die Gefäße der Frühholzzone sind ringförmig angeordnet und deutlich von den wesentlich kleinlumigeren Spätholzgefäßen zu unterscheiden (Krahl-Urban 1959) – Laubholzart und bildet einen großen Kern aus, der von einem schmalen Splintmantel umgeben wird. Die Färbung des Kerns ist unterschiedlich von grünbraun oder grüngrau bis gelbbraun. Der Splint ist hellgelb und oft nur 1 cm breit. Die meist nicht gleichmäßig verlaufenden Jahrringe sind auf die ungleiche Tätigkeit des Kambiums zurückzuführen. Das zu den harten Hölzern zählende Robinienholz hat bei 12 % Holzfeuchte eine mittlere Rohdichte von 0,76 g/cm³ (Göhre 1952). Durch Kompartimentierung und Sekundärstoffbindung wie Polyphenolbildung ist Robinienholz sehr dauerhaft (Rehnert & Böcker 2008). Untersuchungen von Freudenberg und Hartmann (1954) haben ergeben, dass die vor allem im Kernholz eingelagerten Stoffe Robinetin und Dihydro-robinetin das Wachstum holzzerstörender Pilze hemmen.

Da die Robinie zu den Leguminosen gehört, besitzt sie sogenannte Wurzelknöllchen, in denen Knöllchenbakterien (=Rhizobien) Luftstickstoff binden und für den Wirtsbaum als Ammonium verfügbar machen (Balder 1998). Diese Bindungsvariante wird symbiotische N,-Bindung genannt (siehe Kap. 1.3). Die Rhizobien benötigen gut durchlüftete Böden, die schwach sauer oder alkalisch sind und eine gute Fe-, Mo- und Co-Versorgung (Scheffer et al. 2010). Moshki (2011) erwähnt eine Studie, die ergeben hat, dass die Robinie 80 % ihres Stickstoffes aus der N-Fixierung in den Wurzelknöllchen bezieht. Bereits nach wenigen Stunden wird 90 % des gebundenen Stickstoffs an den Baum weitergegeben. Im Gegenzug liefert die Robinie den Bakterien Kohlenhydrate und organische Säuren (Balder 1998). Je nach den klimatischen Gegebenheiten wie Einstrahlung, Temperatur und Niederschlag und den N-Umsetzungen im Boden variieren die mikrobiell gebundenen N-Mengen stark (Scheffer et al. 2010). Aus Untersuchungen von Berthold (2005) geht hervor, dass durch die N-Bindung der Robinie auch deren Umgebung erheblich mit Stickstoff angereichert wird. In Reinbeständen bewirkt dies hohe Nitrifikationsraten und folglich eine Auswaschung von Nitrat. Folgen sind ein Abfall des pH-Wertes im Oberboden, Nährstoffverarmung und Nitrat-Kontamination des Grundwassers.

Neben der N-Fixierung ist die sehr gute Fähigkeit zum Stockausschlag erwähnenswert. Deswegen bildet die asexuelle Vermehrung die primäre Fortpflanzungsvariante (Cierjacks et al. 2013). Die außerordentlich gute Fähigkeit sich über Stockausschlag zu vermehren wird durch ihr ausgedehntes Wurzelsystem mit starken Seitenwurzeln begünstigt (Göhre 1952).

Daher ist es sehr schwer, einen verwilderten Robinienbestand oder einen Einzelbaum nachhaltig zu entfernen (Cierjacks et al. 2013).

#### 2.2.2 Fraxinus excelsior

Die Esche gehört zur Familie der *Oleaceae* mit etwa 27 Gattungen. Zur Gattung *Fraxinus* gehören wiederum 65 Arten, die vor allem in den temperierten Zonen der Nordhalbkugel verbreitet sind. Es gibt aber auch Arten in den Tropen (Aas 2002a).

Allgemein gehört die Esche zur subatlantisch-submediterranen Flora und ist hauptsächlich in der kollinen und montanen Stufe zu finden. Bevorzugt werden tiefgründige, lockere, frische bis sickerfeuchte, nährstoffreiche und humose Lehm- und Tonböden in humider Klimalage (Aas 2002a). Kollmann (1941) schreibt dazu, dass die Esche ihre bevorzugten Standorte in Auwäldern, entlang von Wasserläufen und in lichten Schluchtenwäldern des Berglandes findet. Den Wasserhaushalt betreffend reicht die Verbreitung von mäßig trockenen Standorten bis zu feuchten Grundwasserböden. Am besten gedeiht sie, wenn der untere Wurzelraum Grundwasser erreicht (Gulder 2002). Bevorzugt werden Lagen, die spätfrostfrei sind, nicht allzu warm, recht luftfeucht und mit viel Licht (Roloff & Pietzarka 1997).

In Wien ist die Esche – neben der Verwendung als Straßen- und Parkbaum (siehe Kap. 1.6) – flächendeckend verbreitet (Abb. 14) und besonders im Wiener Wald, auf Ruderalplätzen, Bahngeländen, Friedhöfen, an Wegrändern in Vorgehölzen und Böschungen zu finden. Besonders in Vorgehölzen und auf verbuschenden Wiesen neigt die Esche dazu dichte Bestände zu bilden (Adler & Mrkvicka 2003).

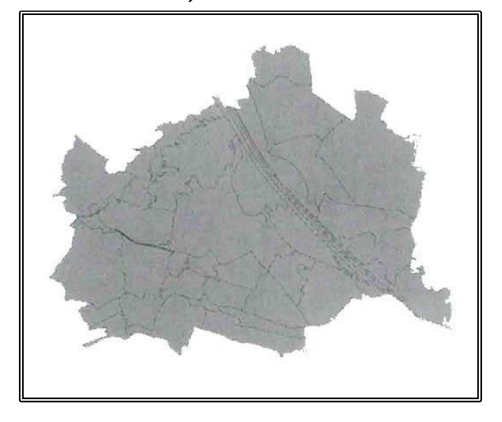


Abb. 14: Verbreitung von Fraxinus excelsior in Wien. Quelle: Adler & Mrkvicka 2003.

An guten Standorten wird die Esche bis zu 40 m hoch mit einem Durchmesser von bis zu 2 m. In der Jugendphase ist sie sehr raschwüchsig, wobei das Maximum an Höhenzuwachs im Alter von 15 Jahren erreicht wird. Insgesamt kann die Esche bis zu 300 Jahre alt werden (Marmann 1998). Markant sind die pyramidenförmigen schwarzen Knospen; die Blätter sind dreizählig gefiedert und stehen kreuzweise gegenständig. Die Blüten der Esche sind zwittrig,

wobei auf einem Baum immer ein Geschlecht überwiegt. Nach der Befruchtung bilden sich schmal längliche Flügelnüsse. Neben der sexuellen Vermehrung kann sich auch die Esche gut über Stockausschlag vermehren (Roloff & Pietzarka 1997).

Auch die Esche zählt zu den ringporigen Laubhölzern und bildet deutlich voneinander abgesetzte Jahrringe. Erst im höheren Alter von 60-80 Jahren bildet die Esche einen Farbkern. Davor ist das Splint- und Kernholz meist gleichfärbig hell, weißlich bis gelblich oder manchmal leicht ins rötliche gehend. Der Farbkern ist hingegen hellbraun bis dunkel- oder schokoladenbraun gefärbt (Grosser 2002).

Wenn im fortgeschrittenen Alter ein Farbkern gebildet wurde, so wird meist eine mittig im Stamm verlaufende kreisförmige Säule, die aber nicht zwingend den Jahrringgrenzen folgt gebildet (Kollmann 1941). Mit einer mittleren Rohdichte von 0,69 g/cm³, bezogen auf 12-15 % Holzfeuchte, liefert die Esche ein schweres und hartes Holz (Grosser 2002).

Allgemein gilt das Holz der Esche als "ziemlich dauerhaft". Dies gilt für die Verwendung an der Luft, unter ungünstigen Bedingungen. Unter Wasser ist das Holz nicht sehr dauerhaft und zerfällt oft schon nach weniger als 20 Jahren (Kollmann 1941).

Das Wurzelwerk der Esche ist einzigartig unter den Laubbäumen. Bis zum 20. Standjahr lässt sich noch keine spezifische Ausprägung erkennen. Mit zunehmendem Alter bildet sich eine Herzwurzel mit nach unten abzweigenden Senkern. Somit entsteht im höheren Alter das einzigartige Senkerwurzelsystem (Gulder 2002). Die Esche kann eine varsicular-arbusculare Mykorrhiza bilden; diese Form der Mykorrhizierung kann möglicherweise das N-Aufnahmevermögen von Bäumen steigern (Marmann 1998).

Allgemein galt die Esche, gegenüber Pilzbefall als weitgehend resistenter als andere Baumarten, wie beispielsweise die Buche (Helfer & Blaschke 2002). Doch seit über zwei Jahrzehnten wird an sehr vielen Eschen in fast ganz Europa das sogenannte Eschentriebsterben beobachtet. Verantwortlich für die diese meist letale Erkrankung ist der Schlauchpilz Hymenoscyphus fraxineus (Falsches Weißes Stengelbecherchen) (Kirisits & Cech 2016). Weitere Pilze, die die Esche häufiger befallen sind: Der Erreger des Nectria-Laubholzkrebses (Nectria galligena), der honiggelbe Hallimasch (Armillaria mellea), der Schillerporling (Inonotus hispidus) und der Eschenbaumschwamm (Perenniporia fraxinea) (Helfer & Blaschke 2002).

#### 2.2.3 Quercus robur

Die Eiche gehört zur Familie der *Fagaceae*; die Gattung *Quercus* umfasst etwa 400-450 Arten (Aas 2002b; Aas 1998). Die Abgrenzung einiger Arten innerhalb der Gattung ist problematisch, beispielsweise wird kontrovers diskutiert, ob die beiden Baumarten *Quercus robur* (Stieleiche) und *Quercus petraea* (Traubeneiche) wirklich verschiedene Arten bilden (Aas 2002b). Das natürliche Verbreitungsgebiet der Stieleiche umfasst annähernd ganz Europa, wobei sie besonders in gemäßigten kontinentalen Gebieten vorkommt (Fehlow 2008; Aas 2002b).

Da sie extremere Temperaturen und Feuchtigkeit erträgt, findet man die Stieleiche in ozeanisch geprägten, aber auch in kontinentalen, sommerwarmen Gebieten (Fehlow 2008; Aas 2002b). *Q. robur* stellt keine besonderen Ansprüche an den Boden, vorausgesetzt es herrscht ein von ihr bevorzugtes Klima. Gute Standorte für Stieleichen bilden Lehm- und Schlickböden, aber auch Überschwemmungsgebiete bei Flüssen (Krahl-Urban 1959). Auch in der Enzyklopädie der Holzgewächse wird darauf hingewiesen, dass die Stieleiche auf extremeren Standorten (nassen, nährstoff- und basenreichen Böden) besser gedeiht (Aas 2002b). Als Lichtbaumart benötigt sie, außer in der Jugendphase, viel Licht und vollständige Kronenfreiheit (Peters 1996).

Das ist auch der Grund, warum sich die Stieleiche bezüglich Nährstoff- und Wasserversorgung an mittleren Standorten nicht gegen die Rotbuche (*Fagus sylvatica*) behaupten kann (Aas 2002b).

Verglichen zur Robinie und Esche (siehe Kap. 1.6) kommt die Stieleiche in Wien eher selten vor. Neben ihrem Vorkommen im Wiener Wald (häufiger in den Bereichen der Hartholz-Au als im restlichen Wiener Wald) ist sie in Aufforstungen von Windschutzgehölzen und als Solitärbaum zu finden (Abb. 15) (Adler & Mrkvicka 2003).

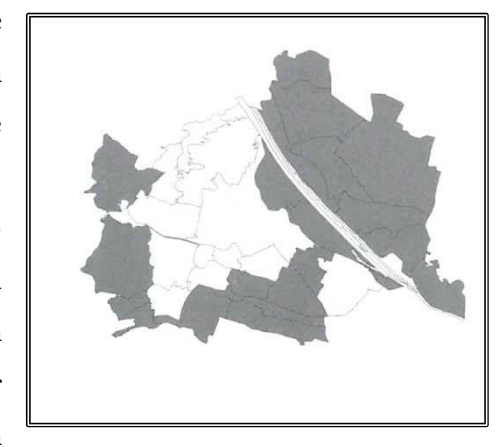


Abb. 15: Verbreitung von *Quercus robur* in Wien (graue Flächen).

Quelle: Adler & Mrkvicka 2003.

Die Stieleiche ist ein bis zu 40 m hoher Baum, der in

Brusthöhe einen Stammdurchmesser von 2,6 m erreichen kann. Die Krone ist zunächst schmal kegelförmig und wird erst im Alter zu einer weit ausladenden und unregelmäßigen Krone (Aas 2002b). Mit mehr als 1000 Jahren erreichen Stieleichen das höchste Alter aller Laubbaumarten Europas (Krahl-Urban 1959). Typisch für die Stieleiche ist die Häufung der Knospen und Blätter an der Spitze der Triebe. Die Laubblätter sind fiedrig gelappt und in ihrer Größe sehr variabel. Die Blüten sind eingeschlechtlich und einhäusig am Baum verteilt. Die reichblütigen Kätzchen entwickeln sich meist gebüschelt aus Blütenknospen heraus. Aus

befruchteten Blüten bilden sich Nussfrüchte (Eicheln), die auffallend lang (bis zu 10 cm) gestielt sind (Aas 2002b).

Wie schon die zuvor beschriebenen Baumarten gehört auch die Eiche zu den ringporigen Baumarten. Für das Eichenholz charakteristisch sind die gut erkennbaren, breiten und hohen Markstrahlen (Krahl-Urban 1959). Das Holz zeigt einen hellen und im Alter schmalen Splint oder einen rötlich bis gelblichen Kern. Weiters sind die markanten Jahrringgrenzen makroskopisch gut zu erkennen. Die Eiche bildet ein hartes und schweres Holz mit einer mittleren Rohdichte von 1 g/cm³ (Aas 2002b).

Im Jugendstadium bilden Eichen Pfahlwurzeln. Bei lockeren Böden wird mit zunehmendem Alter die Pfahlwurzel stärker ausgeprägt. Bei dichteren Untergründen wird die Pfahlwurzel zurückgebildet und es bilden sich starke Seitenwurzeln. Allgemein bilden Eichen kräftige Wurzeln, die sehr tief in den Boden eindringen und verfestigte Böden aufschließen können (Krahl-Urban 1959). Somit bildet sich im Laufe der Jahre ein Herzwurzel- oder Herz-Senkerwurzelsystem. Da Stieleichen zumeist mit einer großen Anzahl von Mykorrhizapilzen verschiedener Gattungen eine Symbiose eingehen können, finden sich in Eichen-Beständen oft mehr als 20 verschiedene Mykorrhizapilzarten (Aas 2002b).

## 2.2.4 Herstellung der Prüfkörper

Die Herstellung der Prüfkörper erfolgte in Anlehnung an die ÖNORM EN 113 und ÖNORM EN 350-1. Die benötigten Rundhölzer von Esche, Eiche und Robinie wurden von der MA 49 zur Verfügung gestellt und die Bäume Anfang November 2012 gefällt. Die einzelnen Stämme waren auf 1 m, 2 m und 3 m abgelängt. Wie in ÖNORM EN 350-1 gefordert, wurden aus den Rundhölzern zuerst Latten geschnitten, aus denen anschließend die einzelnen Prüfkörper geschnitten wurden. Bei den Prüfkörpern war darauf zu achten, dass die Jahrringe nicht völlig tangential zu den breiten Längsflächen verlaufen. Außerdem durfte das Holz der Prüfkörper keine Risse, Verfärbung, Fäulnis, Schäden durch Insekten oder andere Fehler haben. Die Prüfkörper folgende haben: (L В H) mussten Abmessungen  $50 \pm 0.5$  mm x  $25 \pm 0.5$  mm x  $15 \pm 0.5$  mm. Zur Prüfung der Virulenz des verwendeten Prüfpilzes wurden aus gehobelten Buchenlatten Prüfkörper mit denselben Abmessungen geschnitten.

Die Prüfkörper von Esche, Eiche und Robinie sollten möglichst nah der Rinde aus den Rundhölzern geschnitten werden, damit die Prüfkörper nur aus Splintholz bestehen. Da bei den von der MA 49 zu Verfügung gestellten Stämmen, die Splintholzzone meist sehr eng war, ist es nicht gelungen alle Prüfkörper aus der Splintholzzone zu sägen. Aus diesem Grund bestanden sowohl bei der Eiche, als auch bei der Robinie einige Prüfkörper aus Splint- und Kernholz (Abb. 16), einige nur aus Splintholz und einige nur aus Kernholz (Abb. 39). Bei der Eiche bestanden die meisten Prüfkörper aus einem variablen Anteil Splint- und Kernholzholz. Bei der Robinie waren fast alle Prüfkörper aus dem Bereich des Kernholzes, nur bei einem geringen Anteil der Prüfkörper war auch ein variabler Anteil Splintholz vorhanden (Abb. 16). Da sich bei der Eiche der Großteil der Prüfkörper aus Splint- und Kernholz zusammensetzte, wurden bei der Auswertung der Versuchsergebnisse (siehe Kap. 3.2) jeder aus



Abb. 16: Prüfkörper (*Robinia*) mit variablem Splintholzanteil (links im Bild).

Behandlungsvariante nur jene Prüfkörper ausgewählt, die einen möglichst ähnlichen Anteil von Splint- und Kernholz aufwiesen. Dies wurde optisch beurteilt.

Bei der Robinie gab es nur einen kleinen Teil der Prüfkörper (10 Prüfkörper) mit einem variablen Splintholzanteil. Um diese Prüfkörper mit den restlichen Prüfkörpern der Robinie vergleichen zu können, wurde der Splintholzanteil herausgerechnet (siehe Kap. 2.2.4.1).

### 2.2.4.1 Berechnung des Masseverlusts ohne Splintholzanteil

Um den Masseverlust ohne Splintholzanteil berechnen zu können, wurde von den 10 betroffenen Prüfkörpern der Robinie der Splintholzanteil mechanisch entfernt.

Um das Volumen der Prüfkörper ohne Splintholzanteil zu bestimmen, wurde in ein Gefäß eine fixe Menge Wasser (20°C) eingefüllt und auf eine Laborwaage gestellt. In dieses Gefäß wurde anschließend der Prüfkörper mit einer dünnen Nadel eingetaucht und über die Volums-Änderung durch das verdrängte Wasser das Volumen der Probenkörper ohne Splintholz über die Gewichtsänderung bestimmt (Abb. 17). Auf diese Weise konnte anhand des Volumens des Kernholzes nach dem Abbauversuch über den Kernholzanteil der Probe das Volumen von Splint- und Kernholz vor dem Abbauversuch ermittelt werden. Die zur Berechnung benötigten Massewerte des Splint- und Kernholzes wurden durch Wägen ermittelt.

Die Berechnung des Masseverlustes der einzelnen Prüfkörper in Prozent erfolgte anhand folgender Formel:

$$\frac{(Masse\ a\ - Masse\ b)}{Masse\ a} \times 100\ = Masseverlust\ (\%)$$

 $Masse \ a = Masse \ des \ Kernholzes \ vor \ dem$  Abbauversuch.

 $Masse\ b = Masse\ des\ Kernholzes\ nach\ dem$  Abbauversuch.

Abschließend wurde überprüft, ob die erhaltenen Werte den Werten der anderen Prüfkörper (die nur aus Kernholz bestanden) entsprechen.



Abb. 17: Bestimmung des Volumens eines Prüfkörpers.

#### 2.3 Verwendete Labor-Geräte

Für die im Folgenden beschriebenen Versuche wurden folgende Labor-Geräte verwendet:

- Phytotron: Marke Heraeus; Firma: Heraeus Industrietechnik GmbH; Type: HB 0714.
- Sicherheitswerkbank (Impfbank): Marke: Prettl; Firma: Laminarflow + Prozesstechnik GmbH; Type: LF VT 06.15.
- Sicherheitswerkbank: Marke: Thermo Scientific; Firma: Thermo Electron LED GmbH; Type: Herasafe KS 18.

- Autoklav: Marke: Varioclav; Firma: HP Medizintechnik GmbH; Type: Varioclav Classic 500.
- Nimaschrank: Marke: Liebherr; Firma: Liebherr-International Deutschland GmbH; Type: LC 5000 mit Zusatzausstattung: Temperatur- und Beleuchtungsregelung der Firma Ing. Helmut Linder KG.
- Trockenschrank: Marke: Binder; Firma: Binder GmbH; Type: E 240.
- Laborwaagen: Marke: Mettler Toledo; Firma: Mettler-Toledo (Schweiz) GmbH;
   Typen: PM4000 und AM100.
- PH-Meter: Marke: WTW; Firma: Wissenschaftlich-Technische Werkstätten GmbH & Co.KG; Type: pH 330i.

## 2.4 Nährmedium

Für den Wachstums- und Abbauversuch wurde ein 2%iges Malz-Agar-Medium – 20 g Malzextrakt, 16 g Agar-Agar und 1000 ml Aqua deion. – verwendet.

In der Regel wird dieser Mischung ein Antibiotikum in Form von Streptomycinsulfat zugegeben. Beim Anlegen von neuen Reinkulturen (siehe Kap. 2.1.1.5) wurde zufällig beobachtet, dass der Pilz auf 2%igen Malzextrakt-Agar ohne Streptomycinsulfat ein schöneres und dichteres Myzel bildet als auf einem Medium, dem dieses Antibiotikum beigefügt wurde. Daher wurde das Nährmedium für beide Versuche (s. o.) ohne Streptomycinsulfat hergestellt.

Um das Nährmedium mit Stickstoff anzureichern, wurde der oben genannten Mischung die jeweilige N-Quelle als Pulver hinzugegeben. Die fertige Mischung wurde kurz mit einem Magnetrührer durchmischt und danach 20 Minuten bei 121°C im Autoklaven sterilisiert.

Nach dem Abkühlen des Nährmediums (Temperatur • 80°C) wurde es mit einem beheizbaren Magnetrührer neuerlich durchmischt und warm gehalten (etwa 45-50°C).

Für den Wachstumsversuch wurde das Nährmedium anschließend unter sterilen Bedingungen (Impfbank) in Petrischalen ausgegossen.

Beim Abbauversuch wurde das Nährmedium in Duran-Flaschen gefüllt (siehe Kap. 2.6). Dies geschah nicht unter sterilen Bedingungen, daher wurden die befüllten Duran-Flaschen anschließend neuerlich im Autoklaven sterilisiert.

Bei allen Varianten des Nährmediums (Tab. 4) wurde der pH-Wert mit einem pH-Meter (siehe Kap. 2.3) gemessen. Beim Nährmedium, das für den Wachstumsversuch hergestellt wurde, wurde der pH-Wert vor und nach dem Autoklavieren gemessen (Tab. 2). Beim Abbauversuch wurde der pH-Wert des Nährmediums nur vor dem Autoklavieren bestimmt (Tab. 3).

Tab. 2: Überblick über die gemessenen pH-Werte des für den Wachstumsversuch verwendeten Nährmediums je nach N-Quelle und N-Konzentration.

	Varianten										
pH-Wert	Kontrolle (ohne N-Zugabe)	Asp	aragin	Ammor	iumsulfat	Ammor	niumtatrat				
		N-Konzentration (N/I)									
	-	0,1 g	0,351 g	0,1 g	0,351 g	0,1 g	0,351 g				
Vor dem Autoklavieren	6,33	6,32	6,31	6,34	6,32	6,31	6,34				
Nach dem Autoklavieren	5,71	5,90	5,90	5,81	5,78	5,84	5,78				

Tab. 3: Überblick über die gemessenen pH-Werte, der für den Abbauversuch hergestellten MEA-Varianten (n=11).

Varianten								
Kontrolle								
(ohne N-Zugabe)	Asparagin (0,1 g N/l)	Asparagin (0,351 g N/I)						
	pH-Wert vor dem Autoklavieren							
6,23	6,21	6,20						

#### 2.5 Ablauf des Wachstumsversuchs

Um herauszufinden, ob die N-Quelle einen Einfluss auf den Radialzuwachs von *P. fraxinea* hat, wurde ein Wachstumsversuch durchgeführt. Dafür wurden drei verschiedene N-Quellen mit je zwei verschiedenen Konzentrationen verwendet. In Anlehnung an Versuche von Käärik (1960) wurden folgende drei N-Quellen ausgewählt: Asparagin, Ammoniumtatrat und Ammoniumsulfat (siehe Kap. 1.5). Tabelle 4 listet die verwendeten N-Quellen und Konzentrationen auf.

Tab. 4: Überblick über die verwendeten Stickstoffquellen und Konzentrationen.

	Varianten								
Kontrolle (ohne N)	Asparagin Ammoniumsulfat Ammoniumtatrat								
	N-Konzentration (N/I)								
-	0,1 g 0,351 g	0,1 g 0,351 g	0,1 g 0,351 g						
	Anzahl								
22	je 22	je 22	je 22						

Der Wachstumsversuch wurde mit dem Isolat aus Göttingen (20110919/GöKe) durchgeführt (siehe Kap. 2.1.1.5). Für den Wachstumsversuch aber auch für den nachfolgenden Abbauversuch wurden zunächst aktiv wachsende Reinkulturen, sogenannte "Starterkulturen", des Eschenbaumschwammes hergestellt, die als Ausgangskulturen für den eigentlichen Wachstumsversuch dienten. Die für den Wachstumsversuch nötigen 154 Petrischalen (Ø 90 mm) wurden wie folgt vorbereitet: Auf der Unterseite jeder Schale wurden zwei zueinander normal stehende Linien gezeichnet, die sich in der Mitte der Schale kreuzen (Abb. 18 rechts). Für jede dieser Petrischalen wurden aus einem Teil der Starterkulturen mit einem Korkbohrer (Ø 4 mm) myzelbewachsene Agarscheiben ausgestochen und in die Mitte der neuen Agarplatten inokuliert.



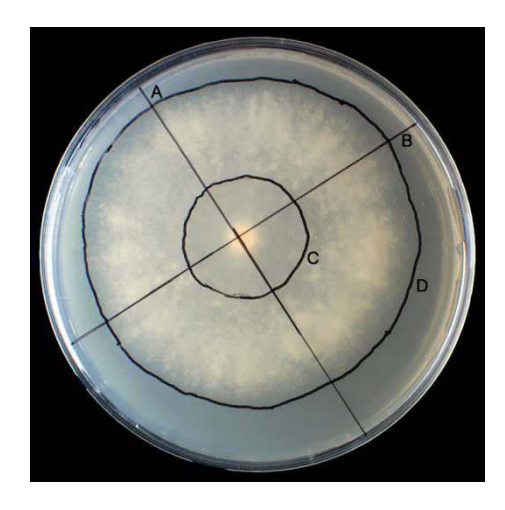


Abb. 18: Durchführung der Wachstumsmessungen: linke Abb.: Myzel-Wachstum von *P. fraxinea* innerhalb von 9 Tagen, rechte Abb.: Vor Beginn des Versuches wurden zwei orthogonale Linien (A, B) gezogen; Kreis C markiert die Wachstumsfront vor dem eigentlichen Wachstumsversuch; Kreis D markiert die Wachstumsfront nach Ablauf des Wachstumsversuches.

Während der Anwachsphase – bei Zimmertemperatur – wächst das Myzel des Inokulums zum Nährmedium hinunter und besiedelt dieses. Es dauerte in etwa vier Tage bis das Myzel das Nährmedium besiedelt hatte. Bevor der eigentliche Wachstumsversuch gestartet wurde, wurde die Wachstumsfront auf der Unterseite jeder Schale gekennzeichnet (Abb. 18 rechts). Anschließend wurden die Schalen bei Dunkelheit und einer Temperatur von  $25^{\circ}$ C (vgl. 2.1.1.3 Kultureigenschaften) in Klimaschränken inkubiert. Nach vier bis fünf Tagen waren die Petrischalen zu • mit Myzel bewachsen und es wurde die Wachstumsfront neuerlich markiert (Abb. 18 rechts). Somit dauerte die Inkubationsdauer vom 25.02.2013 bis 01.03. bzw. 02.03.2013. Je Petrischale ergaben sich vier Radial-Messungen, indem die Differenz ( $\Delta r$ ) zwischen den beiden Wachstumsfronten entlang der radialen Linien gebildet wurden. Mit diesen Messwerten wurde die radiale Wachstumsrate in mm/Tag für jedes Isolat berechnet. Die Berechnung erfolgte anhand folgender Formel:

$$i_{radial} = \frac{\frac{\sum_{i=1}^{4} \Delta ri}{4}}{t}$$

Nach Auswertung der Ergebnisse (siehe Kap. 3.1) wurde die N-Quelle Asparagin für den nachfolgenden Abbauversuch ausgewählt.

### 2.6 Ablauf des Abbauversuchs

Um herauszufinden, ob Stickstoff und/oder die Holzart einen Einfluss auf die Abbauleistung von *P. fraxinea* hat, wurden sogenannte "Abbauversuche" in Anlehnung an die ÖNORM EN 113 durchgeführt. Prüfkörper der Baumarten *Robinia pseudoacacia, Fraxinus excelsior* und *Quercus robur* wurden dem Angriff von *P. fraxinea* in Reinkultur ausgesetzt, um die Abbaurate des Pilzes festzustellen. Um den Einfluss von Stickstoff auf die Abbaurate des Eschenbaumschwammes zu testen, wurde dem Nährmedium (siehe Kap. 2.4) Stickstoff in Form von Asparagin in den Konzentrationen 0,1 g N/1 und 0,351 g N/1 beigefügt. Bei den Kontrollprüfkörpern wurde dem Nährmedium kein zusätzlicher Stickstoff zugefügt.

Zur Kontrolle der Virulenz des verwendeten Prüfpilzes wurden ergänzend 15 Prüfkörper von Fagus sylvatica dem Angriff des Prüfpilzes ausgesetzt.

Tabelle 5 zeigt für die verwendeten Baum-/Holzarten Fraxinus, Quercus und Robinia die Aufteilung der jeweiligen Prüfkörper auf die N-Konzentrationen und Stammsektoren.

		Aufteilung der Prüfkörper					
N-Konzentration [g/l]	0	0,1	0,351				
Stammsektion [m]	0-1 1-2 2-3	0-1 1-2 2-3	0-1 1-2 2-3				
Prüfkörper pro Stammhöhe	je 7-8	je 7-8	je 7 <b>-</b> 8				
Prüfkörper pro N-Konzentration	je 22	je 22	je 22				
Prüfkörper pro Holzart	je 66						
Gesamtanzahl aller Prüfkörper	198						

Tab. 5: Überblick über die Aufteilung der Prüfkörper auf die endsprechende Holzart.

Die Prüfkörper wurden zunächst bei  $103^{\circ}\pm 2^{\circ}$ C mindestens 18 Stunden bis zur Gewichtskonstanz getrocknet. Nachdem diese im Exsikkator auf  $20^{\circ}$ C abgekühlt waren, wurde durch Wägen (auf 0,001 g genau) die Anfangstrockenmasse ("m<sub>0</sub>") jedes einzelnen Prüfkörpers vor dem Abbauversuch ermittelt.

Danach wurden die Prüfkörper im Universitäts- und Forschungszentrum Tulln in einer Klimakammer bei  $20^{\circ}\pm 2^{\circ}$ C und  $65\pm 5$  % relative Luftfeuchte für zwei Wochen konditioniert. Nach Erreichen der Gewichtskonstanz wurden die Prüfkörper luftdicht in Polyethylen-Folie eingeschweißt (Abb. 19).

Die eingeschweißten Prüfkörper wurden durch die Firma Mediscan im Forschungszentrum Seibersdorf mit Gammastrahlen (ca. 25 kGy) sterilisiert. Die Plastikunterlagen, die als

Unterlagen für die Prüfkörper verwendet wurden (s. u.), wurden ebenfalls in Polyethylen-Folie eingeschweißt und sterilisiert (Abb. 19).

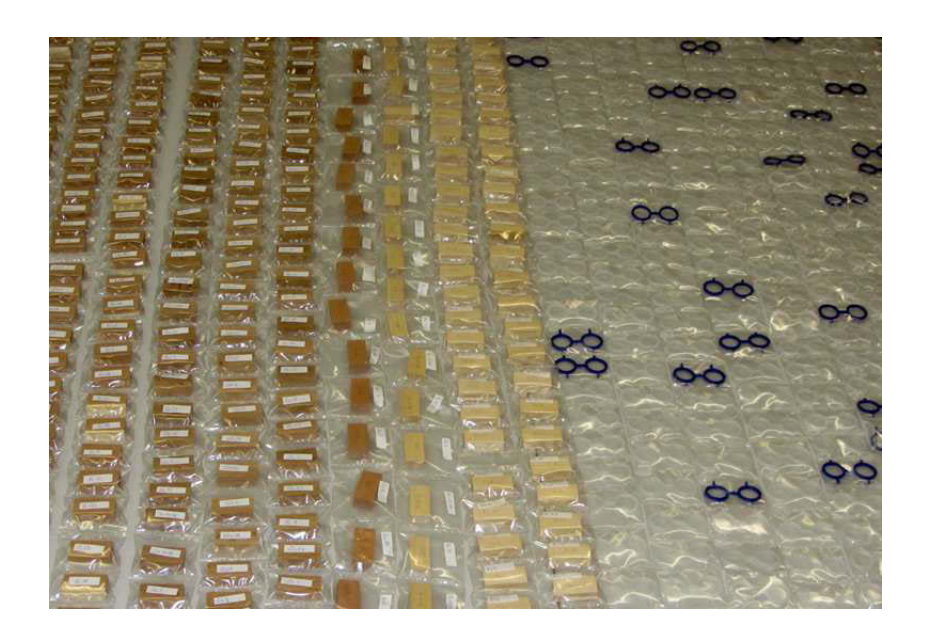


Abb. 19: Für die Sterilisierung in Polyethylen-Folie eingeschweißte Prüfkörper (links) und Plastikunterlagen (rechts).

Für den Abbauversuch wurde dem Nährmedium (siehe Kap. 2.4) Asparagin in zwei verschiedenen Konzentrationen zugefügt: Für die niedrige N-Konzentration (0,1 g N) wurde einem Liter der 2%igen MEA-Lösung 0,47 g Asparagin hinzugegeben, für die hohe N-Konzentration (0,351 g N) wurde einem Liter der MEA-Lösung hingegen 1,66 g Asparagin hinzugegeben. Die Kontrolle bestand aus 2%igem MEA-Medium ohne Zugabe von Stickstoff. Die Berechnung der N-Gehalte von Asparagin ist im Anhang Teil A im Detail dargestellt.

Als Versuchsgefäße wurden 500 ml Duran-Flaschen der Firma Schott verwendet. Die Flaschen wurden jeweils mit 80 ml des MEA-Mediums befüllt und nach dem Autoklavieren flach hingelegt, damit das Nährmedium in der benötigten Position erstarrt.

Wie beim Wachstumsversuch wurden auch beim Abbauversuch aus eigens hergestellten aktiven Reinkulturen ("Starterkulturen") myzelbewachsene Agarscheiben mit einem Korkbohrer ausgestochen und in die Mitte des Nährmediums jeder Duranflasche inokuliert. Nach einer kurzen Anwachsphase von etwa 4 Tagen wurden die Duranflaschen um 180° um die Längsachse gedreht (Abb. 20 rechts), damit sich etwaig gebildetes Kondenswasser nicht auf der Nährbodenoberfläche sammeln und dadurch das Myzelwachstum des Pilzes beeinträchtigen konnte. Um gebildetes Kondenswasser besser abzuführen, wurden die Schraubverschlüsse der Duranflaschen etwa eine halbe Umdrehung geöffnet und der Umluft-Luftstrom der Impfbank

eingeschaltet. Wie in Abbildung 20 ersichtlich, wurden die Flaschen bis zum Einbau der Prüfkörper weiter "kopfüber" in der Impfbank gelagert.



Abb. 20: Mit Malzextrakt-Agar befüllte und mit *P. fraxinea* beimpfte Duranflaschen. Um nach der Abkühlphase des Nährbodens eine Belüftung der Duranflaschen zu gewährleisten, wurden diese um 180° gedreht und bis zum Einbau der Prüfkörper in der Impfbank im Umluft-Luftstrom gelagert.

Sobald das Nährmedium vollkommen mit Myzel überwachsen war (in etwa ein Monat nachdem die Duranflaschen mit dem Eschenbaumschwamm beimpft worden waren), konnte mit dem Einbau der Prüfkörper begonnen werden. Dazu wurde in der Impfbank unter sterilen Bedingungen mit einer abgeflammten, langhalsigen Pinzette zuerst die Plastikunterlage mittig auf die Myzel-Schicht aufgebracht und anschließend ein Prüfkörper pro Flasche auf die Unterlage gelegt (Abb. 21). Um eine kapillare Feucht-Aufnahme aus dem Medium zu verhindern, dürfen die Prüfkörper im Versuchsgefäß nicht direkt auf dem Myzel der Reinkultur liegen. Daher wurden Unterlagen aus einem inerten Material verwendet, die einen Abstand zwischen Nährmedium und Prüfkörper von ca. 3 mm gewährleisteten. Für den vorliegenden Versuch wurden Unterlagen aus Plastik verwendet, die aus Spülbeckeneinlagen hergestellt wurden. Um während des Abbauversuches einen ausreichenden Gasaustausch zu gewährleisten, wurden die Schraubverschlüsse der Duranflaschen nach dem Einbau der Prüfkörper etwa ein halbe Umdrehung geöffnet. Ergänzend wurden alle Duranflaschen mit den Nummern der Prüfkörper beschriftet.

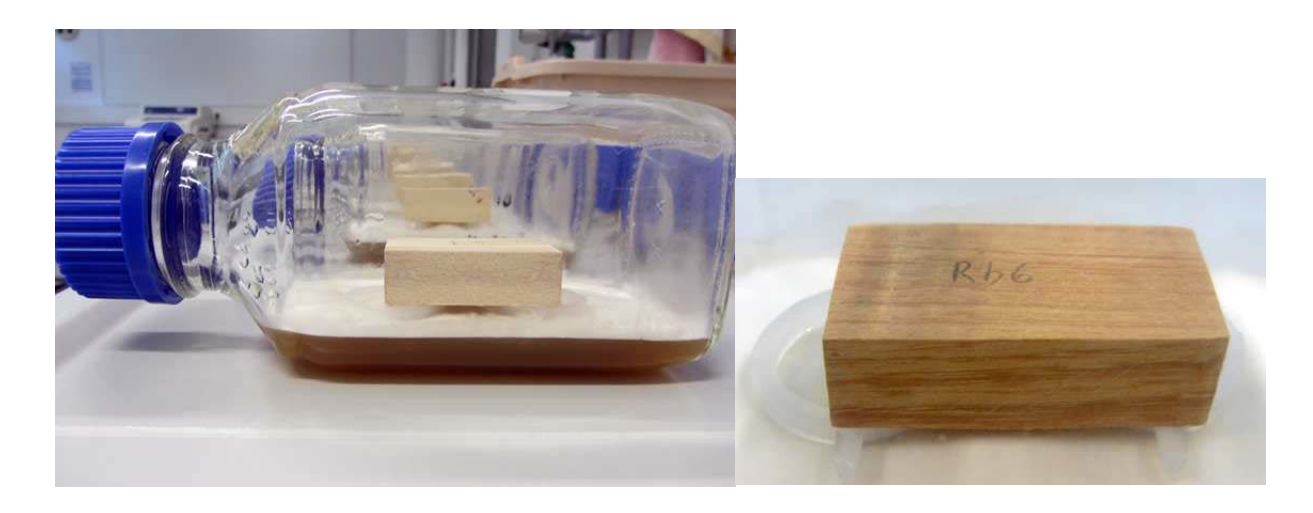


Abb. 21: Eingebauter Prüfkörper (*F. excelsior* links, *R. pseudoacacia* rechts) auf Plastikunterlagen (weiß) als Abstandshalter.

Für den eigentlichen Abbauversuch wurden die Duranflaschen mit den Prüfkörpern für 18 Wochen bei  $22^{\circ}\pm 2^{\circ}$ C und  $70\pm 5$  % relative Luftfeuchte in Dunkelheit in einem Phytotron gelagert (Abb. 22).



Abb. 22: Lagerung der Duranflaschen in einem Phytotron.

Quelle: Oliver Maschek 2013.





Abb. 23: Abb. oben: Zu 100 % mit Myzel bewachsene Duranflasche nach dem Abbauversuch.

Abb. unten: Myzelwachstum nach 18-wöchigem Holz-abbau.

Nach 18 Wochen wurden die Prüfkörper den Flaschen entnommen und zunächst optisch das Ausmaß der Myzel-Bildung an den Innenwänden der Duranflaschen (Abb. 23 oben) (in Prozent der Gesamtfläche) sowie der Myzelbewuchs der Prüfkörper (Abb. 23 unten und Abb. 24) (ebenfalls in Prozent) bestimmt. Zudem wurden etwaige Kontaminationen durch Fremdpilze sowie das Auftreten von initialen Fruchtkörperstadien (siehe Kap. 2.1.1.3 und Abb. 40 links) festgehalten. Danach wurde jeder Prüfkörper vom Myzel befreit und das Feuchtgewicht auf 0,001 g genau bestimmt ("m,"). Zur Bestimmung des Trockengewichts wurden wiederum die Prüfkörper Trockenschrank  $103^{\circ}\pm 2^{\circ}C$ bei bis zur Gewichtskonstanz getrocknet. Nachdem die Prüfkörper im Exsikkator auf 20°C abgekühlt wurde waren, zur Bestimmung der Endtrockenmasse (,,m,")jeder Prüfkörper wiederum auf 0,001 g genau gewogen.

Die Differenz von  $m_2 - m_3$  ergibt die Holzfeuchte jedes Prüfkörpers und wurde als Prozentanteil der Endtrockenmasse angegeben:

$$\frac{(m_2 - m_3)}{m_3} \times 100 = Holzfeuchte (\%)$$

Der Masseverlust jedes behandelten Prüfkörpers errechnet sich aus der Differenz von  $m_0 - m_3$  und wurde als Prozentanteil der Anfangstrockenmasse (" $m_0$ ") ausgedrückt:

$$\frac{(m_0-m_3)}{m_0} \times 100 = Masseverlust \,(\%)$$







Abb. 24: Holzabbau durch P. fraxinea. oben: Prüfkörper: R. pseudoacacia, N-Konzentration im Nährboden: 0,351 g N/I, Myzelbewuchs: 5 %, die Hyphen bilden ein Geflecht. Abb. Mitte: Prüfkörper: R. pseudoacacia, N-Konzentration im Nährboden: 0,351 g N/I, Myzelbewuchs: 45 %, teilweise dicht anliegend, leicht filzig. Abb. unten: Prüfkörper: Q. robur, kein zu-sätzlicher Stickstoff im Nährboden, Myzelbewuchs: 100 %, dicht anliegend, filzig, oder wollig.

## 2.7 Stickstoffgehalte der Prüfkörper und des Nährmediums

Im Zuge der Arbeit wurde auch der tatsächliche Gesamtstickstoffgehalt der für den Abbauversuch verwendeten Hölzer ermittelt. Es wurden sowohl unbehandelte Prüfkörper, die nicht für den Abbauversuch verwendet wurden, als auch Prüfkörper, die dem Abbau durch *P. fraxinea* ausgesetzt waren, analysiert. Insgesamt wurden 85 Prüfkörper für die Analyse ausgewählt, 24 vor und 61 nach dem Abbauversuch. Bei der Robinie wurden bei zehn Prüfkörpern auch Proben aus dem Splintholzbereich gewonnen.

Dazu wurden die ausgewählten Prüfkörper in zwei Hälften gesägt und das dabei anfallende Sägemehl (Minimum 2 mg) in Eppendorf-Reaktionsgefäße gefüllt.

Auch das für den Abbauversuch verwendete Nährmedium (siehe Kap. 2.4) wurde auf den Gesamtstickstoffgehalt untersucht. Dazu wurde dem MEA-Nährmedium entsprechend den für den Abbauversuch verwendeten N-Konzentrationen Stickstoff hinzugefügt. Für die Untersuchung der Gesamtstickstoffgehalte wurde das Nährmedium in Petrischalen (zwei pro N-Konzentration) mit einem Durchmesser von 90 mm gegossen.

Die Bestimmung des Gesamtstickstoffgehaltes erfolgte bei den Prüfkörpern und beim Nährmedium nach ÖNORM L 1082-89 mittels Elementaranalyse (Carlo Erba NA-1500).

## 2.8 Statistische Auswertungen der Daten

Alle statistischen Auswertungen erfolgten mit dem Programm SPSS 20 der Firma IBM SPSS Statistics. Für die Aufnahme und Vorbereitung der Daten wurde das Tabellenkalkulationsprogramm Microsoft Excel (Versionen 2007 und 2010) für Microsoft Windows verwendet.

Das Signifikanzniveau ist, wenn nicht anders angegeben bei allen Auswertungen p=0,05. Für die Überprüfung auf Normalverteilung der Daten wurde der Kolmogorov-Smirnov-Anpassungstest und für die Überprüfung der Gleichheit der Varianzen der Levene-Test angewendet. Trotz der Tatsache, dass teilweise eine Normalverteilung der Daten und Varianzhomogenität nicht gegeben war, wurden trotzdem parametrische Tests für die Auswertung der Daten verwendet.

Um den Einfluss von N-Quelle, N-Konzentration, Holzart und Stammhöhe auf den Masseverlust oder die Holzfeuchte zu ermitteln, wurden Univariate Varianzanalysen nach dem "Allgemeinen linearen Modell" gerechnet. Für Mehrfachvergleiche kamen, je nachdem ob Varianzhomogenität gegeben war, der Tukey-Test oder der Games-Howell-Test zur Anwendung.

Um den Zusammenhang zwischen dem Splintholzanteil an Prüfkörpern der Robinie und dem Masseverlust zu analysieren, wurde eine einfache lineare Regression gerechnet (siehe Kap. 3.2.1.1). Mit der Formel der Regressionsgeraden wurde der Masseverlust bei 100 % Splintholzanteil geschätzt. Die Formel der Regressionsgeraden lautet:

$$y = a + b \times x$$

a steht für den Schnittpunkt mit der y-Achse (Regressionskonstante), b für die Steigung der Geraden (nicht standardisierter Regressionskoeffizient) und x für den Splintholzanteil (x-Achse).

Nähere Details zu den statistischen Auswertungen werden im Kapitel Ergebnisse beschrieben. Alle Angaben sind, wenn nicht anders angegeben, auf drei Kommastellen gerundet.

## 3 Ergebnisse

## 3.1 Ergebnisse des Wachstumsversuchs

Mit dem Kolmogorov-Smirnov-Anpassungstest wurde getrennt nach N-Quellen und N-Konzentrationen zunächst geprüft, ob die Werte der Wachstumsraten von *Perenniporia fraxinea in vitro* einer Normalverteilung folgen. Die Ergebnisse zeigen in Hinblick auf die verwendeten N-Quellen, dass die Wachstumsraten von *P. fraxinea* auf mit Ammoniumsulfat angereicherten Nährböden normalverteilt sind (p = 0,766), wogegen die erzielten Wachstumsraten auf Nährböden mit Ammoniumtatrat (p = 0,041) knapp und auf jenen mit Asparagin (p = 0,005) eindeutig nicht normalverteilt sind. Die Werte der Wachstumsraten in Abhängigkeit von der N-Konzentration sind bei den N-Konzentrationen 0,1 g N/1 und 0,351 g N/1 nicht normalverteilt, bei der Kontrolle ohne Stickstoff sind die Werte der Wachstumsraten normalverteilt (p = 0,347).

Varianzhomogenität ist bei den Wachstumsraten in Abhängigkeit von allen N-Quellen und bei der N-Konzentration 0,1 g N/l gegeben; bei einer N-Konzentration von 0,351 g N/l liegt hingegen keine Homogenität der Varianzen vor. Auch wenn somit nicht in allen Fällen sämtliche Voraussetzungen für eine Varianzanalyse erfüllt wurden, kann nach Konsultation von Statistikern in diesem Fall eine Varianzanalyse durchgeführt werden.

Das Ergebnis der univariaten Varianzanalyse ist in Tabelle 6 dargestellt und zeigt einen höchst signifikanten Einfluss der N-Quelle und der N-Konzentration auf den Radialzuwachs von *P. fraxinea in vitro*.

Tab. 6: Ergebnis der Univariaten Varianzanalyse zur Überprüfung des Einflusses von N-Quelle und N-Konzentration auf den Radialzuwachs von *P. fraxinea in vitro*.

	Tests der Zwischensubjekteffekte										
Abhängige Variable: Radialzuwachs/Tag											
	Quadratsumme		Mittel der			Partielles					
Quelle	vom Typ III	df	Quadrate	F	Signifikanz	Eta-Quadrat					
N-Quelle	15,966	2	7,983	109,153	0,000	0,598					
N-Konzentration	6,640	1	6,640	90,789	0,000	0,382					
N-Quelle * N-Konz.	45,000	2	22,500	307,641	0,000	0,807					
Fehler	10,751	147	0,073								

Um die eingesetzten N-Quellen und N-Konzentrationen untereinander zu vergleichen, wurden Post-Hoc-Tests durchgeführt. Für die Mehrfachvergleiche der Radialzuwächse *in vitro* in Abhängigkeit von den verschiedenen N-Quellen wurde der Tukey-Test verwendet, da alle Werte Varianzhomogenität aufwiesen. Für den Vergleich des Radialzuwachses *in vitro* in Abhängigkeit von den unterschiedlichen N-Konzentrationen wurde hingegen der Games-Howell-Test herangezogen, da hier keine Varianz-homogenität vorlag.

Tab. 7: Ergebnisse der Post-Hoc Mehrfachvergleiche der Wachstumsraten von *P. fraxinea in vitro* in Abhängigkeit der N-Quelle gemittelt über die Stickstoffkonzentrationen im Vergleich zur Kontrolle.

	Mehrfachvergleiche										
Abhängige Variable	Abhängige Variable: Radialzuwachs/Tag										
Test: Tukey											
		Mittlere Differenz			95%-Konfide	enzintervall					
(I) N-Quelle	(J) N-Quelle	(I-J)	Standardfehler	Signifikanz	Untergrenze	Obergrenze					
	Asparagin	-0,6345	0,1375	0,000	-0,9918	-0,2773					
Ammoniumsulfat	Ammoniumtatrat	0,1750	0,1375	0,582	-0,1822	0,5322					
	Kontrolle (ohne N)	-0,4582	0,1684	0,036	-0,8958	-0,0207					
	Ammoniumsulfat	0,6345	0,1375	0,000	0,2773	0,9918					
Asparagin	Ammoniumtatrat	0,8095	0,1375	0,000	0,4523	1,1668					
	Kontrolle (ohne N)	0,1763	0,1684	0,722	-0,2612	0,6138					
	Ammoniumsulfat	-0,1750	0,1375	0,582	-0,5322	0,1822					
Ammoniumtatrat	Asparagin	-0,8095	0,1375	0,000	-1,1668	-0,4523					
	Kontrolle (ohne N)	-0,6332	0,1684	0,001	-1,0708	-0,1957					
	Ammoniumsulfat	0,4582	0,1684	0,036	0,0207	0,8958					
Kontrolle (ohne N)	Asparagin	-0,1763	0,1684	0,722	-0,6138	0,2612					
	Ammoniumtatrat	0,6332	0,1684	0,001	0,1957	1,0708					

In Tabelle 7 sind die Unterschiede im Radialzuwachs *in vitro* in Abhängigkeit von den verschiedenen N-Quellen angeführt: Es zeigt sich, dass die Asparagin-Variante zu einem signifikant (p = 0,000) höherem Radialzuwachs führt als die Ammoniumsulfat- oder die Ammoniumtatrat-Variante. Sie unterscheidet sich jedoch nicht signifikant von der Kontrolle (p = 0,722). Die Ammoniumsulfat- und die Ammoniumtatrat-Variante unterscheiden sich voneinander nicht signifikant (p = 0,582). Im Gegensatz zur Asparagin-Variante ergaben sich bei der Ammoniumsulfat- (p = 0,036) und Ammoniumtatrat-Variante (p = 0,001) aber signifikante Unterschiede zur Kontrolle, wobei beide Varianten einen im Vergleich zur Kontrolle geringeren Radialzuwachs zeigten.

Bei den Wachstumsraten in Abhängigkeit von der N-Konzentration (Tab. 8) zeigt sich, dass es einen höchst signifikanten Unterschied zwischen dem Radialzuwachs bei den N-Konzentrationen 0,1 g N/l und 0,351 g N/l, sowie zwischen der geringeren N-Konzentration und der Kontrolle gibt. Dagegen gibt es zwischen der höheren N-Konzentration und der Kontrolle keinen signifikanten Unterschied (p = 0,858).

Tab. 8: Ergebnisse der Post-Hoc Mehrfachvergleiche der Wachstumsraten von *P. fraxinea in vitro* ir Abhängigkeit von der N-Konzentration gemittelt über alle Stickstoffquellen im Vergleich zur Kontrolle ("kein N").

Mehrfachvergleiche										
Abhängige Variable: Radialzuwachs/Tag										
Test: Games-Howell										
		Mittlere Differenz			95%-Konfid	enzintervall				
(I) N-Konzentration	(J) N-Konzentration	(I-J)	Standardfehler	Signifikanz	Untergrenze	Obergrenze				
kein N	0,1 g N/I	0,5293	0,1025	0,000	0,2756	0,7831				
Kelli IV	0,351 g N/I	0,0808	0,1531	0,858	-0,2851	0,4466				
0.1 a N/l	kein N	-0,5293	0,1025	0,000	-0,7831	-0,2756				
0,1 g N/l	0,351 g N/I	-0,4486	0,1254	0,002	-0,7483	-0,1488				
0.2F1 ~ N/I	kein N	-0,0808	0,1531	0,858	-0,4466	0,2851				
0,351 g N/I	0,1 g N/I	0,4486	0,1254	0,002	0,1488	0,7483				

Tabelle 9 und Abbildung 25 geben einen detaillierten Überblick über die mittleren Wachstumsraten von *P. fraxinea in vitro* in Abhängigkeit von den einzelnen N-Quellen <u>und</u> N-Konzentrationen: Der Mittelwert über alle gemessenen Radialzuwächse/Tag lag bei 5,1 mm. Die höchsten Radialzuwächse/Tag (6,6 mm) wurden bei Beigabe von Asparagin mit der N-Konzentration von 0,351 g N/l erzielt. Dieser Wert war auch signifikant höher als jener der Kontrolle (Tab. 9). Im Gegensatz dazu lag der Radialzuwachs/Tag bei der 0,1 g N/l

Asparagin-Variante mit 4,5 mm unter den Werten der anderen N-Quellen mit derselben Konzentration und auch unter dem Wert der Kontrolle. Fasst man bei der Asparagin-Variante alle Werte zusammen, dann liegt der Radialzuwachs/Tag mit 5,5 mm (Tab. 9) trotzdem über den Durchschnittswerten der anderen N-Varianten und der Kontrolle.

Tab. 9: Mittelwerte der Wachstumsraten (Radialzuwachs in mm/Tag) von Reinkulturen von *P. fraxinea* in Abhängigkeit von N-Quelle und N-Konzentration (Mittelwerte mit unterschiedlichen Kennbuchstaben unterscheiden sich signifikant auf dem 5%-Niveau).

		Deskriptive Statistike	n							
Abhängige Variab	Abhängige Variable: Radialzuwachs/Tag									
N-Quelle	N-Konzentration	Mittelwert	Standardabweichung	N						
	0,1 g N/I	4,98182 <sup>a</sup>	0,098253	22						
Ammoniumsulfat	0,351 g N/I	4,79318 <sup>c</sup>	0,105836	22						
	Gesamt	4,88750	0,138880	44						
	0,1 g N/I	4,47873 <sup>b</sup>	0,297074	22						
Asparagin	0,351 g N/I	6,56534 <sup>d</sup>	0,431928	22						
	Gesamt	5,52203	1,117146	44						
	0,1 g N/I	4,98864 <sup>a</sup>	0,097812	22						
Ammoniumtatrat	0,351 g N/I	4,43636 <sup>e</sup>	0,080448	22						
	Gesamt	4,71250	0,293015	44						
Kontrolle ohne S	tickstoff	5,34574 <sup>f</sup>	0,447494	22						
N-Kon:	zentration	Mittelwert	Standardabweichung	N						
0,1 g N/I		4,81639	0,304330	66						
0,351 g N/I		5,26496	0,972641	66						
Kein Stickstoff		5,34574	0,447494	22						
Gesamt		5,08426	0,723609	154						

Zur besseren Veranschaulichung sind die Ergebnisse des Wachstumsversuchs in Abb. 25 in einem Boxplot-Diagramm zusammengefasst. Gut zu erkennen ist die signifikant höhere Wachstumsleistung von *P. fraxinea* bei der hohen (0,351 g N/l) Asparagin-Konzentration im Nährmedium. Die Abbildung zeigt auch anschaulich, dass die Kontrolle meist einen höheren Radialzuwachs aufweist, als die Ammoniumsulfat- oder Ammoniumtatrat-Variante. Da bei der Kontrolle die Werte aber stark streuen, gibt es auch Werte, die schlechter sind als bei den Varianten mit Ammoniumsulfat oder –tatrat. Bei den beiden zuletzt genannten N-Quellen zeigten sich beim radialen Wachstum von *P. fraxinea* hingegen nur geringe Schwankungen.

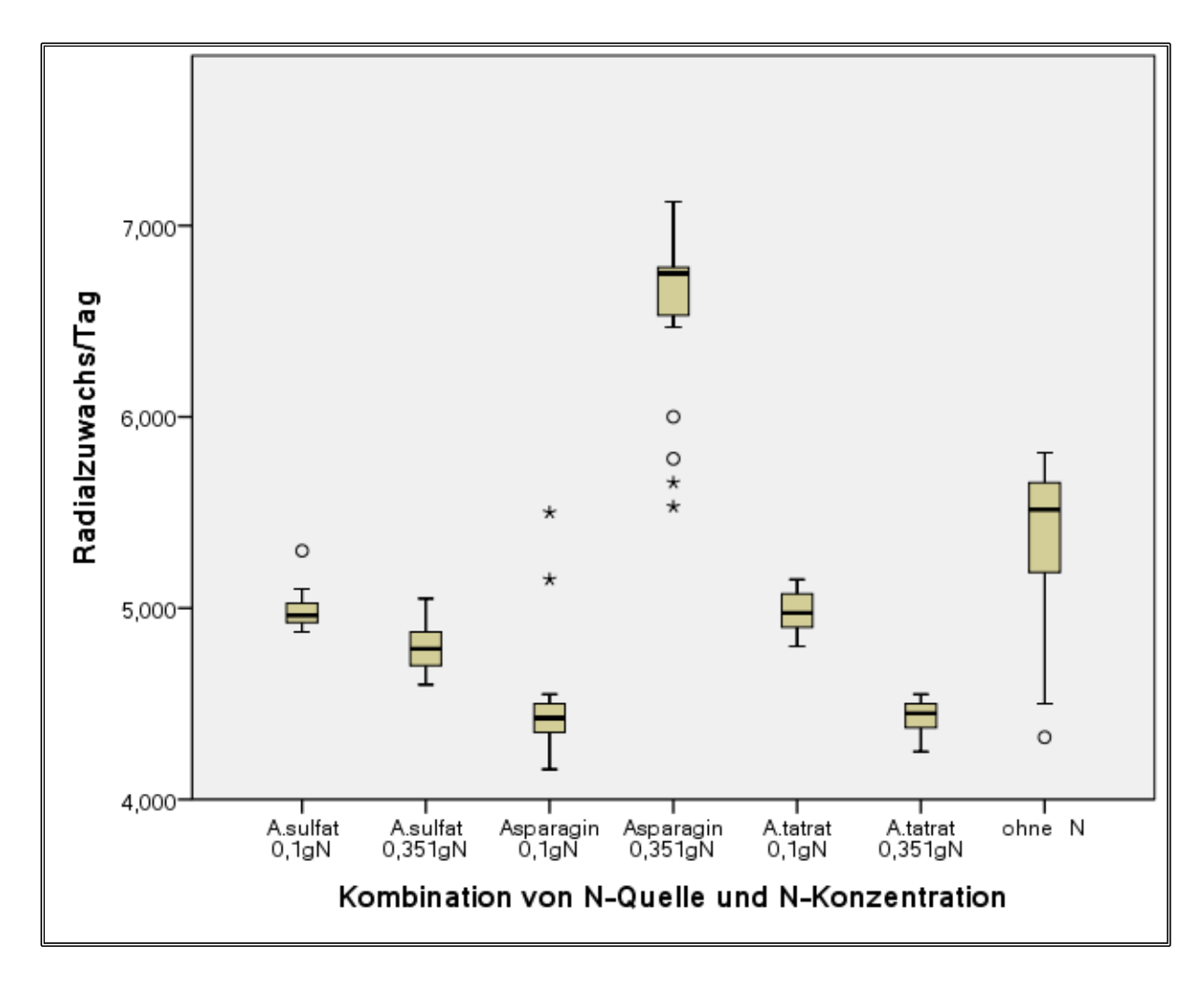


Abb. 25: Boxplot-Diagramm (Median, Bereich zwischen der 25. und 75. Perzentile sowie Ausreißer) des Radialzuwachses/Tag von *P. fraxinea* in Abhängigkeit von N-Quelle und N-Konzentration.

## 3.2 Ergebnisse des Abbauversuchs

Bei den Analysen zum Masseverlust, wurden bei der Robinie alle 66 Prüfkörper berücksichtigt. Bei jenen Prüfkörpern die einen variablen Splintholzanteil aufwiesen, wurde dieser Anteil herausgerechnet (siehe Kap. 2.2.4.1). Bei der Eiche wurden bei den Analysen zum Masseverlust und zur Holzfeuchte (siehe Kap. 3.2.1 und 3.2.2) jene 39 Prüfkörper mit einem ähnlichen Splintholz-Anteil am Prüfkörper berücksichtigt (siehe Kap. 2.2.4). Bei allen weiteren Auswertungen (ab Kap. 3.2.3) wurden bei der Robinie, sofern nicht anders angegeben, nur die Prüfkörper ohne variablen Splintholzanteil und bei der Eiche alle 66 Prüfkörper verwendet.

## 3.2.1 Masseverlust durch Pilzangriff

Zur Prüfung der Virulenz von *P. fraxinea* wurde zunächst der Masseverlust an 15 Prüfkörpern aus Buchenholz ermittelt, da Buchenholz in der ÖNORM EN 113 die Referenz für Laubhölzer darstellt. Da Mindestwerte für den im Abbauzeitraum zu erzielenden Holzabbau in der ÖNORM EN 113 nur für ausgewählte Prüfpilze, nicht aber für den Eschenbaumschwamm vorgegeben sind, wurden die für andere Pilzarten angegebenen Werte als Vergleichswert herangezogen: So sollte der durch die Schmetterlings-Tramete (*Trametes. versicolor*) verursachte Masseverlust an Buchenprüfkörpern mindestens 25 % betragen, beim Becherförmigen Sägeblättling (*Neolentinus degener*, Syn. *Lentinus cyathiformis*) sollte die Mindestabbaurate nach 16 Wochen zumindest 20 % Masseverlust betragen.

Im vorliegenden Versuch wurde mit *P. fraxinea* an den Prüfkörpern aus Buchenholz im Mittel ein Masseverlust von 15,7 % erzielt. Das Minimum lag bei 10,1 %, das Maximum bei 25,6 %, bei sechs der 15 Prüfkörper betrug der Masseverlust mehr als 20 %. Die Virulenzprüfung an Standardprüfkörpern aus Buchenholz zeigte somit, dass *P. fraxinea* einen etwas geringeren Holzabbau hervorruft als die in der Norm gelisteten Prüfpilze.

Bevor weitere Analysen durchgeführt wurden, wurden die Abbauraten wiederum auf Normalverteilung und Homogenität der Varianzen geprüft. Die Prüfung der Abbauraten auf Normalverteilung erfolgte wie schon beim Wachstumsversuch – getrennt nach N-Konzentration – mit dem Kolmogorov-Smirnov-Anpassungstest. Dabei waren bei Esche, Eiche und Robinie alle Werte hinreichend normalverteilt.

Um zu prüfen, ob bei den Werten für die Abbauraten Varianzhomogenität vorliegt, wurde der Levene-Test angewendet. Dabei hat sich herausgestellt, dass die Varianzen bei Esche knapp (p=0,041) und bei Robinie (p=0,016) und Eiche (p=0,002) eindeutig nicht homogen waren. Da die Daten ausreichend normalverteilt sind, wurden, trotz nicht erfüllter Varianzhomogenität, für weitere Analysen verschiedene Varianzanalysen herangezogen.

Um zu prüfen, welche Faktoren den Masseverlust der Prüfkörper signifikant beeinflussen, wurde zunächst eine Univariate Varianzanalyse über alle getesteten Baum-/Holzarten, N-konzentrationen und Stammhöhen durchgeführt. Dabei zeigte sich, dass die einzelnen Baum-/Holzarten und die N-Konzentration einen höchst signifikanten Einfluss auf den Masseverlust haben (Tab. 10 – "Alle Baumarten zusammengefasst").

Führt man die Varianzanalysen getrennt nach den einzelnen Baumarten durch (Tab. 10), so zeigte sich bei der Esche ein höchst signifikanter Einfluss der N-Konzentration auf den Masseverlust (Holzabbau). Bei Eiche und Robinie war hingegen kein signifikanter Einfluss der N-Konzentration auf den Masseverlust zu erkennen. Bei der Eiche war der Signifikanz-Wert indes deutlich geringer als bei der Robinie und nahe einem signifikanten Ergebnis. Es wurde daher für Eiche zusätzlich auch eine Einfaktorielle ANOVA durchgeführt (Tab. 11). Dabei war der Einfluss der N-Konzentration bei der Eiche mit (p = 0,000) höchst signifikant.

Da die Stammhöhe lediglich bei der Esche einen signifikanten Einfluss aufwies, wurde dieser Faktor bei den Post-Hoc-Tests nicht berücksichtigt.

Tab. 10: Ergebnis der Univariaten Varianzanalyse (Zwischensubjekteffekte) zur Überprüfung des Einflusses von Baum-/Holzart, N-Konzentration und Stammhöhe auf den durch *P. fraxinea* hervorgerufenen Masseverlust der Prüfkörper aus Esche, Eiche und Robinie.

	Tests	der Zwischensu	biekteffekte						
Abhängige Variable: Massev			<b>-,</b>						
Quadratsumme Mittel der									
	vom Typ III	Df	Quadrate	F	Signifikanz				
		Esche							
N-Konzentration	424,550	2	212,275	35,860	0,000				
Stammhöhe	64,593	3	21,531	3,637	0,030				
Fehler	118,390	20	5,919						
		Eiche							
N-Konzentration	58,106	2	29,053	3,611	0,107				
Stammhöhe	12,159	3	4,053	0,504	0,696				
Fehler	77,774	11	7,070						
	-	Robinie		-					
N-Konzentration	0,001	2	0,001	0,038	0,963				
Stammhöhe	0,140	3	0,047	2,506	0,143				
Fehler	0,131	7	0,019						
	Alle E	Baumarten zusam	mengefasst	-					
Baum-/Holzart	7800,616	2	3900,308	1180,143	0,000				
N-Konzentration	733,648	2	366,824	110,992	0,000				
Stammhöhe	17,254	3	5,751	1,740	0,162				
Fehler	446,168	135	3,305						

Tab. 11: Ergebnis der Einfaktoriellen ANOVA zur Überprüfung des Einflusses der N-Konzentration auf den durch *P. fraxinea* hervorgerufenen Masseverlust in Prozent bei Prüfkörpern der Eiche.

Einfaktorielle ANOVA									
Abhängige Variable: Masseverlust (in %)									
	Quadratsumme	Df	Mittel der Quadrate	F	Signifikanz				
Zwischen den Gruppen	480,041	2	240,020	58,158	0,000				
Innerhalb der Gruppen	148,573	36	4,127						
Gesamt	628,614	38							

Im Anschluss an die Univariaten Varianzanalysen wurden Post-Hoc-Tests durchgeführt. Nachdem bei keiner Baum-/Holzart Varianzhomogenität vorlag, wurde bei den Mehrfachvergleichen der Test nach Games-Howell angewendet. Bei den durchgeführten Mehrfachvergleichen wurde das Signifikanzniveau mit der Bonferroni-Korrektur von p=0,05 auf p=0,0083 angepasst.

Anhand der Mehrfachvergleiche konnte gezeigt werden, dass bei Esche und Eiche bei der 0,351 g N/l-Variante signifikant höhere Abbauraten erzielt wurden als bei der Variante mit 0,1 g N/l sowie der Kontrolle (Tab. 12). Bei der Robinie gab es hingegen keine signifikanten Unterschiede zwischen den Abbauraten in Abhängigkeit von den verschiedenen N-Konzentrationen (Tab. 12, Abb. 26).

Tab. 12: Ergebnisse der Post-Hoc Mehrfachvergleiche der Abbauraten (Masseverlust in %) an Prüfkörpern von Esche, Eiche und Robinie durch *P. fraxinea* in Abhängigkeit von der N-Konzentration.

	Mehrfachvergleiche										
Abhängi	Abhängige Variable: Masseverlust (in %)										
(I) N- (J) N- Mittlere 95%-Konfidenzinte											
Test	Konzentration	Konzentration	Differenz (I-J)	Standardfehler	Signifikanz	Untergrenze	Obergrenze				
	Esche										
	Kein N	0,1 g N/I	-2,2346	0,8025	0,023	-4,199	-0,270				
	Kelli N	0,351 g N/l	-8,2875	0,7878	0,000	-10,215	-6,360				
Games	0,1 g N/I	Kein N	2,2346	0,8025	0,023	0,270	4,199				
-Howell	0,1 g 14/1	0,351 g N/l	-6,0529	0,9568	0,000	-8,377	-3,728				
	0,351 g N/I	Kein N	8,2875	0,7878	0,000	6,360	10,215				
	0,331 g 14/1	0,1 g N/I	6,0529	0,9568	0,000	3,728	8,377				
			E	iche							
	Kein N	0,1 g N/I	-1,4785	0,4648	0,011	-2,640	-0,317				
	Kelli N	0,351 g N/I	-8,0707	0,9135	0,000	-10,441	-5,700				
Games	0,1 g N/I	Kein N	1,4785	0,4648	0,011	0,317	2,640				
-Howell	0,1 g 14/1	0,351 g N/l	-6,5922	0,9243	0,000	-8,981	-4,203				
	0,351 g N/l	Kein N	8,0707	0,9135	0,000	5,700	10,441				
	0,551 g 14/1	0,1 g N/l	6,5922	0,9243	0,000	4,203	8,981				
			Robinie (r	nur Kernholz)							
	Kein N	0,1 g N/I	-0,0090	0,0605	0,988	-0,156	0,138				
	Kelli N	0,351 g N/I	-0,0661	0,0681	0,599	-0,232	0,100				
Games	0,1 g N/l	Kein N	0,0090	0,0605	0,988	-0,139	0,157				
-Howell	0,1 9 N/I	0,351 g N/I	-0,0572	0,0537	0,542	-0,188	0,074				
	0.351 a N/I	Kein N	0,0661	0,0681	0,599	-0,100	0,232				
	0,351 g N/I	0,1 g N/I	0,0872	0,0537	0,542	-0,074	0,188				

Fasst man die erzielten Abbauraten für alle Baumarten und N-Konzentrationen zusammen, so führte *P. fraxinea* innerhalb von 18 Wochen im Mittel zu einem Masseverlust von 8 %, bezogen auf die Ausgangstrockenmasse (Tab. 13).

Betrachtet man die drei N-Konzentrationen separat, dann zeigt sich, dass eine höhere N-Konzentration im Nährmedium zu einem höheren Masseverlust führt (Tab. 13, Abb. 26). So betrug der Masseverlust bei der Kontrolle ohne N-Zugabe 5,9 %, bei einer N-Konzentration von 0,1 g N/l bereits 7,1 % und bei einer N-Konzentration von 0,351 g N/l sogar 11 % (Tab. 13).

Ein Vergleich des Masseverlusts bezogen auf die einzelnen Baum-/Holzart zeigt, dass der mittlere Masseverlust bei der Esche mit 16,6 % am höchsten war, gefolgt von der Eiche mit 6,1 % und der Robinie mit 0,6 % (Tab. 13, Abb. 26).

Tab. 13: Mittelwerte des durch *P. fraxinea* hervorgerufenen prozentualen Masseverlusts an Prüfkörpern von Esche, Eiche und Robinie (nach 18 Wochen) (Mittelwerte mit unterschiedlichen Kennbuchstaben unterscheiden sich signifikant auf dem 5%-Niveau).

			Deskriptive Statistik			
Abhängige Variab	le: Ma	sseverlust (in %)				
		Mittelwert			Minimum	Maximum
N-Konzentration	N	(Masseverlust in %)	Standardabweichung	Standardfehler	(in %)	(in %)
			Esche			
Kein N	22	13,048 <sup>a</sup>	1,9599	0,4178	9,39	16,84
0,1 g N/I	22	15,282 <sup>b</sup>	3,2138	0,6852	10,03	19,83
0,351 g N/I	22	21,335 <sup>c</sup>	3,1323	0,6678	15,75	27,42
Gesamt	66	16,555	4,4937	0,5531	9,39	27,42
	_		Eiche	_	-	-
Kein N	13	2,961 <sup>a</sup>	1,1295	0,3133	1,3	5,3
0,1 g N/I	13	4,439 <sup>b</sup>	1,2380	0,3434	2,1	6,0
0,351 g N/I	13	11,031 <sup>c</sup>	3,0940	0,8581	4,8	15,1
Gesamt	39	6,144	4,0672	0,6513	1,3	15,1
			Robinie			
Kein N	22	0,563 <sup>a</sup>	0,2442	0,052	0,29	1,11
0,1 g N/l	22	0,572 <sup>a</sup>	0,1448	0,031	0,32	0,84
0,351 g N/I	22	0,629 <sup>a</sup>	0,2062	0,044	0,30	1,17
Gesamt	66	0,588	0,2016	0,025	0,29	1,17
		Alle	Baumarten zusammengefasst			
Kein N	57	5,928	5,916	0,784	0,29	16,84
0,1 g N/I	57	7,132	6,992	0,926	0,32	19,83
0,351 g N/I	57	10,993	9,485	1,256	0,30	27,42
Gesamt	171	8,018	7,872	0,602	0,29	27,42

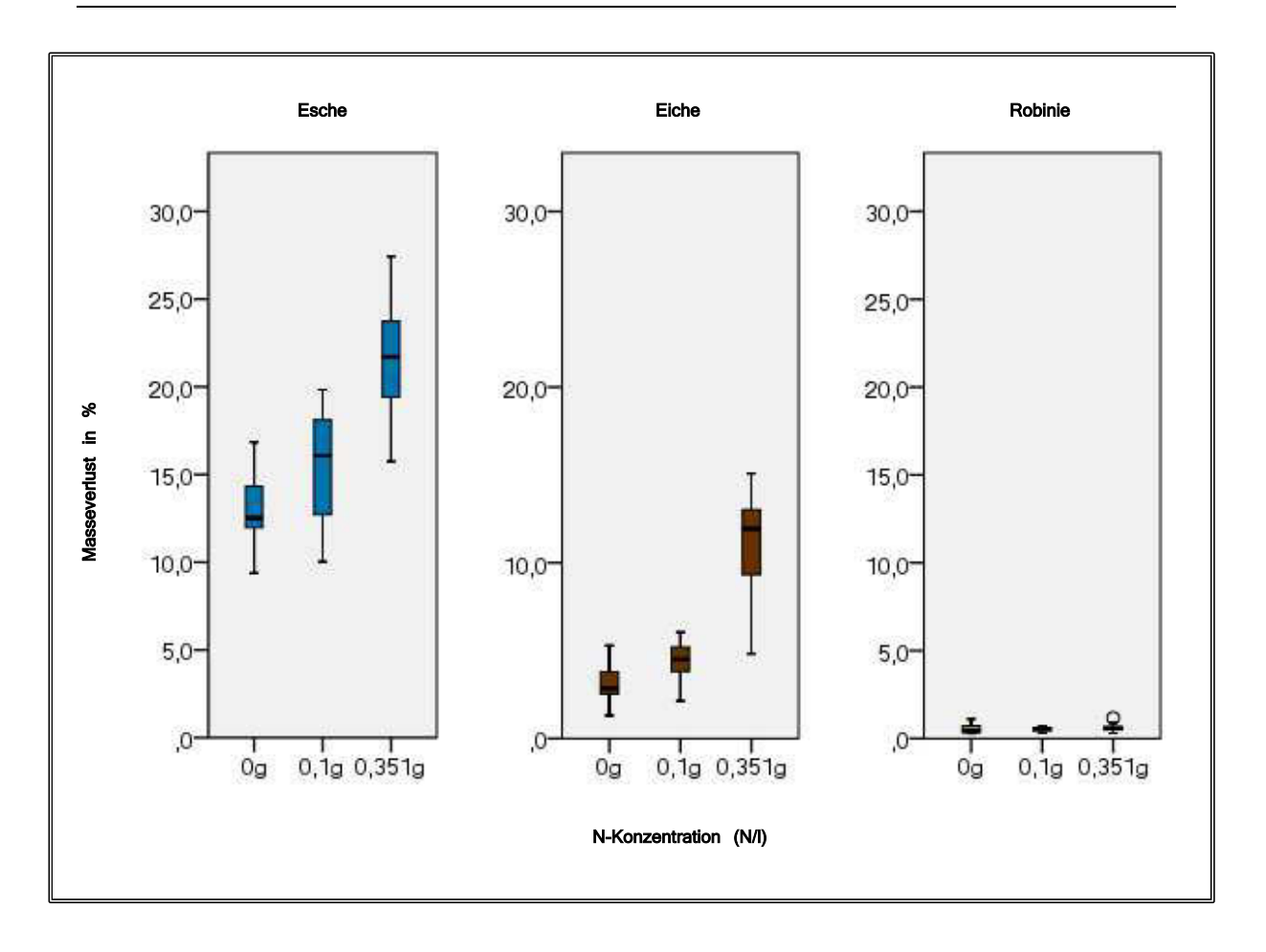


Abb. 26: Boxplot-Diagramm (Median, Bereich zwischen der 25. und 75. Perzentile sowie Ausreißer) des Masseverlusts in Prozent bei Prüfkörpern der Esche, Eiche und Robinie in Abhängigkeit von der N-Konzentration.

# 3.2.1.1 Masseverlust bei Prüfkörpern der Robinie mit variablem Splintholzanteil

Bei der Robinie gab es zehn Prüfkörper mit einem variablen Splintholzanteil. Um zu prüfen, ob sich dieser Splintholzanteil signifikant auf die Abbaurate durch *P. fraxinea* auswirkt, wurde ein T-Test durchgeführt (Tab. 14).

Tab. 14: Ergebnis des T-Tests zur Überprüfung der Unterschiede zwischen den durch *P. fraxinea* hervorgerufenen Abbauraten der Prüfkörper aus Robinie mit und ohne variablen Splintholzanteil.

Abhängige Vari	Test bei unabhängigen Stichproben Abhängige Variable: Masseverlust (in %)									
Levene-Test der T-Test für die Mittelwertgleichheit Varianzgleichheit							t			
	F	Signifikanz	Т	df	Signifikanz	Mittlere Differenz	Standardfehler der Differenz			
Varianzen sind gleich	106,299	0,000	-9,146	64	0,000	-2,585	0,283			
Varianzen sind nicht gleich			-3,816	9,027	0,004	-2,585	0,677			

Dabei zeigte sich (Tab. 14), dass sich der Masseverlust jener Prüfkörper, die nur aus Kernholz bestanden, höchst signifikant (p = 0,004) von jenen mit variablen Splintholzanteil unterschied: Prüfkörper mit variablem Splintholzanteil hatten mit 3,1 % im Durchschnitt einen signifikant höheren Masseverlust als jene die nur aus Kernholz bestanden (0,6 %) (Tab. 15).

Tab. 15: Mittelwerte des durch *P. fraxinea* hervorgerufenen prozentualen Masseverlusts an Prüfkörpern von Robinie (Kernholz) und Robinie (Prüfkörper mit Splintholzanteil) (nach 18 Wochen).

	Deskriptive Statistik									
Abh	Abhängige Variable: Holzfeuchte (in %)									
Mittelwert Minimum Maximu										
Ν	(Masseverlust in %)	Standardabweichung	g Standardfehler (in %)		(in %)					
	Robinie (Kemholz)									
66	0,588	0,2016	0,0248	0,29	1,17					
	Robinie (Prüfkörper mit Splintholzanteil)									
10	3,142	2,1404	0,6769	0,6	6,9					

Um zu prüfen, ob mehr Splintholzanteil auch zu mehr Holzabbau führt, wurde eine einfache lineare Regressionsanalyse durchgeführt. Tabelle 16 zeigt den signifikanten Einfluss des Splintholzes auf den Masseverlust und wird in Abbildung 27 in Form einer Regressionsgeraden dargestellt.

Tab. 16: Ergebnis der einfachen linearen Regressionsanalyse zur Überprüfung des Einflusses des Splintholzanteils auf den durch *P. fraxinea* hervorgerufenen Masseverlust der Prüfkörper aus Robinie.

Lineare Regression										
Abhängige Variable: Masseverlust (in %)										
Einflussvariable: Anteil	Einflussvariable: Anteil Splintholz (in %)									
	Modelizusammenfassung									
	R- Korrigiertes Standardfehler									
Modell	R	Quadrat	R-Quadrat	des Schätzers						
1	0,752	0,566	0,512	1,496						
		ANOVA								
			Mittel der							
Modell	Quadratsumme	df	Quadrate	F	Signifikanz					
Regression	23,329	1	23,329	10,424	0,012					
Nicht standardisierte	17,904	8	2,238							
Residuen	17,904		2,236							
Gesamt	41,233	9								

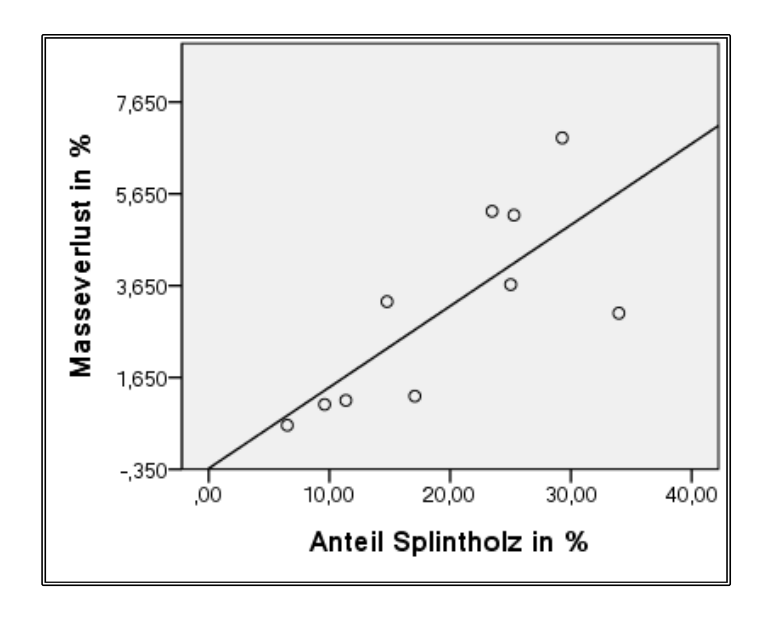


Abb. 27: Streudiagramm mit Regressionsgeraden zur Darstellung des Zusammenhangs zwischen Masseverlust und dem Splintholzanteil der Prüfkörper aus Robinie ( $R^2$  Linear = 0,566).

Um abzuschätzen, wie hoch der Masseverlust bei 100 % Splintholzanteil gewesen wäre, wurde anhand der Regressionsgeraden der Masseverlust in Prozent geschätzt. Bei einer Regressionskonstanten (Schnittpunkt mit der y-Achse) von -0,33015 und einem nicht standardisierten Regressionskoeffizienten (Steigung der Geraden) von 0,17688 ergibt sich bei 100 % Splintholzanteil rechnerisch ein Masseverlust von 17,4 % (Berechnung siehe Kap. 2.8).

## 3.2.2 Holzfeuchte

Wie bei den Analysen zum Masseverlust durch den Pilzangriff, wurden die Werte der Holzfeuchte zunächst ebenfalls auf Normalverteilung und Homogenität der Varianzen geprüft. Da die Werte bei Esche, Eiche und Robinie hinreichend normalverteilt waren und auch bei allen drei Baumarten Varianzhomogenität vorlag, konnten für die Auswertung der Holzfeuchte verschiedene Varianzanalysen herangezogen werden.

Um zu prüfen, welche Faktoren einen signifikanten Einfluss auf die Holzfeuchte der Prüfkörper haben, wurde zunächst eine Univariate Varianzanalyse über alle Baum-/Holzarten, N-Konzentrationen und Stammhöhen durchgeführt. Dabei zeigte sich ein ähnliches Bild wie beim Masseverlust: Die einzelnen Baum-/Holzarten und die N-Konzentration haben einen höchst signifikanten Einfluss auf die Holzfeuchte (Tab. 17).

Wenn man die Varianzanalysen getrennt nach den einzelnen Baumarten durchführt (Tab. 17), so zeigte sich bei Esche, Eiche und Robinie ein höchst signifikanter Einfluss der N-Konzentration auf die Holzfeuchte. Da die Stammhöhe keinen signifikanten Einflussfaktor darstellt, wurde sie bei den Post-Hoc-Tests nicht berücksichtigt.

Tab. 17: Ergebnis der Univariaten Varianzanalyse (Zwischensubjekteffekte) zur Überprüfung des Einflusses von Baum-/Holzart, N-Konzentration und Stammhöhe auf den Feuchtgehalt der Prüfkörper aus Esche, Eiche und Robinie.

	Tests der	Zwischensubjekte	effekte		
Abhängige Variable: Holz	zfeuchte (in %)				
	Quadratsumme		Mittel der		
	vom Typ III	df	Quadrate	F	Signifikanz
		Esche			
N-Konzentration	10616,868	2	5308,434	11,089	0,001
Stammhöhe	1900,047	3	633,349	1,323	0,295
Fehler	9574,408	20	478,720	-	-
	-	Eiche			
N-Konzentration	1167,477	2	583,739	20,093	0,000
Stammhöhe	59,944	3	19,981	0,688	0,567
Fehler	784,418	27	29,053	-	-
	Robin	nie (nur Kernholz	)	_	
N-Konzentration	84,317	2	42,159	11,979	0,005
Stammhöhe	35,803	3	11,934	3,391	0,083
Fehler	24,635	7	3,519	-	-
	Alle Baum	narten zusammenç	gefasst		
Baum-/Holzart	63319,707	2	31659,853	168,408	0,000
N-Konzentration	10728,723	2	5364,361	28,535	0,000
Stammhöhe	654,912	3	218,304	1,161	0,327
Fehler	25379,266	135	187,995	-	-

Im Anschluss an die Univariaten Varianzanalysen wurden wiederum Post-Hoc-Tests durchgeführt. Da in allen Fällen Varianzhomogenität vorlag, wurde bei den Mehrfachvergleichen der Test nach Tukey durchgeführt. Das Signifikanzniveau wurde wiederum mit der Bonferroni-Korrektur von p=0,05 auf p=0,0083 angepasst.

Anhand der Mehrfachvergleiche konnte gezeigt werden, dass bei Esche und Eiche die Holzfeuchten bei der Kontrolle, sowie der Variante mit 0,1 g N/l signifikant geringer waren, als die Holzfeuchten, die bei der 0,351 g N/l-Variante erzielt wurden (Tab. 18, Abb. 28). Bei der Robinie war lediglich der Unterschied zwischen der Kontrolle und der Variante mit 0,351 g N/l höchst signifikant (p = 0,001) (Tab. 18, Abb. 28).

Tab. 18: Ergebnisse der Post-Hoc Mehrfachvergleiche der Holzfeuchte (in %) der Prüfkörper aus Esche, Eiche und Robinie in Abhängigkeit von der N-Konzentration.

	Mehrfachvergleiche									
Abhängi	Abhängige Variable: Holzfeuchte (in %)									
	(I) N-	(J) N- Differen				95%-Konfidenzintervall				
Test	Konzentration	Konzentration	(I-J)	Standardfehler	Signifikanz	Untergrenze	Obergrenze			
	Esche									
	Kein N	0,1 g N/l 0,351 g N/l	-5,3850 -44,1927	6,3453 6,3453	0,674 0,000	-20,616 -59,424	9,846 -28,962			
Tukey- HSD	0,1 g N/I	Kein N 0,351 g N/I	5,3850 -38,8077	6,3453 6,3453	0,674 0,000	-9,846 -54,039	20,616 -23577			
	0,351 g N/l	Kein N 0,1 g N/I	44,1927 38,8077	6,3453 6,3453	0,000 0,000	28,962 23,577	59,424 54,039			
			Eicl	he						
	Kein N	0,1 g N/l 0,351 g N/l	-4,6008 -15,1169	2,0862 2,0862	0,084 0,000	-9,700 -20,216	0,499 -10,018			
Tukey- HSD	0,1 g N/I	Kein N 0,351 g N/I	4,6008 -10,5162	2,0862 2,0862	0,084 0,000	-0,499 -15,616	9,700 -5,417			
	0,351 g N/l	Kein N 0,1 g N/I	15,1169 10,5162	2,0862 2,0862	0,000 0,000	10,018 5,417	20,216 15,616			
			Robinie (nui	Kernholz)	•	•	•			
	Kein N	0,1 g N/I 0,351 g N/I	-2,3839 -3,0279	0,8259 0,8050	0,015 0,001	-4,375 -4,969	-0,392 -1,087			
Tukey- HSD	0,1 g N/I	Kein N 0,351 g N/I	2,3839 -0,6440	0,8259 0,8050	0,015 0,705	0,392 -2,585	4,375 1,297			
	0,351 g N/l	Kein N 0,1 g N/I	3,0279 0,6440	0,8050 0,8050	0,001 0,705	1,087 -1,297	4,969 2,585			

Fasst man die gemessenen Holzfeuchten für alle Baumarten und N-Konzentrationen zusammen, so führte der Pilzbefall durch *P. fraxinea* in den Prüfkörpern zu einer mittleren Holzfeuchte von 57,7 % (Tab. 19).

Vergleicht man die drei N-Konzentrationen separat, dann zeigt sich, dass eine höhere N-Konzentration im Nährmedium zu einer höheren Holzfeuchte der Prüfkörper führte (Abb. 28). Bei der Kontrolle betrug die Holzfeuchte im Mittel 49 %, bei einer N-Konzentration von 0,1 g N/1 53,3 % und bei einer N-Konzentration von 0,351 g N/1 bereits 70,7 % (Tab. 19).

Eine Gegenüberstellung der Holzfeuchten in Bezug auf die Baum-/Holzart zeigt, dass die Holzfeuchte bei Prüfkörpern der Esche mit 79,3 % im Mittel am höchsten war, gefolgt von der Eiche mit 61,5 % und der Robinie mit 32,9 % (Tab. 19). Bei der Robinie war zudem auffällig, dass die Holzfeuchte der Prüfkörper mit variablem Splintholzanteil um 5,6 % höher war, als

jener der Prüfkörper, die nur aus Kernholz bestehen. Dieser Unterschied zwischen den Prüfkörpern mit und ohne variablem Splintholzanteil ist mit p=0,034 signifikant (Tab. 20).

Tab. 19: Mittelwerte der prozentualen Holzfeuchte der Prüfkörper von Esche, Eiche und Robinie, bei Beendigung des Abbauversuchs nach 18 Wochen (Mittelwerte mit unterschiedlichen Kennbuchstaben unterscheiden sich signifikant auf dem 5%-Niveau).

			Deskriptive Statistik			
Abhängige Variab	le: Ho	Izfeuchte (in %)				
		Mittelwert			Minimum	Maximum
N-Konzentration	N	(Holzfeuchte in %)	Standardabweichung	Standardfehler	(in %)	(in %)
			Esche			
Kein N	22	62,823 <sup>a</sup>	17,1067	3,6472	43,23	104,90
0,1 g N/I	22	68,208 <sup>a</sup>	20,2679	4,3211	47,37	115,99
0,351 g N/I	22	107,015 <sup>b</sup>	25,0050	5,3311	57,89	135,67
Gesamt	66	79,349	28,6843	3,5308	43,23	135,67
	_		Eiche		-	-
Kein N	13	54,909 <sup>a</sup>	4,5822	1,2709	49,13	61,21
0,1 g N/l	13	59,510 <sup>a</sup>	5,7718	1,6008	49,42	73,87
0,351 g N/I	13	70,026 <sup>b</sup>	5,5281	1,5332	57,75	80,79
Gesamt	39	61,482	8,2393	1,3193	49,13	80,79
			Robinie (nur Kernholz)			
Kein N	22	31,011 <sup>a</sup>	2,5453	0,5999	27,64	37,17
0,1 g N/l	22	33,395 <sup>ab</sup>	2,0299	0,4758	30,34	37,18
0,351 g N/I	22	34,039 <sup>b</sup>	2,7644	0,6181	29,73	39,92
Gesamt	66	32,859	2,7630	0,3692	27,64	39,92
		Alle	Baumarten zusammengefasst		=	Ë
Kein N	57	48,978	17,8513	2,3645	27,64	104,90
0,1 g N/I	57	53,332	20,0565	2,6566	30,34	115,99
0,351 g N/I	57	70,664	35,6818	4,7262	29,73	135,67
Gesamt	171	57,658	27,2974	2,0875	27,64	135,67

Tab. 20: Ergebnis des T-Tests zur Überprüfung der Unterschiede zwischen den Holzfeuchten der Prüfkörper aus Robinie mit und ohne variablen Splintholzanteil.

Test bei unabhängigen Stichproben

Abhängige Variable: Holzfeuchte bei Versuchsende (in %)								
		-Test der gleichheit	T-Test für die Mittelwertgleichheit					
	F	Signifikanz	Т	df	Signifikanz	Mittlere Differenz	Standardfehler der Differenz	
Varianzen sind gleich	11,451	0,001	-4,434	64	0,000	-5,6053	1,2641	
Varianzen sind nicht gleich			-2,479	9,499	0,034	-5,6053	2,2611	

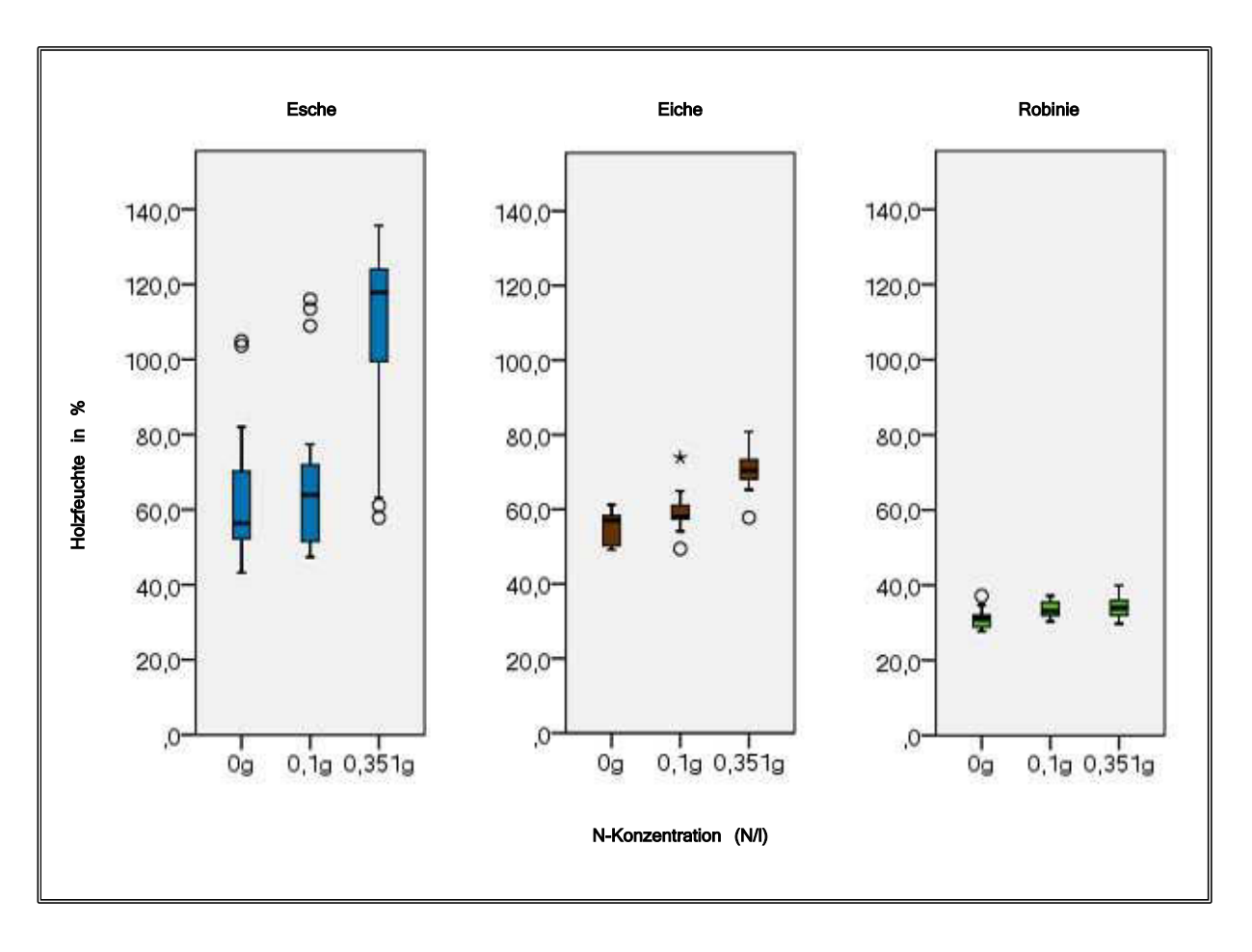


Abb. 28: Boxplot-Diagramm (Median, Bereich zwischen der 25. und 75. Perzentile sowie Ausreißer) des Feuchtegehalts der Prüfkörper (Holzfeuchte) von Esche, Eiche und Robinie bei Beendigung des Abbauversuchs nach 18 Wochen in Abhängigkeit von der N-Konzentration.

## 3.2.2.1 Zusammenhang zwischen Masseverlust und Holzfeuchte

Um zu prüfen, ob bei einer höheren Holzfeuchte auch mehr Holz durch *P. fraxinea* abgebaut wurde bzw. der Holzabbau zu einer höheren Holzfeuchte führte, wurde in Abbildung 29 der

Holzfeuchte der Prüfkörper bei Versuchsende nach 18 Wochen der ermittelte Masseverlust (beides in Prozent) gegenübergestellt. Dabei zeigt sich zwar kein eindeutiges Bild, bei allen drei Baumarten wurden aber tendenziell höhere Masseverluste bei einer höheren Holzfeuchte erreicht. Im Detail betrachtet streuten die Werte bei der Esche am stärksten: Auch bei Holzfeuchten um die 50 % gab es Masseverluste über 20 %. Sowohl bei Esche, als auch bei Eiche gleichen sich die Werte bei höheren Holzfeuchten der Regressionsgeraden an.

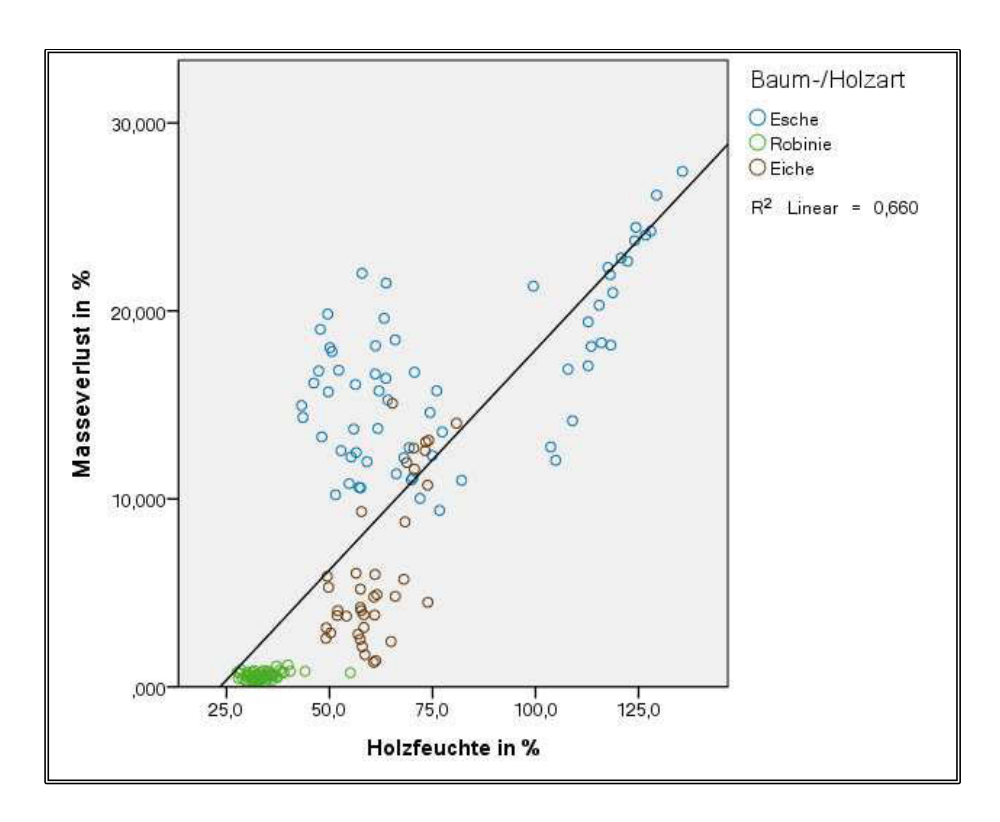


Abb. 29: Streudiagramm mit Regressionsgeraden zur Darstellung des Zusammenhangs zwischen Holzfeuchte und Masseverlust der Prüfkörper aus Esche, Eiche und Robinie (nur Kernholz) nach Holzabbau durch P. fraxinea. ( $R^2$  Linear = 0,660).

## 3.2.3 Myzelbewuchs der Prüfkörper

Nach Abschluss des Abbauversuches wurde auch der Myzelbewuchs der Prüfkörper untersucht und in Prozent der Prüfkörperoberfläche (siehe Kap. 2.6) abgeschätzt. Die Prüfung, welchen Einfluss die N-Konzentration im Nährmedium auf den Myzelbewuchs der Prüfkörper hatte, erfolgte mit einer einfaktoriellen ANOVA.

Tabelle 21 zeigt, dass es bei der Eiche mit p = 0,020 einen signifikanten Einfluss der N-Konzentration auf das Ausmaß des Myzel-Bewuchses an der Prüfkörper-Oberfläche gab, wogegen bei der Robinie (nur Kernholz) knapp (p = 0,057) und bei der Esche eindeutig (p = 0,374) kein signifikanter Einfluss der N-Konzentration auf die Ausprägung des Myzelbewuchses auf der Prüfkörper-Oberfläche gegeben war (Tab. 21).

Tab. 21: Ergebnis der Einfaktoriellen ANOVA zur Überprüfung des Einflusses der N-Konzentration im Nährmedium auf den durch *P. fraxinea* hervorgerufenen Myzelbewuchs auf den der Prüfkörpern aus Esche, Eiche und Robinie.

		Einfaktorielle AN	OVA			
Abhängige Variable: Myzelfläche am Holz (in %)						
			Mittel der			
	Quadratsumme	df	Quadrate	F	Signifikanz	
		Esche	-	-		
Zwischen den Gruppen	3,030	2	1,515	1,000	0,374	
Innerhalb der Gruppen	95,455	63	1,515			
Gesamt	98,485	65				
	-	Eiche	-			
Zwischen den Gruppen	2096,212	2	1048,106	4,162	0,020	
Innerhalb der Gruppen	15865,909	63	251,840			
Gesamt	17962,121	65				
Robinie (nur Kernholz)						
Zwischen den Gruppen	5477,371	2	2738,686	3,020	0,057	
Innerhalb der Gruppen	48068,611	53	906,955			
Gesamt	53545,982	55				

Abbildung 30 zeigt, dass der Myzelbewuchs der Prüfkörper in Abhängigkeit von der Holzart sehr unterschiedlich war: Bei der Esche waren bis auf einen Prüfkörper alle zu 100 % mit Myzel bewachsen. Bei der Eiche zeigten 90,9 % der Prüfkörper zwischen 80 % und 100 % Myzelbewuchs, 6,1 % der Prüfkörper zwischen 50 % und 65 % Myzelbewuchs und nur 3 % der Prüfkörper zwischen 20 % und 30 % Myzelbewuchs. Im Gegensatz dazu lagen bei der Robinie

71,4 % der Prüfkörper zwischen 0 % und 20 % Myzelbewuchs und nur 8,9 % der Prüfkörper bei 100 % Myzelbewuchs (Abb. 30).

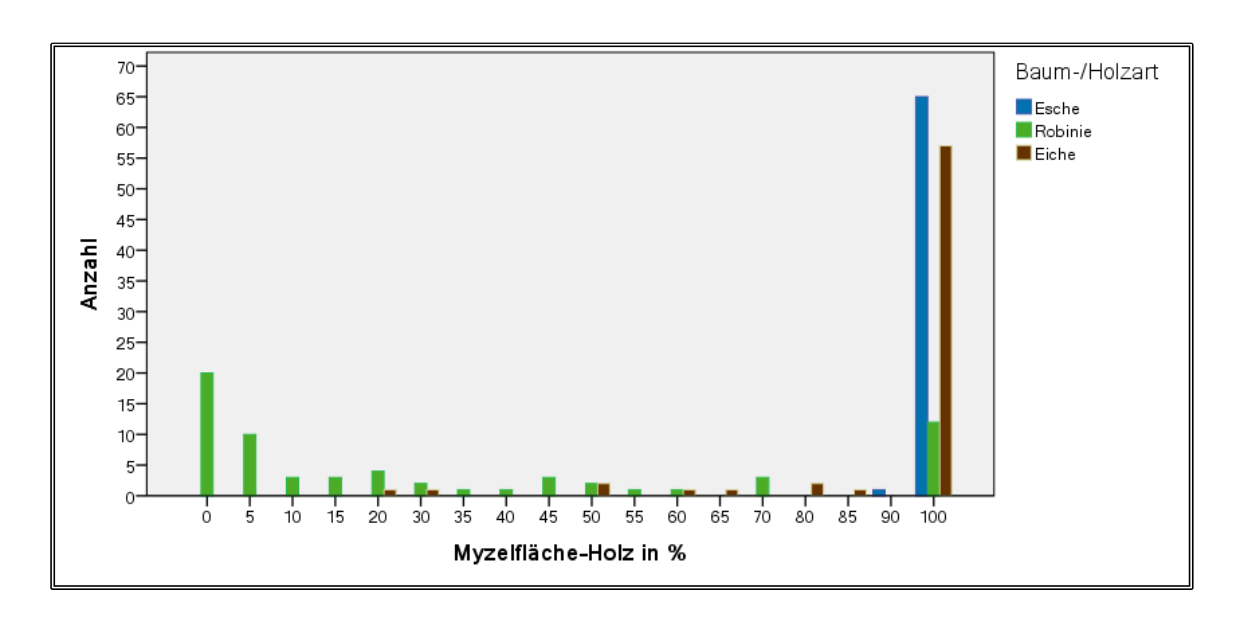


Abb. 30: Myzelbewuchs der Prüfkörper (in %), getrennt nach Esche, Eiche und Robinie (nur Kernholz).

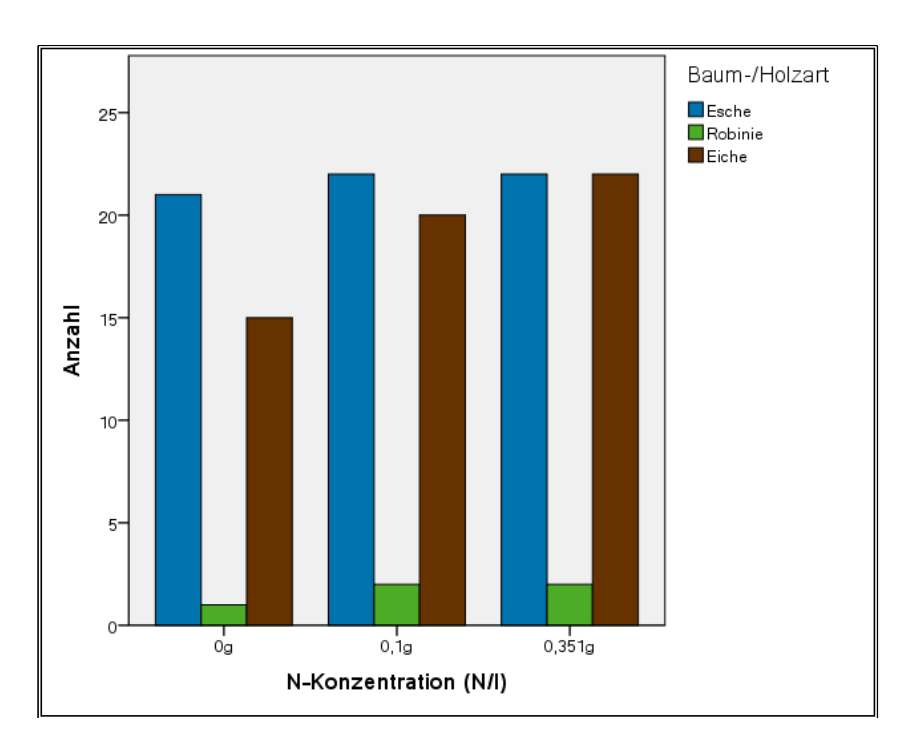


Abb. 31: Anzahl der Prüfkörper aus Esche Eiche und Robinie (nur Kernholz), die zu 100 % mit Myzel überwachsen waren, in Abhängigkeit von der jeweiligen N-Konzentration im Nährmedium.

Abbildung 31 zeigt, dass bei einer höheren N-Konzentration tendenziell eine größere Anzahl an Prüfkörpern zu 100 % mit Myzel bewachsen war. Am besten ist dies bei der Eiche zu sehen.

Betrachtet man die Ergebnisse für Esche und Eiche gemeinsam, so waren bei der Kontrolle 36 Prüfkörper (81,8 %) vollständig mit Myzel überwachsen, bei einer N-Konzentration von 0,1 g N/l waren es bereits 42 Prüfkörper (95,5 %) und bei einer N-Konzentration von 0,351 g N/l waren sogar alle Prüfkörper (44 Stück) vollständig mit Myzel überwachsen (Abb. 31). Bei der Robinie waren hingegen insgesamt nur 5 Prüfkörper vollständig mit Myzel überwachsen.

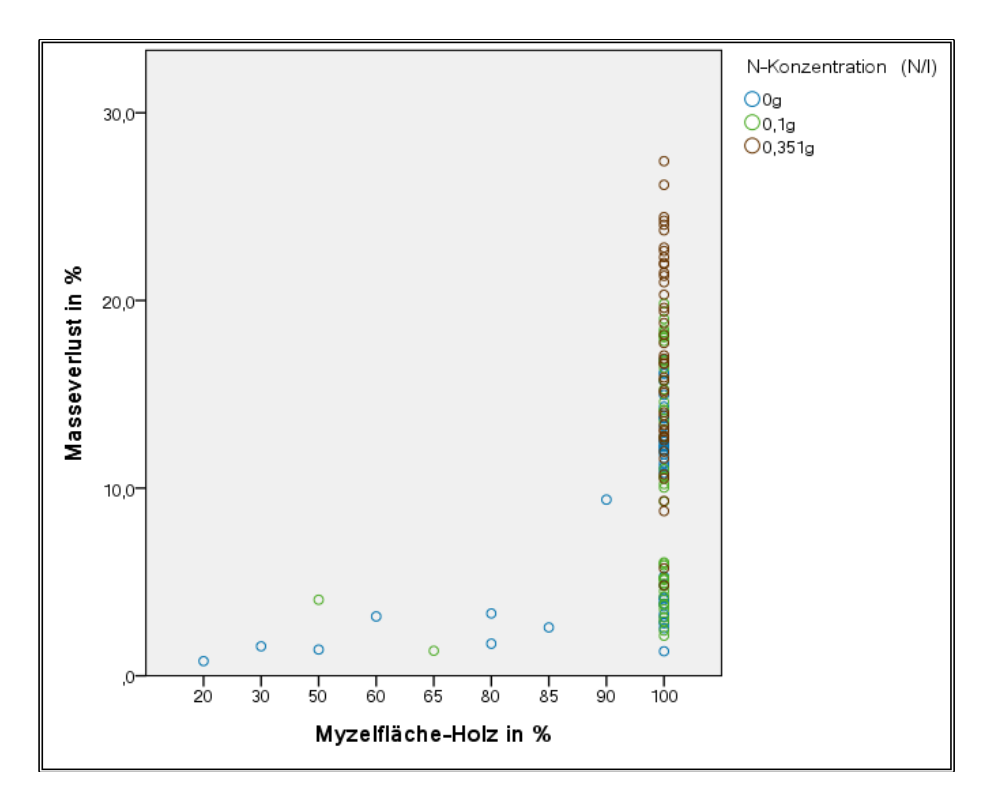


Abb. 32: Zusammenhang zwischen der Myzelfläche am Holz und dem Masseverlust bei Prüfkörpern aus Esche und Eiche nach erfolgtem Holzabbau durch *P. fraxinea* in Abhängigkeit von der Stickstoffkonzentration im Nährboden.

In Abbildung 32 wurde bei Esche und Eiche dem prozentualen Myzelbewuchs der Prüfkörper der Masseverlust (Holzabbau) gegenübergestellt. Dabei zeigt sich, dass bei zunehmendem Myzelbewuchs der Prüfkörper, tendenziell auch mehr Holz durch *P. fraxinea* abgebaut wurde. Holzabbauraten zwischen 10 % und 27,4 % gab es nur bei 100 % Myzelbewuchs. Allerdings wiesen etwas weniger als ein Drittel (genau 30,9 %) aller vollständig mit Myzel bewachsenen Prüfkörper der Esche und Eiche vergleichsweise niedrige Holzabbauraten zwischen 0,8 % und 10 % auf.

## 3.2.4 Myzelbewuchs der Duranflaschen

Nach Abschluss des Abbauversuches wurde auch der Myzelbewuchs an den Innenseiten der Duranflaschen optisch quantifiziert (siehe Kap. 2.6). Die Prüfung, welchen Einfluss die N-Konzentration im Nährmedium auf den Myzelbewuchs der Duranflaschen hatte, erfolgte mit einer einfaktoriellen ANOVA. Sowohl bei der Esche als auch bei der Eiche war ein höchst signifikanter Einfluss der N-Konzentration auf das Ausmaß des Myzelbewuchses der Duranflaschen gegeben. Bei der Robinie gab es mit p = 0,930 keinen signifikanten Einfluss der N-Konzentration auf den Myzelbewuchs (Tab. 22).

Anhand der Mehrfachvergleiche (Tab. 23) konnte gezeigt werden, dass bei Esche und Eiche der Myzelbewuchs in den Duranflaschen bei der Kontrolle signifikant geringer war als der Myzelbewuchs, der bei der 0,351 g N/l-Variante erzielt wurde. Bei der Robinie gab es hingegen keine signifikanten Unterschiede beim Myzelbewuchs bezogen auf die verschiedenen N-Konzentrationen (Tab. 23).

Tab. 22: Ergebnis der Einfaktoriellen ANOVA zur Überprüfung des Einflusses von N-Konzentration auf den durch *P. fraxinea* hervorgerufenen Myzelbewuchs der Duranflaschen. Die Auswertung der Duranflaschen erfolgte getrennt nach den in den Duranflaschen vorhandenen Prüfkörpern aus Esche, Eiche und Robinie.

	Einfaktorielle ANOVA						
Abhängige Variable: Myzelb	Abhängige Variable: Myzelbewuchs der Duranflasche (in %)						
			Mittel der				
	Quadratsumme	df	Quadrate	F	Signifikanz		
		Esche					
Zwischen den Gruppen	1370,455	2	685,227	6,338	0,003		
Innerhalb der Gruppen	6811,364	63	108,117				
Gesamt	8181,818	65					
		Eiche					
Zwischen den Gruppen	12811,364	2	6405,682	13,705	0,000		
Innerhalb der Gruppen	29446,591	63	467,406				
Gesamt	42257,955	65					
	-	Robinie (nur Ken	nholz)	-			
Zwischen den Gruppen	25,486	2	12,743	0,079	0,930		
Innerhalb der Gruppen	9252,693	53	174,578				
Gesamt	9278,125	55					

Tab. 23: Ergebnisse der Post-Hoc Mehrfachvergleiche des Myzelbewuchses (durch *P. fraxinea*) der Duranflaschen in Abhängigkeit von der N-Konzentration im Nährmedium getrennt nach den getesteten Baum-/Holzarten.

	Mehrfachvergleiche								
Abhängig	Abhängige Variable: Myzelbewuchs der Duranflaschen (in %)								
	(I) N-	(J) N-	Mittlere Differenz			95%-Konfid			
Test	Konzentration	Konzentration	(I_I)	Standardfehler	Signifikanz	Untergrenze	Obergrenze		
			Esch	пе					
	Kein N	0,1 g N/I	-3,409	3,067	0,513	-10,91	4,09		
	Item IV	0,351 g N/I	-10,909	2,843	0,001	-17,84	-3,98		
Games-	0,1 g N/I	Kein N	3,409	3,067	0,513	-4,09	10,91		
Howell	0,1 g 14/1	0,351 g N/I	-7,500	3,463	0,089	-15,92	0,92		
	0.251 - N/I	Kein N	10,909	2,843	0,001	3,98	17,84		
	0,351 g N/l	0,1 g N/I	7,500	3,463	0,089	-0,92	15,92		
			Eich	ne					
	Kein N	0,1 g N/I	-18,409	7,644	0,053	-37,00	0,18		
	Kelli N	0,351 g N/l	-34,091	6,239	0,000	-49,54	-18,64		
Games-	0,1 g N/I	Kein N	18,409	7,644	0,053	-0,18	37,00		
Howell	0,1 g 14/1	0,351 g N/l	-15,682	5,488	0,021	-29,22	-2,14		
	0.051 - 1//	Kein N	34,091	6,239	0,000	18,64	49,54		
	0,351 g N/l	0,1 g N/I	15,682	5,488	0,021	2,14	29,22		
			Robinie (nur	Kernholz)					
	Kein N	0,1 g N/I	1,667	4,404	0,924	-8,95	12,29		
	Kein iv	0,351 g N/I	0,639	4,293	0,988	-9,71	10,99		
Tukey-	0.1 ~ N/I	Kein N	-1,667	4,404	0,924	-12,29	8,95		
HSD	0,1 g N/I	0,351 g N/I	-1,028	4,293	0,969	-11,38	9,32		
	0.251 a N/I	Kein N	-0,639	4,293	0,988	-10,99	9,71		
	0,351 g N/I	0,1 g N/I	1,028	4,293	0,969	-9,32	11,38		

Abbildung 33 zeigt, dass der Myzelbewuchs der Duranflaschen in Abhängigkeit von der getesteten Baum-/Holzart sehr unterschiedlich war. Bei der Esche waren 24 Duranflaschen (= 36,4 %) zu 90-100 % mit Myzel bewachsen. Der geringste Myzelbewuchs (60 % der Flasche mit Pilzmyzel bewachsen) kam bei nur 2 von 66 Flaschen vor (Abb. 33). Bei der Eiche waren 11 Duranflaschen (= 16,7 %) zu 90-100 % mit Myzel bewachsen. Die meisten Duranflaschen (32 Stück = 48,5 %) wiesen bei dieser Holzart einen Myzelbewuchs zwischen 60-80 % auf. Eine Duranflasche war nicht von Myzel bewachsen (Abb. 33). Im Gegensatz dazu waren bei der Robinie die meisten Duranflaschen (47 Stück = 83,9 %) nur zu 0-20 % mit Myzel bewachsen. Das Maximum war bei Robinie bei 90 % Myzelbewuchs erreicht (Abb. 33).

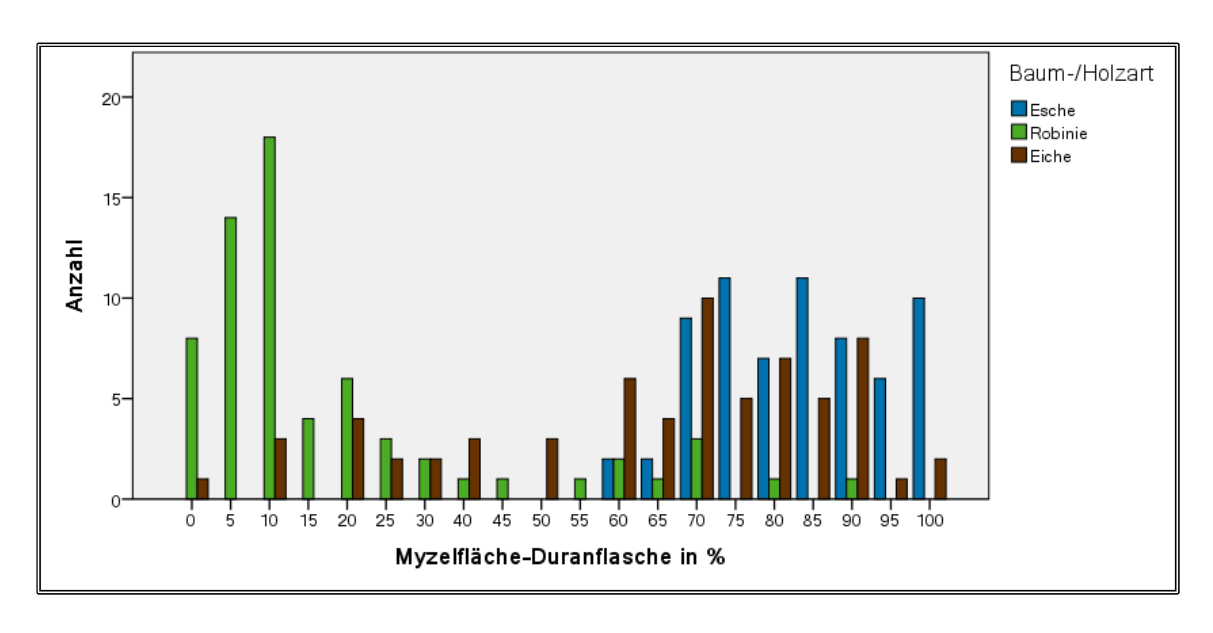


Abb. 33: Myzelbewuchs an den Innenseiten der Duranflaschen (in %) getrennt nach Esche, Eiche und Robinie (nur Kernholz).

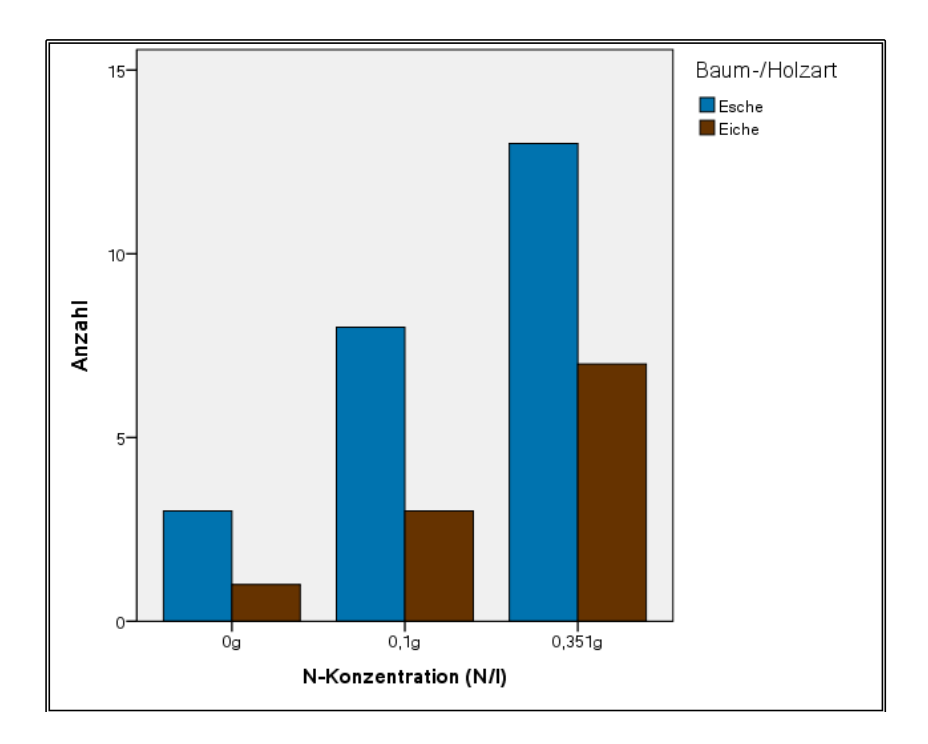


Abb. 34: Anzahl der Duranflaschen, deren Innenseiten zu 90-100 % mit Myzel bewachsen waren, in Abhängigkeit von der jeweiligen N-Konzentration im Nährmedium (die Ergebnisse beziehen sich auf Duranflaschen mit Prüfkörpern aus Esche und Eiche).

Wie bereits beim Myzelbewuchs der Prüfkörper, führte eine höhere N-Konzentration auch zu mehr Myzelbewuchs an den Duran-Flaschen (Abb. 34). Betrachtet man die Ergebnisse für Esche und Eiche wiederum gemeinsam, so zeigten bei der Kontrolle nur 4 Duranflaschen (9,1 %) einen Myzelbewuchs von 90-100 %, bei einer N-Konzentration von 0,1 g N/l waren es bereits 11 Duranflaschen (25 %) und bei einer N-Konzentration von 0,351 g N/l waren es bereits 20 Duranflaschen (45,5 %) (Abb. 34). Auffällig ist, dass es sowohl bei der Kontrolle, als auch bei der 0,1 g N/l-Variante jeweils nur eine Duranflasche gab, die zu 100 % mit Myzel bewachsen war, während es bei der 0,351 g N/l-Variante 10 Duranflaschen waren.

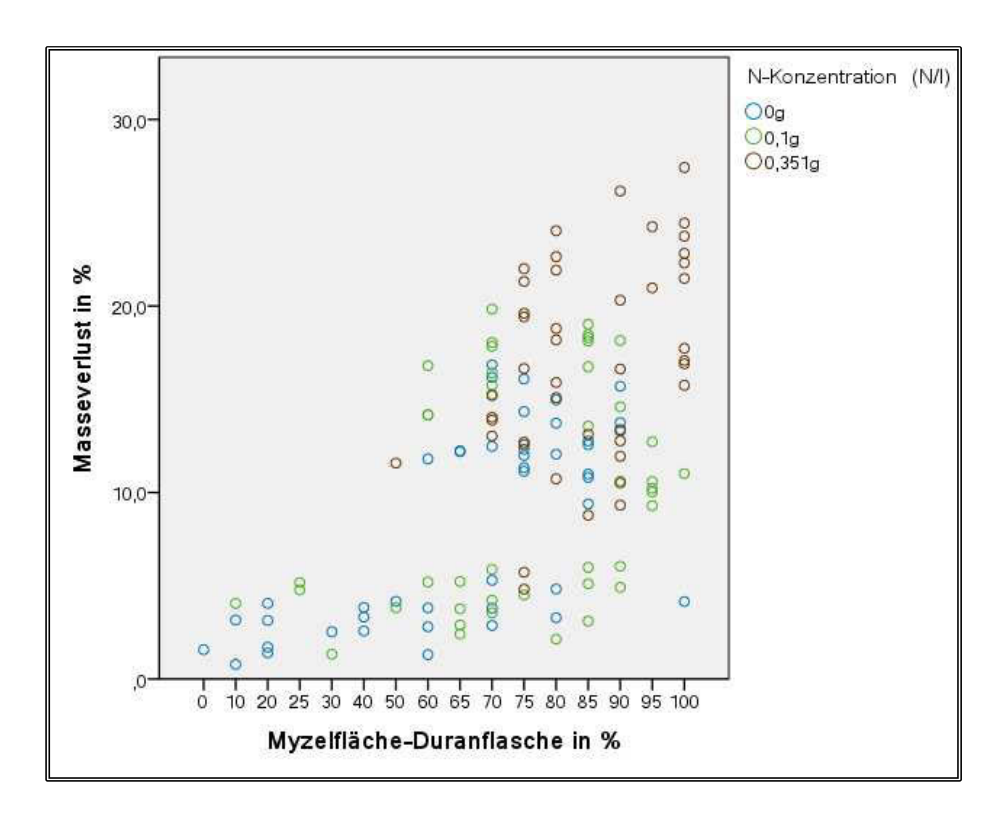


Abb. 35: Zusammenhang zwischen der Myzelfläche an den Innenseiten einer Duranflasche und dem Masseverlust bei Prüf-körpern aus Esche und Eiche nach dem Holzabbau durch *P. fraxinea*.

In Abbildung 35 wurde bei Esche und Eiche dem prozentualen Myzelbewuchs der Duranflaschen der im Abbauversuch erzielte Masseverlust gegenübergestellt. Dabei zeigt sich ein ähnliches Bild wie beim Myzelbewuchs der Prüfkörper: Je mehr eine Duranflasche mit Myzel bewachsen war, desto mehr Holz wurde tendenziell abgebaut (Abb. 35). Holzabbauraten zwischen 20 % und 27,4 % gab es nur bei einem Myzelbewuchs der Duranflaschen zwischen 75 % und 100 % und einer N-Konzentration von 0,351 g N/l. Bei einem Myzelbewuchs der

Duranflaschen zwischen 0 % und 40 % lagen hingegen die Holzabbauraten unter 10 % (Abb. 35).

#### 3.2.5 Initiale Fruchtkörperstadien

In einigen Duranflaschen hatten sich während des über 18 Wochen laufenden Abbauversuchs bereits initiale Fruchtkörperstadien (Abb. 40 links) von *P. fraxinea* gebildet (siehe Kap. 2.1.1.3). Um zu prüfen, ob es einen Zusammenhang zwischen verschiedenen Faktoren (Baum-/Holzart, N-Konzentration und Masseverlust) und den gebildeten initialen Fruchtkörperstadien gibt, wurden Chi-Quadrat-Tests und der U-Test nach Mann und Whitney durchgeführt.

Dabei zeigte sich, dass es sowohl zwischen den einzelnen Baum-/Holzarten und den als auch zwischen den Holzabbauraten und Fruchtkörperstadien (Tab. 24), Fruchtkörperstadien (Tab. 25) einen höchst signifikanten Zusammenhang gab. Die N-Konzentration hatte hingegen keinen signifikanten Einfluss auf die Bildung von initialen (Tab. 24). mittleren 71,9 bei Fruchtkörperstadien Die Ränge von Fruchtkörperstadien und 107,0 bei nicht gebildeten Fruchtkörperstadien bedeuten, dass initiale Fruchtkörperstadien im Schnitt bei niedrigeren Abbauraten gebildet wurden (Tab. 25). Dieser Umstand bestätigt sich auch bei der Betrachtung der gebildeten Mediane der Abbauraten für die Gruppe der ausgebildeten und nicht gebildeten initialen Fruchtkörperstadien, die zeigt, dass der Median bei der Gruppe mit den nicht ausgebildeten Fruchtkörperstadien mit 10,6 um ein Vielfaches höher ist als in jener, in der initiale Fruchtkörperstadien gebildet wurden (Tab. 26).

Tab. 24: Ergebnisse der Chi-Quadrat-Tests zur Prüfung des Einflusses von Baum-/Holzart und N-Konzentration auf die Bildung von initialen Fruchtkörperstadien durch *P. fraxinea*.

Chi-Quadrat-Tests							
	Wert	df	Asymptotische Signifikanz (2-seitig)				
	Baum-/ Holzart						
Chi-Quadrat nach Pearson	38,770	2	0,000				
Likelihood-Quotient	39,187	2	0,000				
Anzahl der gültigen Fälle	188						
		N-	Konzentration				
Chi-Quadrat nach Pearson	1,498	2	0,473				
Likelihood-Quotient	1,520	2	0,468				
Anzahl der gültigen Fälle	188						

Tab. 25: Ergebnisse des U-Tests nach Mann-Whitney zur Prüfung von Zusammenhängen zwischen dem durch *P. fraxinea* hervorgerufenen Masseverlust an Prüfkörpern aus Esche, Eiche und Robinie und der Bildung von initialen Fruchtkörperstadien.

Mann-Whitney-Test									
	Ränge								
	Initiale Fruchtkörperstadien	N	Mittlerer Rang	Rangsumme					
Masseverlust in %	Nein	121	107,00	12947,50					
	Ja	67	71,92	4818,50					
	Gesamt	188							
	Statistik für Test								
	Masseverlust in %								
Mann-Whitney-U	2540,500								
Wilcoxon-W	4818,500								
Z	-4,234								
Asymptotische Signifikanz (2-seitig)	0,000								

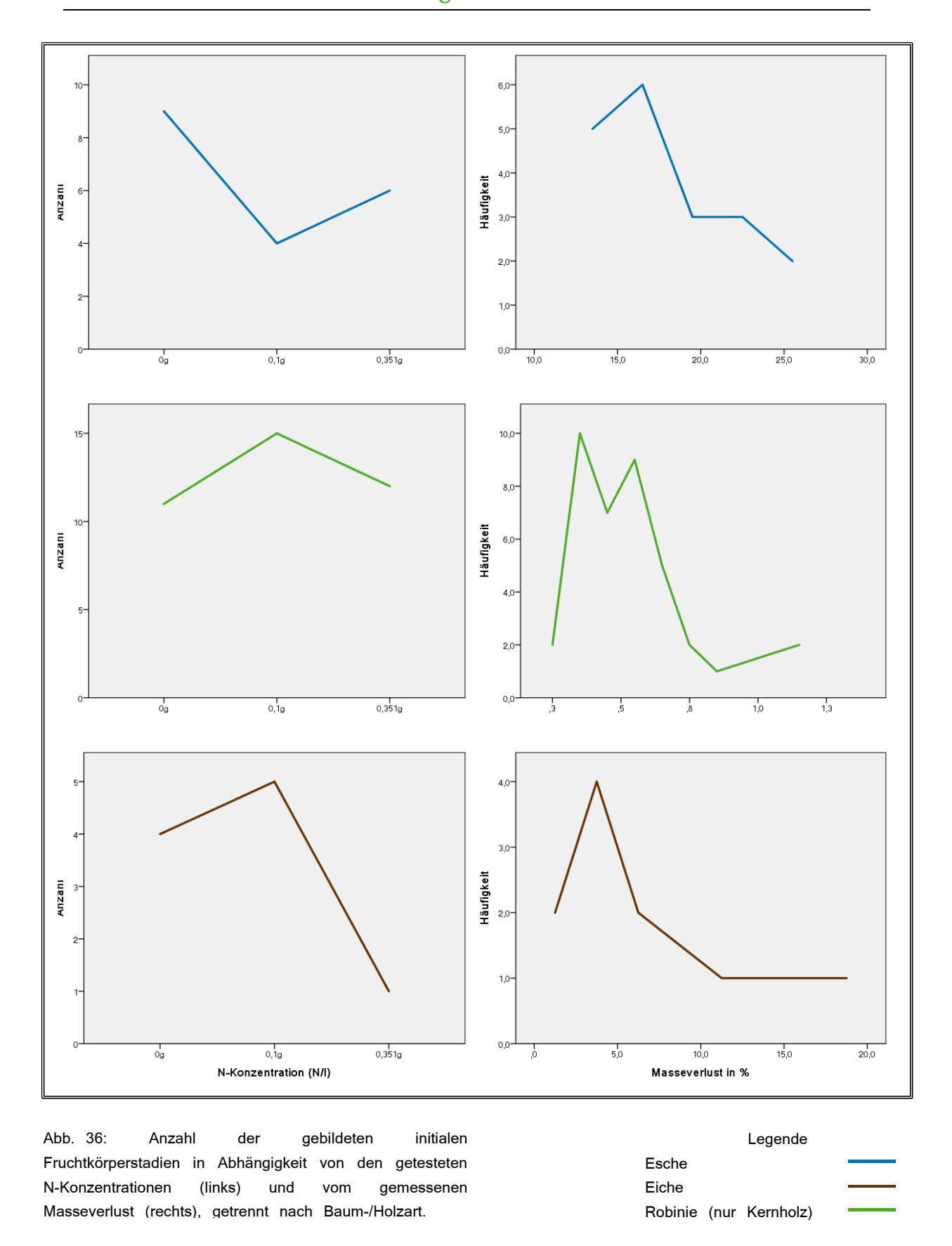
Tab. 26: Gebildete Mediane für die Abbauraten durch *P. fraxinea* bei gebildeten und nicht gebildeten initialen Fruchtkörperstadien.

Zusammenfassung von Fällen							
Abhängige Variable: Masseverlust (in %)t							
Initiale Fruchtkörperbildung	N	Median					
Nein	121	10,586					
Ja	67	0,705					
Gesamt	188	5,260					

Wertet man die Zusammenhänge zwischen der Bildung initialer Fruchtkörperstadien und der N-Konzentration beziehungsweise dem erzielten Masseverlust getrennt nach den Baum-/Holzarten aus, ist zu erkennen, dass – außer bei der Esche – bei einer N-Konzentration von 0,351 g N/l generell weniger initiale Fruchtkörper gebildet wurden.

Betrachtet man den Zusammenhang zwischen Masseverlust und den gebildeten initialen Fruchtkörperstadien, so zeigt sich, dass mit steigender Abbaurate tendenziell weniger initiale Fruchtkörper gebildet wurden. Dennoch wurden auch bei hohen Abbauraten (z. B. 26,2 % bei Esche) noch initiale Fruchtkörperstadien gebildet (Abb. 36).

Die meisten initialen Fruchtkörper (38) wurden bei der Robinie gebildet, gefolgt von der Esche mit 19 und der Eiche mit 10 initialen Fruchtkörpern.



## 3.2.6 Kontamination durch Fremdpilze

Kontaminationen durch Fremdpilze am Prüfkörper traten nur selten auf: bei der Esche lagen aufgrund des durchgehend starken Myzelbewuchs an der Prüfkörperoberfläche überhaupt keine Kontaminationen durch Fremdpilze vor, bei der Eiche trat in 4,5 % der Fälle zusätzlich zu *P. fraxinea* am Prüfkörper ein Fremdpilz auf, bei der Robinie in 25 % der Fälle.

Generell zeigte sich, dass eine zusätzliche Kontamination am Prüfkörper eher bei geringerem Myzelbewuchs der Prüfkörper auftrat (U-Test nach Mann & Whitney – siehe Anhang Teil D und Abb. 37).

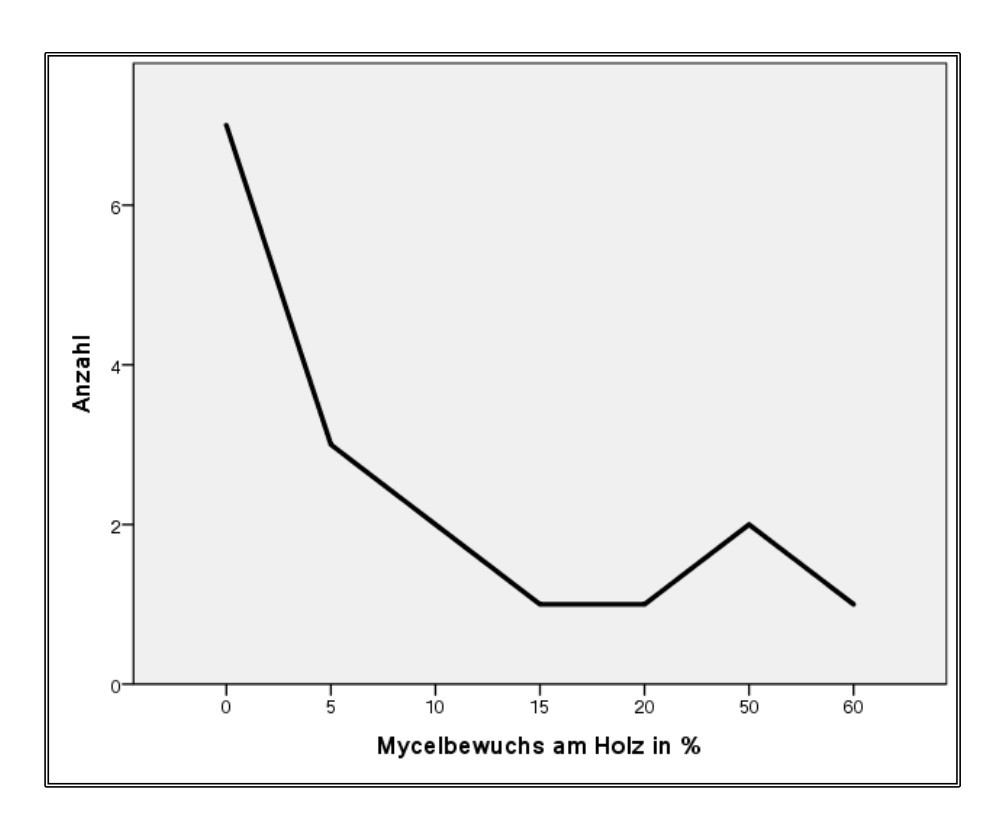


Abb. 37: Zusammenhang zwischen Myzelbewuchs am Prüfkörper und der Kontamination durch Fremdpilze an der Prüfkörperoberfläche für die Prüfkörper aus Eiche und Robinie.

# 3.3 Stickstoffgehalte der Prüfkörper und des Nährbodens

# 3.3.1 Prüfkörper

Wie bei den Analysen zum Masseverlust durch den Pilzangriff, wurden die N<sub>t</sub>-Gehalte zunächst ebenfalls auf Normalverteilung und Homogenität der Varianzen geprüft. Da die Stichprobenanzahl pro Baumart bei den Prüfkörpern vor dem Abbauversuch zu gering war, wurde die Varianzhomogenität nur bei den Prüfkörpern nach dem Abbauversuch geprüft.

Da die Werte hinreichend normalverteilt waren und bei allen drei Baum-/Holzarten Varianzhomogenität vorlag, konnten für die Auswertung der N<sub>t</sub>-Gehalte verschiedene Varianzanalysen herangezogen werden.

Die durchgeführten einfaktoriellen Varianzanalysen zeigten, dass die jeweilige Baum-/Holzart einen höchst signifikanten Einfluss auf den N<sub>t</sub>-Gehalt<sup>12</sup> der Prüfkörper hatte (Tab. 27), wogegen die N-Konzentration des Nährbodens und die Stammhöhe keinen signifikanten Einfluss auf die N<sub>t</sub>-Gehalte der Prüfkörper hatte.

Anhand der Mehrfachvergleiche konnte zudem gezeigt werden, dass sich der N<sub>t</sub>-Gehalt der Prüfkörper der Robinie signifikant vom N<sub>t</sub>-Gehalt der Esche und Eiche unterschied. Zwischen den N<sub>t</sub>-Gehalten bei Esche und Eiche gab es hingegen keinen signifikanten Unterschied (Tab. 28, Abb. 38).

<sup>&</sup>lt;sup>12</sup> Bei den Varianzanalysen wurden sowohl die N<sub>t</sub>-Gehalte vor, als auch nach dem Abbauversuch berücksichtigt.

Tab. 27: Ergebnis der Einfaktoriellen ANOVA zur Überprüfung des Einflusses von Baum-/Holzart, N-Konzentration und Stammhöhe auf den N<sub>t</sub>-Gehalt der Prüfkörper aus Esche, Eiche und Robinie vor und nach dem Abbauversuch.

	Einfaktorielle ANOVA							
Abhängige Variable: N <sub>t</sub> -Gehal	t der Prüfkörper a	aus Esche, l	Eiche und Robinie					
			Mittel der					
	Quadratsumme	df	Quadrate	F	Signifikanz			
		Baum-/Holza	rt					
Zwischen den Gruppen	0,106	2	0,053	42,076	0,000			
Innerhalb der Gruppen	0,103	82	0,001					
Gesamt	0,209	84						
	N-Ko	nzentration im N	ährmedium					
Zwischen den Gruppen	0,009	2	0,005	2,059	0,137			
Innerhalb der Gruppen	0,129	58	0,002					
Gesamt	0,139	60						
	Stammhöhe							
Zwischen den Gruppen	0,005	2	0,003	1,048	0,355			
Innerhalb der Gruppen	0,204	82	0,002					
Gesamt	0,209	84						

Tab. 28: Ergebnisse der Post-Hoc Mehrfachvergleiche der  $N_t$ -Gehalt der Prüfkörper aus Esche, Eiche und Robinie vor und nach dem Abbauversuch, in Abhängigkeit von der Baum-/Holzart.

	Mehrfachvergleiche									
Abhängig	Abhängige Variable: N <sub>t</sub> -Gehalt der Prüfkörper aus Esche, Eiche und Robinie									
			Mittlere			95%-Konfid	enzintervall			
	(I) Baum-	(J) Baum-	Differenz							
Test	/Holzart	/Holzart	(I-J)	Standardfehler	Signifikanz	Untergrenze	Obergrenze			
	Esche	Robinie	-0,06380	0,00930	0,000	-0,0860	-0,0416			
	LSCITE	Eiche	0,01333	0,01024	0,398	-0,0111	0,0378			
Tukey-	Robinie	Esche	0,06380	0,00930	0,000	0,0416	0,0860			
HSD	Robinie	Eiche	0,07713	0,00930	0,000	0,0549	0,0993			
	Eiche	Esche	-0,01333	0,01024	0,398	-0,0378	0,0111			
	EICHE	Robinie	-0,07713	0,00930	0,000	-0,0993	-0,0549			

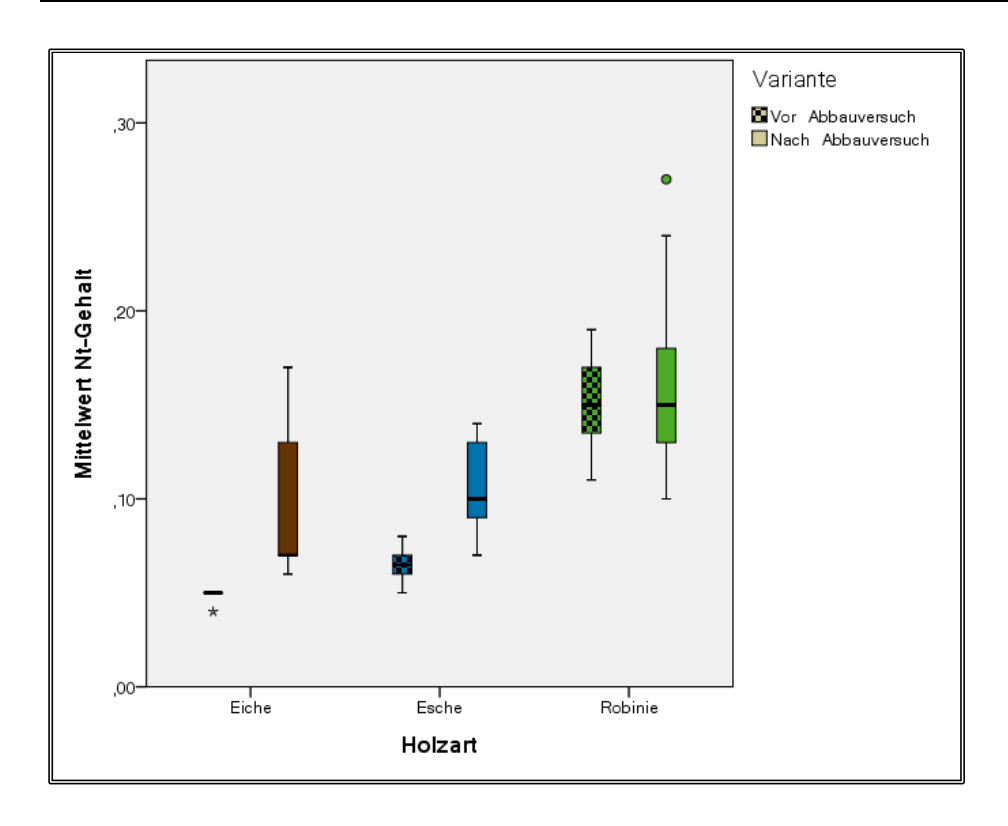


Abb. 38: Vergleich der  $N_t$ -Gehalte (in %) der Prüfkörper getrennt nach Baum-Holzarten vor (N = 24) und nach dem Abbauversuch (N = 61).

Über alle Baum-/Holzarten hinweg, hatte die N-Konzentration im Nährboden keinen signifikanten Einfluss auf die N<sub>t</sub>-Gehalte der Prüfkörper (Tab. 27). Führt man die einfaktorielle ANOVA jedoch getrennt nach Baumarten durch, so zeigte sich bei der Eiche sehr wohl ein höchst signifikanter Einfluss der N-Konzentration. Bei allen Baum-/Holzarten ist zumindest zu erkennen, dass bei höherer N-Konzentration im Nährboden auch der N<sub>t</sub>-Gehalt der Prüfkörper tendenziell zunimmt (Tab. 29).

Tab. 29: Mittelwerte des N<sub>t</sub>-Gehaltes (in %) der Prüfkörper aus Esche, Eiche und Robinie in Abhängigkeit von den getesteten N-Konzentrationen im Nährboden nach dem Abbauversuch.

			Deskriptive Statistik						
Abhängige Variabl	·								
N-Konzentration	N	Mittelwert (N <sub>t</sub> -Gehalt in Gew%)	Standardabweichung	Standardfehler	Minimum (in %)	Maximum (in %)			
		-	Esche	-					
Kein N	6	0,0900	0,02098	0,00856	0,07	0,13			
0,1 g N/l	6	0,1083	0,01835	0,00749	0,09	0,14			
0,351 g N/I	6	0,1150	0,02074	0,00847	0,09	0,14			
			Eiche						
Kein N	6	0,0700	0,00623	0,00258	0,06	0,08			
0,1 g N/I	6	0,0700	0,01095	0,00447	0,06	0,09			
0,351 g N/I	6	0,1367	0,02338	0,00955	0,10	0,17			
	Robinie								
Kein N	8	0,1500	0,03295	0,01165	0,11	0,22			
0,1 g N/I	10	0,1710	0,04954	0,01567	0,10	0,24			
0,351 g N/I	7	0,1600	0,5477	0,2070	0,11	0,27			

Um zu prüfen, ob es signifikante Unterschiede zwischen den N<sub>t</sub>-Gehalten der Prüfkörper vor und nach dem Abbauversuch gibt, wurde zunächst über alle Baum-/Holzarten ein T-Test durchgeführt (Tab. 30). Das Ergebnis zeigte, dass es mit p = 0,105 keinen signifikanten Unterschied zwischen den N<sub>t</sub>-Gehalten der Prüfkörper vor und nach dem Abbauversuch gab. Führt man die T-Tests jedoch getrennt nach den einzelnen Baum-/Holzarten durch (Tab. 30), so zeigte sich, dass es bei Esche und Eiche einen signifikanten Unterschied im N<sub>t</sub>-Gehalt der Prüfkörper vor und nach dem Abbauversuch gab.

Tab. 30: Ergebnisse des Mittelwertvergleichs der  $N_t$ -Gehalte der Prüfkörper aus Esche, Eiche und Robinie vor und nach dem Abbauversuch mittels T-Tests.

Test bei unabhängigen Stichproben								
Abhängige Variable: N <sub>t</sub> -Gehalt der Prüfkörper aus Esche, Eiche und Robinie								
		ne-Test der nzgleichheit		T-1	Гest für die М	ittelwertgleichheit		
	F	Signifikanz	Т	df	Signifikanz	Mittlere Differenz	Standardfehler der Differenz	
			E	sche				
Varianzen sind gleich	4,240	0,052	-4,233	22	0,000	-0,03944	0,00932	
			E	iche				
Varianzen sind nicht gleich	12,871	0,002	-5,157	18,284	0,000	-0,04389	0,00851	
			Robinie (Kern-	und Splinth	olz)			
Varianzen sind nicht gleich	4,501	0,041	-0,742	33,896	0,463	-0,00870	0,01173	
	Alle Baum-/Holzarten zusammengefasst							
Varianzen sind gleich	2,584	0,112	-1,640	83	0,105	-0,01952	0,01190	

Betrachtet man die mittleren N<sub>t</sub>-Gehalte der Prüfkörper nach dem Abbauversuch getrennt nach Baum-/Holzarten, so zeigt sich, dass die Robinie mit 0,16 % die höchsten N<sub>t</sub>-Gehalte hatte, gefolgt von der Esche mit 0,09 % und der Eiche mit 0,08 % (Tab. 31, Abb. 38). Bei der Robinie war zudem zu erkennen, dass die N<sub>t</sub>-Gehalte des Kernholzes mit 0,15 % geringer waren als jene des Splintholzes mit 0,18 % (Tab. 31).

Betrachtet man alle N<sub>t</sub>-Gehalte der Prüfkörper vor und nach dem Abbauversuch getrennt, so ist auffällig, dass die Prüfkörper nach dem Abbauversuch durchwegs höhere N<sub>t</sub>-Gehalte hatten (Tab. 31).

Tab. 31: Mittelwerte des  $N_t$ -Gehaltes in Gew% der Prüfkörper aus Esche, Eiche und Robinie vor und nach dem Abbauversuch.

		Des	skriptive Statistik				
Abhängige Variable:	N <sub>t</sub> -Geha		Esche, Eiche und Robi	nie			
	N	Mittelwert (Gew%)	Standardabweichung	Standardfehler	Minimum (in %)	Maximum (in %)	
	-		Esche			_	
Vor Abbauversuch	6	0,0650	0,01049	0,00428	0,05	0,08	
Nach Abbauversuch	18	0,1044	0,02175	0,00513	0,07	0,14	
Gesamt	24	0,0946	0,02604	0,00532	0,05	0,14	
			Eiche				
Vor Abbauversuch	6	0,0483	0,00408	0,00167	0,04	0,05	
Nach Abbauversuch	18	0,0922	0,03541	0,00835	0,06	0,17	
Gesamt	24	0,0813	0,03615	0,00738	0,04	0,17	
Robinie (nur Kernholz)							
Vor Abbauversuch	6	0,1367	0,02066	0,00843	0,11	0,16	
Nach Abbauversuch	21	0,1543	0,04411	0,00963	0,10	0,27	
Gesamt	27	0,1504	0,04043	0,00778	0,10	0,27	
		Robin	ie (nur Splintholz)				
Vor Abbauversuch	6	0,1683	0,02041	0,00833	0,15	0,19	
Nach Abbauversuch	4	0,1975	0,03862	0,01931	0,14	0,22	
Gesamt	10	0,1800	0,03091	0,00978	0,14	0,22	
	_	Robinie (	- (Kern- und Splintholz)	-	-	=	
Vor Abbauversuch	12	0,1525	0,02563	0,00740	0,11	0,19	
Nach Abbauversuch	25	0,1612	0,04549	0,00910	0,10	0,27	
Gesamt	37	0,1584	0,03997	0,00657	0,10	0,27	
		Alle Baum-/H	olzarten zusammengefasst				
Vor Abbauversuch	24	0,1046	0,05267	0,1075	0,04	0,19	
Nach Abbauversuch	61	0,1241	0,4808	0,00616	0,06	0,27	
Gesamt	85	0,1186	0,04988	0,00541	0,04	0,27	

# 3.3.2 Nährboden

Das 2%ige Malz-Agar-Medium ohne Zugabe von Stickstoff hatte einen  $N_t$ -Gehalt von 0,01 %. Die 0,1 g N/l-Variante hatte einen  $N_t$ -Gehalt von 0,03 % und die 0,351 g N/l-Variante einen  $N_t$ -Gehalt von 0,05 %.

# 4 Diskussion

Da Stickstoff im Boden und im Holz in verschiedenen Formen (siehe Kap. 1.3 und 1.4) vorkommt (Scheffer et al. 2010), war es zunächst wichtig, eine für den Abbauversuch passende N-Quelle zu finden. Dabei muss auch berücksichtigt werden, dass Pilze nicht jede N-Quelle im gleichen Maße nutzen können, bzw. bestimmte N-Quellen bevorzugen (Cowling & Merrill 1966). Verschiedene Versuche (Käärik 1960, Cowling & Merrill 1966, Hacskaylo 1954) haben gezeigt, dass von den anorganischen N-Quellen Ammoniumsulfat und Ammoniumtatrat gute N-Quellen für Pilze sind, bei den organischen N-Quellen hat sich Asparagin bewährt.

Stickstoff stellt eine wichtige Grundlage für Wachstum und Entwicklung der Pilze dar. Dix und Webster (1995) geben an, dass für ein gutes Pilzwachstum eine höhere N-Konzentration essentiell ist. Sinkt die N-Konzentration unter einen gewissen Level, stellen Pilze in der Regel ihre Entwicklung ein. Holz- und Baumpilze haben aber Mechanismen entwickelt, um mit bemerkenswert niedrigen N-Konzentrationen auszukommen. Cowling & Merrill (1966) nennen drei Mechanismen:

- Physiologische Anpassung der Holz- und Baumpilze, um das vorhandene N-Angebot optimal nutzen zu können.
- Die Wiederverwertung von Stickstoff aus eigenen Zellen durch Autolyse.
- Die Nutzung von N-Quellen außerhalb des befallenen Holzes.

Aus den Angaben in der Literatur wurde geschlossen, dass *P. fraxinea* bei mehr N-Verfügbarkeit ein besseres Wachstum *in vitro* zeigen sollte und sich bei der Testung verschiedener N-Quellen eine Präferenz für eine N-Quelle ergeben sollte. In diesem Zusammenhang stellen Cartwright & Findlay (1934) jedoch klar, dass kein eindeutiger Zusammenhang zwischen der Wachstumsrate eines Pilzes *in vitro* und seiner tatsächlichen Holzabbaurate besteht.

## 4.1 Diskussion der Ergebnisse des Wachstumsversuchs

Im Zuge des Wachstumsversuches (siehe Kap. 2.5 und 3.1) wurde zunächst geprüft, welche der drei in der Literatur als besonders geeignet beschriebene N-Quellen (Ammoniumsulfat, Ammoniumtatrat und Asparagin) zu einem gesteigerten Myzelwachstum von *P. fraxinea in vitro* führt. Dabei ergaben sich folgende Ergebnisse:

- Bei der N-Quelle Asparagin und einer N-Konzentration von 0,351 g N/l zeigte *P. fraxinea* die mit Abstand beste Wachstumsleistung *in vitro*. Bei der geringeren N-Konzentration von 0,1 g N/l lag der Radialzuwachs bei dieser N-Quelle jedoch unter jenem der Kontrolle.
- Die Zugabe von Ammoniumsulfat, als auch Ammoniumtatrat führte hingegen zu keiner Zunahme des Radialzuwachses, vielmehr lagen die Werte in allen Fällen unter jenen der Kontrolle.

Somit bestätigt sich die Aussage von Dix und Webster (1995), dass ein Mehr an verfügbarem Stickstoff bei Pilzen jeweils zu besserem Wachstum führt, nur für die Asparagin-Variante mit der hohen N-Konzentration. Dass manche saprophytische Pilze aber auch Mykorrhiza-Pilze bei weniger N-Angebot sogar höhere Radialzuwächse verzeichnen können, als bei höherem N-Angebot, zeigen die Arbeiten von Arnebrant (1994) und Littke et al. (1984). Littke et al. (1984) streichen aber heraus, dass ein höheres N-Angebot bei der Mehrzahl der untersuchten Pilze in der Regel zu gleichem oder besserem Pilzwachstum führt.

Montgomery (1936) hat in einer detaillierten Studie zu *P. fraxinea* unter anderem den Effekt von Stickstoff auf die Bildung von Enzymen durch den Eschenbaumschwamm untersucht. Er konnte nachweisen, dass die Aktivität der Enzyme mit dem Wachstum des Pilzes korreliert. Im Detail konnte er zeigen, dass das vollständige Fehlen von Stickstoff zu einer Abnahme der Enzym-Aktivität des Pilzes führte. Allerdings führte eine weitere Erhöhung der Menge an Stickstoff über die geringste, von ihm getestete N-Konzentration hinaus, zu keiner Zunahme der Enzymaktivität. Montgomery (1936) folgert daraus, dass offenbar bereits eine sehr geringe N-Konzentration im Medium ausreicht, um die Enzyme aktiv zu halten.

In der erwähnten Studie wurden als flüssige synthetische Medien das Brown's Medium, sowie das Czapek's & Dox's Solution II Medium verwendet. Die verwendeten N-Quellen waren

Asparagin, Natriumnitrat und Ammoniumnitrat in verschiedenen Konzentrationen (Montgomery 1936). Brown's Medium setzt sich aus 2 g Glucose, 1,25 g K<sub>2</sub>HPO<sub>4</sub>, 2 g Asparagin, 0,75 g MgSO<sub>4</sub> 7H<sub>2</sub>O, 15-20 g Agar-Agar und 1000 ml Aqua deion. zusammen (Bisen 2014). Das Czapek & Dox Medium enthält unter anderem je nach Rezeptur 2 oder 3 g Natriumnitrat (Atlas & Parks 1993). Da in der vorliegenden Arbeit nicht mit Natrium- oder Ammoniumnitrat gearbeitet wurde, soll hier als Vergleich nur auf das Brown's Medium und somit nur auf Asparagin eingegangen werden: Die niedrigste in Montgomery's (1936) Studie verwendete N-Konzentration war eine Variante mit 0,05 % Asparagin (d. s. 0,106 g N/l). Welche höheren N-Konzentrationen in der o. g. Arbeit verwendet wurden, wird in der Publikation leider nicht erwähnt. Geht man aber davon aus, dass das oben angeführte Rezept von Brown's Medium<sup>13</sup> im Normalfall 2 g Asparagin pro Liter enthält, so wären das umgerechnet 0,424 g N/l<sup>14</sup>.

Die in der vorliegenden Arbeit verwendeten N-Konzentrationen lagen bei der geringeren N-Konzentration mit 0,1 g N/l somit in dem von Montgomery (1936)angegebenen Bereich (niedrigste N-Konzentration), bei der höheren N-Konzentration von 0,351 g N/l hingegen etwas unterhalb der von Montgomery mutmaßlich verwendeten Konzentration. Da P. fraxinea in der vorliegenden Studie bei der höheren Konzentration von Asparagin in vitro eine deutlich bessere Wachstumsrate gezeigt hat, dürfte die Grenze der N-Aufnahme (N-Sättigung) bei Asparagin – zumindest auf 2% MEA – erst bei einer noch höheren N-Konzentrationen erreicht werden. Die unterschiedlichen Ergebnisse der beiden Studien könnten darauf zurückzuführen sein, dass dieselbe N-Konzentrationen auf Brown's Medium zu anderen Ergebnissen führt wie auf 2%igen Malz-Agar-Medium, wobei hier die Verfügbarkeit anderer Nährstoffe sowie der pH Wert des Nährmediums eine wesentliche Rolle spielen könnten. Da in der vorliegenden Studie die Ergebnisse bei der Zugabe von Ammoniumsulfat und Ammoniumtatrat bei gleichen N-Konzentrationen anders gelagert waren, liegt die Vermutung nahe, dass nicht nur die N-Konzentrationen sondern auch die Art der N-Quelle einen wesentlichen Einfluss auf die Wachstumsrate von P. fraxinea hat. Hier könnten wiederum die schon o.g. Parameter (z. B. pH-Wert, etc.) zu den unterschiedlichen Ergebnissen geführt haben.

Ein Einfluss des pH-Werts wurden auch von Hacskaylo et al. (1954) vermutet, die Wachstumsversuche mit unterschiedlichen Pilzarten und N-Quellen durchgeführt haben. Ähnlich wie in der vorliegenden Arbeit wurde auch in dieser Studie bei Ammoniumsulfat eine geringere Wachstumsleistung beobachtet. Hacskaylo et al. (1954) vermuten, dass diese

Montgomery (1936) gibt in seiner Arbeit keine detaillierten Angaben zu den von ihm verwendeten Nährboden-Rezepturen. Es besteht daher die Möglichkeit, dass das von Montgomery verwendete Rezept für Brown's Medium, von jenem in Standardwerken zur Herstellung von Nährböden (z. B. Bisen 2014) abwich.

Berechnung der N-Gehalte siehe Anhang Teil A.

Hemmung des Pilzwachstums zumindest teilweise auf die niedrigen pH-Werte des Mediums zurückzuführen ist. Nachdem der pH-Wert durch die Zugabe von Fumarsäure erhöht wurde, waren die Ergebnisse bei Ammoniumsulfat in ihrer Studie ähnlich denen von Asparagin. Dies kann vielleicht auch erklären, warum bei der vorliegenden Arbeit sowohl bei Ammoniumsulfat als auch bei Ammoniumtatrat die Wachstumsraten bei der niedrigeren N-Variante (0,1 g N/l) jeweils besser waren als bei der höheren N-Variante (0,351 g N/l) und beide Varianten unter dem Wert der Kontrolle lagen. In der vorliegenden Arbeit war der pH-Wert bei der niedrigeren N-Konzentration (0,1 g N/l) von Ammoniumsulfat und Ammoniumtatrat geringfügig höher<sup>15</sup> als bei der höheren Konzentration (0,351 g N/l) (Tab. 2).

Pauschale Aussagen über die N-Nutzung von Pilzen sind generell schwer zu treffen, da jede Pilzart sehr spezifisch auf verschiedene N-Quellen reagiert. Zahlreiche Autoren wie Cowling & Merrill (1966), Griffin (1994), Hacskaylo et al. (1954), Jennings (1995), Käärik (1960), Lilly & Barnett (1951) und Schmidt (1994) geben an, dass verschiedene Pilzarten unterschiedliche N-Quellen bevorzugen. Steinberg (1939) gibt ferner an, dass verschiedene Elemente wie Kohlenstoff, aber auch Zucker wie Glucose nötig sind, damit Pilze eine bestimmte N-Quelle nutzen können.

Der durchschnittliche Radialzuwachs/Tag von *P. fraxinea* auf 2 % MEA ohne N-Zugabe betrug in der vorliegenden Arbeit 5,3 mm (siehe Kap. 3.1) und liegt damit im Mittelfeld im Vergleich zu jenen Werten (1,41 mm-9,29 mm/Tag), die in anderen Studien auf Nährmedien mit unterschiedlichen Gewichtsanteilen von Malzextrakt und Agar ermittelt wurden (Baxter 1925, Campbell 1938, Kehr et al. 2000b, Nobles 1965, Stalpers 1978). Die in den erwähnten Studien erzielten Wachstumsraten wurden zum Teil auch vom Mischungsverhältnis zwischen Malzextrakt und Agar beeinflusst. Baxter (1925) hat viele Tests durchgeführt um die optimale Konzentration von Malzextrakt herauszufinden. Die Ergebnisse dieser Tests bestätigen einen Einfluss der Konzentration, auch wenn dieser nicht so gravierend ist, wie ursprünglich angenommen. Bei seinen Versuchen haben sich folgende Gewichtsanteile als am besten geeignet herausgestellt: 25 g Agar, 25 g Malzextrakt und 1000 ml Aqua deion. Das in vorliegender Studie verwendet Medium enthielt 16 g Agar und 20 g Malzextrakt (siehe Kap. 2.4).

Zum Vergleich der für *P. fraxinea* erhobenen Wachstumsrate mit jenen anderer *Perenniporia*-Arten können die Ergebnisse von Flott & Gilbertson (1991) herangezogen werden, die

<sup>&</sup>lt;sup>15</sup> Der pH-Wert lag bei Ammoniumsulfat nach dem Autoklavieren bei der niedrigeren N-Variante (0,1 g N/I) bei 5,81 und bei der höheren N-Variante (0,51 g N/I) bei 5,78. Bei Ammoniumtatrat lag der pH-Wert bei der niedrigeren N-Variante bei 5,84 und bei der höheren N-Variante auch bei 5,78.

Wachstumstests mit Kulturen von vier anderen Perenniporia-Arten<sup>16</sup> durchführten. Die gemessenen Wachstumsraten auf 2 % MEA bei 25°C und Dunkelheit lagen in der o. g. Studie zwischen 1 und 8 mm/Tag; im Durchschnitt bei 4,75 mm/Tag. Die Ergebnisse des Wachstumstests der vorliegenden Arbeit liegen demnach im Mittelfeld beziehungsweise gehört *P. fraxinea* tendenziell zu den schneller wachsenden *Perenniporia*-Arten.

# 4.2 Diskussion der Ergebnisse des Abbauversuchs

Es existieren zahlreiche Studien, bei denen der Masseverlust von Prüfkörpern als Maß für den Holzabbau herangezogen wird. Unterschiede im Masseverlust können dabei auf verschiedene Faktoren zurückzuführen sein: Eine besonders wichtige Einflussgröße ist natürlich die Holzart, die aufgrund der unterschiedlichen Holzanatomie, Rohdichte, Gewebestruktur sowie der im Holz eingelagerten Substanzen den Masseverlust wesentlich beeinflusst. Aber auch die Wahl des Erregers und die Umweltfaktoren (Temperatur, Holzfeuchte, pH-Wert, Sauerstoffgehalt) bestimmen den Masseverlust (Engels 1998, Schwarze et. al 2011). Pauschale Angaben über das Abbauverhalten eines Pilzes sind daher schwer zu treffen. Tabelle 32 zeigt, dass die Abbauraten verschiedener Weißfäuleerreger an ein und derselben Wirtsbaumart (hier: Buche) sehr unterschiedlich sein können. Die erzielten Abbauraten reichten hier von bloß 1 % (bei *S. commune*) bis zu 70 % (bei *T. hirsuta*).

Bei den Vorversuchen zur vorliegenden Arbeit wurde zunächst ebenfalls ein Abbauversuch mit Prüfkörpern aus Buchenholz durchgeführt, um die Virulenz von *P. fraxinea* zu prüfen und mit anderen Pilzarten vergleichen zu können. Dabei wurde nach 18 Wochen und 22°C im Mittel ein Masseverlust von 15,7 % erreicht. Damit liegt die Abbauleistung von *P. fraxinea* im Vergleich zu anderen Weißfäuleerregern (Tab. 32) im unteren Drittel. Auch Baxter (1925) merkt im Laufe seiner Arbeit zu den Kultureigenschaften von *P. fraxinea* an, dass der verursachte Holzabbau dieser Art nicht auffallend hoch ist.

<sup>&</sup>lt;sup>16</sup> P. fraxinophila, P. medulla-panis, P. ohiensis und P. phloiophila

Tab. 32: Erzielte Holzabbauraten (Surface-block-Methode) bei verschiedenen Weißfäuleerregern an Buchenholz nach 4 Monaten Inkubationszeit bei Zimmertemperatur (18°-20°C) bzw. 25°C.

Quelle: Danninger 1980.

Pilzart	Gewichtsverlust in %
Armillaria mellea	24,0
Athelia sp.	9,0
Bjerkandera adusta <sup>a</sup>	31,8
Chondrostereum purpureum	7,0
Daedaleopsis confragosa a	60,0
Ganoderma sp.	48,0
Mycoacia uda	22,0
Panellus stipticus <sup>b</sup>	11,5
Phellinus igniarius <sup>b</sup>	10,2
Phlebia rufa	10,0
Schizophyllum commune	1,0
Schizopora sp. <sup>a</sup>	24,0
Stereum hirsutum	14,0
Trametes gibbosa <sup>a</sup>	35,8
Trametes hirsuta <sup>a</sup>	70,4
Trametes versicolor <sup>a</sup>	36,5
Xylodon radula	1,0

a. Gehört wie P. fraxinea zur Familie der Polyporaceae.

In dieser Arbeit wurde im Weiteren einerseits der Frage nachgegangen, ob die getesteten Baum-/Holzarten (Esche, Eiche und Robinie) durch *P. fraxinea* unterschiedlich stark abgebaut werden, und andererseits untersucht, ob sich eine N-Zugabe zum Nährmedium positiv auf die Abbauleistung von *P. fraxinea in vitro* auswirkt.

#### 4.2.1 Unterschiede zwischen den Baum-/Holzarten und deren Abbauraten

Die Ergebnisse des Abbauversuches zeigen in Bezug auf die durch *P. fraxinea* erzielten Abbauraten auch ohne N-Zugabe bereits deutliche Unterschiede zwischen den getesteten Baum-/Holzarten. Der durchschnittliche Masseverlust ohne Zugabe von Stickstoff betrug bei

b. Inkubation fand bei Zimmertemperatur statt.

der Esche 13 %, bei der Eiche 3 % und bei der Robinie nur 0,6 %. Ähnliche, wenn auch deutlich geringere Unterschiede im Masseverlust in Abhängigkeit von der getesteten Baum-/Holzart führen auch Schwarze et al. (2011) in ihrem Buch zu holzzersetzenden Pilzen an. Fomes fomentarius erzielte z. B. an Eiche einen Masseverlust von 23 %, an Buche einen von 21 %; bei Ganoderma resinaceum betrug der Masseverlust an Eiche 16 % und an Buche 13 % und Inonotus dryadeus führte an Eiche zu 3 % und an Buche zu 2 % Masseverlust. Die Ergebnisse von Danninger (1980) und von Schwarze et al. (2011) unterstreichen somit, dass die erzielten/erreichbaren Abbauraten stark von der gewählten Pilz-Wirt-Kombination abhängen. Da in vorliegender Arbeit die Abbauversuche an drei verschiedenen Baum-/Holzarten durchgeführt wurden, werden im Folgenden die Holzeigenschaften der drei Baum-/Holzarten und deren Auswirkungen auf die erzielten/erreichbaren Abbauraten erörtert:

#### Holzanatomie

Schwarze (1995) gibt in seiner Dissertation holzanatomische Parameter an, die sich förderlich auf Pilzwachstum und -ausbreitung auswirken. So ist das Längsparenchym bei der Eiche apotracheal-gebändert-netzförmig angeordnet. In Verbindung mit den teilweise auffallend breiten Holzstrahlen<sup>17</sup> ermöglicht es dem Pilz, sich rasch in radialer und tangentialer Richtung auszubreiten. Im Gegensatz dazu wird die Ausbreitung von holzabbauenden Pilzen durch den anatomischen Aufbau des Holzes der Esche und Robinie nicht begünstigt: Bei beiden Hölzern sind die Holzstrahlen im Tangentialschnitt meist viel schmäler (3-5-reihig) und nicht besonders zahlreich und das Längsparenchym bildet keine zusammenhängenden Bänder (Grosser 1977, Schweingruber 1990).

#### Rohdichte

Alle drei Holzarten zählen zu den harten, schweren Hölzern (Aas 2002b, Grosser 2002, Schütt 1994). Die Eiche hat eine mittlere Rohdichte von 0,65 g/cm³, die Esche von 0,65 g/cm³ und die Robinie von 0,73 g/cm³ (Grosser 1977). Bei der Eiche kann die Darrdichte variieren, da in ihrem Holz unterschiedliche Jahrringbreiten vorkommen können. Bei schmalen Jahrringen ist im Gegensatz zu weiten Jahrringen der Anteil von leichtem Frühholz höher und daher auch die Darrdichte geringer (Aas 2002b).

#### Pilzhemmende Substanzen

\_

<sup>&</sup>lt;sup>17</sup> Oft bestehen breite Holzstrahlen aus über 20 Zellen bzw. sind sie 0,5-1 mm breit und mehrere cm hoch.

Bei kernholzbildenden Baumarten, kommt es im Kern zur Einlagerung von Extraktstoffen 18. Dabei sind die obligatorischen von den fakultativen Kernholzarten zu unterscheiden: Erstere lagern niedermolekulare organische Inhaltsstoffe in die Zell-Wände ein, die einen gewissen Schutz vor dem Holzabbau durch Pilze gewähren. Im Gegensatz dazu lagern fakultative Kernholzarten hochmolekulare organische Inhaltsstoffe in die Zell-Lumina ein, sodass eine Schutzwirkung ausbleibt. Im Splintholz fehlen derartige fungistatische oder –toxische Extraktstoffe, es wird beim lebenden Baum jedoch durch den hohen Wassergehalt geschützt (Fehlow 2008, Kucera 1989, Schwarze et. al 2011).

Robinie und Eiche bilden obligatorisches Kernholz aus, das reich an niedermolekularen Extraktstoffen ist. Die Esche hingegen gehört zu jenen Baumarten, die hochmolekulare organische Extraktstoffe im Kern einlagert (Dujesiefken et al. 2007, Kucera 1989, Rehnert und Böcker 2008).

Generell wird das Pilzwachstum durch Splintholzextrakte weniger gehemmt, als durch die o.g. Kernholzextrakte. Um Holz, das Extrakte enthält, überhaupt abbauen zu können, haben holzzerstörende Pilze die Möglichkeit, die Extraktstoffe durch Polyphenoloxydasen enzymatisch zu entgiften (Hawley et al. 1924, Lyr 1962).

#### Vergleich Stamm- und Wurzelholz

Engels (1998) gibt in ihrer Arbeit an, dass sich die N-Gehalte bei Stamm- und Wurzelholz bei Eiche stark unterscheiden. Ersteres besitzt bei Eiche nur etwa ein Drittel der N-Konzentration des Wurzelholzes. Das könnte erklären, warum *P. fraxinea* als wurzelbürtige Pilzart auch gerne die Eiche befällt (siehe Kap. 2.1.1.4 und 2.2).

Bei der vorliegenden Arbeit hat sich gezeigt, dass das Holz der Esche am besten abgebaut wurde (Tab. 13, Abb. 26). Da sich die drei getesteten Baum-/Holzarten in ihrer Rohdichte nur geringfügig unterscheiden und auch der holzanatomische Aufbau der Esche nicht förderlich in Hinblick auf einen Pilzabbau ist, dürfte für den deutlich höheren Holzabbau an Esche die fehlende Schutzwirkung der nur in die Zell-Lumina eingelagerten, hochmolekularen Extraktstoffe ausschlaggebend sein.

Die deutlich geringeren Abbauraten bei Eiche bzw. Robinie<sup>19</sup> sind zum Großteil darauf zurückzuführen, dass bei diesen beiden Baum-/Holzarten einige bzw. alle Prüfkörper auch Kernholzanteile aufwiesen, die durch die Einlagerung von niedermolekularen Extraktstoffen in den Zell-<u>Wänden dem Pilzabbau entgegen wirkten</u>. Dies lässt sich auch durch den direkten Vergleich von Prüfkörpern mit hohem bzw. niedrigem oder nicht vorhandenem Kernholzanteil

<sup>&</sup>lt;sup>18</sup> Zu den Extraktstoffen zählen laut Roffael und Stegmann (1983) auch anorganische Verbindungen; dennoch sind im Allgemeinen mit dem Begriff "Holz-Extraktstoffe" nur die organischen Komponenten gemeint.

<sup>&</sup>lt;sup>19</sup> Jones & Worrall (1995) weisen darauf hin, dass im Zuge der Masseverlustbestimmung bei derartigen Versuchen immer auch die Myzelmasse im Holz mitgewogen wird. Dies kann insbesondere bei geringen Gewichtsverlusten - wie jenen bei der Robinie - zu Fehlern führen (Engels 1998).

verifizieren: Bei ersteren waren die Abbauraten tendenziell geringer als bei Prüfkörpern mit einem niedrigeren oder fehlenden Kernholzanteil. Besonders deutlich ist der Unterschied bei Prüfkörpern, die nur aus Kernholz oder nur aus Splintholz bestehen: So erzielte *P. fraxinea* bei der Eiche am Prüfkörper 1/Qa15 Stf., der fast ausschließlich aus Kernholz bestand (Abb. 39 links), einen Masseverlust von nur 0,78 %, wogegen die nur aus Splintholz bestehenden Prüfkörper 1/Qc01 und 1/Qc07 (Abb. 39 mitte und rechts)einen gemittelten Masseverlust von 14,27 % aufwiesen. Abbildung 39 zeigt, dass dieser deutlich unterschiedliche Holzabbau von Kern- und Splintholzproben zu Versuchsende auch optisch erkennbar war.



Abb. 39: Querschnitte von Prüfkörpern der Eiche nach dem Abbauversuch. Prüfkörper 1/Qa15 Stf. (links) besteht fast nur aus Kernholz. Die Prüfkörper 1/Qc01 (Mitte) und 1/Qc07 (rechts) bestehen aus Splintholz.

Im Unterschied zur Eiche gab es bei der Robinie keinen Prüfkörper, der nur aus Splintholz bestand (Abb. 16). Beim Prüfkörper mit dem höchsten Splintholzanteil (2/Rc15) ergab sich ein Masseverlust von 6,9 %; im Vergleich dazu erreichten die Prüfkörper, die ausschließlich aus Robinien-Kernholz bestanden, einen mittleren Masseverlust von nur 0,6 %. Damit bestätigt sich die Aussage von Professor Dr. Rolf Kehr (2011), der im Vorfeld der vorliegenden Arbeit darauf hinwies, dass bei Prüfkörpern aus Kernholz die Abbauraten generell sehr gering sein werden. Auch Neustifter (1952) kommt im Laufe ihrer Arbeit zu dem Schluss, dass aufgrund der schwachen Abbauleistung der von ihr verwendeten Prüfpilze auf Eichenkernholz, diese Baum-/ Holzart für praktische Versuche als weniger geeignet einzustufen ist.

Dass das Kernholz der Eiche etwas besser abgebaut wurde als das Kernholz der Robinie, dürfte an der geringeren natürlichen Dauerhaftigkeit von Eichen-Kernholz liegen: Nach den Dauerhaftigkeitsklassen gemäß EN 350-2 ist die Robinie mit 1-2 (d. h. dauerhaft bis sehr dauerhaft) und die Eiche mit 2 (d. h. dauerhaft) einzustufen. Ferner bevorzugt der holzanatomische Aufbau des Eichenholzes die rasche Ausbreitung des Pilzes.

Wären für den Versuch der vorliegenden Arbeit bei Eiche und Robinie nur Splintholzproben verwendet worden, wären die Abbauraten ähnlich jenen der Esche gewesen: Die zwei Prüfkörper der Eiche, die nur aus Splintholz bestanden (siehe oben), hatten einen Masseverlust von 14 %, und der mittels einer Regressionsgeraden geschätzte Masseverlust lag bei reinem Robinien-Splintholz bei 17 %. Die Esche hatte zum Vergleich im Durschnitt einen Masseverlust von 13 % (siehe Kap. 3.2.1.1).

Dass die Abbauraten von *P. fraxinea* im Splintholz besser sind als im Kernholz, erklärt, warum besonders das Splintholz der Wurzeln und jenes im Stammfußbereich befallen werden und die axiale Ausbreitung und der Abbau im Kernholz nur langsam vonstattengehen (Kehr et al. 2000b).

# 4.2.2 Einfluss von Stickstoff auf den durch P. fraxinea hervorgerufenen Masseverlust bei Esche, Eiche und Robinie

Neben verschiedenen Umweltfaktoren (Temperatur, Holzfeuchte, pH-Wert des Substrats, Sauerstoffgehalt) und den artenspezifischen Eigenschaften des Holzes beeinflusst auch das Nährstoffangebot den Holzabbau durch holzzersetzende Pilze. In dieser Arbeit wurde die Auswirkung von Stickstoff auf den Holzabbau durch den Eschenbaumschwamm untersucht, wobei die N-Zufuhr aufgrund der Ergebnisse der Wachstumstests *in vitro* durch die Beigabe von Asparagin erfolgte. Mehrere Autoren sind der Ansicht, dass eine höhere N-Konzentration im Holz zu höheren Abbauraten führen kann und es bei einer höheren N-Konzentration eher zur Ausbildung von Holzfäulen kommt (Cowling & Merrill 1966, Garrett 2011, Hungate 1940, Platt et al. 1965). Dies wird damit erklärt, dass die N-Konzentration im Holz im Allgemeinen niedrig ist, Stickstoff aber für lebende Organismen einen essentiellen Nährstoff darstellt (Cowling & Merrill 1966, Engels 1998, Lohwag 1957, Schwarze et. al 2011).

Engels (1998) hat bei ihrer Studie das Abbauverhalten verschiedener holzzerstörender Pilze auf Eiche, Buche, Fichte, Ahorn und Linde getestet. Bei dieser Studie wurde zwar weder die N-Konzentration im Nährboden noch im Holz verändert, es wurde aber der N-Gehalt der verwendeten Holzproben bestimmt. Dabei hat sich herausgestellt, dass sich der N-Gehalt

sowohl zwischen den verwendeten Baumarten, als auch zwischen Wurzel- und Stammholz unterscheidet. Die Ergebnisse bei den einzelnen Pilz-Wirt-Kombinationen waren allerdings nicht einheitlich, sodass nicht eindeutig geklärt werden konnte, wie signifikant der N-Gehalt das Abbauverhalten von Pilzen beeinflusst. Beispielsweise waren die Abbauraten bei der Eiche bei allen Pilzen im Wurzelholz signifikant höher als im Stammholz. Da bei der Eiche ein großer Unterschied in der N-Konzentration zwischen Stamm- und Wurzelholz besteht<sup>20</sup> (siehe Kap. 4.2.1), liegt die Vermutung nahe, dass Stickstoff den Holzabbau positiv beeinflusst. Auch bei Buchenholz konnte bei den meisten Pilzarten ein signifikant stärkerer Abbau des Wurzelholzes im Vergleich zum Stammholz beobachtet werden. Allerdings war die N-Konzentration im Wurzel- und Stammholz bei der Buche nahezu ident<sup>21</sup>. Zu ähnlichen Ergebnissen kommt auch Platt et al. (1965), die in ihrer Arbeit ausführen, dass Wurzelholz durch holzzerstörende Pilze generell besser abgebaut wird als Stammholz. Auch sie geben als Grund die höhere Stickstoff- und Kohlenstoffkonzentration im Wurzelholz an.

In der vorliegenden Arbeit wurde ebenfalls der Gesamtstickstoffgehalt (N<sub>1</sub>) der Prüfkörper der verwendeten Baum-/Holzarten bestimmt. Dabei hat sich gezeigt, dass die Eiche<sup>22</sup> mit 0,048 Gew% den geringsten N<sub>t</sub>-Gehalt hatte, gefolgt von der Esche mit 0,065 Gew% und der Robinie mit 0,137 Gew% bei Kernholz bzw. 0,168 Gew% bei Splintholz. Diese Ergebnisse bestätigen zum einen, dass die Robinie – verglichen mit den anderen verwendeten Baum-/Holzarten – einen weitaus höheren N<sub>t</sub> -Gehalt im Holz aufweist, und zum anderen, dass der N<sub>t</sub>-Gehalt im Splintholz der Robinie generell höher ist als im Kernholz der Robinie.

Engels (1998) merkt in ihrer Arbeit jedoch an, dass bei Studien zu Abbauraten in Abhängigkeit von der N-Konzentration des Substrats, Stickstoff häufig künstlich auf die Probeklötze appliziert wird. Daher ist die Verfügbarkeit des Stickstoffes für Pilze generell anders einzuschätzen, als bei in Zellwänden gebundenem Stickstoff. In älteren Holzgeweben ist der Zugang zu in Zellwänden gebundenen N-Verbindungen jedoch oft durch pilzhemmende Kerninhaltsstoffe (Extraktstoffe) erschwert, bzw. sinkt der Anteil an löslichen N-Verbindungen mit zunehmendem Alter der Holzgewebe (Engels 1998, Höll et al. 1975). Da auch in der vorliegenden Arbeit der Stickstoff in anorganischer bzw. organischer Form dem Malz-Agar-Medium künstlich beigefügt wurde, ist davon auszugehen, dass der künstlich zugeführte Stickstoff für *P. fraxinea* ebenfalls leichter verfügbar war, als die im Holz natürlich verfügbaren N-Verbindungen. Cowling & Merrill (1966) merken wiederum an, dass Pilze die natürlichen N-Bestandteile des Holzes offenbar den künstlich hinzugefügten N-Verbindungen vorziehen.

<sup>&</sup>lt;sup>20</sup> N-Konzentration bei *Quercus robur*. Wurzelholz: 0,377 % / Stammholz: 0,111 %.

N-Konzentration bei *Fagus sylvatica*: Wurzelholz: 0,096 % / Stammholz: 0,08 %.

<sup>&</sup>lt;sup>22</sup> Bei der Eiche wurde bei der Bestimmung des Gesamtstickstoffes der Unterschied zwischen Splint und Kernholz nicht berücksichtigt.

Es ist jedoch noch nicht geklärt, welcher der beiden genannten Effekte (künstliche Zugabe von leicht verfügbaren N-Verbindungen versus Bevorzugung natürlicher, aber ev. schwerer zu erschließender N-Komponenten durch den Pilz) mehr Einfluss auf den Holzabbau hat. Generell präferieren Pilze bestimmte N-Verbindungen, wenn ihnen eine Mischung zur Verfügung steht. Wenn die bevorzugten Verbindungen nicht oder nicht mehr vorhanden sind, werden aber auch weniger beliebte Verbindungen genutzt (Jennings & Lysek 1999).

Wie die Ergebnisse der vorliegende Arbeit zeigten, hatte die N-Konzentration einen höchst signifikanten Einfluss auf den Masseverlust (siehe Kap. 3.2.1): Die erzielten Abbauraten waren bei allen getesteten Baumarten (Esche, Eiche und Robinie) bei zunehmendem N-Angebot höher. Am eindeutigsten waren die Ergebnisse bei der Esche, wo sich gegenüber der Kontrolle bei der Variante 0,1 g N/l eine Zunahme der Abbaurate von 17,1 % ergab, bei der Variante 0,351 g N/l nahm die Abbaurate sogar um 63,5 % zu.

Im Gegensatz dazu erreichte *P. fraxinea* bei der Robinie gegenüber der Kontrolle bei 0,1 g N/l nur eine Zunahme der Abbaurate um 1,6 % und bei 0,351 g N/l eine Zunahme um 11,7 %. Die Gründe für das bessere Abschneiden der Esche dürften – wie oben angeführt – bei den spezifischen Holzeigenschaften zu suchen sein.

Die Auswirkungen einer künstlichen N-Zugabe auf die Holzabbauraten durch verschiedene Pilzarten wurden auch in den nachfolgend angeführten Studien untersucht, wobei auch hier die zusätzliche N-Verfügbarkeit zumeist zu mehr Holzabbau führte.

Hopffgarten (1933) hat in seinen Untersuchungen die Auswirkungen verschiedener N-Quellen auf den durch Heterobasidion annosum hervorgerufenen Holzabbau bei der Fichte studiert dabei folgende N-Quellen verwendet: und Ammoniumchlorid, Harnstoff, Asparagin, Leucin und Pepton. Es wurden wässrige Lösungen mit der jeweiligen N-Quelle angereichert und die vorbereiteten Holzklötze mit diesen Lösungen getränkt. Anschließend erfolgte der Einbau in Kolle-Schalen auf einem myzelüberwachsenen Nährboden. Die Klötze waren insgesamt vier Monate dem Pilzangriff ausgesetzt. Die Ergebnisse zeigten, dass jene N-Quellen, die den Stickstoff in Form von Ammonium enthielten, durch H. annosum besser aufgenommen und verwertet wurden. Am größten war der Masseverlust bei der Zugabe von Pepton, wo gegenüber der Kontrolle eine Zunahme der Holzabbauintensität von 116 % auftrat. Aber auch Asparagin erzielte mit 98 % Steigerung deutlich höhere Werte<sup>23</sup>. Bei der Verwendung von Ammoniumchlorid, ergab sich hingegen nur eine leichte Steigerung von 17 %.

91

<sup>&</sup>lt;sup>23</sup> Da die Einzelwerte bei Asparagin und Pepton sehr schwankten, sind die arithmetischen Mittel keine gesicherten Werte.

- Findlay (1934) untersuchte die Auswirkungen der Zugabe von Ammoniumnitrat, auf die Abbauleistung Pepton und Asparagin von Antrodia serialis und Trametes versicolor bei Picea sitchensis und Fagus sylvatica. Bei dieser Versuchsanordnung wurde die jeweilige N-Quelle in Wasser aufgelöst und die Holzklötze für ein paar Minuten in die Lösung eingetaucht. Anschließend wurden die Holzklötze nahezu vollständig getrocknet und in Gefäßen über einem mit Pilzmyzel bewachsenem Nährmedium platziert. Die Versuchsdauer betrug zwei bis drei Monate bei 23°C. Die erzielten Abbauraten waren bei Pepton und Asparagin um einiges höher als bei Ammoniumnitrat, wobei teilweise auch bei Ammoniumnitrat eine Steigerung der Abbaurate erzielt wurde. Die Zunahme der Abbauraten betrug gegenüber der Kontrolle bei Asparagin 43 % und bei Pepton 58 %.
- Schmitz & Kaufert (1936) haben die Wirkung von Ammoniumnitrat und Asparagin auf den durch Gloeophyllum trabeum verursachten Holzabbau bei Pinus resinosa und jenen von Trametes versicolor bei Betula papyrifera getestet. Dabei wurde Ammoniumnitrat und Asparagin dem Sägemehl von Splint- bzw. Kernholz der jeweiligen Baum-/Holzart als wässrige Lösung hinzugefügt. Die Versuchsdauer betrug 3½ Monate bei 25°C. Die verwendeten N-Konzentrationen waren 0,1 %, 0,5 % und 1 %. Generell wurde Splintholz besser abgebaut als Kernholz und die besten Abbauleistungen bei Asparagin erzielt. Bei Verwendung der niedrigen Asparagin-Konzentration wurde beim Splintholz von Pinus resinosa gegenüber der Kontrolle um 8 % mehr und bei Betula papyrifera dagegen um 37 % weniger Holz abgebaut. Bei der hohen Asparagin-Konzentration wurde beim Splintholz von Pinus resinosa um 43 % und bei Betula papyrifera sogar um fast 300 % mehr Holz abgebaut als bei der Kontrolle. Bei Ammoniumnitrat ergab sich hingegen so gut wie kein positiver Effekt.
- Neustifter (1952) Holzabbauversuche bei verschiedenen führte Nadelbäumen unter Verwendung von vier verschiedenen Pilzarten durch. Neben einem Standard Malz-Agar-Nährmedium und einem Malz-Fichtenholzschliff-Nährboden wurde einem Malz-Agar-Medium Stickstoff in der Form von Pepton<sup>24</sup> zugegeben. Die Versuchsanordnung war im Prinzip die gleiche wie bei der vorliegenden Arbeit (siehe Kap. 2.4 und 2.6), d. h. der Stickstoff wurde dem Nährmedium zugeführt. Die durchgeführten Versuche waren auf ein bis vier Monate angelegt. Dabei hat sich herausgestellt, dass bei Serpula lacrymans, Coniophora puteana und Fomitopsis pinicola (alles Braunfäuleerreger) bei der Verwendung von Malz-Pepton-Agar die Abbauraten um 30 %-50 % höher waren als bei den Nährböden ohne Pepton. Hingegen war bei Trametes versicolor die Holzabbaurate bei reinem Malz-Agar geringfügig besser als bei der Zugabe von Pepton. In ähnlichen Versuchen kommt auch Bavendamm (1956) zu

Nährmedium: 25 g Malzextrakt, 20 g Pepton, 20 g Agar-Agar, 1000 ml Aqua deion.

dem Ergebnis, dass holzzerstörende Pilze, die auf Pepton ansprechen, einen stärkeren Holzabbau zeigen.

In einer Studie von Kehr et al. (2000b) wurde der Holzabbau durch *P. fraxinea* bei Birkenholzspänen untersucht. Um den Einfluss von Stickstoff messen zu können, wurden drei Versuchsvarianten getestet: nur Holzspäne, Holzspäne ergänzt mit 2%igem Malz-Agar-Medium und Stickstoff in Form von Harnstoff. Der Masseverlust wurde nach 11 Wochen bei 24°C und Dunkelheit gemessen und Betrug bei den reinen Holzspänen 3,8 %, bei der Version mit 2%igem Malz-Agar 5,2 % und bei der Version mit Harnstoff bereits 9,5 %. Für 2%igen Malz-Agar bedeutet das eine Zunahme der Holzabbauaktivität von 37 % gegenüber der Kontrolle, bei Harnstoff betrug diese sogar 150 %.

Wie bereits dargelegt, führt ein erhöhter N-Gehalt im Substrat einerseits zu einer besseren Nährstoffversorgung der holzabbauenden Pilzart und somit zumeist auch zu einer höheren Abbaurate. Andererseits weist gut stickstoffversorgtes Holz breitere Jahrringe und weitlumigere Gefäße auf und ist damit besser abbaubar. Ferner könnte es sein, dass bei guter N-Versorgung bereits ein geringeres Inokulumpotential der Pilze für eine erfolgreiche Etablierung im Substrat ausreicht, und/oder Bäume unter derartigen Bedingungen generell einem schnelleren Alterungsprozess unterworfen sind (Engels 1998).

In der Praxis wurde oft beobachtet, dass Holz in nährstoffreichen Böden schneller zerfällt. Diese Beobachtung wird damit erklärt, dass mehr Stickstoff im Bodensubstrat größere Pilzpopulationen ermöglicht, bzw. dass das Holz in solchen Fällen leichter abbaubar ist, da in nährstoffreichen Böden stickstoffhaltige Substanzen in das Holz infiltriert werden (Findlay 1934). Untersuchungen von Balder (1994) belegen, dass es durch Hundeurin im innerstädtischen Bereich zu starken N-Anreicherungen kommt (siehe Kap. 1.3.1). Dieser Umstand muss daher für wurzelbürtige Pilze eher als wachstumsfördernd, denn als –hemmend eingeschätzt werden und könnte ein Grund dafür sein, dass sich der Eschenbaumschwamm im urbanen Bereich zunehmend ausbreitet.

Daraus kann geschlossen werden, dass Stickstoff das Wachstum und den Holzabbau durch Pilze fördert. Dieser Effekt hängt aber von der Verfügbarkeit von stickstoffhaltigen Verbindungen sowie dem Vorhandensein von anderen, für den Pilz notwendigen Nährstoffen (wie z. B. Kohlenhydraten) ab (Engels 1998, Hopffgarten 1933).

Zusammenfassend kann gesagt werden, dass die Ergebnisse der vorliegenden Arbeit und der oben genannten Studien von Hopffgarten (1933), Findlay (1934), Schmitz & Kaufert (1936), Neustifter (1952), Engels (1998) und Kehr et al. (2000b) zeigen, dass höhere N-

Konzentrationen bei vielen Pilzen tendenziell zu höheren Abbauleistungen führen. Dies gilt besonders unter der Voraussetzung, dass das getestete Substrat dem natürlichen Wirtsspektrum der eingesetzten Pilzart entspricht und es nicht zu viele pilzwidrige Substanzen enthält (Engels 1998, Hopffgarten 1933).

# 4.2.3 Holzfeuchte

Zahlreiche Untersuchungen zum Zusammenhang von Holzfeuchte und Pilzwachstum bzw. Holzabbau zeigen, dass die Holzfeuchte einerseits durch die Zerstörungstätigkeit der Pilze per se beeinflusst wird: Durch Veratmung der Holzsubstanz setzen Pilze entsprechend ihrer Abbauleistung Wasser frei und erhöhen somit die Holzfeuchte. Andererseits hängt das Abbauvermögen der Pilze aber auch wesentlich von der im Holz vorherrschenden Feuchtigkeit ab (Ammer 1964, Bavendamm & Reichelt 1938, Münch 1909, Snell 1929, Snell et al. 1925). Die Untergrenze für ein erfolgreiches Pilzwachstum liegt für die meisten Pilze bei einer Holzfeuchte von etwa 30 % (Ammer 1963). Nach oben hin gibt es keine eindeutige Obergrenze. Hier reichen die Angaben von 200 %-320 %, wobei Engels (1998) bei ihren bereits erwähnten Studien zur Besiedelung und Holzzersetzung durch wurzelbürtige Pilze, bei Lindenholz mit 450 % eine sogar weit darüber liegende Holzfeuchte ermittelt hat. Zudem scheint es wichtig zu sein, dass Pilze die Möglichkeit besitzen, sich mit Sauerstoff zu versorgen bzw. mit diesem in Kontakt zu treten. Darüber hinaus ist festzuhalten, dass der optimale Holzfeuchtebereich für verschiedene Pilzarten artspezifisch sehr unterschiedlich sein kann (Ammer 1964, Böttcher & Liese 1975, Engels 1998, Metzler 1994, Schmidt et al. 1996).

In der vorliegenden Arbeit wurde die höchste Holzfeuchte von 135,7 % bei einem Prüfkörper der Esche bei der N-Konzentration von 0,351 g N/l erzielt. Bei diesem Prüfkörper wurde auch der höchste Masseverlust gemessen. Im Durchschnitt über alle Baum-/Holzarten und alle N-Konzentrationen lag die Holzfeuchte nach Versuchsende bei 57,7 %. Am höchsten waren die Holzfeuchten mit durchschnittlich 79,3 % bei der Esche (dort wurden auch die höchsten Masseverluste erzielt), bei der Robinie waren sie mit 32,9 % am niedrigsten. Somit lässt sich in der vorliegenden Arbeit ein direkter Zusammenhang zwischen Masseverlust und Holzfeuchte erkennen (Abb. 29). Allerdings gab es auch einige Prüfkörper, die bei höherer Holzfeuchte ähnliche oder gleiche Abbauraten aufwiesen, wie bei niedrigerer Holzfeuchte.

Auch Engels (1998) konnte bei ihren Studien mit Weißfäulepilzen bei Pilz-Wirt-Interaktionen mit hohen Masseverlusten einen signifikanten Zusammenhang zwischen steigendem

Masseverlust und steigender Holzfeuchte feststellen. Im Gegensatz dazu konnten Ammer (1963) und Schwarze (1995) bei ihren Untersuchungen an braunfaulem Holz nachweisen, dass dieses bei zunehmender Zersetzung seine Wasseraufnahmefähigkeit verliert. Dieser Umstand ist damit zu erklären, dass bei braunfaulem Holz im Gegensatz zu weißfaulem Holz ausschließlich Zellulose abgebaut wird, die im Gegensatz zu Lignin eine hohe Sorptionsfähigkeit aufweist. Bei Weißfäule-Erregern wie dem Eschenbaumschwamm wird hingegen durch den auch statt findenden Lignin-Abbau die Sorptionsfähigkeit des Holzes erhöht.

Ein weiterer interessanter Aspekt ist, dass auch die N-Konzentration (sowohl für alle Baum-Holzarten zusammengefasst als auch einzeln nach Art getrennt) über die Erhöhung der Abbauleistung von *P. fraxinea* einen signifikanten Einfluss auf die Holzfeuchte hatte (Tab. 17).

#### 4.2.4 Myzelbewuchs der Prüfkörper und Duranflaschen

In der Literatur wurde zum Thema Myzelbewuchs von Prüfkörpern oder Versuchsgefäßen nur eine Aussage gefunden: Baxter (1925) gibt an, dass das Myzel von *P. fraxinea* die Prüfkörper schnell überwachsen hat. In der vorliegenden Arbeit wurde nicht beobachtet, wie schnell die Prüfkörper mit Pilzmyzel bedeckt waren. Es wurde nach Ende des Abbauversuches (siehe Kap. 2.6) jedoch optisch beurteilt, in welchem Ausmaß ein Prüfkörper mit Myzel überwachsen war. Ähnlich den Ergebnissen zum Masseverlust war auch hier ein – nicht immer signifikanter – Einfluss der Baumart, der N-Konzentration und von Splint- und Kernholz zu erkennen:

- Bei der Esche waren 65 von 66 Prüfkörpern zu 100 % mit Myzel bewachsen, bei der Eiche 57 von 66 und bei der Robinie nur 12 von 66 Prüfkörpern. Prüfkörper, die gar nicht mit Myzel bewachsen waren gab es nur bei der Robinie (20 Stück).
- Bei der Esche und Eiche waren bei der Variante mit 0,351 g N/l alle Prüfkörper zu 100 % mit Myzel bewachsen.
- Bei der Eiche hatten alle Prüfkörper, die nicht zu 100 % mit Myzel bewachsen waren, auch einen höheren Kernholzanteil (optisch beurteilt). Bei der Robinie waren 7 von 10 Prüfkörpern, die auch einen Splintholzanteil aufwiesen, zu 100 % mit Myzel bewachsen.

Wenn man diese Beobachtungen dem erzielten Masseverlust gegenüberstellt, zeigt sich, dass *P. fraxinea* bei einem höheren Masseverlust tendenziell auch mehr Myzel produziert hat (Abb. 32). Es liegt daher nahe, dass günstige Versuchsbedingungen (leicht abbaubares Splintholz, gute Verfügbarkeit von Stickstoff, geringer Anteil an Extraktstoffen) die Produktion von Myzel begünstigen. Dies gilt auch für den Myzelbewuchs der Duranflaschen, auch wenn die Ergebnisse hier nicht so eindeutig wie bei den Prüfkörpern waren.

#### 4.2.5 Initiale Fruchtkörperstadien

Damit höhere Pilze Fruchtkörper bilden können, bedarf es in der Regel eines auslösenden Moments, der sich aus mehreren Faktoren, (u. a. auch solchen, die für die vegetative Entwicklung ungünstig sind), zusammensetzt. Serpula lacrymans fruktifiziert in Kultur beispielsweise, nachdem das Myzel einer (suboptimalen!) Wärme von 25°-26°C ausgesetzt wären wurde. exogene Faktoren z.B. ein Mangel (Substraterschöpfung), ausreichende Lichtintensität (insbesondere nahes UV-Licht) sowie die Zusammensetzung der Umgebungsluft (erhöhte CO, Spannung wirkt sich hemmend auf die Fruktifikation aus!) (Kreisel & Schauer 1987, Rawald 1962, Schmidt 1994). Endogene Faktoren umfassen beispielsweise das Vorhandensein von Enzymen wie Phenoloxidasen, cyclisches Adenosinmono-phosphat, oder von bestimmten Genen. Bei einer für eine Fruktifikation entscheidende Kombination von inneren und äußeren Faktoren kann diese einerseits besonders reichlich, aber auch mangelhaft auftreten. Zudem kann auch das Alter der Myzelien eine Rolle spielen (Rawald 1962, Schmidt 1994).

Bei Pilzkulturen in Schräg-Agar-Röhrchen wurde beobachtet, dass initiale Fruchtkörper vornehmlich dort auftreten, wo die Agarschicht dünner ist und schneller austrocknet, bzw. bei alten Kulturen und am Rande der Kultur, wo das Myzel auf die Gefäßwand auftritt (Rawald 1962). Im Zuge der vorliegenden Arbeit wurden Kulturen von *P. fraxinea* zwar ausschließlich in Petrischalen und Duran-Flaschen kultiviert, aber auch hier zeigten sich initiale Fruchtkörperstadien zumeist am Rand der Petrischalen oder Duran-Flaschen (Abb. 40).





Abb. 40: Bildung initialer Fruchtkörperstadien bei Pilzkulturen von *P. fraxinea* in einer Duranflasche (linke Abb. siehe Pfeil, der Flaschenhals befindet sich in Pfeilrichtung) und am Rand einer Petrischale (rechts).

Quelle: rechte Abb.: Thomas Kirisits 2012.

Eine Studie zur Entwicklung von initialen Fruchtkörperstadien bei *Schizophyllum commune* zeigte, dass auf einem stickstoffarmen Nährmedium bei Beigabe von Thiamin (Vitamin B<sub>1</sub>) initiale Fruchtkörperstadien, sogenannte Primordien, gebildet wurden. Zur weiteren Entwicklung dieser initialen Fruchtkörper benötigte der Pilz dann zunächst die Zugabe von Stickstoff und Kohlenstoff, später nur mehr die Zugabe von Kohlenstoff (Griffin 1994, Wessels 1965).

Montgomery (1936) hat den Einfluss des Nährmediums, des Inokulum-Alters sowie der Lichtund Temperaturverhältnisse auf die Bildung von initialen Fruchtkörperstadien durch *P. fraxinea* getestet, wobei sich für die o. g. Faktoren folgende Ergebnisse zeigten:

- Nährmedium: Auf 2%igem Malz-Agar-Medium, Kartoffel-Extrakt-Agar, Haferflocken-Agar, und Pflaumen-Extrakt-Agar (20 g Pflaume/Liter sowie 120 g Pflaume/Liter) wurden initiale Fruchtkörperstadien in unterschiedlichen Ausmaßen gebildet. Bei Eschen-Extrakt-Agar und Pflaumen-Extrakt-Agar mit Zugabe von Gerste wurden hingegen keine initialen Fruchtkörper gebildet.
- Alter der Inokula: Für die Versuche wurden auch harte, trockene und fünfeinhalb Monate alte Kulturen für die Gewinnung von Inokula verwendet und diese auf frischem

2%igem Malz-Agar-Medium aufgelegt. Dabei wurden aber nicht mehr oder weniger initiale Fruchtkörper gebildet als bei der Verwendung von Inokula, die von frischen Kulturen stammten.

Licht und Temperatur: diese beiden Faktoren hatten bei der o. g. Studie keinen Einfluss auf die Bildung von initialen Fruchtkörpern.

Im Zuge der vorliegenden Arbeit hat sich herausgestellt, dass bei Prüfkörpern mit einem höheren Masseverlust tendenziell weniger initiale Fruchtkörper gebildet wurden, als bei Prüfkörpern mit niedrigeren Abbauraten (Abb. 36). Die Ergebnisse im Zusammenhang mit der N-Konzentration waren weniger eindeutig: Bei Eiche und Robinie wurden bei 0,1 g N/l mehr initiale Fruchtkörper gebildet, als bei 0,351 g N/l und der Variante ohne N-Zugabe. Bei der Esche hingegen wurden die wenigsten initialen Fruchtkörper bei 0,1 g N/l gebildet, gefolgt von der 0,351 g N/l-Variante und der Variante ohne N-Zugabe.

Die Ergebnisse aus der Literatur und die eigenen Beobachtungen legen die Vermutung nahe, dass die Bildung von initialen Fruchtkörper-Stadien besonders vom Nährstoffangebot abhängig ist. Sind die Nährstoffversorgung bzw. die Umwelteinflüsse für eine Pilzart ungünstig, kommt es (ähnlich wie bei der Notfruktifikation bei Bäumen) offenbar vermehrt zur Bildung von initialen Fruchtkörpern.

### 4.2.6 Stickstoffgehalte der Prüfkörper

Nach Beendigung des Abbauversuchs wurde der Gesamtstickstoffgehalt (N,), der für den Abbauversuch verwendeten Prüfkörper getrennt nach Baum-/ Holzarten ermittelt, um festzustellen, wie sich der N-Gehalt im Holz durch den Abbauversuch geändert hat (siehe Kap. 2.7 und 3.3).

Laiho & Prescott (2004) merken an, dass die N-Konzentration im Holz während des Holzabbaus für gewöhnlich steigt. Bebber et al. (2011) unterscheiden bei ihren Untersuchungen zur Änderung des N-Gehalts im Holz während der Zersetzung zum einen die N-Konzentration (in %) und zum anderen aber auch die N-Masse (in mg). Dabei kommen sie zu dem interessanten Ergebnis, dass die N-Konzentration mit zunehmendem Abbaugrad des Holzes zwar zunimmt, die N-Masse absolut aber geringer wird (Abb. 41). Die Zunahme der N-Konzentration lässt sich durch den Masseverlust des Prüfkörpers erklären, da die *otro* Masse des

Prüfkörpers, die ja die Bezugseinheit darstellt, im Zuge des Holzabbaus abnimmt. Die Abnahme der N-Masse absolut lässt sich durch den pilzbedingten N-Entzug aus dem Substrat während des Abbauprozesses erklären.

In der vorliegenden Arbeit wurde nur die N-Konzentration (in Gew%) gemessen. Wie in der Literatur beschrieben, hatten auch hier die Prüfkörper nach dem Abbauversuch durchwegs höhere N-Gehalte als vor dem Abbauversuch. Da bei der Bestimmung des N-Gehalts aber auch der im Myzel vorhandene Stickstoff mit analysiert wird, legt dies den Schluss nahe, dass die tatsächliche N-Masse im Holz eigentlich noch etwas unter den ermittelten Analysewerten liegt, da das im Holz befindliche Myzel ebenfalls Stickstoff enthält.

Bei der Robinie wurde im Zuge der vorliegenden Arbeit der N-Gehalt auch im Splint- und Kernholz gemessen, wobei der N-Gehalt im Splintholz vor dem Abbauversuch im Durchschnitt um gute 20 % höher war als im Kernholz. Dies deckt sich mit den Angaben von Merrill & Cowling 1966), wonach Splintholz generell mehr Stickstoff enthält als Kernholz und daher auch eher von holzzerstörenden Pilzen befallen wird.

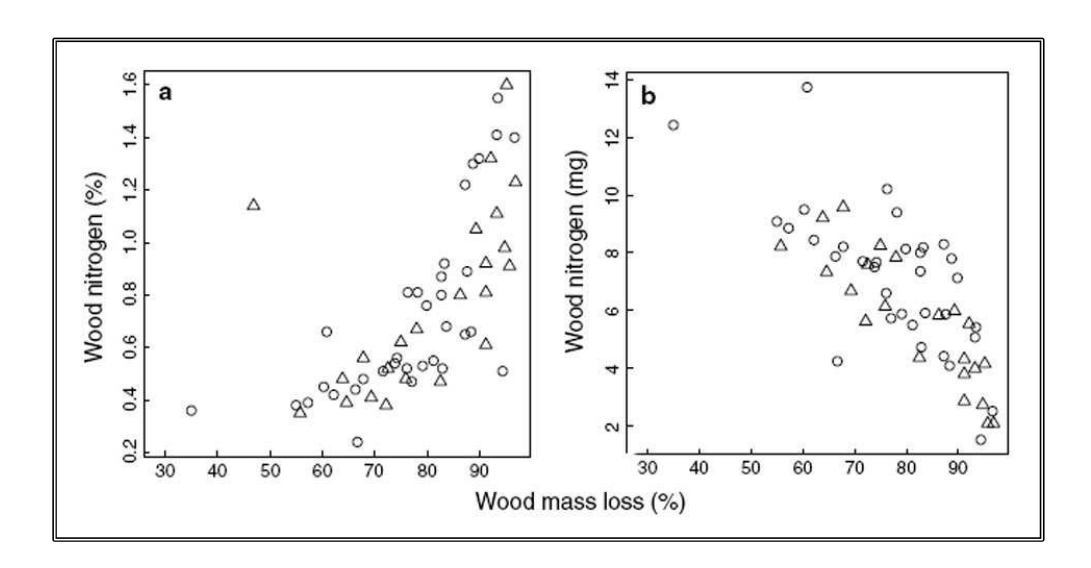


Abb. 41: Zusammenhang zwischen Stickstoffkonzentration (a) und Stickstoffmenge (b) im Vergleich zum Masseverlust des Holzes. a) N-Konzentration im Holz im Vergleich zum Masseverlust des Holzes für *Phanerochaete velutina* (r=0,61, df=57, p=0,000). b) N-Masse im Holz im Vergleich zum Masseverlust des Holzes (r=-0,76, df=54, p=0,000). Unbehandelte Blöcke (Kontrolle) sind durch Kreise, behandelte Blöcke durch Dreiecke gekennzeichnet.

Quelle: Modifiziert nach Bebber et al. 2011.

### 5 Zusammenfassung

In der vorliegenden Arbeit wurde einerseits untersucht, welchen Einfluss die Baum-/Holzart auf den durch *Perenniporia fraxinea* hervorgerufenen Holzabbau hat und andererseits die fördernde Wirkung des Stickstoffs in Hinblick auf Pilzwachstum und Holzabbau von *P. fraxinea* geprüft.

Da die N-Nutzung bei Pilzen je nach Art unterschiedlich ist, wurde zunächst ein Wachstumsversuch *in vitro* durchgeführt, um eine für den Pilz geeignete N-Quelle zu finden. In der Literatur gibt es zahlreiche Angaben, dass holzzersetzende Basidiomyceten sowohl organischen Stickstoff in Form von Aminosäuren als auch Ammonium-Stickstoff nutzen können, ersteren aber im Allgemeinen bevorzugen. Demgegenüber können nur wenige Pilze Nitrat-Stickstoff aufnahmen. Aufgrund dieser Angaben wurden für den Wachstumsversuch Ammoniumsulfat, Ammoniumtatrat und Asparagin in je zwei verschiedenen Konzentrationen (0,1 g N/l und 0,351 g N/l) verwendet. Die radiale Wachstumsrate in mm/Tag wurde für jedes Isolat über zuvor gekennzeichnete Wachstumsfronten berechnet.

Die Ergebnisse des Wachstumsversuches haben im Wesentlichen ergeben, dass *P. fraxinea* die mit Abstand beste Wachstumsleistung bei der Zugabe von Asparagin und einer hohen N-Konzentration von 0,351 g N/l zeigte. Hingegen lag der Radialzuwachs bei der geringen N-Konzentration von 0,1 g N/l unter jenem der Kontrolle. Auch die Zugabe von Ammoniumsulfat und Ammoniumtatrat führte zu keiner Zunahme der Wachstumsraten. Diese Ergebnisse haben dazu geführt, dass für den Abbauversuch als N-Quelle Asparagin ausgewählt wurde.

Im anschließenden Abbauversuch wurden, in Anlehnung an die ÖNORM EN 113, Prüfkörper der Baumarten *Robinia pseudoacacia, Fraxinus excelsior* und *Quercus robur* dem Angriff von *P. fraxinea* in Reinkultur ausgesetzt, um die Abbaurate des Pilzes festzustellen. Der Einfluss von Stickstoff wurde getestet, indem Asparagin in den Konzentrationen 0,1 g N/l und 0,351 g N/l dem Nährmedium zugefügt wurde.

Die Ergebnisse des Abbauversuchs bestätigen jene Untersuchungen, die zu dem Schluss gekommen sind, dass mehr verfügbarer Stickstoff tendenziell zu einem höheren Holzabbau führt. Am eindeutigsten waren die Ergebnisse bei der Esche, wo sich gegenüber der Kontrolle bei der Variante 0,351 g N/l eine Zunahme der Abbaurate um 63,5 % ergab. Zugleich zeigte sich, dass das Vorhandensein von Pilzhemmenden Substanzen (z. B. Extraktstoffe im Kernholz)

#### Zusammenfassung

die fördernde Wirkung des Stickstoffes in Hinblick auf Pilzwachstum und Holzabbau erheblich einschränken können.

Die Resultate der vorliegenden Arbeit und die erwähnten wissenschaftlichen Studien bestätigen, dass nicht alleine der N-Gehalt für die Förderung von Holzzerstörenden Pilzen verantwortlich ist. Vielmehr beeinflusst eine Vielzahl von Faktoren den Holzabbau durch Pilze:

- Die Art der N-Quelle, sowie deren Konzentration.
- Der pH-Wert des N\u00e4hrmediums.
- Die Verfügbarkeit anderer für die Entwicklung des Pilzes erforderlichen Nährstoffe (wie z. B. Kohlenhydrate).
- Spezifische Parameter einer Holz-/Baumart, wie die Holzanatomie, Rohdichte, oder das Vorhandensein von pilzhemmenden Substanzen (Extraktstoffe).
- Ob es sich bei dem Holz um Wurzel-, oder Stammholz handelt.

Da das Zusammenspiel dieser genannten Faktoren – besonders in Bezug auf den durch den Eschenbaumschwamm hervorgerufenen Holzabbau – noch nicht in allen Belangen erforscht wurde, bleibt innerhalb dieser Thematik genügend Spielraum für zukünftige Untersuchungen.

### Schrifttum

- AAS G., 1998: Morphologische und ökologische Variation mitteleuropäischer *Quercus*-Arten: ein Beitrag zum Verständnis der Biodiversität. Eching bei München: IHW-Verlag und Verlagsbuchhandlung.
- AAS G., 2002a: Die gewöhnliche Esche (*Fraxinus excelsior*) Dendrologische Anmerkungen. In: Kölbel M. (Red.), Bayerische Landesanstalt für Wald und Forstwirtschaft (LWF) (Hrsg.): Beiträge zur Esche. Fachtagung zum Baum des Jahres 2001. Freising: Bayerische Landesanstalt für Wald und Forstwirtschaft. 1-5.
- AAS G., 2002b: Quercus robur. In: Roloff A. (Hrsg.), Schütt P. (Begr.): Enzyklopädie der Holzgewächse. Handbuch und Atlas der Dendrologie. 30. Erg. Lfg. 12/02, Landsberg am Lech: Ecomed-Verlags-Gesellschaft.
- ADLER W., MRKVICKA A.Ch., 2003: Die Flora Wiens, gestern und heute. Die wildwachsenden Farnund Blütenpflanzen in der Stadt Wien von der Mitte des 19. Jahrhunderts bis zur Jahrtausendwende. Wien: Verlag des Naturhistorischen Museums Wien.
- ALCUBILLA M., RODENKIRCHEN H., 1985: Der Boden: Aufbau, Entstehung, Entwicklung. Naturwissenschaften im Unterricht – Physik/Chemie, 33(8), 260-266.
- AMBERGER A., 1996: Pflanzenernährung. Ökologische und physiologische Grundlagen; Dynamik und Stoffwechsel der Nährelemente. Stuttgart: Verlag Eugen Ulmer.
- AMMER U., 1963: Untersuchungen über die Sorption pilzbefallenen Holzes. Holz als Roh- und Werkstoff, 12, 465-470.
- AMMER U., 1964: Über den Zusammenhang zwischen Holzfeuchtigkeit und Holzzerstörung durch Pilze. Holz als Roh- und Werkstoff, 22, 47-51.
- Anonym, 2011: Jeder Wiener Baum hat sein Online-Profil. In: Der Standard, 05.09.2011. Abrufbar im Internet. URL:

  <a href="http://derstandard.at/1315005463557/VirtuellerBaumkataster-im-Internet-Jeder">http://derstandard.at/1315005463557/VirtuellerBaumkataster-im-Internet-Jeder</a>

  Wiener

  Baum-hat-sein-Online-Profil; [Abfrage am 24.09.2016].
- ARGE GRÜN, LOIDL, SAIKO, IVANCSICS, 1985: Gestaltungskatalog Stadtbäume. Gürtel, Süd und Westeinfahrt; im Auftrag der MA 18. Wien: ARGE Grün.

- ARNEBRANT K., 1994: Nitrogen Amendments Reduce the Growth of Extramatrical Ectomycorrhizal Mycelium. *Mycorrhiza*, 5, 7-15.
- ARON A., KAHR H., MICHELITSCH S., PIDLICH-AIGNER H., PRELICZ D., 2005: Vorläufige Rote Liste gefährdeter Großpilze der Steiermark. *Joannea Botanik*, 4, 45-80.
- ATLAS R.M., PARKS L.C. (Hrsg.), 1993: Handbook of Microbiological Media. Boca Raton [u.a.]: CRC Press, Inc.
- AUBÖCK M., RULAND G., 1994: Grün in Wien. Ein Führer zu den Gärten, Parks und Landschaften der Stadt. Mit ausführlicher Beschreibung 42 ausgewählter Anlagen. Wien: Falter Verlag.
- BADURA A., 1990: Der Einfluss des nichtsteroidalen Antiphlogistikums Meloxikam bei gesunden Hunden auf klinisches Allgemeinbefinden, okkultes Blut im Kot, Blutbild, Harnstatus, die Parameter Bilirubin, Glutamat-Dehydrogenase (GLDH), Glutamat Oxalacetat Transaminase (GOT), Glutamat-Pyruvat-Transferase (GPT), Alkalische Phosphatase (AP), [Gamma] Glutamyl-Transferase [Gamma-Glutamyl-Transferase] ([Gamma]-GT), Gesamteiweiß, Harnstoff, Kreatinin, die Elektrolyte Natrium und Kalium. Dissertation. Justus-Liebig Universität Gießen. Gießen.
- BALDER H., 1994: Schäden durch Hunde-Urin im öffentlichen Grün. Das Garten Amt. Stadt und Grün, 43(9), 621-624.
- BALDER H., EHLEBRACHT K., MAHLET E., 1997: Straßenbäume. Planen, Pflanzen, Pflegen am Beispiel Berlin. Berlin [u.a.]: Patzer Verlag.
- BALDER H., 1998: Die Wurzeln der Stadtbäume. Ein Handbuch zum vorbeugenden und nachsorgenden Wurzelschutz; mit 38 Tabellen. Berlin: Parey Buchverlag.
- BAVENDAMM W., 1956: Untersuchungen über die Möglichkeit einer Abkürzung des Klötzchenverfahrens nach DIN 52176 durch Zusatz von Pepton zum Nährboden. *Holz als Roh und Werkstoff*, 14(5), 181-185.
- BAVENDAMM W., REICHELT H., 1938: Die Abhängigkeit des Wachstums holzzersetzender Pilze vom Wassergehalt des Nährsubstrates. *Archiv für Mikrobiologie*, 9(1), 486-544.
- BAXTER D.V., 1925: Fomes fraxineus Fr. in Culture. Papers of the Michigan Academy of Science, Arts and Letters, 4(1), 55-66.
- Bebber D.P., Watkinson S.C., Boddy L., Darrah P.R., 2011: Simulated Nitrogen Deposition Affects Wood Decomposition by Cord-Forming Fungi. *Oecologia*, 167, 1177-1184.

- BERGER G., 2011: MA 42 Wiener Stadtgärten, Dezernat 6, Referat Baumsicherheit- und pflege. Mündliche Mitteilungen im November 2011.
- BERGER G., 2014: MA 42 Wiener Stadtgärten, Dezernat 6, Referat Baumsicherheit- und pflege. Mündliche Mitteilung im November 2014.
- BERTHOLD D., 2005: Soil Chemical and Biological Changes through the  $N_2$  Fixation of Black Locust (*Robinia pseudoacacia* L.) a Contribution to the Research of Tree Neophytes. Dissertation. Georg-August-Universität Göttingen. Fakultät für Forstwissenschaften und Waldökologie. Göttingen.
- BILDUNGSSERVER SACHSEN-ANHALT, 2016: Chemie. Aufgabenbeispiel zur mündlichen Prüfung in der Sekundarstufe I. Thema: Stickstoffdüngemittel. Abrufbar im Internet: URL: <a href="https://www.bildung-lsa.de/unterricht/muendliche\_pruefungen\_/aufgaben\_sekundarstufe\_i/chemie.html?INH\_ID=950">https://www.bildung-lsa.de/unterricht/muendliche\_pruefungen\_/aufgaben\_sekundarstufe\_i/chemie.html?INH\_ID=950</a> [Abfrage am 05.11.2016].
- BISEN P.S., 2014: Laboratory Protocols in Applied Life Sciences. Boca Raton: CRC Press.
- BLUME H.-P., 1996: 3.4.4.9 Böden städtisch-industrieller Verdichtungsräume. In: Blume H.P., Felix Henningsen P., Fischer W., Frede H.-G., Horn R., Stahr K. (Hrsg.), Handbuch der Bodenkunde. Lfg. 1, Weinheim: Wiley-VCH Verlag GmbH & Co. KGaA, 1-48.
- BLUME H.-P., 1997: 2.2 Boden als Standortfaktor. In: Keller E.R., Hanus H., Heyland K.- U. (Hrsg.), Handbuch des Pflanzenbaues. Band 1: Grundlagen der landwirtschaftlichen Pflanzenproduktion. Stuttgart: Verlag Eugen Ulmer GmbH & Co. 69-105.
- BOLLARD E.G., 1958: Nitrogenous Compounds in Tree Xylem Sap. In: Thimann K.V. (Ed.): The Physiology of Forest Trees. A Symposium Held at the Harvard Forest April, 1957. New York: The Ronald Press Company. 83-93.
- BÖTTCHER P., LIESE W., 1975: Zur Verkernung des Wurzelholzes von Fichte und Lärche. Forstwissenschaftliches Centralblatt, 94, 152-160.
- BRAUN C., 1990: Der Zustand der Wiener Stadtbäume. Interpretation des Kronenzustandes und vergleichende Untersuchungen des Mineralstoffhaushaltes. Wien: Magistrat der Stadt Wien , MA 22 Umweltschutz.
- BREITENBACH J., KRÄNZLIN F., 1986: Pilze der Schweiz. Beitrag zur Kenntnis der Pilzflora der Schweiz. Band 2. Heterobasidiomycetes (Gallertpilze), Aphyllophorales (Nichtblätterpilze), Gastromycetes (Bauchpilze). 528 beschriebene Arten mit Mikrozeichnungen und Farbfotos, vor allem aus der Zentralschweiz. Luzern: Verlag Mykologia. 296.

- BÜHL A., 2012: SPSS 20. Einführung in die moderne Datenanalyse. 13. Auflage, München [u.a.]: Pearson.
- CAMPBELL W.A., 1938: The Cultural Characteristics of the Species of Fomes. *Bulletin of the Torrey Botanical Club*, 65(1), 31-69.
- CARTWRIGHT K.ST.G., FINDLAY W.P.K., 1934: Studies in the Physiology of Wood-destroying Fungi. II. Temperature and Rate of Growth. *Annals of Botany*, 48(2), 481-495.
- CIERJACKS A., KOWARIK I., JOSHI J., HEMPEL S., RISTOW M., VON DER LIPPE M., WEBER E., 2013: Biological Flora of the British Isles: *Robinia pseudoacacia*. *Journal of Ecology*, 101, 1623-1640.
- CODER K.D., 1997: Tree nutrition series: Control of Nitrogen Levels in Trees. University of Georgia. Cooperative Extension Service Forest Resources. FOR97-14.
- COWLING E.B., MERRILL W., 1966: Nitrogen in Wood and its Role in Wood Deterioration. *Canadian Journal of Botany*, 44(7), 1539-1554.
- DÄMON W., 2014: Österreichische Mykologische Gesellschaft. Datenbank der Pilze Österreichs. Projekt-Koordination, Webmaster und Datenbank-Administrator. Mündliche Mitteilung im Dezember 2014.
- DANNINGER E., 1980: Untersuchungen über Abbaumechanismen holzzerstörender Pilze. Dissertation. Technische Universität Wien. Wien.
- DIX N.J., WEBSTER J., 1995: Fungal ecology. 1st Edition, London [u.a.]: Chapman & Hall.
- DÖRFELT H., RUSKE E., 2008: Die Welt der Pilze. Mit 220 farbigen Abbildungen, 82 Textfiguren und 22 Tabellen. 2. Auflage, Jena: Weissdorn-Verlag.
- DÖRFELT H., RUSKE E., 2014: Morphologie der Großpilze. Mit 112 Farbbildtafeln, Glossar und Namensregister. Berlin [u.a.]: Springer Spektrum.
- DUJESIEFKEN D., JASKULA P., KOWOL T., WOHLERS A., 2007: Baumkontrolle unter Berücksichtigung der Baumart. Bildatlas der typischen Schadsymptome und Auffälligkeiten. 1. Ausgabe [Nachdruck], Braunschweig: Haymarket Media GmbH & Co. KG.
- ENGELS J., 1998: Studien zur Besiedelung und Holzzersetzung an ausgewählten Laub- und Nadelbäumen durch wurzelbürtige Pilze. Dissertation. Albert-Ludwigs-Universität Freiburg. Fakultät der Forstwissenschaften. FZKA 6068, Karlsruhe: Forschungszentrum Karlsruhe GmbH.

- ENGELS C., MARSCHNER H., 1995: Plant Uptake and Utilization of Nitrogen. In: Bacon P.E. (Hrsg.), Nitrogen Fertilization in the Environment. New York [u.a.]: Marcel Dekker, Inc., 41-81.
- EUROPEAN UNION REPORT, 21319 EN/6, 2004: TG5-Soil Sealing, Soils in Urban Areas, Land Use and Land Use Planning.
- FEHLOW C., 2008: Zum Einfluss des Waldstandorts auf die Eigenschaften von Eichenholz im Hinblick auf die Weinbereitung in Barriquefässern. Geisenheim: Gesellschaft zur Förderung der Forschungsanstalt Geisenheim.
- FINDLAY W.P.K., 1934: Studies in the Physiology of Wood-destroying Fungi. 1. The Effect of Nitrogen Content upon the Rate of Decay of Timber. *Annals of Botany*, 48(189), 109-117.
- FLOTT J.J., GILBERTSON R.L., 1991: Cultural Studies of Four North American Species of *Perenniporia* (Aphyllophorales: Polyporaceae). *Mycological Research*, 95(7), 1113-1122.
- FREDE H.-G., BACH M., 1996: 4.4.2 Landschaftsstoffhaushalt. In: Blume H.-P., Felix- Henningsen P., Fischer W., Frede H.-G., Horn R., Stahr K. (Hrsg.), Handbuch der Bodenkunde. Lfg. 1, Weinheim: Wiley-VCH Verlag GmbH & Co. KGaA, 1-34.
- FREUDENBERG K., HARTMANN L., 1954: Inhaltsstoffe der Robinia pseudoacacia. Justus Liebigs Annalen der Chemie, 587(3), 207-212.
- GARRETT S.D., 2011: Pathogenic Root-Infecting Fungi. 1. Paperback edition, Cambridge [u.a.]: Cambridge University Press.
- GLATZEL G., KRAPFENBAUER A., 1975: Streusalzschäden am Baumbestand der Straßen in Wien. Eine Studie des Institutes für Forstliche Standortsforschung, Arbeitskreis "Standortskunde der Ziergehölze" der Hochschule für Bodenkultur in Wien. Wien: Institut für forstliche Standortsforschung.
- GÖHRE K. (Hrsg.), 1952: Die Robinie (falsche Akazie) und ihr Holz. Berlin: Deutscher Bauernverlag.
- GRIFFIN D.H., 1994: Fungal Physiology. New York [u.a.]: Wiley-Liss, Inc.
- GROSSER D., 1977: Die Hölzer Mitteleuropas. Ein mikrophotographischer Lehratlas. Berlin, Heidelberg, Berlin [u.a.]: Springer-Verlag.
- GROSSER D., 2002: Das Holz der Esche Eigenschaften und Verwendung. In: Kölbel M. (Red.), Bayerische Landesanstalt für Wald und Forstwirtschaft (LWF) (Hrsg.): Beiträge zur Esche. Fachtagung zum Baum des Jahres 2001. Freising: Bayerische Landesanstalt für Wald und Forstwirtschaft. 56-61.

- GULDER H.-J., 2002: Standortansprüche und Wurzelwerk der Esche. In: Kölbel M. (Red.), Bayerische Landesanstalt für Wald und Forstwirtschaft (LWF) (Hrsg.): Beiträge zur Esche. Fachtagung zum Baum des Jahres 2001. Freising: Bayerische Landesanstalt für Wald und Forstwirtschaft. 50-52.
- HACSKAYLO J., LILLY V.G., BARNETT H.L., 1954: Growth of Fungi on Three Sources of Nitrogen. *Mycologia*, 46(6), 691-701.
- HAWLEY L.F., FLECK L.C., RICHARDS C.A., 1924: The Relation between Durability and Chemical Composition in Wood. *Industrial and Engineering Chemistry*, 16(7), 699-700.
- HEINZE M., FIEDLER H.-J., 1992: 2. Ernährung der Gehölze. In: Lyr H., Fiedler H.-J., Tranquillini W. (Hrsg.), Physiologie und Ökologie der Gehölze. Jena [u.a.]: Gustav Fischer Verlag, 43-115.
- HELFER W., BLASCHKE M., 2002: Pilze an Esche. In: Kölbel M. (Red.), Bayerische Landesanstalt für Wald und Forstwirtschaft (LWF) (Hrsg.): Beiträge zur Esche. Fachtagung zum Baum des Jahres 2001. Freising: Bayerische Landesanstalt für Wald und Forstwirtschaft. 56-61.
- HÖLL W., TRÜB E., REHFUESS K.E., ALCUBILLA M. 1975: Konzentrationsgradienten von Stickstoff, Zuckern und Adenosintriphosphat in Stammscheiben von verschieden ernährten Fichten (*Picea abies* Karst.) aus einem Stickstoffdüngeversuch. *Forstwissenschaftliches Centralblatt*, 94, 78-88.
- HOPFFGARTEN E.-H., 1933: Beitrage zur Kenntnis der Stockfäule (*Trametes radiciperda*.). *Phytopathologische Zeitschrift*, 6(1), 1-48.
- HUNGATE R.E., 1940: Nitrogen Content of Sound and Decayed Coniferous Woods and its Relation to Loss in Weight During Decay. *Botanical Gazette*, 102(2), 382-392.
- JASCHINSKI T., 2012: Vergleichende eingehende Untersuchungen zur Diagnose von Stockfäule an Robinie. Bachelorarbeit. HAWK Hochschule für angewandte Wissenschaft und Kunst Hildesheim/Holzminden/Göttingen. Fakultät Ressourcenmanagement. Studiengang Arboristik. Göttingen.
- JENNINGS D.H., 1995: The physiology of fungal nutrition. Cambridge [u.a.]: Cambridge University Press.
- JENNINGS D.H., LYSEK G., 1999: Fungal Biology. Understanding the Fungal Lifestyle. 2<sup>nd</sup> Edition, Oxford: BIOS Scientific Publishers.
- JONES H.L., WORRALL J.J., 1995: Fungal Biomass in Decayed Wood. Mycologia, 87, 459-466.

- KÄÄRIK A., 1960: Growth and Sporulation of *Ophiostoma* and Some Other Blueing Fungi on Synthetic Media. Uppsala: A.-B. Lundequistsaka Bokhandeln.
- KEHR R., 2011: HAWK Hochschule für angewandte Wissenschaft und Kunst Hildesheim/Holzminden/Göttingen. Fakultät Ressourcenmanagement. Mündliche Mitteilungen im Dezember 2011.
- KEHR R., WOHLERS A., DUJESIEFKEN D., WULF A., 2000a: Der Eschenbaumschwamm an Robinien Diagnosemerkmale und Kultureigenschaften. In: Dujesiefken D., Kockerbeck P. (Hrsg.): Jahrbuch der Baumpflege 2000. Braunschweig: Verlag Thalacker Medien. 200-207.
- KEHR R., DUJESIEFKEN D., WOHLERS A., WULF A., 2000b: Root and butt decay of *Robinia pseudoacacia* caused by Perenniporia fraxinea. In: Backhaus G.F., Balder H., Idczak E. (Ed.), Biologische Bundesanstalt für Land- und Forstwirtschaft, Braunschweig und Berlin (Hrsg.): International Symposium on Plant Health in Urban Horticulture, Braunschweig, Germany, from May 22 to May 25, 2000. Berlin: Parey Buchverlag Berlin. 92-96.
- KERESZTESI B., 1988: I. Natural Range of Black Locust and Its Distribution in Other Countries. In: Keresztesi B. (Ed.): The black locust. Budapest: Akadémiai Kiadó.
- KIRISITS T; CECH T.L., 2016: Aktueller Wissensstand zum Eschen(trieb)sterben. In: Mitter M. (Hrsg.), Eschen(trieb)sterben und Verkehrssicherheit. Broschüre über die Informationsveranstaltung vom Mittwoch, den 6. April 2016, in Salzburg. Salzburg: Land Salzburg. 7-21. Abrufbar im Internet. URL:

  <a href="https://www.salzburg.gv.at/agrarwald/Documents/Eschentriebsterben.pdf">https://www.salzburg.gv.at/agrarwald/Documents/Eschentriebsterben.pdf</a>.
- KIRK P.M., CANNON P.F., MINTER D.W., STALPERS J.A., 2008: Ainsworth & Bisby's Dictionary of the Fungi. 10. Edition, Wallingford: CAB International.
- KLUG P., LEWALD-BRUDI M., 2012: Holzzersetzende Pilze. 1. Auflage, Bad Boll: Arbus Verlag.
- KLUG P., LEWALD-BRUDI M., 2016: Holzzersetzende Pilze. 2. Auflage, Bad Boll: Arbus Verlag.
- KOLLMANN F., 1941: Die Esche und ihr Holz. Schriftenreihe Eigenschaften und Verwertung der deutschen Nutzhölzer 1. Berlin: Verlag von Julius Springer.
- KRAHL-URBAN J., 1959: Die Eichen. Forstliche Monographie der Traubeneiche und der Stieleiche. Hamburg: Verlag Paul Parey.
- KREISEL H., SCHAUER F., 1987: Methoden des mykologischen Laboratoriums. Stuttgart [u.a.]: Gustav Fischer Verlag.

- KRIEGLSTEINER G.J. (Hrsg.), 2000: Die Großpilze Baden-Württembergs. Band 1: Allgemeiner Teil Ständerpilze: Gallert-, Rinden-, Stachel- und Porenpilze. Stuttgart: Verlag Eugen Ulmer. 565-566.
- KRIETER M., 1993: Bodenaufbau am innerstädtischen Straßenbaumstandort. Ökosystemische Aspekte und Erfahrungen aus einem praxisnahen Forschungsprojekt. *Das Gartenamt. Stadt und Grün*, 42(8), 492-499.
- KRIETER M., MALKUS A., 2000: Effects of soil physical and chemical properties on tree growth in urban areas. In: Backhaus G.F., Balder H., Idczak E. (Ed.), Biologische Bundesanstalt für Land- und Forstwirtschaft, Braunschweig und Berlin (Hrsg.): International Symposium on Plant Health in Urban Horticulture, Braunschweig, Germany, from May 22 to May 25, 2000. Berlin: Parey Buchverlag Berlin. 138-154.
- KRISAI-GREILHUBER I., 1999: Rote Liste gefährdeter Großpilze Österreichs. 2. Fassung. In: Niklfeld H. (Hrsg.), Grims F.: Rote Listen gefährdeter Pflanzen Österreichs. Graz: Austria Medien Service. 229-266.
- KUCERA P., 1995: Flora Theresiana. Über die Pflanzen des Theresianischen Parks. Wien: Stiftung Theresianische Akademie.
- KuČERA L.J., 1989: Einsatzmöglichkeiten der Kernspintomographie in der Holzforschung. Vierteljahrsschrift der Naturforschenden Gesellschaft in Zürich, 134(3), 175-196.
- LAIHO R., PRESCOTT C.E., 2004: Decay and Nutrient Dynamics of Coarse Woody Debris in Northern Coniferous Forests: A Synthesis. *Canadian Journal of Forest Research*, 34(4), 763-777.
- LEVI M.P., MERRILL W., COWLING E.B., 1968: Role of Nitrogen in Wood Deterioration. VI. Mycelial Fraction and Model Nitrogen Compounds as Substrates for Growth of *Polyporus versicolor* and Other Wood-Destroying and Wood-Inhabiting Fungi. *Phytopathology*, 58, 626-634.
- LILLY V.G., BARNETT H.L., 1951: Physiology of the Fungi. New York [u.a.]: McGraw-Hill Book Company, Inc.
- LITTKE W.R., BLEDSOE C.S., EDMONDS R.L., 1984: Nitrogen Uptake and Growth *in vitro* by *Hebeloma crustuliniforme* and Other Pacific Northwest Mycorrhizal Fungi. *Canadian Journal of Botany*, 62, 647-652.
- LOCK S., 1970: Linzer Straßenbäume. Apollo. Nachrichtenblatt der naturkundlichen Station der Stadt Linz, 21, 1-3.
- LOHWAG K., 1957: Über den Einfluß des Nährbodens auf das Wachstum holzzerstörender Pilze. Holzforschung und Holzverwertung, 9, 25-26.

- LYR H., 1962: Detoxification of Heartwood Toxins and Chlorophenols by Higher Fungi. *Nature*, 195, 289-290.
- MACHURA L., 1970: Bäume an der Straße. Ein Beitrag zum Europäischen Naturschutzjahr 1970 aus dem Institut für Naturschutz und Landschaftspflege in Wien. Graz: Österreichischer Naturschutzbund.
- MAGISTRATSABTEILUNG 42 WIENER STADTGÄRTEN (MA 42), 2016: Baumkataster der Stadt Wien. Abrufbar im Internet. URL: <a href="https://www.data.gv.at/katalog/dataset/stadtwien">https://www.data.gv.at/katalog/dataset/stadtwien</a>; [Abfrage am 27.09.2016].
- MARMANN P., 1998: Der interne Stickstoffkreislauf von Esche (*Fraxinus excelsior*) und Birke (*Betula pendula*) bei unterschiedlicher Wasserversorgung. Bayreuth: BITÖK, Wissenschaftliches Sekretariat, Universität Bayreuth Verlag.
- MARUTZKY R., ROFFAEL E., 1977: Über den Stickstoffgehalt in Holz, Rinden und Biomasse. Sein Einfluss auf die Ermittlung des Bindemittelgehalts in Spanplatten. *Holz-Zentralblatt*, 103(28), 424.
- MASANZ M., NAGL M., 1996: Ringstraßenallee. Von der Freiheit zur Ordnung vor den Toren Wiens. Wien: Verlag Franz Deuticke.
- MERRILL W., COWLING E.B., 1966: Role of Nitrogen in Wood Deterioration: Amounts and Distribution of Nitrogen in Tree Stems. *Canadian Journal of Botany*, 44(11), 1555-1580.
- METZLER B., 1994: Die Luftversorgung des Hallimasch in nassem Fichtenholz. *Nachrichtenblatt des Deutschen Pflanzenschutzdienstes*, 46, 292-294.
- MIELE C., 1941: Die Akazie (*Robinia pseudoacacia*). Anpflanzung, Pflege und Verwertung des Holzes; für Waldbesitzer und Holzindustrielle geschrieben. Berlin: Reichsnährstand Verlagsgesellschaft.
- MONTGOMERY H.B.S., 1936: A Study of *Fomes Fraxineus* and its Effects on Ashwood. *Annals of Applied Biology*, 23(3), 465-486.
- MOSHKI A., LAMERSDORF N.P., 2011: Symbiotic Nitrogen Fixation in Black Locust (*Robinia pseudoacacia* L.) Seedlings from Four Seed Sources. *Journal of Forestry Research*, 22(4), 689-692.
- MÜNCH E., 1909: Untersuchungen über Immunität und Krankheitsempfänglichkeit der Holzpflanzen. Naturwissenschaftliche Zeitschrift für Forst- und Landwirtschaft, 7(1,2,3) 54-75, 87-114, 129-160.

- NEUSTIFTER C., 1952: Kulturversuche holzzerstörender Pilze und anschließende mikroskopische Untersuchungen des abgebauten Holzes. Dissertation. Universität Wien. Philosophische Fakultät. Wien.
- NOBLES M.K., 1948: Studies in Forest Pathology. VI. Identification of Cultures of Wood-rotting Fungi. *Canadian Journal of Research*, 26(C), 281-413.
- NOBLES M.K., 1965: Identification of Cultures of Wood-inhabiting Hymenomycetes. *Canadian Journal of Botany*, 43(7), 1097-1139.
- OLBRICH St., 1908: Allee- und Straßenbäume und ihre Verwendung. Mitteilungen der Deutschen Dendrologischen Gesellschaft, 17, 108-118.
- ÖNORM EN 113, 1996: Holzschutzmittel. Prüfverfahren zur Bestimmung der vorbeugenden Wirksamkeit gegen holzzerstörende Basidiomyceten. Bestimmung der Grenze der Wirksamkeit. Deutsche Fassung. Ident mit EN 113:1996.
- ÖNORM EN 350-1, 1994: Dauerhaftigkeit von Holz und Holzprodukten. Natürliche Dauerhaftigkeit von Vollholz. Teil 1: Grundsätze für die Prüfung und Klassifikation der natürlichen Dauerhaftigkeit von Holz. Deutsche Fassung. Ident mit EN 350-1:1994.
- ÖSTERREICHISCHE MYKOLOGISCHE GESELLSCHAFT, 2016: Datenbank der Pilze Österreichs. Bearbeitet von Dämon W., Hausknecht A., Krisai-Greilhuber I. Abrufbar im Internet. URL: <a href="http://www.austria.mykodata.net">http://www.austria.mykodata.net</a> [Abfrage am 28.10.2016].
- PETERS S., 1996: Untersuchungen über die Holzeigenschaften der Stieleiche (*Quercus robur* L.) und ihre Beeinflussung durch die Bestandesdichte. Clausthal Zellerfeld: Papierflieger.
- PLATT W.D., COWLING E.B., HODGES C.S., 1965: Comparative Resistance of Coniferous Root Wood and Stem Wood to Decay by Isolates of *Fomes annosus*. *Phytopathology*, 55, 1347-1353.
- RAWALD W. 1962: Zur Fruchtkörperbildung höherer Pilze in künstlicher Kultur. Zeitschrift für Pilzkunde, 27, Sonderheft 2-4, 83-87.
- REHNERT M., BÖCKER R., 2008: Untersuchungsgebiet Südlicher Schönbuch: lignicole Pilze an Robinia pseudoacacia L. im Vergleich zu Stadt- und Alleebäumen. Berichte des Institutes für Landschafts- und Pflanzenökologie der Universität Hohenheim, 17, 189-198.
- ROFFAEL E., STEGMANN G., 1983: Bedeutung der Holz-Extraktstoffe in chemisch technologischer Hinsicht. Adhäsion, 27, 7-11 und 14-19.

- ROLOFF A., PIETZARKA U., 1997: Fraxinus excelsior. In: Roloff A. (Hrsg.), Schütt P. (Begr.): Enzyklopädie der Holzgewächse. Handbuch und Atlas der Dendrologie. 7. Erg. Lfg. 3/97, Landsberg am Lech: Ecomed-Verlags-Gesellschaft.
- SCHEFFER F., SCHACHTSCHABEL P., BLUME H.-P., 2010: Lehrbuch der Bodenkunde. 16. Auflage, Heidelberg: Spektrum Akademischer Verlag.
- SCHESTAG C., 1988: Mineralstoffverteilung und Reservestoffhaushalt streusalzbelasteter Wiener Alleebäume. Dissertation. Universität Wien. Formal- und Naturwissenschaftliche Fakultät. Wien.
- SCHMIDT O., 1994: Holz- und Baumpilze. Biologie, Schäden, Schutz, Nutzen. Berlin [u.a.]: Springer Verlag.
- SCHMIDT, O., LIESE W., & MORETH, U., 1996: Decay of Timber in a Water Cooling Tower by the Basidiomycete *Physisporinus vitreus*. *Material und Organismen*, 30, 161-177.
- SCHMITZ H. & KAUFERT F., 1936: The Effect of Certain Nitrogenous Compounds on the Rate of Decay of Wood. *American Journal of Botany*, 23(10), 635-638.
- SCHUBERT S., 2006: Pflanzenernährung. Stuttgart: Verlag Eugen Ulmer.
- SCHÜTT P., 1994: Robinia pseudoacacia. In: Roloff A. (Hrsg.), Schütt P. (Begr.): Enzyklopädie der Holzgewächse. Handbuch und Atlas der Dendrologie. Landsberg am Lech: Ecomed-Verlags Gesellschaft.
- SCHWARZE F.W.M.R., 1995: Entwicklung und biomechanische Auswirkungen von holzzersetzenden Pilzen in lebenden Bäumen und in vitro. Dissertation. Albert Ludwigs-Universität Freiburg. Institut für Forstbotanik und Baumphysiologie. Erndtebrück: SVK-Verlag.
- SCHWARZE F.W.M.R., ENGELS J., MATTHECK C., 2011: Holzzersetzende Pilze in Bäumen. Strategien der Holzzersetzung. 2. Auflage, Freiburg im Breisgau [u.a.]: Rombach Verlag KG.
- Schweingruber F.H., 1990: Mikroskopische Holzanatomie. Formenspektren mitteleuropäischer Stamm- und Zweighölzer zur Bestimmung von rezentem und subfossilem Material. 3. Auflage, Birmensdorf: Eidgenössische Forschungsanstalt für Wald, Schnee und Landschaft. F. Flück-Wirth.
- SEEGMÜLLER S., 1999: Der Einfluss von Mykorrhizen, atmosphärischem Kohlendioxid und Wassermangel auf das Wachstum und die Schwefel- und Stickstoffernährung der Stieleiche (*Quercus robur* L.). 1. Auflage, Frankfurt/M: Wissenschafts-Verlag Dr. Wigbert Maraun.

- SHEPPARD P.R., 2012: The University of Arizona, Academic Department Geography and Regional Development. Mündliche Mitteilung im Jänner 2012.
- SNELL W.H., 1929: The Relation of the Moisture Contents of Wood to its Decay. III. American Journal of Botany, 16(7), 543-546.
- SNELL W.H., HOWARD N.O., LAMB M.V., 1925: The Relation of Moisture Contents of Wood to its Decay. *Science*, 62(1608), 377-379.
- SOLANSKY S., 1982: Stickstoffdynamik und Stickstoffverluste im Boden. Die Bodenkultur. Journal für Landwirtschaftliche Forschung, 33(3), 185-201.
- STAHR K., STASCH D., BECK O., 2003: Entwicklung von Bewertungssystemen für Bodenressourcen in Ballungsräumen. Forschungsbericht FZKA-BWPLUS. Universität Hohenheim, Institut für Bodenkunde und Standortlehre, Hohenheim.
- STALPERS J.A., 1978: Identification of Wood-inhabiting Aphyllophorales in Pure Culture. Baarn: Centraalbureau voor Schimmelcultures.
- STARKL J., 1983: Erfahrungen zur Züchtung und Anzucht des Stadtbaumes. In: Gälzer R. (Hrsg.): Der Baum in der Stadt. Seminarreihe, Schönbrunner Gespräche 1983. Wien: Österreichische Gesellschaft für Landschaftsplanung und Landschaftsarchitektur. 39-44.
- STEINBERG R.A., (1939) Growth of Fungi in Synthetic Nutrient Solutions. *The Botanical Review*, 5(6), 327-350.
- SZCZEPKOWSKI A., 2004: Perenniporia fraxinea (Fungi, Polyporales), A New Species for Poland. Polish Botanical Journal, 49(1), 73-77.
- TESCHE M., HANAUSKA D., 1981: Untersuchungen zum Pilzbefall an Robinie (Robinia pseudoacacia L.) im Stadtgebiet Dresden. Tagungsbericht 1. Leipziger Symposium urbane Ökologie, 33-36.
- TROLLDENIER G., 1971: Bodenbiologie. Die Bodenorganismen im Haushalt der Natur. Stuttgart: Franckh'sche Verlagshandlung, W. Keller & Co.
- TÜRK H.-P. (Bearb.), 1974: Straßengrün im verbauten Gebiet. Gestaltungsvorschläge und Hinweise für Bebauungs- und Flächenwidmungspläne. Linz: Amt der Oberösterreichischen Landesregierung, Abteilung Raumordnung und Landesplanung.
- WAWRIK H., 1997: Robiniensterben. Unbekannte Krankheit oder nur Kulturfehler? *Stadt und Grün.*Das Gartenamt, 46(2), 125-129.

### Schrifttum

WESSELS J.G.H., 1965: Morphogenesis and Biochemical Processes in *Schizophyllum commune*. *Wentia*, 13(S1), 1-113.

WITZIGMANN J., 1940: Harnuntersuchungen bei den Haussäugetieren. Hannover: M. & H. Schaper.

# Abbildungsverzeichnis

Abb. 1: Fruchtkörper von P. fraxinea am Stammfuss von R. pseudoacacia
Abb. 2: Anzahl der in Wien öffentlich wachsenden Robinien in Abhängigkeit vom geschätzten
bzw. tatsächlichen Pflanzjahr. Die in Wiener Parkanlagen gepflanzten Robinien wurden nicht
berücksichtigt. (Anm.: Das Alter der einzelnen Bäume wurde aufgrund des Stammumfanges
geschätzt. Erst seit 2006 ist das genaue Pflanzjahr bekannt)3
Abb. 3: Stickstoffkreislauf7
Abb. 4: Die Hauptstickstoffverbindungen, die den Pilzen unter natürlichen Bedingungen zur
Verfügung stehen (mit Ausnahme von Chitin) und die Darstellung der N-Umwandlung im
Inneren des Pilzes. Die gestrichelten Linien stellen einzelne Prozesse des Stoffwechsels
vereinfacht dar 13
Abb. 5: Fruchtkörper (siehe Pfeile) von P. fraxinea am Stammfuss von Populus im Wiener
Prater 15
Abb. 6: Fruchtkörper von P. fraxinea. linke Abb. oben: Fruchtkörper an Robinia pseudoacacia
mit hellem Zuwachsrand. rechte Abb. oben: Fruchtkörper am Stammfuß von Quercus robur mit
weißem Sporenpulver im Botanischen Garten Wien. Abb. unten: Fruchtkörper am Stammfuß
von Fraxinus excelsior im Wiener Prater 18
Abb. 7: Porenschicht von P. fraxinea 19
Abb. 8: Reinkulturen von P. fraxinea auf Malzextrakt-Agar. Bei der linken Petrischale wurde
die weitere Entwicklung des Pilzmyzels durch eine Lagerung bei +6°C gestoppt 20
Abb. 9: Gespaltener Stamm einer Robinie mit auf den Wurzel- und Stammbereich begrenzter
Fäule durch <i>P. fraxinea</i> 21
Abb. 10: Schematische Darstellung der Bildung von Primordien bei Basidiomyceten 21
Abb. 11: Prüfkörper von Fagus (links oben), Fraxinus (rechts oben), Quercus (links unten) und
Robinia (rechts unten) nach 18-wöchigem Holzabbau durch P. fraxinea 21
Abb 12. Älteste Robinie Europas im Theresianischen Park in Wien

Abb. 13: Verbreitung von Robinia pseudoacacia in Wien 24
Abb. 14: Verbreitung von Fraxinus excelsior in Wien 26
Abb. 15: Verbreitung von <i>Quercus robur</i> in Wien (graue Flächen) 28
Abb. 16: Prüfkörper ( <i>Robinia</i> ) mit variablem Splintholzanteil (links im Bild) 30
Abb. 17: Bestimmung des Volumens eines Prüfkörpers 31
Abb. 18: Durchführung der Wachstumsmessungen: linke Abb.: Myzel-Wachstum von <i>P. fraxinea</i> innerhalb von 9 Tagen, rechte Abb.: Vor Beginn des Versuches wurden zwei orthogonale Linien (A, B) gezogen; Kreis C markiert die Wachstumsfront vor dem eigentlichen Wachstumsversuch; Kreis D markiert die Wachstumsfront nach Ablauf des Wachstumsversuches
Abb. 19: Für die Sterilisierung in Polyethylen-Folie eingeschweißte Prüfkörper (links) und Plastikunterlagen (rechts)
Abb. 20: Mit Malzextrakt-Agar befüllte und mit <i>P. fraxinea</i> beimpfte Duranflaschen. Um nach der Abkühlphase des Nährbodens eine Belüftung der Duranflaschen zu gewährleisten, wurden diese um 180° gedreht und bis zum Einbau der Prüfkörper in der Impfbank im Umluft-Luftstrom gelagert
Abb. 21: Eingebauter Prüfkörper ( <i>F. excelsior</i> links, <i>R. pseudoacacia</i> rechts) auf Plastikunterlagen (weiß) als Abstandshalter
Abb. 22: Lagerung der Duranflaschen in einem Phytotron 39
Abb. 23: Abb. oben: Zu 100 % mit Myzel be-wachsene Duranflasche nach dem Abbauversuch. Abb. unten: Myzelwachstum nach 18-wöchigem Holz-abbau 39
Abb. 24: Holzabbau durch <i>P. fraxinea</i> . Abb. oben: Prüfkörper: <i>R. pseudoacacia</i> , N-Konzentration im Nährboden: 0,351 g N/l, Myzelbewuchs: 5 %, die Hyphen bilden ein feines Geflecht. Abb. Mitte: Prüfkörper: <i>R. pseudoacacia</i> , N-Konzentration im Nährboden: 0,351 g N/l, Myzelbewuchs: 45 %, teilweise dicht anliegend, leicht filzig. Abb. unten: Prüfkörper: <i>Q. robur</i> , kein zu-sätzlicher Stickstoff im Nährboden, Myzelbewuchs: 100 %, dicht

Abb. 25: Boxplot-Diagramm (Median, Bereich zwischen der 25. und 75. Perzentile sowie
Ausreißer) des Radialzuwachses/Tag von P. fraxinea in Abhängigkeit von N-Quelle und N
Konzentration 4
Abb 26. Powelet Diegramm (Median Persiah gwischen der 25 und 75 Dergantile cowi
Abb. 26: Boxplot-Diagramm (Median, Bereich zwischen der 25. und 75. Perzentile sowi
Ausreißer) des Masseverlusts in Prozent bei Prüfkörpern der Esche, Eiche und Robinie in
Abhängigkeit von der N-Konzentration 5
Abb. 27: Streudiagramm mit Regressionsgeraden zur Darstellung des Zusammenhang
zwischen Masseverlust und dem Splintholzanteil der Prüfkörper aus Robinie (R
Linear = 0,566) 5
Abb 29. Powelet Diegramm (Median Persiah gwischen der 25 und 75 Dergantile cowi
Abb. 28: Boxplot-Diagramm (Median, Bereich zwischen der 25. und 75. Perzentile sowie
Ausreißer) des Feuchtegehalts der Prüfkörper (Holzfeuchte) von Esche, Eiche und Robinie be
Beendigung des Abbauversuchs nach 18 Wochen in Abhängigkeit von der N-Konzentration. 60
Abb. 29: Streudiagramm mit Regressionsgeraden zur Darstellung des Zusammenhang
zwischen Holzfeuchte und Masseverlust der Prüfkörper aus Esche, Eiche und Robinie (nu
Kernholz) nach Holzabbau durch <i>P. fraxinea</i> . (R² Linear = 0,660) 6
All 20 M = 11 = 1 - D = 0 = 0 = (- 0/) =
Abb. 30: Myzelbewuchs der Prüfkörper (in %), getrennt nach Esche, Eiche und Robinie (nu
Kernholz) 6
Abb. 31: Anzahl der Prüfkörper aus Esche Eiche und Robinie (nur Kernholz), die zu 100 % mi
Myzel überwachsen waren, in Abhängigkeit von der jeweiligen N-Konzentration in
Nährmedium6
Abb. 32: Zusammenhang zwischen der Myzelfläche am Holz und dem Masse-verlust be
Prüfkörpern aus Esche und Eiche nach erfolgtem Holzabbau durch <i>P. fraxinea</i> in Abhängigkei
von der Stickstoffkonzentration im Nährboden 6-
von der Stickstoffkonzentration im Namboden.
Abb. 33: Myzelbewuchs an den Innenseiten der Duranflaschen (in %) getrennt nach Esche
Eiche und Robinie (nur Kernholz) 6
Abb. 34: Anzahl der Duranflaschen, deren Innenseiten zu 90-100 % mit Myzel bewachser
waren, in Abhängigkeit von der jeweiligen N-Konzentration im Nährmedium (die Ergebniss
beziehen sich auf Duranflaschen mit Prüfkörpern aus Esche und Eiche) 6'

Abb. 35: Zusammenhang zwischen der Myzelfläche an den Innenseiten einer Duranflasche und
dem Masseverlust bei Prüf-körpern aus Esche und Eiche nach dem Holzabbau durch
P. fraxinea 68
Abb. 36: Anzahl der gebildeten initialen Fruchtkörperstadien in Abhängigkeit von den
getesteten N-Konzentrationen (links) und vom gemessenen Masseverlust (rechts), getrennt
nach Baum-/Holzart 72
Abb. 37: Zusammenhang zwischen Myzelbewuchs am Prüfkörper und der Kontamination
durch Fremdpilze an der Prüfkörperoberfläche für die Prüfkörper aus Eiche und Robinie 73
Abb. 38: Vergleich der $N_{\mbox{\tiny t}}\text{-}Gehalte (in \%)$ der Prüfkörper getrennt nach Baum-/Holzarten vor
(N=24) und nach dem Abbauversuch (N=61) 76 $$
Abb 20. Outgesheitte von Duisträmsen den Eiche noch dem Abbeutzensuch Duisträmsen
Abb. 39: Querschnitte von Prüfkörpern der Eiche nach dem Abbauversuch. Prüfkörper
1/Qa15 Stf. (links) besteht fast nur aus Kernholz. Die Prüfkörper 1/Qc01 (Mitte) und 1/Qc07
(rechts) bestehen aus Splintholz 88
Abb. 40: Bildung initialer Fruchtkörperstadien bei Pilzkulturen von P. fraxinea in einer
Duranflasche (linke Abb. siehe Pfeil, der Flaschenhals befindet sich in Pfeilrichtung) und am
Rand einer Petrischale (rechts) 97
Abb. 41: Zusammenhang zwischen Stickstoffkonzentration (a) und Stickstoffmenge (b) im
Vergleich zum Masseverlust des Holzes. a) N-Konzentration im Holz im Vergleich zum
Masseverlust des Holzes für Phanerochaete velutina (r = 0,61, df = 57, p = 0,000). b) N-Masse
im Holz im Vergleich zum Masseverlust des Holzes ( $r=-0.76$ , $df=54$ , $p=0.000$ ).
Unbehandelte Blöcke (Kontrolle) sind durch Kreise, behandelte Blöcke durch Dreiecke
gekennzeichnet 99

## Tabellenverzeichnis

Tab. 1: Überblick über die herangezogenen Isolate von P. fraxinea 22
Tab. 2: Überblick über die gemessenen pH-Werte des für den Wachstumsversuch verwendeten Nährmediums je nach N-Quelle und N-Konzentration 33
Tab. 3: Überblick über die gemessenen pH-Werte, der für den Abbauversuch hergestellten MEA-Varianten (n=11)
Tab. 4: Überblick über die verwendeten Stickstoffquellen und Konzentrationen 34
Tab. 5: Überblick über die Aufteilung der Prüfkörper auf die endsprechende Holzart 36
Tab. 6: Ergebnis der Univariaten Varianzanalyse zur Überprüfung des Einflusses von N-Quelle und N-Konzentration auf den Radialzuwachs von <i>P. fraxinea in vitro</i> 44
Tab. 7: Ergebnisse der Post-Hoc Mehrfachvergleiche der Wachstumsraten von <i>P. fraxinea in vitro</i> in Abhängigkeit der N-Quelle gemittelt über die Stickstoffkonzentrationen im Vergleich zur Kontrolle
Tab. 8: Ergebnisse der Post-Hoc Mehrfachvergleiche der Wachstumsraten von <i>P. fraxinea in vitro</i> in Abhängigkeit von der N-Konzentration gemittelt über alle Stickstoffquellen im Vergleich zur Kontrolle ("kein N").
Tab. 9: Mittelwerte der Wachstumsraten (Radialzuwachs in mm/Tag) von Reinkulturen von <i>P. fraxinea</i> in Abhängigkeit von N-Quelle und N-Konzentration (Mittelwerte mit unterschiedlichen Kennbuchstaben unterscheiden sich signifikant auf dem 5%-Niveau) 46
Tab. 10: Ergebnis der Univariaten Varianzanalyse (Zwischensubjekteffekte) zur Überprüfung des Einflusses von Baum-/Holzart, N-Konzentration und Stammhöhe auf den durch <i>P. fraxinea</i> hervorgerufenen Masseverlust der Prüfkörper aus Esche, Eiche und Robinie 49
Tab. 11: Ergebnis der Einfaktoriellen ANOVA zur Überprüfung des Einflusses der N-Konzentration auf den durch <i>P. fraxinea</i> hervorgerufenen Masseverlust in Prozent bei Prüfkörpern der Eiche 50

Tab. 12: Ergebnisse der Post-Hoc Mehrfachvergleiche der Abbauraten (Masseverlust in %) an
Prüfkörpern von Esche, Eiche und Robinie durch P. fraxinea in Abhängigkeit von der N-
Konzentration 51
Tab. 13: Mittelwerte des durch <i>P. fraxinea</i> hervorgerufenen prozentualen Masseverlusts an Prüfkörpern von Esche, Eiche und Robinie (nach 18 Wochen) (Mittelwerte mit unterschiedlichen Kennbuchstaben unterscheiden sich signifikant auf dem 5%-Niveau) 52
Tab. 14: Ergebnis des T-Tests zur Überprüfung der Unterschiede zwischen den durch <i>P. fraxinea</i> hervorgerufenen Abbauraten der Prüfkörper aus Robinie mit und ohne variablen Splintholzanteil
Tab. 15: Mittelwerte des durch <i>P. fraxinea</i> hervorgerufenen prozentualen Masseverlusts an Prüfkörpern von Robinie (Kernholz) und Robinie (Prüfkörper mit Splintholzanteil) (nach 18 Wochen)
Tab. 16: Ergebnis der einfachen linearen Regressionsanalyse zur Überprüfung des Einflusses des Splintholzanteils auf den durch <i>P. fraxinea</i> hervorgerufenen Masseverlust der Prüfkörper aus Robinie 55
Tab. 17: Ergebnis der Univariaten Varianzanalyse (Zwischensubjekteffekte) zur Überprüfung des Einflusses von Baum-/Holzart, N-Konzentration und Stammhöhe auf den Feuchtgehalt der Prüfkörper aus Esche, Eiche und Robinie 57
Tab. 18: Ergebnisse der Post-Hoc Mehrfachvergleiche der Holzfeuchte (in %) der Prüfkörper aus Esche, Eiche und Robinie in Abhängigkeit von der N-Konzentration 58
Tab. 19: Mittelwerte der prozentualen Holzfeuchte der Prüfkörper von Esche, Eiche und Robinie, bei Beendigung des Abbauversuchs nach 18 Wochen (Mittelwerte mit unterschiedlichen Kennbuchstaben unterscheiden sich signifikant auf dem 5%-Niveau) 59
Tab. 20: Ergebnis des T-Tests zur Überprüfung der Unterschiede zwischen den Holzfeuchten der Prüfkörper aus Robinie mit und ohne variablen Splintholzanteil 59
Tab. 21: Ergebnis der Einfaktoriellen ANOVA zur Überprüfung des Einflusses der N-Konzentration im Nährmedium auf den durch <i>P. fraxinea</i> hervorgerufenen Myzelbewuchs auf den der Prüfkörpern aus Esche, Eiche und Robinie.—————62
Tab. 22: Ergebnis der Einfaktoriellen ANOVA zur Überprüfung des Einflusses von N-Konzentration auf den durch <i>P. fraxinea</i> hervorgerufenen Myzelbewuchs der Duranflaschen.

Die Auswertung der Duranflaschen erfolgte getrennt nach den in den Duranflaschen
vorhandenen Prüfkörpern aus Esche, Eiche und Robinie 65
Tab. 23: Ergebnisse der Post-Hoc Mehrfachvergleiche des Myzelbewuchses (durch P. fraxinea)
der Duranflaschen in Abhängigkeit von der N-Konzentration im Nährmedium getrennt nach
den getesteten Baum-/Holzarten 66
Tab. 24: Ergebnisse der Chi-Quadrat-Tests zur Prüfung des Einflusses von Baum-/Holzart
und N-Konzentration auf die Bildung von initialen Fruchtkörperstadien durch P. fraxinea 70
Tab. 25: Ergebnisse des U-Tests nach Mann-Whitney zur Prüfung von Zusammenhängen
zwischen dem durch P. fraxinea hervorgerufenen Masseverlust an Prüfkörpern aus Esche,
Eiche und Robinie und der Bildung von initialen Fruchtkörperstadien 70
Tab. 26: Gebildete Mediane für die Abbauraten durch P. fraxinea bei gebildeten und nicht
gebildeten initialen Fruchtkörperstadien 70
Tab. 27: Ergebnis der Einfaktoriellen ANOVA zur Überprüfung des Einflusses von Baum-
/Holzart, N-Konzentration und Stammhöhe auf den N-Gehalt der Prüfkörper aus Esche,
Eiche und Robinie vor und nach dem Abbauversuch 75
Tab. 28: Ergebnisse der Post-Hoc Mehrfachvergleiche der N <sub>.</sub> -Gehalt der Prüfkörper aus Esche,
Eiche und Robinie vor und nach dem Abbauversuch, in Abhängigkeit von der Baum-/Holzart.
75
Tab. 29: Mittelwerte des N <sub>r</sub> -Gehaltes (in %) der Prüfkörper aus Esche, Eiche und Robinie in
Abhängigkeit von den getesteten N-Konzentrationen im Nährboden nach dem Abbauversuch.
77
Tab. 30: Ergebnisse des Mittelwertvergleichs der N,-Gehalte der Prüfkörper aus Esche, Eiche
und Robinie vor und nach dem Abbauversuch mittels T-Tests 78
Tab. 31: Mittelwerte des $N_t$ -Gehaltes in Gew% der Prüfkörper aus Esche, Eiche und Robinie
vor und nach dem Abbauversuch 79
Tab. 32: Erzielte Holzabbauraten (Surface-block-Methode) bei verschiedenen
Weißfäuleerregern an Buchenholz nach 4 Monaten Inkubationszeit bei Zimmertemperatur
(18°-20°C) bzw. 25°C 85

# Verzeichnis der Abkürzungen und Zeichen

Abb.	Abbildung	mm	Millimeter
Am-t	Ammoniumtatrat	Мо	Molybdän (Nährstoff)
Asn	Asparagin	mval	Milliäquivalent
В	Breite	N (Statistik)	Stichprobenanzahl
Bearb.	Bearbeiter	N	Stickstoff
Begr.	Begründer	$N_{t}$	Gesamt-Stickstoff-Menge
bzw.	Beziehungsweise	$N_2$	molekularer Stickstoff
Co	Kobalt	$N_2^{}$ O	Distickstoffmonoxid
CO <sub>2</sub>	Kohlendioxid	NH <sub>3</sub>	Ammoniak
cm	Zentimeter	NH <sub>4</sub> <sup>+</sup>	Ammonium
df	Anzahl der Freiheitsgrade	NO	Stickstoffmonoxid
d.h.	das heißt	NO <sub>3</sub>	Nitrat
dl	Deziliter	o.g.	oben genannt
d.s.	das sind	otro	Ofentrocken
ed.	Editor	p	Signifikanzwert
Erg. Lfg.	Ergenzungslieferung	ppm	parts per million
et al.	und andere (Autoren)	r	Korrelationskoeffizient
etc.	Etcetera	Red.	Redakteur
F (bei ANOVA)	Fallzahl	sp.	Spezies
F (bei T-Test)	F-Wert	Stf.	Stammfuß
Fe	Eisen	s.u.	siehe unten
g	Gramm	Syn.	Synonym
Gew%	Gewichtsprozent	Т	Prüfgröße
Н	Höhe	Tab.	Tabelle
ha	Hektar	TSNN	Total solutable non-
HN	Harnstoff		proteinogenic Nitrogen
Hrsg.	Herausgeber	UV-Licht	Ultraviolettes-Licht
Кар.	Kapitel	u.a.	unter anderem
kg	Kilogramm	vgl.	Vergleich
K <sub>2</sub> HPO <sub>4</sub>	Dikaliumhydrogenphosphat	μmol	Mikromol
L	Länge	z.B.	zum Beispiel
1	Liter	•	Grad
m	Meter	°C	Grad Celsius
MEA	Malz-Extrakt-Agar	&	und
mg	Milligramm	%	Prozent
MgSO <sub>4</sub> 7H <sub>2</sub> O	Magnesiumsulfat Heptahydrat		

## Anhang

- A) Berechnung der N-Gehalte der in der Arbeit verwendeten N-Quellen
- B) Berechnungen des Stickstoffgehaltes von Harnstoff
- C) Ergebnisse der Auswertungen zu Masseverlust und Holzfeuchte unter Berücksichtigung aller Prüfkörper der Eiche
- D) Analysen zu Kontamination durch Fremdpilze an der Prüfkörperoberfläche
- E) Stickstoffkonzentrationen in Boden und Holz

# A) Berechnung der N-Gehalte der in der Arbeit verwendeten N-Quellen

Im Folgenden wird beschrieben wie von den in der Arbeit verwendeten N-Quellen der N-Gehalt berechnet wird. Daraus ließ sich die Dosierung der N-Quellen für die verschiedenen Versuche ableiten.

Wie bereits im Kapitel 1.5 angeführt hat Käärik (1960) Wachstumsversuche mit verschiedenen Bläuepilzen durchgeführt und den Einfluss verschiedener organischer und anorganischer N-Quellen untersucht. Dabei wurden die verschiedenen N-Quellen der Nährlösung mengenmäßig so hinzugefügt, dass sie dem N-Gehalt von 1,25 g Asparagin auf 11 Lösung entsprechen.

Die grundsätzlich zu beantwortende Frage war: Wieviel Stickstoff enthält **1,25 g** Asparagin? Des Weiteren ergaben sich folgende Fragen:

- 1. Frage: Wie viel Gramm der jeweiligen N-Quelle braucht man, um den N-Gehalt von 1,25 g Asparagin zu erhalten?
- 2. Frage: Wieviel Gramm der jeweiligen N-Quelle braucht man, um einen N-Gehalt von **0,1 g N/l** zu erhalten?
- 3. Frage: Wieviel Gramm der jeweiligen N-Quelle braucht man, um einen N-Gehalt von 0,351 g N/l zu erhalten?

#### Asparagin

Um zu berechnen wieviel Stickstoff 1,25 g Asparagin enthalten muss zunächst die molare Masse von Asparagin berechnet werden. Dafür wird dessen Summenformel benötigt:  $C_4H_8N_2O_3$ . Von jedem Element wird die molare Masse ermittelt und mit der Indexzahl (wenn vorhanden) multipliziert. Danach werden die Einzelergebnisse der Elemente addiert.

Nachkommend wird dementsprechend die molare Masse für Asparagin berechnet:

Kohlenstoff (C): 12 mal 4 ist 48 Wasserstoff (H): 1 mal 8 ist 8 Stickstoff (N): 14 mal 2 ist 28 Sauerstoff (O): 16 mal 3 ist 48

Somit ergibt die sich Summe 132 g/mol. 132 g Asparagin enthalten 28 g Stickstoff.

Für die weitere Berechnung wird der Dreisatz benötigt:

1,25 g Asparagin enthalten 0,26 g Stickstoff.

Zur Beantwortung der 2. Frage:

Zuerst wird berechnet wieviel Gramm Stickstoff 1 g Asparagin enthält:

Danach wird berechnet wieviel Gramm Asparagin 0,1 g N enthalten:

Um eine Lösung (11) mit 0,1 g N herzustellen, benötigt man 0,4 7 g Asparagin.

Zur Beantwortung der 3. Frage:

Um eine Lösung (11) mit 0,351 g N herzustellen, benötigt man 1,6 6 g Asparagin.

### Ammoniumsulfat

Bei den Berechnungen zu Asparagin hat sich herausgestellt, dass 1,25 g Asparagin 0,26 N enthalten.

Folglich die Beantwortung der 1. Frage:

Zunächst wird wieder die molare Masse berechnet, wofür die Summenformel von Ammoniumsulfat benötigt wird: (NH<sub>4</sub>),SO<sub>4</sub>

Stickstoff (N): 14 mal 2 ist 28 Wasserstoff (H): 1 mal 8 ist 8

Schwefel (S): 32,1

Sauerstoff (O): 16 mal 4 ist 64

Somit ergibt sich die Summe 132,1 g/mol. 132,1 g Ammoniumsulfat enthalten 28 g Stickstoff.

Für die weitere Berechnung wird wieder der Dreisatz verwendet:

Um einen N-Gehalt von 0,26 g zu erhalten benötigt man 1,23 g Ammoniumsulfat.

Da die molare Masse von Ammoniumsulfat nahezu ident mit der molaren Masse von Asparagin ist, ergeben sich für die 2. Und 3. Frage dieselben Werte wie bei Asparagin. **Demnach 0,4** 7 g bzw. 1,6 6 g Ammoniumsulfat.

#### Ammoniumtatrat

Beantwortung der 1. Frage:

Analog zu den bisherigen Berechnungen muss zunächst wieder die molare Masse von Ammoniumtatrat berechnet werden. Die Summenformel von Ammoniumtatrat ist  $C_4H_{12}N_2O_6$ 

Kohlenstoff (C): 12 mal 4 ist 48 Wasserstoff (H): 1 mal 12 ist 12 Stickstoff (N): 14 mal 2 ist 28

Sauerstoff (O): 16 mal 6 ist 96

Somit ergibt sich die Summe 184,1 g/mol. 184,1 g Ammoniumtatrat enthalten 28 g Stickstoff.

Für die weiteren Berechnungen wird wiederum der Dreisatz benötigt:

Das heißt, um einen N-Gehalt von 0,26 g zu erhalten, braucht man 1,7 i g Ammoniumtatrat.

Zur Beantwortung der 2. Frage:

Zuerst wird berechnet wieviel Gramm Stickstoff 1 g Ammoniumtatrat enthällt:

Danach wird berechnet wieviel Gramm Ammoniumtatrat 0,1 g N enthalten:

Um eine Lösung (1 l) mit 0,1 g N herzustellen, benötigt man 0,6 7 g Ammoniumtatrat.

Zur Beantwortung der 3. Frage:

Um eine Lösung (1 l) mit 0,351 g N herzustellen, benötigt man 2,34 g Ammoniumtatrat.

### B) Berechnungen des Stickstoffgehaltes von Harnstoff

Im Folgenden wird – analog zu den vorigen Berechnungen – ermittelt wieviel Stickstoff durch Hundeurin durchschnittlich in den Boden gelangt. Stickstoff wird hauptsächlich über den im Harn enthaltenen Harnstoff (HN) ausgeschieden (Witzigmann 1940). Zunächst wird wie bei den vorherigen Beispielen die Molare Masse berechnet. Dazu wird die Summenformel benötigt: CH<sub>4</sub>N<sub>2</sub>O

Kohlenstoff (C): 12

Wasserstoff (H): 1 mal 4 ist 4

Stickstoff (N): 14 mal 2 ist 28

Sauerstoff (O): 16

Somit ergibt sich die Summe 60 g/mol. 60 g Harnstoff enthält 28 g Stickstoff.

Aus Kapitel 1.3.1 ergeben sich folgende Fragestellungen:

- 1. Wieviel Stickstoff enthalten 27,9 mg Harnstoff eines dl Hundeurins?
- 2. Wieviel Stickstoff enthalten **30 ml** Hundeurin?
- 3. Wieviel Stickstoff enthalten 10 Liter Hundeurin?

Zur 1. Frage: Berechnung mit dem Dreisatz:

27,9 mg Harnstoff enthalten 13,02 mg Stickstoff.

Zur 2. Frage:

60000 mg HN 28 g N
8,37 mg HN x
-> 8,37 * 28 / 60000 = 0,003906 g N
30 ml Harn enthalten 3,906 mg Stickstoff.
Zur 3. Frage:
Zui J. 11agc.
0,11 Harn 27,9 mg HN
101 Harn x
-> 10 * 27.9 / 0.1 = 2790  mg HN

-> 2790 \* 28 / 60000 = 1,302 g N

# C) Ergebnisse der Auswertungen zu Masseverlust und Holzfeuchte unter Berücksichtigung aller Prüfkörper der Eiche

#### Masseverlust

Tab. 1: Ergebnis der Univariaten Varianzanalyse (Zwischensubjekteffekte) zur Überprüfung des Einflusses von Holzart, N-Konzentration und Stammhöhe auf den durch *P. fraxinea* hervorgerufenen Masseverlust der Prüfkörper aus Esche, Eiche und Robinie.

	Tes	ts der Zwischensut	ojekteffekte		
Abhängige Variable: Mas	severlust in Prozent				
	Quadratsumme vom				
	Typ III	df	Mittel der Quadrate	F	Signifikanz
	-	Esche	-	=	
N-Konzentration	424,550	2	212,275	35,860	0,000
Stammhöhe	64,593	3	21,531	3,637	0,030
Fehler	118,390	20	5,919		
		Eiche	-	-	
N-Konzentration	355,126	2	177,563	25,114	0,000
Stammhöhe	11,841	3	3,947	0,558	0,653
Fehler	77,774	11	7,070		
		Robinie	-	-	
N-Konzentration	0,001	2	0,001	0,038	0,963
Stammhöhe	0,140	3	0,047	2,506	0,143
Fehler	0,131	7	0,019		
	Alle	Baumarten zusam	mengefasst		
Holzart	755,077	2	377,538	73,086	0,000
N-Konzentration	291,113	2	145,556	28,178	0,000
Stammhöhe	11,162	3	3,721	0,720	0,546
Fehler	196,294	38	5,166		

Tab. 2: Ergebnisse der Post-Hoc Mehrfachvergleiche der Abbauraten an Prüfkörpern von Esche, Eiche und Robinie durch *P. fraxinea* in Abhängigkeit von der N-Konzentration.

			Mehrfachvergleiche				
Abhängige Varia	able: Masseverlust	in Prozent					
						95%-Konfic	lenzintervall
Test	(I) N-Konzentratio	n(J) N-Konzentration	Mittlere Differenz (I-J	)Standardfehler	Signifikanz	Untergrenze	Obergrenze
			Esche				
	Kein N	0,1 g N/I	-2,2346	0,8025	0,023	-4,199	-0,270
	Kelli N	0,351 g N/I	-8,2875	0,7878	0,000	-10,215	-6,360
Games-Howell	0,1 g N/I	Kein N	2,2346	0,8025	0,023	0,270	4,199
Games-nowell	0,1 g 1\/1	0,351 g N/I	-6,0529	0,9568	0,000	-8,377	-3,728
	0,351 g N/I	Kein N	8,2875	0,7878	0,000	6,360	10,215
	0,351 g 14/1	0,1 g N/I	6,0529	0,9568	0,000	3,728	8,377
			Elche				
	Kain N	0,1 g N/I	-1,4241	0,8510	0,223	-3,467	0,619
	Kein N	0,351 g N/I	-9,1798	0,8510	0,000	-11,223	-7,137
Tukay USD	0.1 ~ N//	Kein N	1,4241	0,8510	0,223	-0,619	3,467
Tukey-HSD	0,1 g N/l	0,351 g N/I	-7,7557	0,8510	0,000	-9,798	-5,713
	0.2E1 a N/I	Kein N	9,1798	0,8510	0,000	7,137	11,223
	0,351 g N/l	0,1 g N/I	7,7557	0,8510	0,000	5,713	9,798
			Robinie				
	IZ-i NI	0,1 g N/I	-0,0090	0,0605	0,988	-0,156	0,138
	Kein N	0,351 g N/I	-0,0661	0,0681	0,599	-0,232	0,100
Compa Hawall	0.1 ~ N//	Kein N	0,0090	0,0605	0,988	-0,139	0,157
Games-Howell	0,1 g N/I	0,351 g N/I	-0,0572	0,0537	0,542	-0,188	0,074
	0.251 ~ N/	Kein N	0,0661	0,0681	0,599	-0,100	0,232
	0,351 g N/l	0,1 g N/I	0,0872	0,0537	0,542	-0,074	0,188

Tab. 3: Mittelwerte des durch *P. fraxinea* hervorgerufenen prozentualen Masseverlusts an Prüfkörpern von Esche, Eiche und Robinie (nach 18 Wochen).

			Deskriptive Statistik			
Abhängige Variable	: Masseg	ehalt in Prozent				
N-Konzentration	N	Mittelwert (Masseverlust in %)	Standardabweichung	Standardfehler	Minimum (in %)	Maximum (in %)
			Esche			
Kein N	22	13,048	1,9599	0,4178	9,39	16,84
0,1 g N/I	22	15,282	3,2138	0,6852	10,03	19,83
0,351 g N/I	22	21,335	3,1323	0,6678	15,75	27,42
Gesamt	66	16,555	4,4937	0,5531	9,39	27,42
			Eiche		-	=
Kein N	22	3,464	2,2027	0,4696	0,78	11,80
0,1 g N/I	22	4,888	2,6565	0,5664	1,33	14,16
0,351 g N/I	22	12,644	3,4628	0,7383	4,82	18,79
Gesamt	66	6,999	4,9238	0,6061	0,78	18,79
			Robinie			
Kein N	22	0,563	0,2442	0,0521	0,29	1,11
0,1 g N/I	22	0,572	0,1448	0,0309	0,32	0,84
0,351 g N/I	22	0,629	0,2062	0,0440	0,30	1,17
Gesamt	66	0,588	0,2016	0,0248	0,29	1,17
		A	lle Baumarten zusammengefasst			
Kein N	66	5,692	5,632	0,6933	0,29	16,84
0,1 g N/I	66	6,914	6,658	0,8195	0,32	19,83
0,351 g N/I	66	11,536	8,957	1,1026	0,30	27,42
Gesamt	198	8,047	7,611	0,5409	0,29	27,42

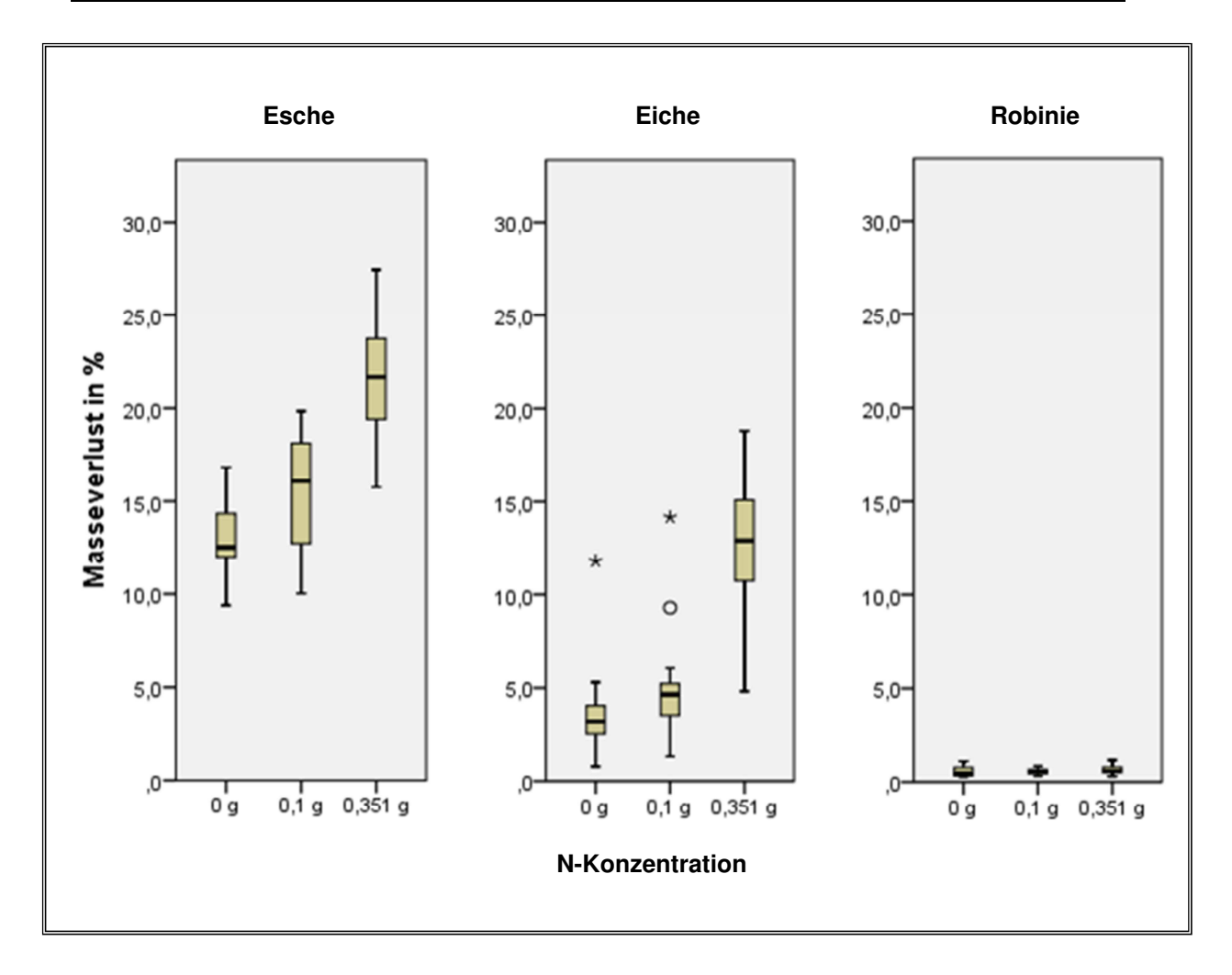


Abb. 1: Boxplot-Diagramm (Median, Bereich zwischen der 25. und 75. Perzentile sowie Ausreißer) des Masseverlusts in Prozent bei Prüfkörpern der Esche, Eiche und Robinie in Abhängigkeit von der N-Konzentration.

### Holzfeuchte

Tab. 4: Ergebnis der Univariaten Varianzanalyse (Zwischensubjekteffekte) zur Überprüfung des Einflusses von Holzart, N-Konzentration und Stammhöhe auf die Holzfeuchte der Prüfkörper aus Esche, Eiche und Robinie.

	Te	sts der Zwischensub	ojekteffekte	<u>-</u>		
Abhängige Variable: Holz	feuchte in Prozent					
	Quadratsumme vom Typ III	df	Mittel der Quadrate	F	Signifikanz	
	•	Esche	<u>'</u>	•		
N-Konzentration	10616,868	10616,868 2 5308,4		11,089	0,001	
Stammhöhe	1900,047	3	633,349	1,323	0,295	
Fehler	9574,408	20	478,720	-	-	
		Elche				
N-Konzentration	1400,272	2	700,136	23,677	0,000	
Stammhöhe	156,664	3	52,221	1,766	0,212	
Fehler	325,271	11	29,570	-	-	
		Robinie (nur Kern	nholz)			
N-Konzentration	84,317	2	42,159	11,979	0,005	
Stammhöhe	35,803		3 11,934		0,083	
Fehler	24,635	7	3,519	-	-	
	Alic	e Baumarten zusamı	mengefasst	=		
Holzart	4130,135	2	2065,067	7,907	0,001	
N-Konzentration	4115,027	2	2057,514	7,878	0,001	
Stammhöhe	856,114	3	285,371	1,093	0,364	
Fehler	9924,314	38	261,166	-	-	

Tab. 5: Ergebnisse der Post-Hoc Mehrfachvergleiche der Holzfeuchte in Prozent der Prüfkörper aus Esche, Eiche und Robinie in Abhängigkeit von der N-Konzentration.

			Mehrfachve	rgielche			
Abhängig	e Variable: Holzfeuc	hte in Prozent					
		(J) N-	Mittlere Differenz		Signifikanz	95%-Konfidenzintervall	
Test	(I) N-Konzentration	Konzentration	(I-J)	Standardfehler		Untergrenze	Obergrenze
			Esch	9			
Tukey- HSD	Kein N	0,1 g N/I	-5,3850	6,3453	0,674	-20,616	9,846
		0,351 g N/l	-44,1927	6,3453	0,000	-59,424	-28,962
	0,1 g N/I	Kein N	5,3850	6,3453	0,674	-9,846	20,616
		0,351 g N/I	-38,8077	6,3453	0,000	-54,039	-23577
	0.051 - N/I	Kein N	44,1927	6,3453	0,000	28,962	59,424
	0,351 g N/I	0,1 g N/I	38,8077	6,3453	0,000	23,577	54,039
			Elche	9			
Tukey- HSD	Kein N	0,1 g N/I	-4,8718	1,6983	0,015	-8,948	-0,795
		0,351 g N/I	-15,9191	1,6983	0,000	-19,995	-11,843
	0,1 g N/I	Kein N	4,8718	1,6983	0,015	0,795	8,948
		0,351 g N/I	-11,0473	16983	0,000	-15,124	-6,971
	0,351 g N/I	Kein N	15,9191	1,6983	0,000	11,843	19,995
		0,1 g N/I	11,0473	1,6983	0,000	6,971	15,124
			Robinie (nur	Kemholz)			
Tukey- HSD	Kein N	0,1 g N/I	-2,3839	0,8259	0,015	-4,375	-0,392
		0,351 g N/l	-3,0279	0,8050	0,001	-4,969	-1,087
	0,1 g N/I	Kein N	2,3839	0,8259	0,015	0,392	4,375
		0,351 g N/I	-0,6440	0,8050	0,705	-2,585	1,297
	0.2E1 a N/I	Kein N	3,0279	0,8050	0,001	1,087	4,969
	0,351 g N/I	0,1 g N/I	0,6440	0,8050	0,705	-1,297	2,585

Tab. 6: Mittelwerte der prozentualen Holzfeuchte der Prüfkörper von Esche, Eiche und Robinie, nach Beendigung des Abbauversuchs.

			Deskriptive Statistik						
Abhängige Variable: Holzfeuchte in Prozent									
		Mittelwert			Minimum	Maximum			
N-Konzentration	N	(Masseverlust in %)	Standardabweichung	Standardfehler	(in %)	(in %)			
Esche									
Kein N	22	62,823	17,1067	3,6472	43,23	104,90			
0,1 g N/l	22	68,208	20,2679	4,3211	47,37	115,99			
0,351 g N/I	22	107,015	25,0050	5,3311	57,89	135,67			
Gesamt	66	79,349	28,6843	3,5308	43,23	135,67			
Elche									
Kein N	22	55,567	4,2998	0,9167	49,13	64,41			
0,1 g N/l	22	60,439	6,3570	1,3553	49,42	79,01			
0,351 g N/I	22	71,486	6,0229	1,2841	57,75	81,44			
Gesamt	66	62,497	8,7055	1,0716	49,13	81,44			
			Robinie						
Kein N	22	31,011	2,5453	0,5999	27,64	37,17			
0,1 g N/l	22	33,395	2,0299	0,4758	30,34	37,18			
0,351 g N/I	22	34,039	2,7644	0,6181	29,73	39,92			
Gesamt	66	32,859	2,7630	0,3692	27,64	39,92			
Alle Baumarten zusammengefasst									
Kein N	66	51,012	16,8745	2,1431	27,64	104,90			
0,1 g N/l	66	55,344	19,1749	2,4352	30,34	115,99			
0,351 g N/I	66	71,997	33,2946	4,1618	29,73	135,67			
Gesamt	198	59,585	25,8716	1,8869	27,64	135,67			

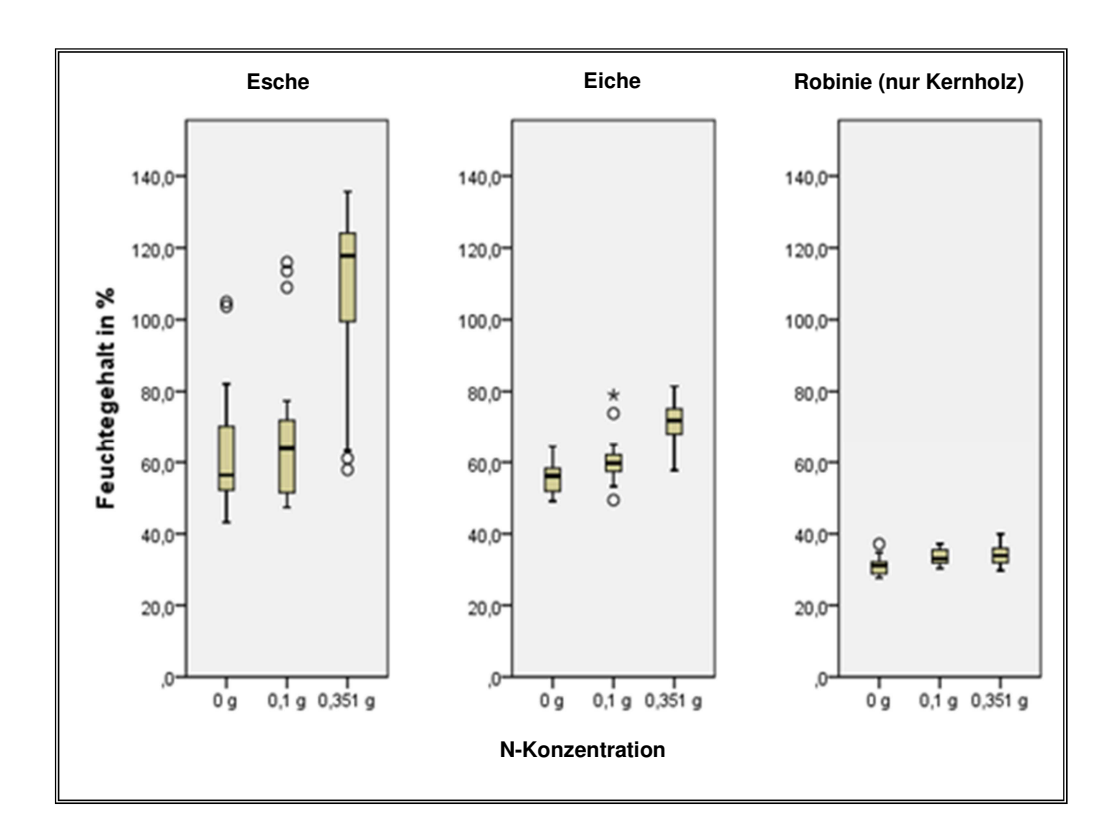


Abb. 2: Boxplot-Diagramm (Median, Bereich zwischen der 25. und 75. Perzentile sowie Ausreißer) des Feuchtegehalts der Prüfkörper (Holzfeuchte) von Esche, Eiche und Robinie in Abhängigkeit von der N-Konzentration.

# D) Analysen zu Kontamination durch Fremdpilze an der Prüfkörperoberfläche

Tab. 7: Ergebnisse der Chi-Quadrat-Tests zur Prüfung des Einflusses von Baum-/Holzart auf die Kontamination durch Fremdpilze am Prüfkörper (Alle Baum-/Holzarten zusammengefasst).

Chi-Quadrat-Tests				
Fremdpliz am Prüfkörper				
			Asymptotische	
	Wert	df	Signifikanz (2-seitig)	
Chi-Quadrat nach Pearson	28,077	2	0,000	
Likelihood-Quotient	29,185	2	0,000	
Anzahl der gültigen Fälle	188			

Tab. 8: Ergebnisse der Chi-Quadrat-Tests zur Prüfung des Einflusses der N-Konzentration auf die Kontamination durch Fremdpilze am Prüfkörper (Alle Baum-/Holzarten zusammengefasst).

Chl-Quadrat-Tests				
Fremdpliz am Prüfkörper				
	Wert	df	Asymptotische	
	Wort	ui	Signifikanz (2-seitig)	
Chi-Quadrat nach Pearson	6,713	2	0,035	
Likelihood-Quotient	8,432	2	0,015	
Anzahl der gültigen Fälle	197			

Tab. 9: Ergebnisse des U-Tests nach Mann-Whitney zur Prüfung von Zusammenhängen zwischen dem Myzelbewuchs der Prüfkörper aus Eiche und Robinie und der Kontamination durch Fremdpilze.

Mann-Whitney-Test					
	Ränge				
	Kontamination durch Fremdpilze am Holz	N	Mittlerer Rang	Rangsumme	
Myzelbewuchs der Prüfkörper	Nein	104	67,80	7051,00	
	Ja	18	25,11	452,00	
	Gesamt	122			
	Statistik für Test				
	Myzelbewuchs der Prüfkörper				
Mann-Whitney-U	281,000				
Wilcoxon-W	452,000				
Z	-5,088				
Asymptotische Signifikanz (2-seitig)	0,000				

#### E) Stickstoffkonzentrationen in Boden und Holz

Im Folgenden wird Literatur und deren Angaben zu N-Konzentrationen im Boden und im Holz aufgelistet. Die Literatur ist in fünf Bereiche eingeteilt:

1 - Boden allgemein 2 - Holz allgemein 3 - Eschenholz 4 - Eichenholz 5 - Robinienholz.

	1 - Literaturdaten zu Stickstoff im Bod	en (allgemein, Stadtböden, Ackerböden etc.)	
Quellenangabe	Originalwerte zum N-Gehalt		N-Gehalt umgerechnet in mg/g
ALBERT R., WATZKA M., 2007: Unveröffentlichter	Ionenkonzentration Stadtböder	n Wien <sup>25</sup> :	
Endbericht zum Projekt: Erhebungen der Streusalz- und	Parkanlagen:		
Trockenbelastung von Alleebäumen in Wien.	Stadtpark:		
33, 36, 41, 46, 50, 53, 57, 59, 65, 68.	NO <sub>3</sub> 0 - 20 cm Tiefe:	0,2 mval/kg	NO <sub>3</sub> : 0,0124 mg/g
	NO <sub>3</sub> 20 - 40 cm Tiefe:	0,3 mval/kg	NO <sub>3</sub> : 0,0186 mg/g
	NO <sub>3</sub> 40 - 60 cm Tiefe:	0,1 mval/kg	NO <sub>3</sub> : 0,0062 mg/g
	NO <sub>3</sub> 60 - 80 cm Tiefe:	0,1 mval/kg	NO <sub>3</sub> : 0,0062 mg/g
	NO <sub>3</sub> im Durchschnitt:	0,18 mval/kg	NO <sub>3</sub> <sup>-</sup> : 0,01116 mg/g
	Votivpark:		
	NO <sub>3</sub> 0 - 20 cm Tiefe:	0,5 mval/kg	NO <sub>3</sub> : 0,031 mg/g
	NO <sub>3</sub> 20 - 40 cm Tiefe:	0,5 mval/kg	NO <sub>3</sub> : 0,031 mg/g
	NO <sub>3</sub> 40 - 60 cm Tiefe:	0,3 mval/kg	NO <sub>3</sub> : 0,0186 mg/g
	NO <sub>3</sub> 60 - 80 cm Tiefe:	0,6 mval/kg	NO <sub>3</sub> : 0,0372 mg/g
	NO <sub>3</sub> im Durchschnitt:	0,48 mval/kg	NO <sub>3</sub> : 0,02976 mg/g
	Straßenstandorte:		
	Dr. Karl Renner-Ring, 3. Re	ihe:	
	NO <sub>3</sub> 0 - 20 cm Tiefe:	0,4 mval/kg	NO <sub>3</sub> : 0,0248 mg/g
	ů.	0,4 mval/kg	NO <sub>3</sub> : 0,0248 mg/g
	NO <sub>3</sub> 40 - 60 cm Tiefe:	0,2 mval/kg	NO <sub>3</sub> : 0,0124 mg/g
	NO <sub>3</sub> 60 - 80 cm Tiefe:	0,2 mval/kg	NO <sub>3</sub> : 0,0124 mg/g
	NO, im Durchschnitt:	0,3 mval/kg	NO <sub>3</sub> : 0,0186 mg/g

\_

<sup>25</sup> Umrechnung von mval/kg in mg/g: Um mol zu erhalten muss val durch die Wertigkeit des Stoffes, der angegeben ist, dividiert werden. Wenn nötig den Wert in mmol/g umwandeln und mit der molaren Masse des angegebenen Stoffes multiplizieren. Beispiel für 0,2 mval/kg NO<sub>3</sub>: NO<sub>3</sub> hat eine Wertigkeit von 1, und die molare Masse beträgt 64g/mol. 0,2 mval/kg / 1 = 0,2 mmol/kg = 0,0002 mmol/g. 0,0002 mmol/g \* 62g/mol = 0,0124 mg/g.

Originalwerte zum N-Gehalt  Klanggasse:  NO <sub>3</sub> 0 - 20 cm Tiefe: 2,2 mval/kg  NO <sub>3</sub> 20 - 40 cm Tiefe: 2,0 mval/kg	N-Gehalt umgerechnet in mg/g  NO <sub>3</sub> : 0,1364 mg/g
NO <sub>3</sub> 0 - 20 cm Tiefe: 2,2 mval/kg NO <sub>3</sub> 20 - 40 cm Tiefe: 2,0 mval/kg	NO : 0.1364 mg/g
NO <sub>3</sub> 20 - 40 cm Tiefe: 2,0 mval/kg	NO. 0 1364 mg/g
	11-3: 5,1551 mg/g
	NO <sub>3</sub> : 0,124 mg/g
NO <sub>3</sub> 40 - 60 cm Tiefe: 1,4 mval/kg	NO <sub>3</sub> : 0,0868 mg/g
NO <sub>3</sub> 60 - 80 cm Tiefe: 1,3 mval/kg	NO <sub>3</sub> : 0,0806 mg/g
NO <sub>3</sub> im Durchschnitt: 1,725 mval/kg	NO <sub>3</sub> : 0,10695 mg/g
Oberzeller Gasse, kranke Bäume:	
NO <sub>3</sub> 0 - 20 cm Tiefe: 0,8 mval/kg	NO <sub>3</sub> : 0,0496 mg/g
NO <sub>3</sub> 20 - 40 cm Tiefe: 0,5 mval/kg	NO <sub>3</sub> : 0,031 mg/g
NO <sub>3</sub> 40 - 60 cm Tiefe: 0,3 mval/kg	NO <sub>3</sub> : 0,0186 mg/g
NO <sub>3</sub> im Durchschnitt: 0,532 mval/kg	NO <sub>3</sub> : 0,032984 mg/g
Oberzeller Gasse, gesunde Bäume:	
NO <sub>3</sub> 0 - 20 cm Tiefe: 0,6 mval/kg	NO <sub>3</sub> : 0,0372 mg/g
NO <sub>3</sub> 20 - 40 cm Tiefe: 0,3 mval/kg	NO <sub>3</sub> : 0,0186 mg/g
NO <sub>3</sub> 40 - 60 cm Tiefe: 0,2 mval/kg	NO <sub>3</sub> : 0,0124 mg/g
NO <sub>3</sub> im Durchschnitt: 0,367 mval/kg	NO <sub>3</sub> : 0,022754 mg/g
Krottenbachstarße, oben (Rasen):	
NO <sub>3</sub> 0 - 20 cm Tiefe: 1,1 mval/kg	NO <sub>3</sub> : 0,0682 mg/g
NO <sub>3</sub> 20 - 40 cm Tiefe: 0,2 mval/kg	NO <sub>3</sub> : 0,0124 mg/g
NO <sub>3</sub> 40 - 60 cm Tiefe: 0,1 mval/kg	NO <sub>3</sub> : 0,0062 mg/g
NO <sub>3</sub> 60 - 80 cm Tiefe: 0,1 mval/kg	NO <sub>3</sub> : 0,0062 mg/g
NO <sub>3</sub> im Durchschnitt: 0,375 mval/kg	NO <sub>3</sub> : 0,02325 mg/g
Krottenbachstarße unten (Lava):	
NO <sub>3</sub> 0 - 20 cm Tiefe: 1,2 mval/kg	NO <sub>3</sub> <sup>-</sup> : 0,0744 mg/g
NO <sub>3</sub> 20 - 40 cm Tiefe: 0,5 mval/kg	NO <sub>3</sub> : 0,031 mg/g
NO <sub>3</sub> 40 - 60 cm Tiefe: 0,1 mval/kg	NO <sub>3</sub> : 0,0062 mg/g
NO <sub>3</sub> 60 - 80 cm Tiefe: 0,1 mval/kg	NO <sub>3</sub> : 0,0062 mg/g
NO <sub>3</sub> im Durchschnitt: 0,475 mval/kg	NO <sub>3</sub> <sup>-</sup> : 0,02945 mg/g
	Oberzeller Gasse, kranke Bäume:  NO <sub>3</sub> 0 - 20 cm Tiefe: 0,8 mval/kg  NO <sub>3</sub> 20 - 40 cm Tiefe: 0,5 mval/kg  NO <sub>3</sub> 40 - 60 cm Tiefe: 0,3 mval/kg  NO <sub>3</sub> im Durchschnitt: 0,532 mval/kg  Oberzeller Gasse, gesunde Bäume:  NO <sub>3</sub> 0 - 20 cm Tiefe: 0,6 mval/kg  NO <sub>3</sub> 20 - 40 cm Tiefe: 0,3 mval/kg  NO <sub>3</sub> 40 - 60 cm Tiefe: 0,2 mval/kg  NO <sub>3</sub> 40 - 60 cm Tiefe: 0,2 mval/kg  NO <sub>3</sub> im Durchschnitt: 0,367 mval/kg  NO <sub>3</sub> im Durchschnitt: 0,367 mval/kg  Krottenbachstarße, oben (Rasen):  NO <sub>3</sub> 0 - 20 cm Tiefe: 1,1 mval/kg  NO <sub>3</sub> 20 - 40 cm Tiefe: 0,2 mval/kg  NO <sub>3</sub> 40 - 60 cm Tiefe: 0,1 mval/kg  NO <sub>3</sub> 60 - 80 cm Tiefe: 0,1 mval/kg  Krottenbachstarße unten (Lava):  NO <sub>3</sub> 0 - 20 cm Tiefe: 1,2 mval/kg  NO <sub>3</sub> 10 - 20 cm Tiefe: 0,5 mval/kg  Krottenbachstarße unten (Lava):  NO <sub>3</sub> 0 - 20 cm Tiefe: 0,5 mval/kg  NO <sub>3</sub> 10 - 60 cm Tiefe: 0,1 mval/kg  NO <sub>3</sub> 10 - 60 cm Tiefe: 0,1 mval/kg  NO <sub>3</sub> 10 - 80 cm Tiefe: 0,1 mval/kg

Originalwerte zum N-Gehalt	N-Gehalt umgerechnet in mg/g	Originalwerte zum N-Gehalt	N-Gehalt umgerechnet in mg/g
Rustenschacher Allee, linke Seite, 2. Reihe:		Hernalser Gürtel, 1. Reihe:	
NO <sub>3</sub> 0 - 20 cm Tiefe: 1,4 mval/kg	NO <sub>3</sub> : 0,0868 mg/g	NO <sub>3</sub> 0 - 20 cm Tiefe: 0,5 mval/kg	NO <sub>3</sub> : 0,031 mg/g
NO <sub>3</sub> 20 - 40 cm Tiefe: 3,8 mval/kg	NO <sub>3</sub> : 0,2356 mg/g	NO <sub>3</sub> 20 - 40 cm Tiefe: 0,4 mval/kg	NO <sub>3</sub> : 0,0248 mg/g
NO <sub>3</sub> 40 - 60 cm Tiefe: 2,9 mval/kg	NO <sub>3</sub> : 0,1798 mg/g	NO <sub>3</sub> 40 - 60 cm Tiefe: 0,2 mval/kg	NO <sub>3</sub> : 0,0124 mg/g
NO <sub>3</sub> 60 - 80 cm Tiefe: 3,7 mval/kg	NO <sub>3</sub> : 0,2294 mg/g	NO <sub>3</sub> 60 - 80 cm Tiefe: 0,2 mval/kg	NO <sub>3</sub> : 0,0124 mg/g
NO <sub>3</sub> im Durchschnitt: 2,95 mval/kg	NO <sub>3</sub> : 0,1829 mg/g	NO <sub>3</sub> im Durchschnitt: 0,325 mval/kg	NO <sub>3</sub> : 0,02015 mg/g
Rustenschacher Allee, linke Seite, 1. Reihe:		Hernalser Gürtel, 2. Reihe:	
NO <sub>3</sub> 0 - 20 cm Tiefe: 1,3 mval/kg	NO <sub>3</sub> <sup>-</sup> : 0,0806 mg/g	NO <sub>3</sub> 0 - 20 cm Tiefe: 2,3 mval/kg	NO <sub>3</sub> : 0,1426 mg/g
NO <sub>3</sub> 20 - 40 cm Tiefe: 0,7 mval/kg	NO <sub>3</sub> : 0,0434 mg/g	NO <sub>3</sub> 20 - 40 cm Tiefe: 1,4 mval/kg	NO <sub>3</sub> : 0,0868 mg/g
NO <sub>3</sub> 40 - 60 cm Tiefe: 0,6 mval/kg	NO <sub>3</sub> <sup>-</sup> : 0,0372 mg/g	NO <sub>3</sub> 40 - 60 cm Tiefe: 0,5 mval/kg	NO <sub>3</sub> : 0,031 mg/g
NO <sub>3</sub> 60 - 80 cm Tiefe: 0,4 mval/kg	NO <sub>3</sub> : 0,0248 mg/g	NO <sub>3</sub> 60 - 80 cm Tiefe: 0,4 mval/kg	NO <sub>3</sub> : 0,0248 mg/g
NO <sub>3</sub> im Durchschnitt: 0,75 mval/kg	NO <sub>3</sub> <sup>-</sup> : 0,0465 mg/g	NO <sub>3</sub> im Durchschnitt: 1,15 mval/kg	NO <sub>3</sub> : 0,0713 mg/g
Rustenschacher Allee, rechte Seite, 1.		Lerchenfelder Gürtel, 1.Reihe:	
Reihe:		NO <sub>3</sub> 0 - 20 cm Tiefe: 0,4 mval/kg	NO <sub>3</sub> : 0,0248 mg/g
NO <sub>3</sub> 0 - 20 cm Tiefe: 0,9 mval/kg	NO <sub>3</sub> <sup>-</sup> : 0,0558 mg/g	NO <sub>3</sub> 20 - 40 cm Tiefe: 0,6 mval/kg	NO <sub>3</sub> : 0,0372 mg/g
NO <sub>3</sub> 20 - 40 cm Tiefe: 0,8 mval/kg	NO <sub>3</sub> <sup>-</sup> : 0,0496 mg/g	NO <sub>3</sub> 40 - 60 cm Tiefe: 0,7 mval/kg	NO <sub>3</sub> : 0,0434 mg/g
NO <sub>3</sub> 40 - 60 cm Tiefe: 0,6 mval/kg	NO <sub>3</sub> <sup>-</sup> : 0,0372 mg/g	NO <sub>3</sub> 60 - 80 cm Tiefe: 0,5 mval/kg	NO <sub>3</sub> : 0,031 mg/g
NO <sub>3</sub> 60 - 80 cm Tiefe: 0,4 mval/kg	NO <sub>3</sub> <sup>-</sup> : 0,0248 mg/g	NO <sub>3</sub> im Durchschnitt: 0,55 mval/kg	NO <sub>3</sub> : 0,0341 mg/g
NO <sub>3</sub> im Durchschnitt: 0,675 mval/kg	NO <sub>3</sub> : 0,04185 mg/g		
		Lerchenfelder Gürtel. 2. Reihe:	
Rustenschacher Allee, rechte Seite 2.		NO <sub>3</sub> 0 - 20 cm Tiefe: 1,5 mval/kg	NO <sub>3</sub> : 0,093 mg/g
Reihe:		NO <sub>3</sub> 20 - 40 cm Tiefe: 1,2 mval/kg	NO <sub>3</sub> : 0,0744 mg/g
NO <sub>3</sub> 0 - 20 cm Tiefe: 1,6 mval/kg	NO <sub>3</sub> : 0,0992 mg/g	$NO_3^-$ 40 - 60 cm Tiefe: 1,6 mval/kg	NO <sub>3</sub> : 0,0992 mg/g
NO <sub>3</sub> 20 - 40 cm Tiefe: 0,8 mval/kg	NO <sub>3</sub> : 0,0496 mg/g	NO <sub>3</sub> 60 - 80 cm Tiefe: 2,1 mval/kg	NO <sub>3</sub> : 0,1302 mg/g
NO <sub>3</sub> 40 - 60 cm Tiefe: 0,6 mval/kg	NO <sub>3</sub> : 0,0372 mg/g	NO <sub>3</sub> im Durchschnitt: 1,6 mval/kg	NO <sub>3</sub> : 0,0992 mg/g
NO <sub>3</sub> 60 - 80 cm Tiefe: 0,5 mval/kg	NO <sub>3</sub> : 0,031 mg/g		
NO <sub>3</sub> im Durchschnitt: 0,875 mval/kg	NO <sub>3</sub> : 0,05425 mg/g		

Fortsetzung Ionenkonzentration Stadtböden Wien (Albert & Watzka 2007)

Originalwerte zum N-Gehalt	N-Gehalt umgerechnet in mg/g	Originalwerte zum N-Gehalt	N-Gehalt umgerechnet in mg/g
Heinestraße, rechte Seite:		Döblinger Gürtel:	
$NO_3$ 0 - 20 cm Tiefe: 4,1 mval/kg	NO <sub>3</sub> : 0,2542 mg/g	NO <sub>3</sub> 0 - 20 cm Tiefe: 2,1 mval/kg	NO <sub>3</sub> : 0,1302 mg/g
NO <sub>3</sub> 20 - 40 cm Tiefe: 5,8 mval/kg	NO <sub>3</sub> : 0,3596 mg/g	NO <sub>3</sub> 20 - 40 cm Tiefe: 1,7 mval/kg	NO <sub>3</sub> : 0,1054 mg/g
NO <sub>3</sub> 40 - 60 cm Tiefe: 3,7 mval/kg	NO <sub>3</sub> : 0,2294 mg/g	NO <sub>3</sub> 40 - 60 cm Tiefe: 1,3 mval/kg	NO <sub>3</sub> : 0,0806 mg/g
$NO_3$ 60 - 80 cm Tiefe: 3,2 mval/kg	NO <sub>3</sub> : 0,1984 mg/g	NO <sub>3</sub> 60 - 80 cm Tiefe: 1,1 mval/kg	NO <sub>3</sub> : 0,0682 mg/g
NO <sub>3</sub> im Durchschnitt: 4,2 mval/kg	NO <sub>3</sub> : 0,2604 mg/g	NO <sub>3</sub> im Durchschnitt: 1,55 mval/kg	NO <sub>3</sub> : 0,0961 mg/g
Heinestraße, linke Seite:		Währinger Gürtel:	
NO <sub>3</sub> 0 - 20 cm Tiefe: 4,2 mval/kg	NO <sub>3</sub> : 0,2604 mg/g	NO <sub>3</sub> 0 - 20 cm Tiefe: 5,8 mval/kg	NO <sub>3</sub> : 0,3596 mg/g
NO <sub>3</sub> 20 - 40 cm Tiefe: 6,0 mval/kg	NO <sub>3</sub> : 0,372 mg/g	NO <sub>3</sub> 20 - 40 cm Tiefe: 6,0 mval/kg	NO <sub>3</sub> : 0,372 mg/g
NO <sub>3</sub> 40 - 60 cm Tiefe: 4,3 mval/kg	NO <sub>3</sub> : 0,2666 mg/g	NO <sub>3</sub> 40 - 60 cm Tiefe: 8,1 mval/kg	NO <sub>3</sub> : 0,5022 mg/g
NO <sub>3</sub> 60 - 80 cm Tiefe: 4,4 mval/kg	NO <sub>3</sub> : 0,2728 mg/g	NO <sub>3</sub> 60 - 80 cm Tiefe: 5,7 mval/kg	NO <sub>3</sub> : 0,3534 mg/g
NO <sub>3</sub> im Durchschnitt: 4,725 mval/kg	NO <sub>3</sub> : 0,29295 mg/g	NO <sub>3</sub> im Durchschnitt: 6,4 mval/kg	NO <sub>3</sub> : 0,3968 mg/g

1 - Literaturdaten zu Stickstoff im Boden (allgemein, Stadtböden, Ackerböden etc.)					
Quellenangabe	Originalwerte zum N-Gehalt		N-Gehalt ur	N-Gehalt umgerechnet in mg/g	
ARBEITSKREIS STADTBÖDEN DER DEUTSCHEN	Rasenfläche im Gemeindebau	(Hamburg):			
BODENKUNDLICHEN GESELLSCHAFT (Hrsg.), 1996:	N <sub>t</sub> in 9 cm Tiefe:	0,14 %	N <sub>t</sub> :	1,4 mg/g	
Urbaner Bodenschutz. Berlin [u.a.]: Springer-Verlag. 129,	N <sub>t</sub> in tieferen Schichten:	0,01 - 0,05 %	N <sub>t</sub> :	0,1 - 0,5 mg/g	
145, 197.	N <sub>t</sub> im Durchschnitt:	0,04 %	N <sub>t</sub> :	0,4 mg/g	
	Städtische Parkanlage - 1. Probe:				
	N <sub>t</sub> in 10 cm Tiefe:	0,54 %	N <sub>t</sub> :	5,4 mg/g	
	N <sub>t</sub> in tieferen Schichten:	0,01 - 0,29 %	N <sub>t</sub> :	0,1 - 2,9 mg/g	
	N, im Durchschnitt:	0,17%	N <sub>,</sub> :	1,7 mg/g	
	2. Probe:				
	N, in 7 cm Tiefe:	0,14 %	N <sub>,</sub> :	1,4 mg/g	
	N, in tieferen Schichten:	0,04 - 0,1 %	N <sub>r</sub> :	0,4 - 1 mg/g	
	N <sub>t</sub> im Durchschnitt:	0,08%	N <sub>t</sub> :	0,8 mg/g	

1 - Literaturdaten zu Stickstoff im Boden (allgemein, Stadtböden, Ackerböden etc.)			
Quellenangabe Originatwerte zum N-Gehalt M-Gehalt N-Gehalt umgerechnet in mg/g			
ARBEITSKREIS STADTBÖDEN DER DEUTSCHEN	7 Parkstandorte mit verschiedenen Nährstoffwerten:		

BODENKUNDLICHEN GESELLSCHAFT (Hrsg.), 1996:	N, im Durchschnitt: 0,13 %	N,: 1,3 mg/g
Urbaner Bodenschutz. Berlin [u.a.]: Springer-Verlag. 129,	Minium- und Maximumwerte für N; 0,09 - 0,2 %	N,: 0,9 - 2 mg/g
145, 197.		-, <b>..</b> -
,	Gartenboden (Bayern):	
	N, im Oberboden: 0,26 %	N.: 2,6 mg/g
	N, im Unterboden: 0,14 %	N.: 1,4 mg/g
BALDER H., 1994: Schäden durch Hunde-Urin im	Böden von Baumscheiben:	1,4 119,9
öffentlichen Grün. Das Garten Amt. Stadt und Grün,	Gehwegseite, geringe Belastung, 30 cm Abstand vom Stamm:	
43(9), 623.	0 - 5 cm Tiefe: N: 6 mg/100g NO.: 2,3 mg/100g	N <sub>i</sub> : 0,06 mg/g NO <sub>3</sub> : 0,023 mg/g
43(3), 023.	5 - 15 cm Tiefe: N <sub>i</sub> : 8,5 mg/100g NO <sub>3</sub> : 2,3 mg/100g	N; 0,085 mg/g NO <sub>3</sub> : 0,023 mg/g
	Stammbasis:	14 <sub>t</sub> . 0,083 mg/g 140 <sub>3</sub> . 0,023 mg/g
	0 - 5 cm Tiefe: N,: 10,5 mg/100g NO <sub>3</sub> : 5,7 mg/100g	N;: 0,105 mg/g NO¸: 0,057 mg/g
	·	·
	5 - 15 cm Tiefe: N <sub>t</sub> : 8,5 mg/100g NO <sub>3</sub> : 2,3 mg/100g	N <sub>t</sub> : 0,085 mg/g NO <sub>3</sub> : 0,023 mg/g
	Straßenseite, geringe Belastung, 30 cm Abstand vom Stamm:	
	0 - 5 cm Tiefe: N,: 7,4 mg/100g NO <sub>4</sub> : 2,3 mg/100g	N;: 0,074 mg/g NO <sub>2</sub> : 0,023 mg/g
	5 - 15 cm Tiefe: N <sub>1</sub> : 5,3 mg/100g	N;: 0,053 mg/g
	Stammbasis:	N <sub>t</sub> . 0,033 mg/g
	0 - 5 cm Tiefe: N,: 4,5 mg/100g	N <sub>.</sub> : 0,045 mg/g
	5 - 15 cm Tiefe: N <sub>i</sub> : 4,5 mg/100g	N;: 0,045 mg/g
	5 - 15 cm fiele. N <sub>t</sub> . 0,5 mg/100g	14 <sub>t</sub> . 0,005 mg/g
	Gehwegseite, starke Belastung, 30 cm Abstand vom Stamm:	
	0 - 5 cm Tiefe: N;: 10,4 mg/100g NO <sub>2</sub> : 11,3 mg/100g	N,: 0,104 mg/g NO <sub>3</sub> : 0,113 mg/g
	5 - 15 cm Tiefe: N;: 8,4 mg/100g NO <sub>3</sub> : 5,7 mg/100g	N;: 0,084 mg/g NO <sub>3</sub> : 0,057 mg/g
	Stammbasis:	11. 0,001 mg/g 1103. 0,007 mg/g
	0 - 5 cm Tiefe: N,: 35,1 mg/100g NO <sub>3</sub> : 56,5 mg/100g	N.: 0,351 mg/g NO <sub>3</sub> : 0,565 mg/g
	5 - 15 cm Tiefe: N <sub>i</sub> : 31,7 mg/100g NO <sub>a</sub> : 56,5 mg/100g	N; 0,317 mg/g NO <sub>3</sub> : 0,565 mg/g
	Straßenseite, starke Belastung, 30 cm Abstand vom Stamm:	14 <sub>t</sub> . 0,017 mg/g 110 <sub>3</sub> . 0,000 mg/g
	0 - 5 cm Tiefe: N,: 7,2 mg/100g NO <sub>3</sub> : 5,7 mg/100g	N;: 0,072 mg/g NO <sub>3</sub> <sup>-</sup> : 0,057 mg/g
	5 - 15 cm Tiefe: N <sub>i</sub> : 5,9 mg/100g	N <sub>.</sub> : 0,059 mg/g
	Stammbasis:	11 <sub>1</sub> . 0,000 mg/g
	0 - 5 cm Tiefe: N <sub>i</sub> : 18,1 mg/100g NO <sub>s</sub> : 22,6 mg/100g	N; 0,181 mg/g NO <sub>3</sub> ; 0,226 mg/g
	5 - 15 cm Tiefe: N <sub>i</sub> : 10,7 mg/100g NO <sub>3</sub> : 22,0 mg/100g	N; 0,107 mg/g NO <sub>3</sub> : 0,220 mg/g
		14, 0,107 1119/9 140 <sub>3</sub> . 0,007 1119/9
Quellenangabe	1 - Literaturdaten zu Stickstoff im Boden (allgemein, Stadtböden, Ackerböden etc.)  Orlginalwerte zum N-Gehalt	N-Gehalt umgerechnet in mg/g
BALDER H., 1998: Die Wurzeln der Stadtbäume. Ein	Anzustrebender Stickstoffgehalt im Boden in der Vegetationsperiode:	worms uniforcounce in infig.
Handbuch zum vorbeugenden und nachsorgenden Wurzel-	N <sub>1</sub> : > 10 mg/100g	N <sub>.</sub> : > 0,1 mg/g
Transpacit Zaili Voibougonacii ana haciborgonacii VValZei-	14 10 mg/100g	

schutz; mit 38 Tabellen. Berlin: Parey Buchverlag. 89.				
BALDER H., (2003) Veranstaltungen im öffentlichen Grün	Unbelasteter Boden:			
- Schäden und Schutzmaßnahmen In: Dujesiefken D.,	N <sub>t</sub> :	1,5 - 2 mg/100 g Boden bzw.	N <sub>t</sub> :	0,015 - 0,02 mg/g
Kockerbeck P. (Hrsg.): Jahrbuch der Baumpflege 2003.	N <sub>t</sub> :	1,75 mg/100 g Boden	N <sub>t</sub> :	0,0175 mg/g
Braunschweig: Verlag Thalacker Medien. 118.				
BERTHOLD D., 2005: Soil Chemical and Biological	Boden unter Robinienbeständen:			
Changes through the N <sub>2</sub> Fixation of Black Locust	N <sub>t</sub> in der organischen Schicht:	10 - 14 mg/g	N <sub>t</sub> :	10 - 14 mg/g
(Robinia pseudoacacia L.) - a Contribution to the	N <sub>t</sub> in 0 - 10 cm Tiefe:	2 - 3 mg/g	N <sub>t</sub> :	2 - 3 mg/g
Research of Tree Neophytes. Dissertation. Georg-August-				
Universität Göttingen. Fakultät für Forstwissenschaften und	Boden bevor er mit Robinien-Sämli	ngen bepflanzt wurde: <sup>26</sup>		
Waldökologie. Göttingen. 19, 105, 106.	NH₄ <sup>+</sup> :	11,67 mg/kg	NH <sub>4</sub> <sup>+</sup> :	0,0117 mg/g
	NO <sub>3</sub> :	25,87 mg/kg	NO <sub>3</sub> :	0,0259 mg/g
	N <sub>t</sub> :	70,84 mg/kg	N <sub>t</sub> :	0,0708 mg/g
	Boden mit Robinien-Sämlingen bepf	lanzt: <sup>27</sup>		
	NH <sub>4</sub> <sup>+</sup> :	6,76 mg/kg	NH₄ <sup>+</sup> :	0,0067 mg/g
	NO <sub>3</sub> :	16,64 mg/kg	NO <sub>3</sub> :	0,0166 mg/g
BEYER L., KAHLE P., KRETSCHMER H., WU Q., 2001:	Innerstädtische Böden in Rostock <sup>28</sup>		,	
Soil Organic Matter Composition of Man-Impacted Urban	N <sub>t</sub> :	1,57 mg/g	N,:	1,57 mg/g
Sites in North Germany. Zeitschrift für Pflanzenernährung				
und Bodenkunde, 164(1), 362				
BEYER L., 1996: 2.2.1 Humusformen und -typen. In:	Mull-Rendzina unter Fraxinus excels	sior.		
Blume H.P., Felix-Henningsen P., Fischer W., Frede HG.,	Streuhorizont:			
Horn R., Stahr K. (Hrsg.), Handbuch der Bodenkunde. 1.	N <sub>t</sub> :	1,63 %	N <sub>t</sub> :	16,3 mg/g
Erg. Lfg. 12/96, Weinheim: Wiley-VCH Verlag GmbH &	Oberboden mit Humus angereichert	:		
Co. KGaA, 12.	N <sub>t</sub> :	0,83 %	N <sub>t</sub> :	8,3 mg/g

1 - Literaturdaten zu Stickstoff im Boden (allgemein, Stadtböden, Ackerböden etc.)				
Quellenangabe Originalwerte zum N-Gehalt M-Gehalt umgerechnet in mg/g				
BLUME HP., 1996: 3.4.4.9 Böden städtisch-industrieller	Pararendzina unter Robinienbeständen:			
Verdichtungsräume. In: Blume H.P., Felix-Henningsen P.,	N <sub>t</sub> 0 - 27 cm Tiefe: 0,38 %	N <sub>t</sub> : 3,8 mg/g		

Durschnitt von Durchschnittswerten von drei Standorten
 Dauer des Versuches und der Bepflanzung: Mai bis Oktober. Durschnitt von Durchschnittswerten von drei Standorten.
 Durchschnitt aus 11 Werten

			1	
Fischer W., Frede HG., Horn R., Stahr K. (Hrsg.),	N <sub>t</sub> 27 - 40 cm Tiefe:	0,36 %	N <sub>t</sub> :	3,6 mg/g
Handbuch der Bodenkunde. Lfg. 1, Weinheim: Wiley-VCH	N <sub>t</sub> 40 - 60 cm Tiefe:	0,17 %	N <sub>t</sub> :	1,7 mg/g
Verlag GmbH & Co. KGaA, 13.	$N_{\rm t}$ 60 - 100 cm Tiefe:	0,12 %	N <sub>t</sub> :	1,2 mg/g
EHINGER E., 1931: Über den in der Bodenlösung und	Leichter Lehm <sup>29</sup> :			
im Boden enthaltenen Nitrat- und Ammoniak-Stickstoff.	NO <sub>3</sub> :	7,26 mg/100g	NO <sub>3</sub> :	0,0726 mg/g
Dissertation. Landwirtschaftliche Hochschule. Hohenheim. 30	NH <sub>4</sub> <sup>+</sup> :	6,05 mg/100g	NH <sub>4</sub> <sup>+</sup> :	0,0605 mg/g
	Stark Humushaltig <sup>28</sup> :			
	NO <sub>3</sub> :	9,28 mg/100g	NO <sub>3</sub> :	0,0928 mg/g
	NH <sub>4</sub> <sup>+</sup> :	3,29 mg/100g	NH <sub>4</sub> <sup>+</sup> :	0,0329 mg/g
FLECK W., THATER M., ZWÖLFER F., 1997: Exkursion	1. Standort: Katzenberg			
D8. Landkreis Lörrach. Böden und Bodenschutz im	Parabraunerde-Pseudogley	auf Schottern; Nutzung: Laubwald		
Verdichtungsraum Basel - Lörrach - Rheinfelden.	N <sub>t</sub> 0 - 5 cm:	2,5 mg/g	N <sub>t</sub> :	2,5 mg/g
Mitteilungen der Deutschen Bodenkundlichen Gesellschaft,	N <sub>t</sub> 5 - 42 cm:	0,9 mg/g	N <sub>t</sub> :	0,9 mg/g
82, 392, 393, 395 - 397, 399, 400.	N <sub>t</sub> 42 - 68 cm:	0,4 mg/g	N <sub>t</sub> :	0,4 mg/g
	N <sub>t</sub> 68 - 120 cm:	0,3 mg/g	N <sub>t</sub> :	0,3 mg/g
	N <sub>t</sub> 120 - >170 cm:	0,3 mg/g	N <sub>t</sub> :	0,3 mg/g
	2. Standort: Niederterrasse	e Fischingen		
	Pseudogley-Parabraunerde	auf Hochflutlehm; Nutzung: Obstbau (früher		
	Landwirtschaft)			
	N <sub>t</sub> 0 - 5 cm:	1,94 mg/g	N <sub>t</sub> :	1,94 mg/g
	N <sub>t</sub> 5 - 25 cm:	1,17 mg/g	N <sub>t</sub> :	1,17 mg/g
	N <sub>t</sub> 25 - 38 cm:	0,56 mg/g	N <sub>t</sub> :	0,56 mg/g
	N <sub>t</sub> 38 - 54 cm:	0,37 mg/g	N <sub>t</sub> :	0,37 mg/g
	N <sub>t</sub> 54 - 95 cm:	0,25 mg/g	N <sub>t</sub> :	0,25 mg/g
	N <sub>t</sub> 95 - 130 cm:	0,63 mg/g	N <sub>t</sub> :	0,63 mg/g
	N <sub>t</sub> 130 - 162 cm:	0,72 mg/g	N <sub>t</sub> :	0,72 mg/g

1 - Literaturdaten zu Stickstoff im Boden (allgemein, Stadtböden, Ackerböden etc.)					
Quellenangabe	Originalwerte zum N-Gehalt	N-Gehalt umgerechnet in mg/g			
GEORGE E., KIRCHER S., SCHWARZ P., TESAR A.,	Rostbraunerde eines norwegischen Fichtenwaldes				
SEITH B. 1999: Effect Of Varied Soil Nitrogen Supply on	Ungedüngter Boden:				

\_

<sup>&</sup>lt;sup>29</sup> Die Werte wurden nach acht Extraktionen ermittelt und experimentell summiert.

Growth and Nutrient Uptake of Young Norway Spruce	N <sub>t</sub> :	0,7 g/kg <sup>-1</sup>	N <sub>t</sub> :	0,7 mg/g
Plants Grown in a Shaded Environment. Zeitschrift für	NO <sub>3</sub> <sup>-</sup> :	1 mg/kg <sup>-1</sup>	NO <sub>3</sub> :	0,001 mg/g
Pflanzenernährung und Bodenkunde, 162(1), 302.	NH <sub>4</sub> <sup>+</sup> :	5 mg/kg <sup>-1</sup>	NH <sub>4</sub> <sup>+</sup> :	0,005 mg/g
HOLLAND K., 1996: Stadtböden im Keuperland am	Fläche P44: Silberburg, Innenstadt, B	lockbebauung, Rasen:		
Beispiel Stuttgarts. Stuttgart: Universität Hohenheim. 185,	N <sub>t</sub> im Ah-Horizont:	2,65 mg/g	N <sub>t</sub> :	2,65 mg/g
190.	N <sub>t</sub> im Durchschnitt aller Horizonte:	1,01 mg/g	N <sub>t</sub> :	1,01 mg/g
	Fläche P45: Rosenstein, Park, Wiese:			
	N <sub>t</sub> im Ah-Horizont:	3,19 mg/g	N <sub>t</sub> :	3,19 mg/g
	N <sub>t</sub> im Durchschnitt aller Horizonte:	1,81 mg/g	N <sub>t</sub> :	1,81 mg/g
	Fläche P46: Lehenpark, kleine Grüna	• .		
	N <sub>t</sub> im Ah-Horizont:	3,91 mg/g	N <sub>t</sub> :	3,91 mg/g
	N <sub>t</sub> im Durchschnitt aller Horizonte:	2,69 mg/g	N <sub>t</sub> :	2,69 mg/g
	Fläche P47: Liederhalle, Innenstadt, k	leine Grünfläche, Gras:		
	N <sub>t</sub> im Ah-Horizont:	3,04 mg/g	N <sub>t</sub> :	3,04 mg/g
	N <sub>t</sub> im Durchschnitt aller Horizonte:	1,65 mg/g	N <sub>t</sub> :	1,65 mg/g
HOLLAND K., 1996: Stadtböden im Keuperland am	Fläche P50: Leuschner, Innenstadt, B	lockbebauung, Rasen:		
Beispiel Stuttgarts. Stuttgart: Universität Hohenheim. 185,	N <sub>t</sub> im Ah-Horizont:	3,32 mg/g	N <sub>t</sub> :	3,32 mg/g
190.	N <sub>t</sub> im Durchschnitt aller Horizonte:	1,26 mg/g	N <sub>t</sub> :	1,26 mg/g
HULDEN E., 1941: Studien über Fraxinus excelsior L.	Humusschicht:			
Helsingfors: Tilgmann. 155.	N <sub>t</sub> :	0,81 %	N <sub>t</sub> :	8,1 mg/g
KASTLER B., 2013: Der Einfluss Robinia pseudoacacia	Robinienstandort, Grauer Auboden:			
auf die Bodenvegetation und die Nährstoffverhältnisse im	Standort SR: NO <sub>3</sub> :	62,34 mg/kg	NO <sub>3</sub> :	0,06 mg/g
Nationalpark Donau-Auen. Masterarbeit. Universität Wien.	Standort O1: NO <sub>3</sub> :	74,08 mg/kg	NO <sub>3</sub> :	0,07 mg/g
Wien. 55.	Standort O2: NO <sub>3</sub> :	30,77 mg/kg	NO <sub>3</sub> :	0,03 mg/g
	Standort HB: NO <sub>3</sub> :	30,34 mg/kg	NO <sub>3</sub> :	0,03 mg/g
	NO <sub>3</sub> im Durchschnitt:	49,38 mg/kg	NO <sub>3</sub> :	0,05 mg/g

1 - Literaturdaten zu Stickstoff im Boden (allgemein, Stadtböden, Ackerböden etc.)					
Quellenangabe Originalwerte zum N-Gehalt M-Gehalt M-Gehalt umgerechnet in mg/g					
KITTREDGE J., 1948: Forest Influences. The Effects of	Waldboden unter verschiedenen Baumarten:				
Woody Vegetation on Climate, Water, and Soil, With	N <sub>t</sub> unter Robinie:	2,81 %	N <sub>t</sub> :	28,1 mg/g	
Applications to the Conservation of Water and the Control	N <sub>t</sub> unter anderen Baumarten:	0,45 - 1,84 %	N <sub>t</sub> :	4,5 -18,4 mg/g	

of Floods and Erosion. 1 <sup>st</sup> Edition. New York [u.a.]:				
McGraw-Hill. 183				
MAKKI M. (Hrsg.), 2010: Boden des Jahres - Stadtböden:	Lehrprofil am Standort Berlin-Dahlem:			
Berlin und seine Böden. Berlin: Geographisches Institut.	N <sub>t</sub> in verschiedenen Profiltiefen:			
13	0 - 30 cm:	0,09 %	N <sub>t</sub> :	0,9 mg/g
	30 - 50 cm:	0,01 %	N <sub>t</sub> :	0,1 mg/g
	50 - 70 cm:	0,02 %	N <sub>t</sub> :	0,2 mg/g
	70 - 130 cm:	0,01 %	N <sub>t</sub> :	0,1 mg/g
	N <sub>t</sub> im Durchschnitt:	0,03 %	N <sub>t</sub> :	0,3 mg/g
MAKKI M. (Hrsg.), EIDAM U., 2007: Böden im	Probenstandorte mit einer Bodenzusammense	etzung von 50 % Braunerde und		
Städtischen Umfeld. Berlin: Geographisches Institut der	25 % Auböden:			
Humboldt-Universität. 111, 128.	N <sub>t</sub> im Durchschnitt in 0,9 - 25 cm Tiefe:	0,4 %	N <sub>t</sub> :	4 mg/g
SCHEFFER F., SCHACHTSCHABEL P., BLUME HP.,	lonengehalte in Waldboden <sup>30</sup> :			
2010: Lehrbuch der Bodenkunde. 16. Auflage, Heidelberg:	NH <sub>4</sub> <sup>+</sup> :	$0.5 - 20 (0.5 - 10) \text{ mg/l}^{-1}$	NH <sub>4</sub> <sup>+</sup> :	0,005 - 0,2 mg/g
Spektrum Akademischer Verlag. 124, 403.	NO <sub>3</sub> :	5 - 450 (10 - 200) mg/l <sup>-1</sup>	NO <sub>3</sub> :	0,05 - 4,5 mg/g
	lonengehalte in Ackerboden <sup>31</sup> :			
	NH <sub>4</sub> <sup>+</sup> :	<0,1 - 16 (0,2 - 4) mg/l <sup>-1</sup>	NH <sub>4</sub> <sup>+</sup> :	0,001 - 0,16 mg/g
	NO <sub>3</sub> <sup>-</sup> :	1 - 800 (20 - 200) mg/i <sup>-1</sup>	NO <sub>3</sub> :	0,01 - 8 mg/g
	Ap-Horizont/Mineralboden/gemäßigt-humides K	lima:		
	N <sub>t</sub> :	0,7 - 2 g/kg <sup>-1</sup>	N <sub>t</sub> :	0,7 - 2 mg/g

1 - Literaturdaten zu Stickstoff im Boden (allgemein, Stadttböden, Ackerböden etc.)					
Quellenangabe	Originalwerte zum N-Gehalt umgerechnet in mg/g				
STAHR K., STASCH D., BECK O., 2003: Entwicklung	N <sub>t</sub> im Durchschnitt bei verschiedenen Bodennutzungstypen im urbanen				
von Bewertungssystemen für Bodenressourcen in	Bereich:				
Ballungsräumen. Forschungsbericht FZKA-BWPLUS.	Wald/Forst:				
Universität Hohenheim, Institut für Bodenkunde und	0 - 30 cm Tiefe: 700 mg/kg	N <sub>t</sub> : 0,7 mg/g			

 $<sup>^{\</sup>rm 30}$  Die Werte in der Klammer sind die in der Regel häufiger vorkommenden Werte.

Standortlehre, Hohenheim. 25	Acker:			
	0 - 30 cm Tiefe:	1267 mg/kg	N <sub>t</sub> :	1,267 mg/g
	30 - 100 cm Tiefe:	688 mg/kg	N <sub>t</sub> :	0,688 mg/g
	Park-/Grünfläche:			
	0 - 30 cm Tiefe:	2100 mg/kg	N <sub>t</sub> :	2,1 mg/g
	30 - 100 cm Tiefe:	1233 mg/kg	N <sub>t</sub> :	1,233 mg/g
	Kleingarten:			
	0 - 30 cm Tiefe:	2050 mg/kg	N <sub>t</sub> :	2,050 mg/g
	30 - 100 cm Tiefe:	950 mg/kg	N <sub>t</sub> :	0,95 mg/g
	Einzelhaus:			
	0 - 30 cm Tiefe:	2000 mg/kg	N <sub>t</sub> :	2 mg/g
	30 - 100 cm Tiefe:	500 mg/kg	N <sub>t</sub> :	0,5 mg/g
	Blockbebauung/Innenstadt:			
	0 - 30 cm Tiefe:	1100 mg/kg	N <sub>t</sub> :	1,1 mg/g
	30 - 100 cm Tiefe:	450 mg/kg	N,:	0,45 mg/g
	Straßenfläche:			
	0 - 30 cm Tiefe:	50 mg/kg	N <sub>t</sub> :	0,05 mg/g
	30 - 100 cm Tiefe:	50 mg/kg	N <sub>t</sub> :	0,05 mg/g
	Bahnfläche:			
	0 - 30 cm Tiefe:	1750 mg/kg	N <sub>,</sub> :	1,75 mg/g
	30 - 100 cm Tiefe:	425 mg/kg	N.:	0,425 mg/g
	Militärkaserne:		· ·	
	0 - 30 cm Tiefe:	967 mg/kg	N,:	0,967 mg/g
	30 - 100 cm Tiefe:	3500 mg/kg	N <sub>t</sub> :	3,5 mg/g
TROLLDENIER G., 1971: Bodenbiologie. Die	Ackerböden im gemäßigten I			
Bodenorganismen im Haushalt der Natur. Stuttgart:	N, in 0 - 20 cm Tiefe:	0,1 - 0,5 %	N <sub>+</sub> :	1 - 1,5 mg/g
Franckh'sche Verlagshandlung, W. Keller & Co. 97.	·		,	

2 - Literaturdaten zu Stickstoff im Holz allgemein					
Quellenangabe Originalwerte zum N-Gehalt N-Gehalt umgerechnet in mg/g					
BOWEN G.D. (Hrsg.), NAMBIAR E.K.S., 1984: Nutrition of	Pinus-Arten:				
Plantation Forests. London [u.a.]: Academic Press. 190.	N <sub>t</sub> im Splintholz: 680 - 1060 ppm (= 0,068 - 0,106 %)	N <sub>t</sub> : 0,68 - 1,06 mg/g			
	N <sub>t</sub> im Kernholz: 640 - 910 ppm (= 0,064 - 0,091 %)	N <sub>t</sub> : 0,64 - 0,91 mg/g			
COWLING E.B., MERILL W., 1966: Nitrogen in Wood and	Cambialzone des Holzes:				

its Role in Wood Deterioration. Canadian Journal of	N <sub>i</sub> : 1 - 5 %	N <sub>t</sub> :	10 - 50 mg/g
Botany, 44(7), 1541, 1543, 1544.			
	Übergangszone zwischen Splint- und Kernholz:		
	N <sub>i</sub> : 0,03 - 0,20 %	$N_{t}$ :	0,3 - 2 mg/g
	Stammholz verschiedener Baumarten:		
	Carya, Castanea, Juglans, Liquidambar, Liriodendron, Quercus:		
	N <sub>t</sub> im Durchschnitt: 0,087 %	$N_t$ :	0,87 mg/g
	von: 0,057 - 0,104 %	$N_t$ :	0,57 - 1,04 mg/g
ENGELS J., 1998: Studien zur Besiedelung und	Quercus robur, Tilia cordata, Acer platanoides, Fagus sylvatica, Picea abies:		
Holzzersetzung an ausgewählten Laub- und Nadelbäumen			
durch wurzelbürtige Pilze. Dissertation. Albert-Ludwigs-	Wurzelholz:		
Universität Freiburg. Fakultät der Forstwissenschaften.	N <sub>t</sub> im Durchschnitt dieser 5 Baumarten: 0,2084 %	N <sub>t</sub> :	2,084 mg/g
FZKA 6068, Karlsruhe: Forschungszentrum Karlsruhe	von: 0,0648 - 0,3767 %	N <sub>t</sub> :	0,648 - 3,767 mg/g
GmbH. 36.			
	Stammholz:		
	N, im Durchschnitt dieser 5 Baumarten: 0,1211 %	N <sub>t</sub> :	1,211 mg/g
	von: 0,0434 - 0,2894 %	N <sub>t</sub> :	0,434 - 2,894 mg/g
PFEIFFER EM., (1985)	Verschiedene Pflanzenbestandteile der Baumarten Aesculus und Tilia:		
Veränderungen der lonengehalte streusalzgeschädigter	N <sub>i</sub> in Fein- und Schwachwurzeln <sup>31</sup> : 1,18 %	N,:	11,8 mg/g
Straßenbäume durch Bodensanierung im Hamburger		•	
Stadtgebiet. Dissertation. Universität Hamburg. Hamburg.	N, im Stammholz <sup>32</sup> : 0,13 %	N,:	1,3 mg/g
Anhang: 54, 65-68, 81-86, 107-109, 111, 124-129		i.	
SHEPPARD P.R., 2012: The University of Arizona,	Je nach Jahrring, Holzart, Kern- oder Splintholz:		
Academic Department Geography and Regional	N <sub>t</sub> im Holz: 500 - 2000 ppm (=0,05 - 0,2 %)	N <sub>t</sub> :	0,5 - 2 mg/g
Development. Mündliche Mitteilung im Jänner 2012.			

3 - Literaturdaten zu Stickstoff im Holz von <i>Fraxinus</i>					
Quellenangabe	Originalwerte zum N-Gehalt			N-Gehalt um	gerechnet in mg/g
COWLING E.B., MERILL W., 1966: Nitrogen in Wood and	Verschiedene Teile des Star	mmholzes:			
its Role in Wood Deterioration. Canadian Journal of	N <sub>t</sub> im Cambium:	4,645 %		N <sub>t</sub> :	46,45 mg/g
Botany, 44(7), 1545					
	$N_{t}$ im Splintholz:	0,22 %		N <sub>t</sub> :	2,2 mg/g

Durchschnitt aus 15 Durchschnittswerten.
 Durchschnitt aus sechs Durchschnittswerten.

HULDEN E., 1941: Studien über Fraxinus excelsior L.	Stamm <sup>33</sup> :			
Helsingfors: Tilgmann. 155.	Februar:			
	N <sub>t</sub> pro 1000 Teile:	11,34 (= 1,134 %)	N <sub>t</sub> :	11,34 mg/g
	Mai:			
	N <sub>t</sub> pro 1000 Teile:	7,83 (= 0,783 %)	N <sub>t</sub> :	7,83 mg/g
	Juli:			
	N <sub>t</sub> pro 1000 Teile:	5,87 (= 0,587 %)	N <sub>t</sub> :	5,87 mg/g
	September:			
	N <sub>t</sub> pro 1000 Teile:	6,69 (= 0,669 %)	N <sub>t</sub> :	6,69 mg/g
	November:			
	N <sub>t</sub> pro 1000 Teile:	8,23 (= 0,823 %)	N <sub>t</sub> :	8,23 mg/
	N <sub>t</sub> im Durchschnitt aller Monate:	0,7992 %	N <sub>t</sub> :	7,992 mg/g
	Wurzel <sup>33</sup> :			
	Februar:			
	N <sub>t</sub> pro 1000 Teile:	11,80 (= 1,18 %)	N <sub>t</sub> :	11,8 mg/g
	Mai:			
	N <sub>t</sub> pro 1000 Teile:	9,67 (= 0,967 %)	N <sub>t</sub> :	9,67 mg/g
	Juli:			
	N <sub>t</sub> pro 1000 Teile:	5,89 (= 0,589 %)	N <sub>t</sub> :	5,89 mg/g
	September:	- 00 / 0 - 00 O/		
	N <sub>t</sub> pro 1000 Teile:	5,86 (= 0,586 %)	N <sub>t</sub> :	5,86 mg/g
	November:	7.07 ( 0.707 0()		·
	N <sub>t</sub> pro 1000 Teile:	7,07 (= 0,707 %)	N <sub>t</sub> :	7,07 mg/g
	N <sub>t</sub> im Durchschnitt aller Monate:	0,8058 %	N <sub>t</sub> :	8,058 mg/g

3 - Literaturdaten zu Stickstoff im Holz von <i>Fraxinus</i>					
Quellenangabe	Originalwerte zum N-Gehalt umgerechnet in mg/g				
KOLLMANN F ., 1941: Die Esche und ihr Holz.	Auszug aus Elementarzusammensetzung:				
Schriftenreihe Eigenschaften und Verwertung der deutschen	N:	0,07 %	N:	0,7 mg/g	
Nutzhölzer 1. Berlin: Verlag von Julius Springer. 51.					
MARMANN P., 1998: Der interne Stickstoffkreislauf von	Xylemsaft der Esche <sup>34</sup> :				

Angaben in N je 1000 Teile Trockengewicht.
 Durchschnitt und Standardfehler wurden mit Werten aus drei Wiederholungen ermittelt.

Esche (Fraxinus excelsior) und Birke (Betula pendula) bei	Durchschnitt und Standardfehler:				
unterschiedlicher Wasserversorgung. Bayreuth: BITÖK,	Tagessumme NO <sub>3</sub> :	3,71 ± 1,07 - 5,18 ± 4,52 %	$NO_3$ : 37,1 ± 10,7 - 51,8 ± 45,2 mg/g		
Wissenschaftliches Sekretariat, Universität Bayreuth Verlag.					
71, 117, 165	Tagessumme N <sub>t</sub> :	55,33 ± 11,85 - 59,33 ± 5,67 mg/l	N <sub>t</sub> : 55,3 ± 11,9 - 59,3 ± 5,7 mg/g		
	Einzelne Baumkompartimente:				
	N <sub>t</sub> im Stamm (0 - 1 m):	1,72 - 2,65 mg/g	N <sub>t</sub> : 1,72 - 2,65 mg/g		
	N <sub>t</sub> in Hauptwurzel:	2,01 - 6,37 mg/g	N <sub>t</sub> : 2,01 - 6,37 mg/g		
	N <sub>t</sub> in Rinde vom Stamm (0 - 1 m):	3,13 - 7,82 mg/g	N <sub>t</sub> : 3,13 - 7,82 mg/g		
	N <sub>t</sub> in Rinde von Hauptwurzel:	4,32 - 7,67 mg/g	N <sub>t</sub> : 4,32 - 7,67 mg/g		
	N <sub>t</sub> des holzigen Baumgewebes:	2,53 - 3,45 mg/g	N <sub>t</sub> : 2,53 - 3,45 mg/g		

4 - Literaturdaten zu Stickstoff im Holz von <i>Quercus</i>						
Quellenangabe	Originalwerte zum N-Gehalt			N-Gehalt umgerechnet in mg/g		
COWLING E.B., MERILL W., 1966: Nitrogen in Wood and	Stammholz verschiedener Eig	chen-Arten:				
its Role in Wood Deterioration. Canadian Journal of	N <sub>t</sub> : <i>Quercus alba:</i>	0,104 %	N <sub>t</sub> :	1,04 mg/g		
Botany, 44(7), 1544						
	N <sub>t</sub> : <i>Quercus rubra:</i>	0,099 %	N <sub>t</sub> :	0,99 mg/g		
	N <sub>,</sub> : Quercus stellata:	0,096 %	N <sub>t</sub> :	0,96 mg/g		
	N <sub>t</sub> : Quercus velutina:	0,07 %	N <sub>t</sub> :	0,7 mg/g		

	N <sub>t</sub> Durchschnitt:	0,09225 %		N <sub>t</sub> :	0,9225 mg/g
ENGELS J., 1998: Studien zur Besiedelung und	Stammholz von Quercu	Stammholz von Quercus robur:			
Holzzersetzung an ausgewählten Laub- und Nadelbäumen	N <sub>t</sub> :	0,1111 %		N <sub>t</sub> :	1,111 mg/g
durch wurzelbürtige Pilze. Dissertation. Albert-Ludwigs-	Wurzelholz:				
Universität Freiburg. Fakultät der Forstwissenschaften.	N <sub>+</sub> :	0,3767 %		N₊:	3,767 mg/g
FZKA 6068, Karlsruhe: Forschungszentrum Karlsruhe					
GmbH. 36.					
MARUTZKY R., ROFFAEL E., 1977: Über den	N-Gehalt im Holz:				
Stickstoffgehalt in Holz, Rinden und Biomasse. Sein	N <sub>+</sub> :	0,26 %		N₊:	2,6 mg/g
Einfluss auf die Ermittlung des Bindemittelgehalts in					
Spanplatten. Holz-Zentralblatt, 103(28), 424.					

4 - Literaturdaten zu Stickstoff im Holz von <i>Quercus</i>						
Quellenangabe	Originalwerte zum N-Gehalt	N-Gehalt umgerechnet in mg/g				
SEEGMÜLLER S., 1999: Der Einfluss von Mykorrhizen,	N-Gehalt verschiedener N-Quellen:					
atmosphärischem Kohlendioxid und Wassermangel auf das	Xylemsaft des Sprosses <sup>35</sup> :					
Wachstum und die Schwefel- und Stickstoffernährung der	NO <sub>3</sub> : 3,48 $\mu$ mol/ml (= 0,04872 mg/ml = 0,004872 %)	NO¸: 0,04872 mg/g				
Stieleiche ( <i>Quercus robur</i> L.). 1. Auflage, Frankfurt/M: Wissenschafts-Verlag Dr. Wigbert Maraun. 41, 79, 84	$NH_4^+$ : 0,22 $\mu$ mol/ml (= 0,00308 mg/ml = 0,000308 %)	NH <sub>4</sub> <sup>+</sup> : 0,00308 mg/g				
modeleshare vollag 21. Higgsit Maradii. 41, 76, 64	Asparagin: 8,02 $\mu$ mol/ml (= 0,11228 mg/ml = 0,011228 %)	Asparagin: 0,11228 mg/g <sup>37</sup>				

-

<sup>35</sup> Alle Gehalte sind absolute N-Konzentrationen stickstoffhaltiger Verbindungen im Spross- und Wurzelxylemsaft mykorrhizierter Stieleichen unter atmosphärischem CO<sub>2</sub>.

TSNN <sup>36</sup> :	25,58 µmol/ml (0,40928 mg/ml = 0,040928 %)	TSNN:	0,40928 mg/g
Xylemsaft der  NO <sub>3</sub> :  NH <sub>4</sub> <sup>+</sup> :  Asparagin:	9,62 $\mu$ mol/ml (= 0,13468 mg/ml = 0,013468 %) 0,66 $\mu$ mol/ml (= 0,00924 mg/ml = 0,000924 %) 38,08 $\mu$ mol/ml (= 0,53312 mg/ml = 0,053312 %)	NO <sub>3</sub> :  NH <sub>4</sub> *:  Asparagin:  TSNN:	0,13468 mg/g 0,00924 mg/g 0,53312 mg/g 1,45904 mg/g
TSNN:  Phloemexsudate Sprossbasisrind	91,19 µmol/ml (= 1,45904 mg/ml = 0,145904 %) e verschiedener Rindenpartien <sup>35</sup> :	TOWN.	1,40004 mg/g
NH₄ <sup>+</sup> : Asparagin:	0,3 μmol/g 18,3 μmol/g	NH <sub>4</sub> <sup>+</sup> : Asparagin: TSNN:	0,0048 mg/g 0,2928 mg/g
TSNN: Wurzelhalsrinde	29,45 μmol/g e:		0,4123 mg/g
NH <sub>4</sub> <sup>+</sup> : Asparagin: TSNN:	0,42 μmol/g 34,62 μmol/g 57,10 μmol/g	NH <sub>4</sub> <sup>+</sup> : Asparagin: TSNN:	0,00672 mg/g 0,55392 mg/g 0,9136 mg/g

5 - Literaturdaten zu Stickstoff im Holz von <i>Robinia</i>					
Quellenangabe	Originalwerte zum N-Gehalt	N-Gehalt umgerechnet in mg/g			
BERTHOLD D., 2005: Soil Chemical and Biological	Verschieden Kompartimente von Robinien-Keimlingen:				
Changes through the N <sub>2</sub> Fixation of Black Locust	Trieb:				
(Robinia pseudoacacia L.) - a Contribution to the	N <sub>t</sub> : 13 - 15 mg/g	N <sub>t</sub> : 13 - 15 mg/g			
Research of Tree Neophytes. Dissertation. Georg-August-					
Universität Göttingen. Fakultät für Forstwissenschaften und	Wurzel:				
Waldökologie. Göttingen. 35	N <sub>t</sub> : 20 - 23 mg/g	N <sub>t</sub> : 20 - 23 mg/g			
	Knöllchen:				

Umrechnung: Wieviel Asparagin beinhaltet 0,11228 mg N, wenn 1 g Asparagin 212 mg enthalten? Dreisatz: 0,11228 \* 1 / 212 = 5,2962 E-4 (siehe Anhang Teil A)

Dreisatz: 0,11228 \* 1 / 212 = 5,2962 E-4 (siehe Anhang Teil A)

Dreisatz: 0,11228 \* 1 / 212 = 5,2962 E-4 (siehe Anhang Teil A)

Dreisatz: 0,11228 \* 1 / 212 = 5,2962 E-4 (siehe Anhang Teil A) Xylemsaft.

	N <sub>t</sub> :	47 - 53 mg/g	N <sub>t</sub> :	47 - 53 mg/g
SCHERZER L., 1926: Über die chemische Zusammen-	Rinde:			
setzung der Rinden (etc.). Dissertation Universität Wien.	N <sub>t</sub> :	1,896 %	N <sub>t</sub> :	18,96 mg/g
Wien. 36				